

**Θεωρία Πληροφοριών
και Κωδίκων**

Π Ι Ν Α Κ Α Σ Π Ε Ρ Ι Ε Χ Ο Μ Ε Ν Ω Ν

Πρόλογος.....	1
Πίνακας Περιεχομένων.....	3
1. ΠΛΗΡΟΦΟΡΙΑ - ΕΝΤΡΟΠΙΑ.....	7
1.1 Εισαγωγή.....	7
1.2 Μέτρο Πληροφορίας - Εντροπία.....	12
1.3 Συνδυαστική Εντροπία.....	19
1.4 Υπό Συνθήκη Εντροπία.....	21
1.5 Επεκτάσεις Πηγής Πληροφορίας.....	24
1.6 Πηγή Πληροφορίας με Μήρη.....	26
1.7 Αναλογική Πηγή Πληροφορίας.....	38
1.8 Ασκήσεις.....	44
Παραρτήματα	
1.I Στοιχεία Θεωρίας Πιθανοτήτων.....	47
1.I.1 Σύνολα.....	47
1.I.2 Χώροι Πιθανότητας.....	49
1.I.3 Συνεχείς Τυχαίες Μεταβλητές.....	50
1.I.4 Διακριτές Τυχαίες Μεταβλητές.....	54
1.I.5 Στοχαστικές Διαδικασίες.....	56
1.II Απόδειξη της ΕΞ. (1.44).....	56
1.III Απόδειξη της ΕΞ. (1.46).....	57
1.IV Ισαβιανή Μετασχηματισμού.....	58
2. ΧΡΗΤΙΚΟΤΗΤΑ ΔΙΑΛΟΥ ΠΛΗΡΟΦΟΡΙΑΣ.....	61
2.1 Δύαυλος Πληροφορίας.....	61
2.2 Διαπληροφορία - Χωρητικότητα.....	65
2.3 Απλοί Δύαυλοι Πληροφορίας.....	67

2.3.1	Δύαυλος Πληροφορίας Χωρίς Απώλειες.....	68
2.3.2	Καθοριστικός Δύαυλος Πληροφορίας.....	68
2.3.3	Ιδανικός Δύαυλος Πληροφορίας.....	69
2.3.4	Ομοιόμορφος Δύαυλος Πληροφορίας.....	70
2.3.5	Διαδικός Συμμετρικός Δύαυλος Πληροφορίας.....	71
2.3.6	Σ - Δύαυλος Πληροφορίας.....	72
2.4	Τεχνική Μιγροα.....	73
2.5	Αλυσιδωτή Σύνδεση Διαπύλων Πληροφορίας.....	76
2.6	Αναλογική Ροή Πληροφορίας.....	80
2.7	Ασκήσεις.....	85
Παράρτημα		
2.1	Θεώρημα Δειγματοληψίας.....	91
3.	ΚΩΔΙΚΟΠΟΙΗΣΗ ΣΕ ΑΘΩΡΥΒΟ ΠΕΡΙΒΑΛΛΟΝ.....	95
3.1	Ορολογία και Ταξινόμηση Κωδίκων.....	95
3.2	Θεώρημα Kraft.....	103
3.3	Πρώτο Θεώρημα Shannon.....	105
3.4	Απλοί Κώδικες.....	108
3.4.1	Κώδικας Shannon.....	108
3.4.2	Κώδικας Shannon - Fano.....	111
3.4.3	Κώδικας Huffman.....	113
3.4.4	Δενδροδιάγραμμα Απόφασης.....	115
3.5	Ασκήσεις.....	116
4.	ΚΩΔΙΚΟΠΟΙΗΣΗ ΣΕ ΠΕΡΙΒΑΛΛΟΝ ΘΩΡΥΒΟΥ.....	121
4.1	Κριτήρια Αποκωδικοποίησης.....	121
4.2	Φράγμα Fano.....	126
4.3	Δεύτερο Θεώρημα Shannon.....	128
4.4	Αποκάλυψη Σφαλμάτων.....	132
4.4.1	Έλεγχος Ισότητας.....	132
4.4.2	Διδιάστατος Έλεγχος Ισότητας σε Ορθογωνικό Κώδικα.....	134

4.5	Διόρθωση Σφαλμάτων.....	137
4.6	Κώδικας Hamming.....	139
4.7	Ασκήσεις.....	143
5.	ΑΛΓΕΒΡΙΚΗ ΚΩΔΙΚΟΠΟΙΗΣΗ.....	145
5.1	Εισαγωγή.....	145
5.2	Κώδικες Ομάδας.....	145
5.2.1	Κώδικες Hamming.....	155
5.2.2	Κώδικες Hadamard.....	155
5.2.3	Κώδικας Golay.....	156
5.3	Κυκλικοί Κώδικες.....	156
5.3.1	Κυκλικοί Κώδικες Hamming.....	160
5.3.2	Κυκλικός Κώδικας Golay.....	160
5.3.3	Κυκλικοί Κώδικες BCH.....	161
5.4	Υλοποίηση Κυκλικών Κωδίκων.....	161
5.5	Συνελκτικός Κώδικας.....	172
5.6	Ασκήσεις.....	177
Παραρτήματα		
5. I	Ομάδες.....	179
5. II	Πεδία.....	181
5. III	Διανυσματικοί Χώροι.....	182
5. IV	Modulo- p Αριθμητική.....	186
5. V	Modulo- $K(x)$ Άλγεβρα.....	187
	Βιβλιογραφία.....	191
	Ευρετήριο.....	195

Κεφάλαιο Ένα

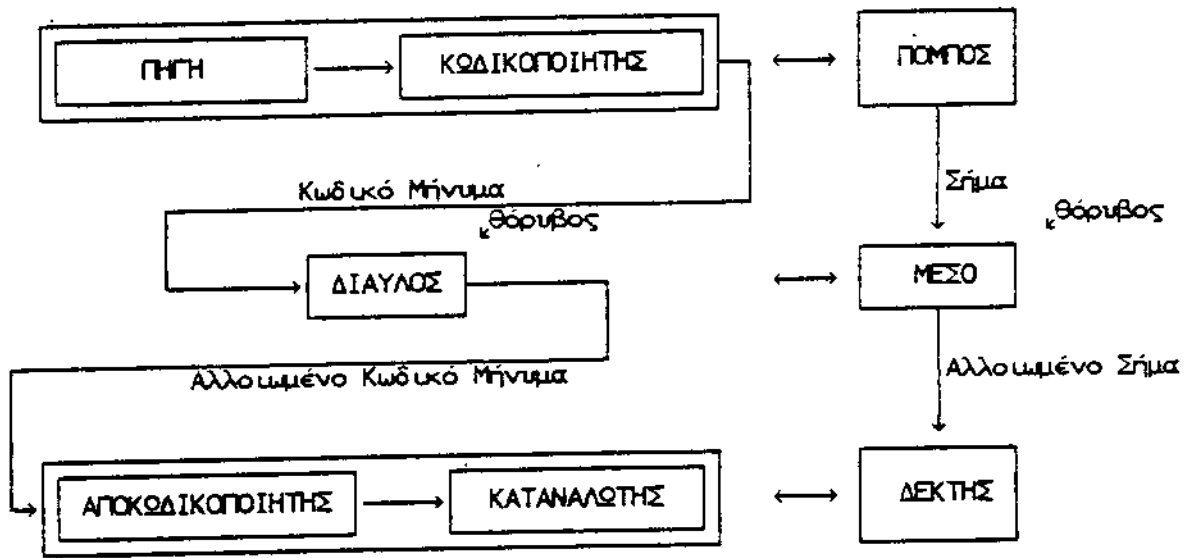
ΠΛΗΡΟΦΟΡΙΑ - ΕΝΤΡΟΠΙΑ

1.1 ΕΙΣΑΓΩΓΗ

Η θεωρία Πληροφοριών αναγνωρίστηκε σαν ιδιαίτερη επιστημονική περιοχή μετά τη δημοσίευση των κλασικών εργασιών του C.E. Shannon με τίτλο *A Mathematical Theory of Communication* το 1948. Η γέννηση της είναι χαρακτηριστικό παράδειγμα της αλληλεπίδρασης μεταξύ θεωρίας και πράξης. Το κλέμμα των εννοιών και θεωρημάτων που συνθέτουν τη θεωρία πληροφοριών διαμορφώθηκε από την ανάγκη για περισσότερη και καλύτερη επικοινωνία. Από την άποψη της εφαρμογής η θεωρία πληροφοριών είναι αναπόσπαστο τμήμα της επιστήμης των τηλεπικοινωνιών. Το υπόβαθρο της περιλαμβάνει μεταξύ άλλων τη στατιστική, τη θεωρία πιθανοτήτων, την άλγεβρα συνδυασμών και την άλγεβρα των πεπερασμένων πεδίων. Από την άποψη της δομής και του περιεχομένου της είναι επομένως τμήμα των μαθηματικών. Σε σχετικά σύντομο χρονικό διάστημα η θεωρία πληροφοριών αναπτύχθηκε σε ανεξάρτητη επιστήμη με συμβολή σε επιστήμες και θέματα πέρα από τις παραδοσιακές περιοχές των τηλεπικοινωνιών και των μαθηματικών. Αρχές, μεθοδολογίες και συμπεράσματα της θεωρίας πληροφοριών βρίσκουν εφαρμογές στην βιολογική κυβερνητική, στη γενετική τεχνολογία, στη γλωσσολογία, στη σχεδίαση ηλεκτρονικών υπολογιστών, στην αυτοματοποίηση μηχανικών εργασιών, στην ανάπτυξη συστημάτων τεχνητής νοημοσύνης στη διοικητική συστημάτων παραγωγής και στη λήψη τακτικών αποφάσεων.

Η συμβολή του Shannon στην κατανόηση του προβλήματος της επικοινωνίας ήταν καταλυτική. Στις εργασίες του περιγράφεται η σύγχρονη, μακροσκοπική, στατιστική

λειτουργία του συστήματος επικοινωνίας (σχ. 1.1), που περιλαμβάνει πηγή πληροφορίας, κωδικοποιητή, διάλυο πληροφορίας, αποκωδικοποιητή και τελικά τον καταναλωτή της πληροφορίας. Είναι φανερό ότι η πηγή πληροφορίας και ο κωδικοποιητής βρίσκονται στην περιοχή του πομπού ενώ η αποκωδικοποίηση και αξιοποίηση της πληροφορίας γίνεται στο δέκτη. Η πληροφορία, που έχει τη μορφή συμβόλων, λέξεων και μηνιμάτων, αντιστοιχεί στο σήμα ενώ ο διάλυο πληροφορίας αντιστοιχεί στο μέσο που διχοθετεί το σήμα από τον πομπό στο δέκτη.



Σχ. 1.1 Το σύστημα επικοινωνίας από την άποψη της θεωρίας πληροφοριών και από την άποψη των τηλεπικοινωνιών.

Μέχρι το 1948 κάθε τηλεπικοινωνιακός μηχανικός θα υποστήριζε οθεναραά την άποψη ότι για να βελτιωθεί η αξιοπιστία της επικοινωνίας είναι απαραίτητο να ελαττωθεί ο ρυθμός μετάδοσης της πληροφορίας ή, αντίστροφα, ότι το πλήθος των σφαλμάτων αυξάνει με το ρυθμό μετάδοσης του μηνιματος. Ο Shannon απέδειξε ότι είναι δυνατό να βελτιστοποιηθούν ταυτόχρονα η αξιοπιστία και ο ρυθμός μετάδοσης της πληροφορίας, δηλαδή να επιταχυνθεί η επικοινωνία μέχρι το άνω φράγμα του ρυθμού μετάδοσης, που χαρακτηρίζεται χωρητικότητα του διαύλου πληροφορίας, και ταυτόχρονα να μηδενισθεί η πιθανότητα σφάλματος. Οι ιδέες του Shannon αξιοποιήθηκαν από πλήθος ερευνητών, τόσο τηλεπικοινωνιακών μηχανικών όσο και μαθηματικών, που διαμόρφωσαν σε σχετικά λίγα χρόνια τη νέα επιστήμη της θεωρίας πληροφοριών.

Κάθε νέα επιστήμη εισάγει και χρησιμοποιεί νέες έννοιες (π.χ. ραδιόφωνο, ακτίνες X, ολίσθηση Doppler), που περιγράφονται είτε με νέες λέξεις που αποδίδουν το περιεχόμενο της έννοιας είτε με γνωστές λέξεις που αποκτούν νέο περιεχόμενο.

Είναι φανερό ότι η λέξη *πληροφορία* έχει διαφορετικό περιεχόμενο από εκείνο της καθημερινής χρήσης στο πλαίσιο της θεωρίας πληροφοριών και είναι λογικό να μη γνωρίζει κανείς το νέο περιεχόμενο πριν μνηθεί στη νέα επιστήμη.

ΠΑΡΑΔΕΙΓΜΑ : Εστω ότι τηλεγράφημα του Reuter ανακοινώνει σεισμό στο χρηματιστήριο του Λονδίνου. Είναι σαφές ότι δεν κλονίσθηκε από σεισμό το κτίριο του χρηματιστηρίου στο Λονδίνο αλλά ότι ο γενικός δείκτης τιμών FTSE100 διακυμάνθηκε σημαντικά. Αν ο γενικός δείκτης τιμών του χρηματιστηρίου του Λονδίνου διακυμαίνεται από ημέρα σε ημέρα κατά ± 5 μονάδες, τότε η είδηση εξυπνοεί διακύμανση τουλάχιστο ± 50 μονάδων.

Η πληροφορία είναι ένα απηρημένο μέγεθος που συνοδεύει κάθε γεγονός. Δεν είναι τόσο χαρακτηριστικό του γεγονότος όσο της πειραματικής διαδικασίας που παράγει το γεγονός. Η πληροφορία μετρά την αβεβαιότητα για την εμφάνιση του γεγονότος με κάθε επανάληψη του πειράματος και είναι προφανές ότι δεν υπάρχει πληροφορία αν το πείραμα παράγει μόνο ένα γεγονός. Στο πλαίσιο της θεωρίας πληροφοριών η λέξη πληροφορία περιέχει το μέτρο της αβεβαιότητας για κάποιο γεγονός ενώ στην καθημερινή χρήση η λέξη πληροφορία περιέχει την είδηση για το γεγονός που συνέβη. Επομένως η λέξη πληροφορία έχει ποσοτικό περιεχόμενο στη θεωρία πληροφοριών και ποιοτικό περιεχόμενο στην καθημερινή χρήση.

Η αβεβαιότητα για κάποιο γεγονός συνδέεται με την πιθανότητα να συμβεί σαν αποτέλεσμα της σχετικής πειραματικής διαδικασίας που μπορεί να το παράγει. Δύο διαφορετικά γεγονότα που συμβαίνουν με την ίδια πιθανότητα συνοδεύονται στο πλαίσιο της θεωρίας πληροφοριών από την ίδια ποσότητα πληροφορίας.

ΠΑΡΑΔΕΙΓΜΑ : Εστω ότι η πιθανότητα για σεισμό ισχυρότερο από 5 Richter στην Ελλάδα είναι 0.1 % . Αυτό σημαίνει ότι σε κάθε χιλιάδα σεισμών στη χώρα μας αναμένεται να υπάρχει ένας με μέγεθος μεγαλύτερο από 5 Richter. Εστω ακόμη ότι η πιθανότητα να αρρωστήσει κάποιος Έλληνας από απλό κρυολόγημα είναι επίσης 0.1 % . Τα δύο γεγονότα συνοδεύονται από την ίδια ποσότητα πληροφορίας στο πλαίσιο της θεωρίας πληροφοριών επειδή έχουν την ίδια πιθανότητα. Ενώ όμως στις καθημερινές ειδήσεις των 2100 στην τηλεόραση είναι λογικό να ανακοινωθεί ότι έγινε σεισμός ισχύος μεγαλύτερης από 5 Richter κάπου στην Ελλάδα δεν ανακοινώνονται ποτέ τα ονόματα εκείνων που πάσχουν από απλό κρυολόγημα. Είναι επομένως φανερό ότι στην καθημερινή χρήση η πληροφορία που συνοδεύει κάθε γεγονός δεν εκτιμάται μόνο με βάση την πιθανότητα του αλλά με περισσότερα και συνθετώτερα κριτήρια που διαμορφώνουν τη σημασία του γεγονότος.

Το σύστημα επικοινωνίας από την άποψη της θεωρίας πληροφοριών διαχεταιεί απλά πληροφορία από ένα σημείο σε κάποιο άλλο. Μεταφορά πληροφορίας μπορεί να πραγματοποιηθεί και στην ίδια θέση αλλά από προηγούμενη σε επόμενη χρονική στιγμή. Τέτοια διαχρονική επικοινωνία με το παρελθόν προαφέρει η ανασκαφή αρχαιοτήτων. Είναι εντυπωσιακό ότι ο αποστολέας και ο αποδέκτης της πληροφορίας βρίσκονται στην ίδια θέση με σχετική καθυστέρηση αιώνων. Η μεταφορά πληροφορίας στο χρόνο, σε αντίθεση με τη μεταφορά πληροφορίας στο χώρο, δεν μπορεί να είναι αμφίδρομη αφού είναι αδύνατη η μεταφορά πληροφορίας στο παρελθόν.

Το σύστημα επικοινωνίας από την άποψη της θεωρίας πληροφοριών αντιστοιχεί στο κλασσικό τηλεπικοινωνιακό σύστημα πομπής - μέσου - δέκτη (σχ. 1.1). Η πληροφορία παράγεται στην πηγή πληροφορίας, οργανώνεται σε μηνύματα πληροφορίας που στη συνέχεια μετατρέπονται σε κωδικά μηνύματα. Ο δίαυλος πληροφορίας διαχεταιεί την κωδικοποιημένη πληροφορία στο σημείο προορισμού, όπου γίνεται αποκάλυψη και διόρθωση των σφαλμάτων, αποκωδικοποίηση και τελικά αξιοποίηση της πληροφορίας. Πριν περιγραφούν και αναλυθούν τα διάφορα τμήματα του συστήματος επικοινωνίας από την άποψη της θεωρίας πληροφοριών είναι απαραίτητο να δοθούν οι ορισμοί των νέων εννοιών και να καθορισθεί η σχέση τους με έννοιες του συστήματος επικοινωνίας από την άποψη των τηλεπικοινωνιών.

ΟΡΙΣΜΟΣ : *Επικοινωνία* είναι κάθε διαδικασία μεταφοράς πληροφορίας μεταξύ δύο σημείων του χωρο-χρόνου (π.χ. τηλεφωνική συνδιάλεξη).

ΟΡΙΣΜΟΣ : *Πηγή Πληροφορίας* είναι το τμήμα του συστήματος επικοινωνίας που παρέχει πληροφορία με τη μορφή *συμβόλων* (π.χ. το δελτίο καιρού). Πληροφορία προσαρτάται στα σύμβολα με κριτήριο την πιθανότητα εμφάνισης τους στην έξοδο της πηγής πληροφορίας.

ΟΡΙΣΜΟΣ : *Αλφάβητο* είναι το σύνολο των συμβόλων που χρησιμοποιεί η πηγή πληροφορίας (π.χ. γράμματα, αριθμοί, διαγράμματα, χάρτες).

ΟΡΙΣΜΟΣ : *Λέξη Πληροφορίας* είναι βραχεία διάταξη συμβόλων πληροφορίας (π.χ. σταθμός).

ΟΡΙΣΜΟΣ : *Μήνυμα Πληροφορίας* είναι διάταξη λέξεων πληροφορίας (π.χ. ο αλληροδρομικός σταθμός είναι συνεχώς ανοικτός).

ΟΡΙΣΜΟΣ : *Κωδικοποίηση* είναι η αντικατάσταση των συμβόλων πληροφορίας από άλλα (κωδικά) σύμβολα με αντικειμενικό σκοπό τη βελτιστοποίηση της επικοινωνίας (π.χ.

αντικατάσταση γραμμάτων από τελείες και παύλες κατά τον κώδικα Morse). Η κωδικοποιημένη πληροφορία οργανώνεται επίσης σε κωδικές λέξεις και κωδικά μηνύματα.

ΟΡΙΣΜΟΣ : Κώδικας είναι κάθε τεχνητή κωδικοποίηση. Το σύνολο των κωδικών συμβόλων είναι το αλφάβητο του κώδικα. Η αμφιμονοσήμαντη απεικόνιση συμβόλων, λέξεων και μηνυμάτων πληροφορίας σε κωδικά σύμβολα, κωδικές λέξεις και κωδικά μηνύματα είναι το κλειδί του κώδικα.

Η πηγή πληροφορίας και ο κωδικοποιητής αντιστοιχούν στον πομπό του συστήματος επικοινωνίας. Απαραίτητο στοιχείο του πομπού είναι ο μεταλλάκτης που μετατρέπει το κωδικοποιημένο μήνυμα σε σήμα, δηλαδή μορφή κατάλληλη για μετάδοση (π.χ. σειρά ηλεκτρικών παλμών). Το σήμα αποτελεί τον υλικό φορέα της πληροφορίας.

ΟΡΙΣΜΟΣ : Δίαυλος Πληροφορίας είναι αλυσίδα μέσων και συσκευιών (π.χ. καλώδια, κυματοδηγοί, οπτικές ίνες) που μεταδίδουν το σήμα με την αποτυπωμένη σ' αυτό πληροφορία.

ΟΡΙΣΜΟΣ : Χρητικότητα διαύλου πληροφορίας είναι ο ρυθμός μετάδοσης πληροφορίας (π.χ. το τηλετύπο μεταδίδει 600 λέξεις/μήν ή 10 λέξεις/sec). Καθορίζει το χρόνο και το κόστος που απαιτούνται για τη μετάδοση μηνύματος ή το πλήθος των μηνυμάτων που είναι δυνατό να διολχετεύει ταυτόχρονα ο δίαυλος πληροφορίας.

ΟΡΙΣΜΟΣ : Θόρυβος είναι κάθε ανεξέλεγκτη παρεμβολή του περιβάλλοντος του διαύλου πληροφορίας που προκαλεί στοχαστική αλλοίωση του σήματος. Ο θόρυβος προκαλεί γενικά σφάλματα μετάδοσης, δηλαδή απώλεια πληροφορίας, ή και ματαίωση της επικοινωνίας. Μέχρι το 1948 ο τηλεπικοινωνιακός μηχανικός επεδίωκε την προστασία του σήματος από το θόρυβο, δηλαδή την πιστή αναπαραγωγή του σήματος στο δέκτη. Με την υψίμανση της θεωρίας πληροφοριών μετατοπίστηκε το ενδιαφέρον στην πιστή αναπαραγωγή του μηνύματος πληροφορίας που είναι αποτυπωμένο στο σήμα. Σύγχρονα τηλεπικοινωνιακά συστήματα εξασφαλίζουν αξιόπιστη ροή πληροφορίας με σήμα βαθειά θαμμένο σε θόρυβο.

ΟΡΙΣΜΟΣ : Παραμόρφωση είναι κάθε καθοριστική αλλοίωση του σήματος (π.χ. απόσβεση κατά 30 dB).

ΟΡΙΣΜΟΣ : Καταναλωτής της πληροφορίας είναι το τελευταίο τμήμα του συστήματος επικοινωνίας όπου αναδομείται το αρχικό μήνυμα πληροφορίας. Έπεται του μεταλλάκτη, που μετατρέπει το σήμα σε κωδικό μήνυμα, και του αποκωδικοποιητή.

που μετατρέπει το κωδικό μήνυμα στο αρχικό μήνυμα πληροφορίας αφού αποκαλύψει και διορθώσει σφάλματα μετάδοσης. Η πληροφορία επιδεικνύεται σε κείμενο, ήχο, εικόνα ή άλλη μορφή και καταναλώνεται αυξάνοντας τη γνώση του χρήστη ή αποθηκεύεται για μελλοντική χρήση.

1.2 ΜΕΤΡΟ ΠΛΗΡΟΦΟΡΙΑΣ - ΕΝΤΡΟΠΙΑ

Για τη μέτρηση της πληροφορίας που συνοδεύει κάποιο γεγονός χρησιμοποιείται στη θεωρία πληροφοριών μόνον η αντίστοιχη πιθανότητα. Είναι φανερό ότι συνηθισμένα γεγονότα (π.χ. η ανατολή του ήλιου) συνοδεύονται από μικρή ποσότητα πληροφορίας ενώ σπάνια γεγονότα (π.χ. ισχυρός σεισμός) συνοδεύονται από μεγάλη ποσότητα πληροφορίας. Επομένως η συνάρτηση που προσδιορίζει την πληροφορία έχει μόνο μία ανεξάρτητη μεταβλητή, την πιθανότητα του αντίστοιχου γεγονότος, και μάλιστα είναι φθίνουσα συνάρτηση.

Η διαίσθηση υποδεικνύει ότι κάθε συνδυασμός δύο ή περισσότερων ανεξάρτητων γεγονότων συνοδεύεται από πληροφορία ίση με το άθροισμα εκείνων που συνοδεύουν καθένα από αυτά. Η συνάρτηση που προσδιορίζει την πληροφορία σύνθετου γεγονότος είναι επομένως απαραίτητο να διαθέτει την αθροιστική ιδιότητα.

ΟΡΙΣΜΟΣ : Αυτοπληροφορία ή πληροφοριακό περιεχόμενο γεγονότος είναι ο αρνητικός λογάριθμος της αντίστοιχης πιθανότητας :

$$I(a) = -\log_2(p) \quad (1.1)$$

Τα σύμβολα a, p στην εξ. (1.1) εκπροσωπούν το γεγονός και την πιθανότητα του, αντίστοιχα, I είναι η πληροφορία που συνοδεύει το γεγονός (αυτοπληροφορία) και e είναι η βάση υπολογισμού του λογαρίθμου. Η συνάρτηση $I(a)$ αναφέρεται στο γεγονός αλλά εξαρτάται ουσιαστικά μόνο από την πιθανότητα του. Επιπλέον είναι φανερό ότι $I(a)$ είναι φθίνουσα συνάρτηση της ανεξάρτητης μεταβλητής p .

Η μονάδα μέτρησης της πληροφορίας εξαρτάται από τη βάση υπολογισμού των λογαρίθμων και ονομάζεται bit για $e = 2$, nat για $e = e$ ($\log_e(\cdot) = \ln(\cdot)$) και hartley για $e = 10$. Είναι φανερό από την εξ. (1.1) ότι η αυτοπληροφορία γεγονότος είναι μη αρνητικό μέγεθος αφού $0 \leq p \leq 1$. Η λογαριθμική συνάρτηση διαθέτει και την αθροιστική ιδιότητα. Αν a_1, a_2 είναι συνδυασμός δύο ανεξάρτητων γεγονότων

α_1, α_2 με αντίστοιχες πιθανότητες π_1, π_2 , η αυτοπληροφορία του σύνθετου γεγονότος $\alpha_1\alpha_2$ είναι ίση με το άθροισμα της αυτοπληροφορίας καθενός από τα απλά γεγονότα α_1, α_2 :

$$I(\alpha_1\alpha_2) = -\log_e(\pi_1\pi_2) = -\log_e(\pi_1) - \log_e(\pi_2) = I(\alpha_1) + I(\alpha_2) \quad (1.2)$$

Ο αριθμός της εξ. (1.1) προκύπτει με την αξιωματική θεμελίωση Feinberg. Στο πλαίσιο όμως αυτού του συγγράμματος αρκεί ότι η λογαριθμική έκφραση της εξ. (1.1) συμμορφώνεται στις απαιτήσεις της διαίθεσης.

ΠΑΡΑΔΕΙΓΜΑ : Πηγή πληροφορίας εκπέμπει δύο ισοπίθανα σύμβολα, έστω 0 και 1. Η πληροφορία που συνοδεύει την εμφάνιση καθενός δυαδικού συμβόλου είναι $I(1) = I(0) = -\log_2(0.5) = 1$ bit.

ΠΑΡΑΔΕΙΓΜΑ : Έστω πηγή πληροφορίας που εκπέμπει ισοπίθανες δεκάδες δυαδικών ψηφίων. Είναι φανερό ότι υπάρχουν 2^{10} δυαδικές δεκάδες. Η πιθανότητα εμφάνισης οποιασδήποτε δυαδικής δεκάδας είναι $1/2^{10}$ και επομένως το πληροφοριακό περιεχόμενο της είναι $-\log_2(1/2^{10}) = 10$ bits. Αν η πηγή πληροφορίας παράγει ισοπίθανες τριάδες δεκαδικών ψηφίων, προκύπτει με τον ίδιο συλλογισμό ότι το πληροφοριακό περιεχόμενο κάθε δεκαδικής τριάδας είναι $-\log_2(1/10^3)$. Αλλά $10^3 \approx 2^{10}$ και επομένως $-\log_2(1/10^3) \approx -\log_2(1/2^{10}) = 10$ bits, δηλαδή τρία δεκαδικά ψηφία ισοδυναμούν με δέκα δυαδικά ψηφία από την άποψη του πληροφοριακού περιεχομένου.

Έστω πηγή πληροφορίας με αλφάβητο $A = (\alpha_1, \alpha_2, \dots, \alpha_p)$ και κατανομή πιθανοτήτων $\Pi_A = (\pi_1, \pi_2, \dots, \pi_p)$, όπου π_i είναι η πιθανότητα εμφάνισης του συμβόλου πληροφορίας α_i , $i = 1, 2, \dots, p$. Για κάθε κατανομή πιθανοτήτων ισχύει $0 \leq \pi_i \leq 1$ και $\pi_1 + \pi_2 + \dots + \pi_p = 1$.

ΟΡΙΣΜΟΣ : *Εντροπία ή μέση πληροφορία ανά σύμβολο πληροφορίας* είναι ο μέσος όρος της αυτοπληροφορίας που συνοδεύει την εμφάνιση καθενός συμβόλου στην έξοδο της πηγής πληροφορίας. Για την πηγή πληροφορίας A , Π_A η εντροπία δίνεται από την έκφραση :

$$H(A) = H(\alpha_1, \alpha_2, \dots, \alpha_p) = - \sum_{i=1}^p \pi_i \log_2(\pi_i) \quad \text{bits/σύμβολο} \quad (1.3)$$

και έχει τις παρακάτω ιδιότητες :

(α) Είναι συνεχής συνάρτηση των πιθανοτήτων p_i , $i = 1, 2, \dots, \rho$.

(β) Είναι συμμετρική συνάρτηση των p_1, p_2, \dots, p_ρ .

(γ) Είναι μη αρνητική, δηλαδή $H(A) \geq 0$.

(δ) Μεγιστοποιείται για ισοπίθανα σύμβολα εκπομπής, δηλαδή όταν $p_1 = p_2 = \dots = p_\rho = 1/\rho$ και η μέγιστη τιμή της είναι $H(A) = \log_e \rho$.

(ε) Ικανοποιεί την ταυτοανισότητα :

$$H(A) = - \sum_{i=1}^{\rho} p_i \log_e(p_i) \leq - \sum_{i=1}^{\rho} p_i \log_e(\tau_i) \quad (1.4)$$

όπου $\Gamma_A = \{ \tau_1, \tau_2, \dots, \tau_\rho \}$ είναι εναλλακτική κατανομή πιθανότητας για τα σύμβολα πληρωμαρίας a_1, a_2, \dots, a_ρ , δηλαδή $0 \leq \tau_i \leq 1$, $i = 1, 2, \dots, \rho$, και $\tau_1 + \tau_2 + \dots + \tau_\rho = 1$.

Οι ιδιότητες (α)-(γ) είναι προφανείς. Η ιδιότητα (δ) περιγράφει πρόβλημα μεγιστοποίησης υπό συνθήκη που αντιμετωπίζεται με τη μέθοδο των πολλαπλασιαστών Lagrange. Η συνάρτηση που πρέπει να μεγιστοποιηθεί είναι $F(A, \Pi_A) = H(A) = -p_1 \log_e(p_1) - p_2 \log_e(p_2) - \dots - p_\rho \log_e(p_\rho)$ και η συνθήκη είναι $F_1(A, \Pi_A) = p_1 + p_2 + \dots + p_\rho = 1$. Η κατανομή πιθανότητας Π_A που μεγιστοποιεί την $F(A, \Pi_A)$ προκύπτει επιλύοντας τις διαφορικές εξισώσεις :

$$\frac{\partial F(A, \Pi_A)}{\partial p_j} + \kappa \frac{\partial F_1(A, \Pi_A)}{\partial p_j} = 0 \quad ; \quad j = 1, 2, \dots, \rho \quad (1.5)$$

με κ το σταθερό πολλαπλασιαστή. Η εξ. (1.5) υποδεικνύει ότι το μέγιστο της $F(A, \Pi_A) = H(A)$ αντιστοιχεί στην κατανομή πιθανοτήτων με $\log_e p_1 = \log_e p_2 = \dots = \log_e p_\rho = \kappa - \log_e(e)$, δηλαδή σε ισοπίθανα σύμβολα πληρωμαρίας με $p_1 = p_2 = \dots = p_\rho = 1/\rho$ και $\kappa = \log_e(e/\rho)$. Επομένως η μέγιστη τιμή της εντροπίας είναι :

$$H(A) = - \sum_{i=1}^{\rho} (1/\rho) \log_e(1/\rho) = \log_e \rho \quad (1.6)$$

και η ιδιότητα (δ) έχει αποδειχθεί. Προκειμένου να αποδειχθεί η ιδιότητα (ε) η

εξ.(1.4) γράφεται με τη μορφή που ακολουθεί :

$$H(A, \Pi_A / \Gamma_A) = \sum_{i=1}^p \pi_i \log_c \left(\frac{\pi_i}{\tau_i} \right) \geq 0 \quad (1.7)$$

όπου $H(A, \Pi_A / \Gamma_A)$ είναι η σχετική εντροπία (ή αριθμός *Kullback-Leibler*) των κατανομών πιθανότητας Π_A, Γ_A για το αλφάβητο A . Με εφαρμογή της γνωστής ταυτοανισότητας $\ln x \leq x - 1$ προκύπτει ότι η σχετική εντροπία $H(A, \Pi_A / \Gamma_A)$ είναι μη αρνητική :

$$\begin{aligned} \sum_{i=1}^p \pi_i \log_c \left(\frac{\pi_i}{\tau_i} \right) &= - \frac{1}{\ln c} \sum_{i=1}^p \pi_i \ln \left(\frac{\tau_i}{\pi_i} \right) \geq - \frac{1}{\ln c} \sum_{i=1}^p \pi_i \left(1 - \frac{\tau_i}{\pi_i} \right) = \\ &= \frac{1}{\ln c} \sum_{i=1}^p \left(\tau_i - \pi_i \right) = \frac{1}{\ln c} \left(\sum_{i=1}^p \tau_i - \sum_{i=1}^p \pi_i \right) = \frac{1}{\ln c} (1 - 1) = 0 \end{aligned}$$

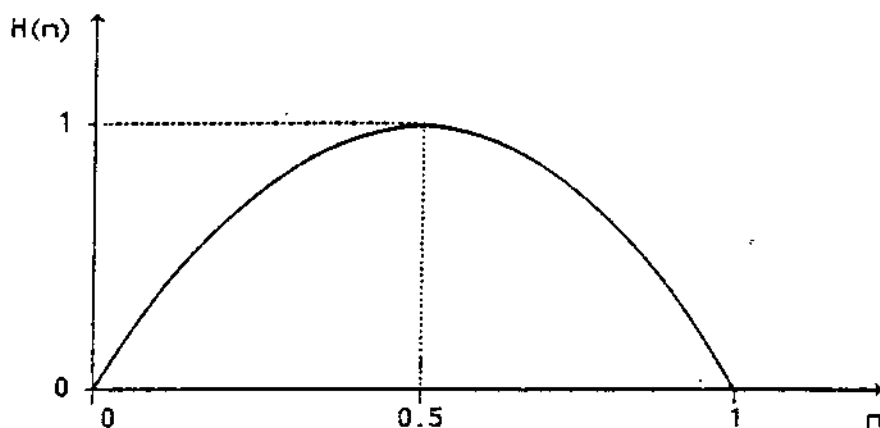
όπως απαιτεί η εξ.(1.7). Επομένως η ιδιότητα (ε) έχει αποδειχθεί. Οι ταυτοανισότητες των εξ.(1.4), (1.7) βρίσκουν πολλές εφαρμογές στη θεμελίωση της θεωρίας πληροφοριών.

ΠΑΡΑΔΕΙΓΜΑ : Η εντροπία δυαδικής πηγής πληροφορίας με ισοπίθανα σύμβολα είναι $H(0,1) = -\pi_0 \log_2(\pi_0) - \pi_1 \log_2(\pi_1) = -0.5 \log_2(0.5) - 0.5 \log_2(0.5) = -\log_2(0.5) = 1$ bit/σύμβολο.

Η δυαδική πηγή πληροφορίας εμφανίζει γενικά τα σύμβολα, έστω 0 και 1, με πιθανότητες π και $1-\pi$, αντίστοιχα. Η εντροπία της είναι :

$$H(\pi) = -\pi \log_2(\pi) - (1-\pi) \log_2(1-\pi) \text{ bits/σύμβολο} \quad (1.8)$$

και η έκφραση στο δεξιό μέλος της εξ.(1.8), που εμπλέκει μόνο τη μεταβλητή π , ονομάζεται *συνάρτηση Shannon* (σχ. 1.2). Το μέγιστο της συνάρτησης Shannon αντιστοιχεί σε ισοπίθανα σύμβολα, δηλαδή $\pi = 1 - \pi = 0.5$. Στα άκρα του διαστήματος ορισμού της μηδενίζεται, αφού $0 \log_2 0 = 1 \log_2 1 = 0$. Αν δεν δημιουργείται αβεβαιότητα για το σύμβολο που εμφανίζεται στην έξοδο δυαδικής πηγής πληροφορίας, τότε αυτή δεν παρέχει πληροφορία. Το ίδιο μπορεί να αποδειχθεί και για πηγές πληροφορίας με μεγαλύτερο πλήθος συμβόλων.



Σχ. 1.2 Συνάρτηση Shannon.

ΠΑΡΑΔΕΙΓΜΑ : Η εντροπία v -αδικής πηγής πληροφορίας με ισοπίθανα σύμβολα είναι $H(\alpha_1, \alpha_2, \dots, \alpha_v) = -v(1/v) \log_2(1/v) = \log_2 v$ bits/σύμβολο.

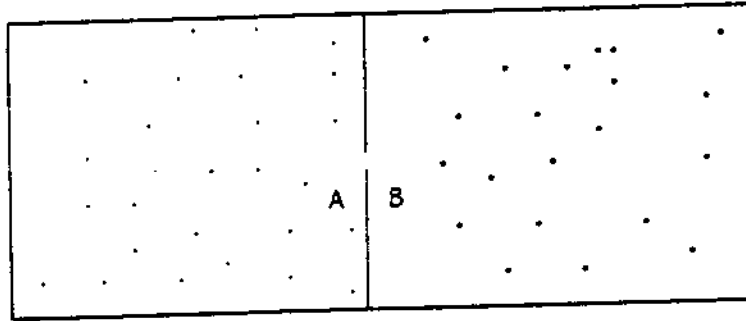
ΠΑΡΑΔΕΙΓΜΑ : Η εντροπία αμιλούμενης γλώσσας καθορίζεται αφού πρώτα υπολογισθούν οι πιθανότητες εμφάνισης των γραμμάτων της. Στο αλφάβητο της γλώσσας συμπεριλαμβάνεται και το διάκενο σαν ιδιαίτερο σύμβολο. Στον πίνακα 1.1 δίνονται οι πιθανότητες εμφάνισης των γραμμάτων της Αγγλικής και της Γερμανικής γλώσσας. Με εφαρμογή της εξ. (1.3) προκύπτει ότι η εντροπία της Αγγλικής γλώσσας είναι 4.08 bits/σύμβολο και αντίστοιχα για τη Γερμανική γλώσσα είναι 4.11 bits/σύμβολο.

Είναι απαραίτητο να διερευνηθεί αν η εντροπία της θεωρίας πληροφοριών έχει σχέση με την εντροπία της θερμοδυναμικής και της στατιστικής μηχανικής. Το αποτέλεσμα αυτής της προσπάθειας θα καθορίσει τη θέση της θεωρίας πληροφοριών σε σχέση με κλασσικές φυσικές επιστήμες και θα βοηθήσει στη σύνδεση της πληροφορίας, δηλαδή του μεγέθους που χαρακτηρίζει τον 20ο αιώνα, με την ισχύ, δηλαδή το μέγεθος που χαρακτήρισε το 19ο αιώνα.

Η εντροπία στο πλαίσιο της θερμοδυναμικής περιγράφει την οργάνωση του θερμικού συστήματος σε σχέση με κάποια (αυθαίρετη) αναφορά. Εστω θερμικό σύστημα που αποτελείται από δοχείο με κρύο νερό και δοχείο με ζεστό νερό. Με ανάμειξη του περιεχομένου των δύο δοχείων προκύπτει χλιαρό νερό σε δοχείο διπλάσιας χωρητικότητας και το τελικό θερμικό σύστημα έχει κατώτερη οργάνωση από το αρχικό παρόλο που ούτε παράγεται ούτε χάνεται θερμότητα κατά την ανάμειξη. Εκείνο που χάθηκε κατά την ανάμειξη είναι ο αρχικός διαμερισμός ζεστού και κρύου νερού, δηλαδή η οργάνωση του θερμικού συστήματος. Είναι φανερό ότι η παραπάνω μεταβολή δεν είναι αντιστρέψιμη, δηλαδή δεν είναι δυνατό από δοχείο χλιαρού νερού να

παραχθούν δύο δοχεία με κρύο και ζεστό νερό, αντίστοιχα.

Η μετάδοση πληροφορίας σε σύστημα επικοινωνίας αυξάνει τη γνώση του αποδέκτη της πληροφορίας και διαμορφώνει την εγκειφαλική οργάνωση του. Η πρόσθετη γνώση χρησιμοποιείται γενικά στη λήψη αποφάσεων ή στην εκτέλεση ενεργειών που οδηγούν σε παραγωγή έργου. Είναι φανερό λοιπόν ότι η εντροπία της θεωρίας πληροφοριών αντιστοιχεί στην εντροπία της θερμοδυναμικής και στη διαπίστωση αυτή συμβάλλει το παρακάτω νοητικό πείραμα που εμπλέκει το *δαίμονα του Maxwell*.



Σχ. 1.3 Ο δαίμονας ξεχωρίζει αργά (·) από γρήγορα (·) μόρια προκαλώντας διαφορά θερμοκρασίας μεταξύ των διαμερισμάτων A, B.

Εστω κλειστός χώρος όπου ζει ο δαίμονας του Maxwell, δηλαδή υπερφυσικό ον προικισμένο με τη δυνατότητα να διακρίνει μόρια του παγιδευμένου αερίου (σχ. 1.3). Ο χώρος υποδιαιρείται σε δύο διαμερίσματα και η μοναδική θυρίδα επικοινωνίας ελέγχεται από το δαίμονα. Τα μόρια του αερίου εκτελούν άτακτη κίνηση και μετακινούμενα τυχαία ανακλίνονται στα τοιχώματα του χώρου. Είναι φανερό ότι κάθε μόριο του αερίου προσεγγίζει κάποτε τη θυρίδα μεταξύ των δύο διαμερισμάτων. Εκεί παραμονεύει ο δαίμονας που επιτρέπει σε γρήγορα μόρια τη διέλευση από το διαμέρισμα A στο διαμέρισμα B και σε αργά μόρια τη διέλευση από το διαμέρισμα B στο διαμέρισμα A. Αν το άνοιγμα και κλείσιμο της θυρίδας δεν απαιτούν έργο, μετά από αρκετό χρόνο το διαμέρισμα B θα περιέχει μόνο γρήγορα μόρια ενώ το διαμέρισμα A θα περιέχει μόνο αργά μόρια. Επειδή η κινητική κατάσταση των μορίων κάθε χώρου περιγράφεται μακροσκοπικά από τη θερμοκρασία του, είναι φανερό ότι η έξυπνη δραστηριότητα του δαίμονα καταλήγει σε διαφορά θερμοκρασίας μεταξύ των δύο διαμερισμάτων. Είναι γνωστό από τη θερμοδυναμική ότι κάθε διαφορά θερμοκρασίας προσφέρει τη δυνατότητα παραγωγής έργου. Το νοητικό πείραμα δεν υποδεικνύει ότι είναι δυνατό να παραχθεί έργο από το μηδέν αλλά ότι η πληροφορία που αποκτά και επεξεργάζεται ο δαίμονας ισοδυναμεί με ενέργεια, δηλαδή με δυνατότητα παραγωγής έργου.

Πίνακας 1.1

Πιθανότητες συμβόλων Αγγλικής και Γερμανικής γλώσσας

i	ΑΓΓΛΙΚΑ		ΓΕΡΜΑΝΙΚΑ	
	Γράμμα	π_i	Γράμμα	π_i
1		0.1859		0.15149
2	E	0.1031	E	0.14700
3	T	0.0796	N	0.08835
4	A	0.0642	R	0.06858
5	O	0.0632	I	0.06378
6	I	0.0575	S	0.05388
7	N	0.0574	T	0.04731
8	S	0.0514	D	0.04385
9	R	0.0484	H	0.04355
10	H	0.0467	A	0.04331
11	L	0.0321	U	0.03188
12	D	0.0317	L	0.02931
13	U	0.0228	C	0.02673
14	C	0.0218	G	0.02667
15	F	0.0208	M	0.02134
16	M	0.0198	O	0.01772
17	W	0.0175	B	0.01597
18	Y	0.0164	Z	0.01423
19	G	0.0152	W	0.01420
20	P	0.0152	F	0.01360
21	B	0.0127	K	0.00956
22	V	0.0083	V	0.00735
23	K	0.0049	Ue	0.00580
24	X	0.0013	P	0.00499
25	J	0.0008	Ae	0.00491
26	Q	0.0008	Oe	0.00255
27	Z	0.0005	J	0.00165
28			Y	0.00017
29			Q	0.00014
30			X	0.00013
Εντροπία	4.08 bits/σύμβολο		4.1134 bits/σύμβολο	

Η εντροπία στο πλαίσιο της στατιστικής μηχανικής περιγράφει τη διευθέτηση στοιχείων του συστήματος σε σχέση με αριθμό ενεργειακών καταστάσεων. Εστω κλειστό δοχείο που περιέχει v μόρια αερίου. Αν v_1, v_2, \dots, v_p μόρια βρίσκονται στις ενεργειακές καταστάσεις E_1, E_2, \dots, E_p αντίστοιχα, με $v_1 + v_2 + \dots + v_p = v$, τότε η πιθανότητα κάποιου μορίου να βρίσκεται στην ενεργειακή κατάσταση E_i είναι $\pi_i = v_i/v$, $i = 1, 2, \dots, p$ και η πιθανότητα συγκεκριμένης διανομής των v μορίων στις p ενεργειακές καταστάσεις είναι ανάλογη του πλήθους των δυνατών διανομών v πραγμάτων σε p ομάδες με v_1, v_2, \dots, v_p μέλη σε κάθε ομάδα :

$$\eta_{v,p} = \frac{v!}{v_1! v_2! \dots v_p!} \quad (1.9)$$

Στη στατιστική μηχανική χρησιμοποιείται ο παρακάτω ορισμός για την εντροπία του συστήματος :

$$H = k \ln(\eta_{v,p}) \quad (1.10)$$

όπου k είναι η σταθερά Boltzmann. Αποδεικνύεται με την κινητική θεωρία ότι ο ορισμός της εξ.(1.10) είναι ισοδύναμος του γνωστού μακροσκοπικού ορισμού $ds = dQ/T$ που χρησιμοποιείται για την εντροπία στο πλαίσιο της θερμοδυναμικής. Είναι μάλιστα σημαντικό ότι στη στατιστική μηχανική χρησιμοποιείται για την εντροπία το σύμβολο H αντί των συμβόλων ψ ή S που χρησιμοποιούνται στη θερμοδυναμική. Αν συνδυασθούν οι εξ.(1.9), (1.10) και χρησιμοποιηθεί η προσέγγιση Stirling $v! \approx \sqrt{2\pi v} e^{-v} v^{v+1/2}$, προκύπτει :

$$H = k \left[v \ln v - \sum_{i=1}^p v_i \ln v_i \right] + \frac{k}{2} \left[\ln(2\pi v) - \sum_{i=1}^p v_i \ln(2\pi v_i) \right] \quad (1.11)$$

Οι δύο τελευταίοι όροι στο δεξιό μέλος της εξ.(1.11) είναι δυνατό να παραλειφθούν για $v \gg 1$. Η έκφραση της εντροπίας απλοποιείται στην παρακάτω :

$$H = -k v \ln e \sum_{i=1}^p \eta_i \log_e(\eta_i) \quad (1.12)$$

που ουσιαστικά ταυτίζεται με την έκφραση της εξ.(1.3) για την εντροπία στο πλαίσιο της θεωρίας πληροφοριών.

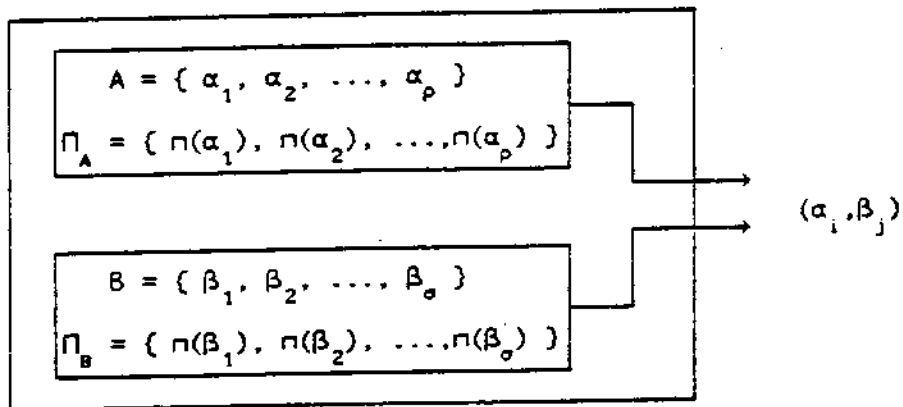
1.3 ΣΥΝΔΕΤΙΚΗ ΕΝΤΡΟΠΙΑ

Δύο απλές πηγές πληροφορίας A, Π_A και B, Π_B συνθέτουν πηγή πληροφορίας με αλφάβητο AB και κατανομή πιθανότητας Π_{AB} (σχ. 1.4). Σύμβολα της σύνθετης πηγής

πληροφορίας είναι τα ζεύγη (α, β) με $\alpha \in A$, $\beta \in B$ και πιθανότητα εμφάνισης $p(\alpha, \beta)$ που καθορίζεται από τη συνδυαστική κατανομή πιθανότητας Π_{AB} (βλ. §1.1.4). Η τελευταία έχει σαν περιθωριακές κατανομές πιθανότητας τις Π_A και Π_B . Κατ' επέκταση της εξ. (1.3) ορίζεται η *συνδυαστική εντροπία* των δύο πηγών πληροφορίας σαν εντροπία της σύνθετης πηγής πληροφορίας AB, Π_{AB} :

$$H(AB) = - \sum_{AB} p(\alpha, \beta) \log_e [p(\alpha, \beta)] \quad (1.13)$$

που περιγράφει τη μέση πληροφορία ανά ζεύγος συμβόλων (α, β) με $\alpha \in A$ και $\beta \in B$.



Σχ. 1.4 Σύνθετη πηγή πληροφορίας

Βασική ιδιότητα της συνδυαστικής εντροπίας είναι :

$$H(AB) \leq H(A) + H(B) \quad (1.14)$$

που υποδεικνύει ότι η μέση πληροφορία ανά σύμβολο της σύνθετης πηγής πληροφορίας δεν υπερβαίνει το άθροισμα της μέσης πληροφορίας ανά σύμβολο για κάθε απλή πηγή πληροφορίας. Η ιδιότητα στην εξ. (1.14) ισχύει μόνο στην περίπτωση που οι έξοδοι των απλών πηγών πληροφορίας είναι στατιστικά ανεξάρτητες, οπότε $p(\alpha, \beta) = p(\alpha)p(\beta)$. Για την απόδειξη της εξ. (1.14) χρησιμοποιείται η εξ. (1.4), που επεκτείνεται κατάλληλα για τη σύνθετη πηγή πληροφορίας $AB = \{ (\alpha, \beta) / \alpha \in A, \beta \in B \}$, $\Pi_{AB} = \{ \Pi_{i\theta} [(\alpha, \beta) / \alpha \in A, \beta \in B] = p(\alpha, \beta) \}$. Είναι φανερό ότι η κατανομή πιθανότητας $\Pi_{AB} = \{ \Pi_{i\theta} [(\alpha, \beta) / \alpha \in A, \beta \in B] = p(\alpha)p(\beta) \}$ είναι εναλλακτική κατανομή πιθανότητας για τη σύνθετη πηγή πληροφορίας. Επομένως :

$$\begin{aligned}
H(AB) &= - \sum_{i=1}^p \sum_{j=1}^q n(\alpha_i, \beta_j) \log_e [n(\alpha_i, \beta_j)] \leq - \sum_{i=1}^p \sum_{j=1}^q n(\alpha_i, \beta_j) \log_e [n(\alpha_i) n(\beta_j)] = \\
&= - \sum_{i=1}^p \sum_{j=1}^q n(\alpha_i, \beta_j) \log_e [n(\alpha_i)] - \sum_{i=1}^p \sum_{j=1}^q n(\alpha_i, \beta_j) \log_e [n(\beta_j)] = \\
&= - \sum_{i=1}^p \left[\sum_{j=1}^q n(\alpha_i, \beta_j) \right] \log_e [n(\alpha_i)] - \sum_{j=1}^q \left[\sum_{i=1}^p n(\alpha_i, \beta_j) \right] \log_e [n(\beta_j)] = \\
&= - \sum_{i=1}^p n(\alpha_i) \log_e [n(\alpha_i)] - \sum_{j=1}^q n(\beta_j) \log_e [n(\beta_j)] = H(A) + H(B)
\end{aligned}$$

Αν ν απλές πηγές πληροφορίας $A_1, \Pi_1, A_2, \Pi_2, \dots, A_v, \Pi_v$ χρησιμοποιηθούν για τη σύνθεση πηγής πληροφορίας με σύμβολα ν-άδες $(\alpha_1, \alpha_2, \dots, \alpha_v)$, όπου $\alpha_1 \in A_1, \alpha_2 \in A_2, \dots, \alpha_v \in A_v$, ο ορισμός της συνδυαστικής εντροπίας επεκτείνεται στον παρακάτω :

$$H(A_1 A_2 \dots A_v) = - \sum_{A_1} \sum_{A_2} \dots \sum_{A_v} n(\alpha_1, \alpha_2, \dots, \alpha_v) \log_e [n(\alpha_1, \alpha_2, \dots, \alpha_v)] \quad (1.15)$$

και είναι εύκολο να αποδειχθεί ότι ισχύει η ταυτοανισότητα :

$$H(A_1 A_2 \dots A_v) \leq H(A_1) + H(A_2) + \dots + H(A_v) \quad (1.16)$$

που αποτελεί γενίκευση της εξ.(1.14).

1.4 ΥΠΟ ΣΥΝΘΗΚΗ ΕΝΤΡΟΠΙΑ

Εστω ότι σε σύνθετη πηγή πληροφορίας που αποτελείται από δύο απλές πηγές πληροφορίας (σχ. 1.4) μία από τις δύο εμφανίζει μόνιμα κάποιο σύμβολο, π.χ. η πηγή πληροφορίας B, Π_B εμφανίζει στην έξοδο της συνέχεια το σύμβολο β_j . Το αλφάβητο της σύνθετης πηγής πληροφορίας περιορίζεται τότε στο σύνολο των ζευγών (α_i, β_j) με α_i οποιοδήποτε σύμβολο από το σύνολο A . Η πιθανότητα εμφάνισης του

σύνθετου συμβόλου (α_i, β_j) λούεται με την πιθανότητα εμφάνισης του απλού συμβόλου α_i στην έξοδο της πηγής πληροφορίας A, Π_A με δεδομένο ότι η πηγή πληροφορίας B, Π_B εμφανίζει στην έξοδο της μόνο το σύμβολο β_j . Επομένως πρόκειται για την υπό συνθήκη πιθανότητα :

$$p(\alpha_i/\beta_j) = \frac{p(\alpha_i, \beta_j)}{p(\beta_j)} \quad (1.17)$$

και η μέση πληροφορία ανά σύμβολο της σύνθετης πηγής πληροφορίας με δεδομένη έξοδο σε μία από τις δύο απλές πηγές πληροφορίας είναι :

$$H(A/\beta_j) = - \sum_{i=1}^p p(\alpha_i/\beta_j) \log_e [p(\alpha_i/\beta_j)] \quad (1.18)$$

Η εξ. (1.18) είναι προέκταση της εξ. (1.3). Η μέση τιμή του μεγέθους $H(A/\beta_j)$ ως προς τα σύμβολα β_j είναι η υπό συνθήκη εντροπία :

$$\begin{aligned} H(A/B) &= \sum_{j=1}^q H(A/\beta_j) p(\beta_j) = - \sum_{i=1}^p \sum_{j=1}^q p(\alpha_i, \beta_j) \log_e [p(\alpha_i/\beta_j)] = \\ &= - \sum_{i=1}^p \sum_{j=1}^q p(\alpha_i, \beta_j) \log_e [p(\alpha_i, \beta_j)] \end{aligned} \quad (1.19)$$

που περιγράφει τη μέση αβεβαιότητα για την έξοδο της πηγής πληροφορίας A, Π_A με γνωστή την έξοδο της πηγής πληροφορίας B, Π_B . Ανάλογα ορίζεται και η υπό συνθήκη εντροπία $H(B/A)$.

Αν χρησιμοποιηθεί η εξ. (1.17) στην εξ. (1.19) προκύπτει :

$$\begin{aligned} H(A/B) &= - \sum_{i=1}^p \sum_{j=1}^q p(\alpha_i, \beta_j) \log_e \left[\frac{p(\alpha_i, \beta_j)}{p(\beta_j)} \right] = \\ &= - \sum_{i=1}^p \sum_{j=1}^q p(\alpha_i, \beta_j) \log_e [p(\alpha_i, \beta_j)] + \sum_{i=1}^p \sum_{j=1}^q p(\alpha_i, \beta_j) \log_e [p(\beta_j)] = \end{aligned}$$

$$= H(AB) + \sum_{j=1}^{\sigma} p(\beta_j) \log_e [p(\beta_j)] = H(AB) - H(B) \quad (1.20)$$

και με ανάλογη διαδικασία αποδεικνύεται ότι :

$$H(B/A) = H(AB) - H(A) \quad (1.21)$$

Αν χρησιμοποιηθεί η εξ. (1.14), διαπιστώνεται επιπλέον ότι :

$$H(A/B) \leq H(A)$$

$$H(B/A) \leq H(B) \quad (1.22)$$

Η ισοτιμία ισχύει στην περίπτωση που οι έξοδοι των δύο απλών πηγών πληροφορίας είναι στατιστικά ανεξάρτητες. Είναι φανερό από τις εξ. (1.22) ότι η αβεβαιότητα για την έξοδο απλής πηγής πληροφορίας ελαττώνεται όταν δίνεται κάποια πληροφορία σχετικά με την έξοδο γειτονικής πηγής πληροφορίας, εφόσον βέβαια μεταξύ των δύο πηγών πληροφορίας υπάρχει στατιστική εξάρτηση.

ΠΑΡΑΔΕΙΓΜΑ : Εστω απλή πηγή πληροφορίας με αλφάβητο $A = \{ \alpha_1, \alpha_2, \alpha_3 \}$ και κατανομή πιθανότητας $\Pi_A = \{ 1/2, 1/4, 1/4 \}$. Δίνεται και δεύτερη απλή πηγή πληροφορίας, με αλφάβητο $B = \{ \beta_1, \beta_2, \beta_3 \}$, που σχετίζεται με την πρώτη απλή πηγή πληροφορίας μέσω των υπό συνθήκη πιθανοτήτων:

$$p(\beta_1/\alpha_1) = 1/3 \quad p(\beta_2/\alpha_1) = 1/3 \quad p(\beta_3/\alpha_1) = 1/3$$

$$p(\beta_1/\alpha_2) = 1/2 \quad p(\beta_2/\alpha_2) = 1/4 \quad p(\beta_3/\alpha_2) = 1/4$$

$$p(\beta_1/\alpha_3) = 1/4 \quad p(\beta_2/\alpha_3) = 1/4 \quad p(\beta_3/\alpha_3) = 1/2$$

Οι πιθανότητες των συμβόλων $\beta_1, \beta_2, \beta_3$ προσδιορίζονται από την παρακάτω σχέση :

$$p(\beta_j) = \sum_{i=1}^3 p(\alpha_i, \beta_j) = \sum_{i=1}^3 p(\beta_j/\alpha_i) p(\alpha_i)$$

που στο δεξιό μέλος της εμπλέκει γνωστά μεγέθη. Μετά τις πράξεις προκύπτει $p(\beta_1) = 17/48$, $p(\beta_2) = 14/48$, $p(\beta_3) = 17/48$ και είναι προφανές ότι $p(\beta_1) + p(\beta_2) + p(\beta_3) = 1$ όπως απαιτείται για κάθε κατανομή πιθανότητας. Η εντροπία της

δεύτερης πηγής πληροφορίας υπολογίζεται με εφαρμογή της εξ. (1.3) :

$$\begin{aligned} H(B) &= - \sum_{j=1}^3 n(\beta_j) \log_2 \{ n(\beta_j) \} = \\ &= - (17/48) \log_2 (17/48) - (14/48) \log_2 (14/48) - (17/48) \log_2 (17/48) = \\ &= 1.5787 \text{ bits/σύμβολο} \end{aligned}$$

Η υπό συνθήκη εντροπία $H(A/B)$ υπολογίζεται από την εξ. (1.19) :

$$H(A/B) = - \sum_{i=1}^3 \sum_{j=1}^3 n(\beta_j/\alpha_i) n(\alpha_i) \log_2 \left\{ \frac{n(\beta_j/\alpha_i) n(\alpha_i)}{n(\beta_j)} \right\}$$

όπως αυτή διαμορφώνεται με τη βοήθεια της εξ. (1.17). Όλα τα μεγέθη είναι γνωστά και το αποτέλεσμα είναι $H(A/B) = 1.4632$ bits/σύμβολο. Σημειώνεται ότι $H(A/B) < H(A) = 1.5$ bits/σύμβολο, όπως απαιτεί η εξ. (1.22α).

1.5 ΕΠΕΚΤΑΣΕΙΣ ΠΗΓΗΣ ΠΛΗΡΟΦΟΡΙΑΣ

Εστω ότι η σύνθετη πηγή πληροφορίας του σχήματος 1.4 αποτελείται από δύο όμοιες απλές πηγές πληροφορίας, δηλαδή $B = A$ και $\Pi_B = \Pi_A$. Στην περίπτωση αυτή τα σύμβολα πληροφορίας είναι τα ζεύγη (α_i, α_j) με $\alpha_i, \alpha_j \in A$ και επομένως το αλφάβητο της σύνθετης πηγής πληροφορίας είναι το σύνολο $A^2 = A \cdot A$. Η κατανομή πιθανότητας των συμβόλων είναι το σύνολο :

$$\Pi_A^2 = \left\{ n(\alpha_i, \alpha_j) = n(\alpha_i) n(\alpha_j) / n(\alpha_i), n(\alpha_j) \in \Pi_A \right\} \quad (1.23)$$

Η εξ. (1.23) υποδηλώνει ότι δύο επαναλήψεις της απλής πηγής πληροφορίας A, Π_A είναι στατιστικά ανεξάρτητες.

ΟΡΙΣΜΟΣ : Δεύτερη επέκταση πηγής πληροφορίας A, Π_A είναι η σύνθετη πηγή πληροφορίας A^2, Π_A^2 .

Η εντροπία της δεύτερης επέκτασης πηγής πληροφορίας A, Π_A προσδιορίζεται με εφαρμογή της εξ. (1.13) :

$$\begin{aligned} H(A^2) &= - \sum_{i=1}^p \sum_{j=1}^p p(\alpha_i, \alpha_j) \log_e [p(\alpha_i, \alpha_j)] = - \sum_{i=1}^p \sum_{j=1}^p p(\alpha_i) p(\alpha_j) \log_e [p(\alpha_i) p(\alpha_j)] \\ &= - 2 \sum_{i=1}^p p(\alpha_i) \log [p(\alpha_i)] = 2H(A) \end{aligned} \quad (1.24)$$

και επομένως η επέκταση απλής πηγής πληροφορίας αυξάνει την αβεβαιότητα. Το αποτέλεσμα της εξ. (1.24) μπορεί να προσδιοριστεί και με τη βοήθεια της γνωστής ταυτοανισότητας $H(AB) \leq H(A) + H(B)$ που μετατρέπεται σε ισότητα αν A, B είναι στατιστικά ανεξάρτητες τυχαίες μεταβλητές. Εφόσον η δεύτερη επέκταση της απλής πηγής πληροφορίας A, Π_A διαμορφώνεται από δύο στατιστικά ανεξάρτητες επαναλήψεις της, η εξ. (1.14) καθορίζει ότι :

$$H(A^2) = H(A) + H(A) = 2H(A)$$

Γενικότερα, η v -οστή επέκταση της απλής πηγής πληροφορίας A, Π_A προκύπτει από v ανεξάρτητες επαναλήψεις της. Το αλφάβητο της επεκταμένης πηγής πληροφορίας είναι το σύνολο $A^v = A A \dots A$ με στοιχεία v -άδες $(\alpha_{i_1}, \alpha_{i_2}, \dots, \alpha_{i_v}), \alpha_{i_j} \in A$. Η κατανομή πιθανοτήτων της είναι το σύνολο $\Pi_A^v = \{ p(\alpha_{i_1}) p(\alpha_{i_2}) \dots p(\alpha_{i_v}) / p(\alpha_{i_j}) \in \Pi_A \}$. Εύκολα αποδεικνύεται η σχέση :

$$H(A^v) = vH(A) \quad (1.25)$$

που αποτελεί γενύκευση της εξ. (1.24).

ΠΑΡΑΔΕΙΓΜΑ - : Εστω δυαδική πηγή πληροφορίας με αλφάβητο $A = \{ 0, 1 \}$, κατανομή πιθανοτήτων $\Pi_A = \{ p, 1-p \}$ και εντροπία $H(A) = H(p)$, όπου $H(p)$ είναι η συνάρτηση Shannon (βλ. §1.2). Η τρίτη επέκταση της χρησιμοποιεί τα σύμβολα :

000, 010, 100, 001, 101, 110, 011, 111

που ανήκουν στο σύνολο $A^3 = A \cdot A \cdot A$. Η κατανομή πιθανοτήτων των δυαδικών τριάδων είναι :

$$\Pi_A^3 = \left\{ n^3, n^2(1-n), n^2(1-n), n^2(1-n), n(1-n)^2, n(1-n)^2, n(1-n)^2, (1-n)^3 \right\}$$

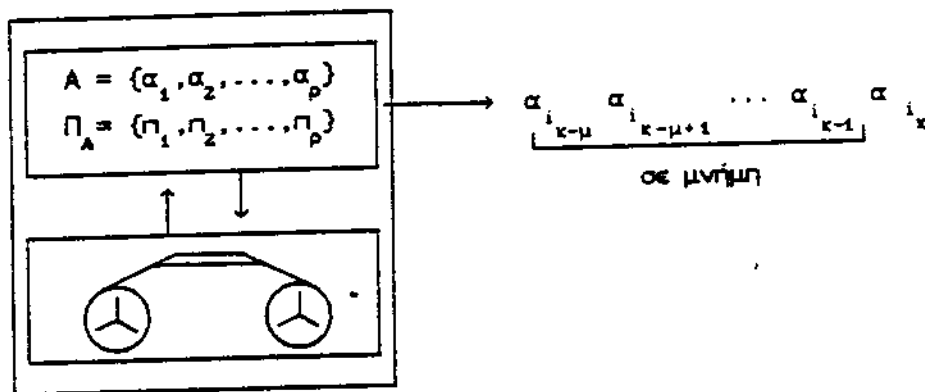
και σύμφωνα με την εξ. (1.25) η εντροπία της είναι $H(A^3) = 3H(n)$.

Με την επέκταση οποιασδήποτε πηγής πληροφορίας επιτυγχάνεται μεγαλύτερο πλήθος συμβόλων πληροφορίας στα οποία είναι δυνατό να αντιστοιχηθούν πολλαπλά ενδεχόμενα.

1.6 ΠΗΓΗ ΠΛΗΡΟΦΟΡΙΑΣ ΜΕ ΜΝΗΜΗ

Πηγή πληροφορίας A, Π_A εκπέμπει διαδοχικά τα σύμβολα $\alpha_{i_1}, \alpha_{i_2}, \dots, \alpha_{i_{k-1}}, \alpha_{i_k}, \dots$ με $\alpha_{i_j} \in A$. Αν η εμφάνιση κάθε συμβόλου εξαρτάται από κάποιο πλήθος προηγούμενων συμβόλων, τότε η πηγή πληροφορίας διαθέτει μνήμη. Συγκεκριμένα η πηγή πληροφορίας A, Π_A διαθέτει μνήμη μ -τάξης αν ισχύει :

$$p(\alpha_{i_k}) \neq p(\alpha_{i_k} / \alpha_{i_{k-1}}, \alpha_{i_{k-2}}, \dots, \alpha_{i_{k-\mu}}) \quad (1.26)$$



Σχ. 1.5 Πηγή πληροφορίας με μνήμη μ -τάξης

που υποδηλώνει ότι υπάρχει στατιστική εξάρτηση μεταξύ του συμβόλου α_{i_k} και των μ προηγούμενων συμβόλων $\alpha_{i_{k-1}}, \alpha_{i_{k-2}}, \dots, \alpha_{i_{k-\mu}}$. Η πηγή πληροφορίας χωρίς μνήμη

είναι ουσιαστικά πηγή πληροφορίας με μήμη μηδενικής τάξης. Εφόσον μ προηγούμενα σύμβολα πρέπει να διατηρούνται στη μήμη προκειμένου να διαμορφωθεί η πιθανότητα εμφάνισης του επόμενου συμβόλου, δεν χρησιμοποιούνται μεμονωμένα σύμβολα του αλφαβήτου A αλλά διατάξεις $\mu+1$ στοιχείων του (σχ. 1.5). Επομένως το αλφάβητο της πηγής πληροφορίας με μήμη μ -τάξης είναι το σύνολο $A^{\mu+1}$, που χρησιμοποιείται από τη $(\mu+1)$ -επέκταση της πηγής πληροφορίας χωρίς μήμη. Αν το σύνολο A έχει ρ στοιχεία, η πηγή πληροφορίας με μήμη μ -τάξης έχει στη διάθεση της $\rho^{\mu+1}$ σύμβολα.

ΠΑΡΑΔΕΙΓΜΑ : Κλασικό παράδειγμα πηγής πληροφορίας με μήμη είναι οι διάφορες γλώσσες. Στον πίνακα 1.1 παρουσιάζονται οι πιθανότητες εμφάνισης των γραμμάτων της Αγγλικής και Γερμανικής γλώσσας σε αντίστοιχα αντιπροσωπευτικά κείμενα. Αν προγραμματισθεί ηλεκτρονικός υπολογιστής να λειτουργεί σαν τυχαία γεννήτρια γραμμάτων από το λατινικό αλφάβητο σύμφωνα με τις πιθανότητες εμφάνισης αυτών των γραμμάτων είτε στην Αγγλική είτε στη Γερμανική γλώσσα, τότε μια τυχαία παράγραφος για κάθε γλώσσα θα είχε τη μορφή :

OCRO HLI RTWR NMIELWIS ER IL
 NBNESBYA TH EEI ALHENETTPAQ
 OOBTTVA NAH BRL STAOX DEC ET

NNBNNDQET TSI ISLEENS LRI BN
 RMET EIKE N HBF BRDAFNN IENH
 EN RHN LHO SRD EESRNILC8R TI

Είναι φανερό ότι δεν υπάρχει δυνατότητα αναγνώρισης της γλώσσας στην οποία αντιστοιχεί κάθε παράγραφος. Αυτό υποδηλώνει ότι τόσο η Αγγλική όσο και η Γερμανική γλώσσα, αλλά και κάθε άλλη γλώσσα, έχουν δομή που δεν αποκαλύπτεται με απλή παράθεση γραμμάτων από το αλφάβητο τους. Είναι γνωστό ότι ορισμένες διατάξεις γραμμάτων είναι περισσότερο πιθανές από άλλες. Σαν παράδειγμα μπορεί να αναφερθεί ότι στην Αγγλική γλώσσα συναντάται συχνά Η μετά από Τ αλλά σπάνια Ζ μετά από Τ. Αν επομένως προσδιορισθούν από αντιπροσωπευτικά κείμενα της Αγγλικής και Γερμανικής γλώσσας οι πιθανότητες εμφάνισης δυάδων γραμμάτων του λατινικού αλφαβήτου, τότε είναι δυνατό να κατασκευασθούν από ηλεκτρονικό υπολογιστή τυχαίες παράφοροι όπως οι παρακάτω :

ON IE ANTOYTINYS ARE INCTORE
 ST BE S DEAMY ACHIN IONASIVE
 TYCOO SEACE EDDY CTSBE ANDYR

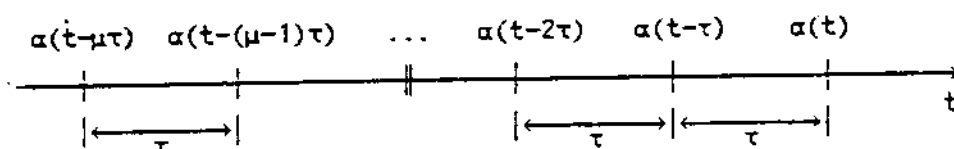
AFERIRTECHSTER DEHABAR DRENN
 ZIBERKL DIMASO E DANAHL KENN
 N DEI WELT WIERK EIILICHE TE

που αρχίζουν να αποκαλύπτουν, αν και όχι τόσο ξεκάθαρα, την προέλευση τους. Καταλήξεις ή μικρές λέξεις από την Αγγλική γλώσσα εμφανίζονται στην πρώτη παράγραφο και το ίδιο συμβαίνει για τη Γερμανική γλώσσα στη δεύτερη παράγραφο. Το επόμενο βήμα προς την κατεύθυνση αυτή πραγματοποιείται με τριάδες γραμμάτων του λατινικού αλφαβήτου. Οι πιθανότητες εμφάνισης τριάδων γραμμάτων εκτιμώνται από αντιπροσωπευτικά κείμενα των δύο γλωσσών και ο ηλεκτρονικός υπολογιστής μπορεί στη συνέχεια να κατασκευάσει τυχαίες παραγράφους όπως οι παρακάτω :

IN NO IST LAT WHEY CRATICTED
 FROERE PRONDENOME PFT DEMONS
 TRARES OF THE REPTAKIN IS TO

BET EREINER SOMMEIT SINACH T
 ER ALM WIE BEST ALLIENDER CO
 LAAFORCHT ABER KONNTE MAN NA

Είναι πλέον σαφές ότι η πρώτη παράγραφος έχει προκύψει από πίνακα με τις πιθανότητες εμφάνισης τριάδων γραμμάτων της Αγγλικής γλώσσας ενώ η δεύτερη παράγραφος αντιστοιχεί στη Γερμανική γλώσσα. Επομένως, οι δύο γλώσσες του παραδείγματος πρέπει να θεωρηθούν σαν πηγές πληροφορίας με μνήμη τουλάχιστο δεύτερης τάξης. Αν η χωρητικότητα του ηλεκτρονικού υπολογιστή επιτρέπει να αποθηκευθούν ολόκληρες λέξεις με την αντίστοιχη πιθανότητα εμφάνισης σε αντιπροσωπευτικό κείμενο της γλώσσας, κάθε τυχαία παράγραφος θα αποκαλύπτει την προέλευση της αλλά επιπλέον είναι δυνατό να κατασκευασθούν τυχαία και προτάσεις με νόημα.



Σχ. 1.5 Διαδοχικές εξόδους πηγής πληροφορίας με μνήμη μ-τάξης

Το μαθηματικό μοντέλο για την περιγραφή πηγής πληροφορίας με μνήμη εμπλέκει και το χρόνο t αφού ενδιαφέρει η διαδοχή των συμβόλων στην έξοδο της πηγής. Επομένως η πηγή πληροφορίας με μνήμη πρέπει να εκφραστεί με διακριτή τυχαία συνάρτηση του χρόνου, έστω $A(t)$ με τιμές $\alpha_1, \alpha_2, \dots, \alpha_p$, και επιπλέον πρέπει να είναι καθορισμένες οι πιθανότητες μετάβασης από μία τιμή σε οποιαδήποτε άλλη. Τέτοιες ιδιότητες εξασφαλίζει κάθε στοχαστική διαδικασία Μάρκον, δηλαδή ένα σύστημα καταστάσεων $A = \{ \alpha_1, \alpha_2, \dots, \alpha_p \}$ ειροδιασμένο με πιθανότητες μεταβάσεων $p(\alpha(t) / \alpha(t-\tau), \alpha(t-2\tau), \dots, \alpha(t-\mu\tau))$, όπου $\alpha(t-k\tau) \in A$, είναι η κατάσταση του συστήματος τη χρονική στιγμή $t-k\tau$, $k = 0, 1, \dots, \mu$ (σχ. 1.6). Ο ακέραιος αριθμός μ είναι ο βαθμός του συστήματος και η τάξη μνήμης της αντίστοιχης πηγής πληροφορίας.

Στην απλή περίπτωση πηγής πληροφορίας με μνήμη πρώτης τάξης χρησιμοποιείται σύστημα Μάρκον πρώτου βαθμού. Η πιθανότητα μετάβασης από την κατάσταση α_i στην κατάσταση α_j με ένα βήμα συμβολίζεται ως εξής :

$$p_{ij} = p_{ij}^{(1)} = p(\alpha(t) = \alpha_j / \alpha(t-\tau) = \alpha_i) \quad (1.27)$$

Ο άνω δείκτης (1) δηλώνει το βαθμό του συστήματος και την τάξη μνήμης της πηγής πληροφορίας. Με τις πιθανότητες p_{ij} , $i, j = 1, 2, \dots, p$, διαμορφώνεται το *μητρώο μεταβάσεων απλού βήματος* :

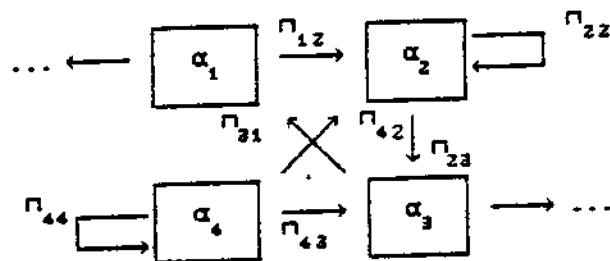
$$P = \begin{bmatrix} p_{11} & p_{12} & \dots & p_{1p} \\ p_{21} & p_{22} & \dots & p_{2p} \\ \dots & \dots & \dots & \dots \\ p_{p1} & p_{p2} & \dots & p_{pp} \end{bmatrix} \quad (1.28)$$

και είναι φανερό ότι :

$$\sum_{j=1}^p p_{ij} = 1 \quad ; \quad i = 1, 2, \dots, p \quad (1.29)$$

αφού το σύστημα θα εξελιχθεί από την παρούσα κατάσταση σε κάποια από όλες τις δυνατές καταστάσεις. Γραμμική παράσταση του συστήματος Μάρκον προαφέρει το

διάγραμμα καταστάσεων (σχ. 1.7) που περιέχει όλες τις καταστάσεις $\alpha_1, \alpha_2, \dots, \alpha_p$ και τόξο από την α_i στην α_j εφόσον $\pi_{ij} \neq 0$.



Σχ. 1.7 Διάγραμμα καταστάσεων

Η πιθανότητα μετάβασης του συστήματος από την κατάσταση α_i στην α_j με πολλαπλό βήμα, μήκους έστω k , συμβολίζεται ως εξής :

$$\pi_{ij}(k) = \pi_{ij}^{(k)}(k) = P(\alpha(t) = \alpha_j / \alpha(t-k\tau) = \alpha_i) \quad (1.30)$$

και προσδιορίζεται από τις πιθανότητες μετάβασης απλού βήματος μέσω των εκφράσεων που ακολουθούν :

$$\pi_{ij}(k) = \sum_{l_1=1}^p \pi_{il_1}(k-1) \pi_{l_1 j} = \sum_{l_1=1}^p \sum_{l_2=1}^p \dots \sum_{l_{k-1}=1}^p \pi_{il_1} \pi_{l_1 l_2} \dots \pi_{l_{k-1} j} \quad (1.31)$$

όπου l_1, l_2, \dots, l_{k-1} είναι ενδιάμεσες καταστάσεις του συστήματος. Αντίστοιχα διαμορφώνεται το *μητρώο μεταβάσεων πολλαπλού βήματος* :

$$\Pi^x = \begin{bmatrix} \pi_{11}(k) & \pi_{12}(k) & \dots & \pi_{1p}(k) \\ \pi_{21}(k) & \pi_{22}(k) & \dots & \pi_{2p}(k) \\ \dots & \dots & \dots & \dots \\ \pi_{p1}(k) & \pi_{p2}(k) & \dots & \pi_{pp}(k) \end{bmatrix} \quad (1.32)$$

και μάλιστα αποδεικνύεται ότι :

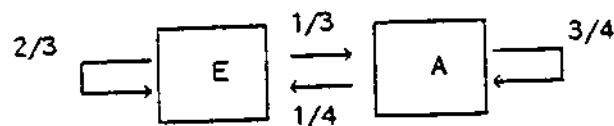
$$\Pi^x = \underbrace{\Pi \dots \Pi}_x \quad (1.33)$$

ΠΑΡΑΔΕΙΓΜΑ : Έστω παίκτης tennis που εκπαιδεύεται στο service και, όπως είναι φυσικό, επηρεάζεται ψυχολογικά από τον αντίπαλο του που προσπαθεί να επιστρέψει το μπαλάκι. Αν πετύχει σε κάποια προσπάθεια, τότε έχει πιθανότητα 2/3 να επιτύχει πάλι στην επόμενη προσπάθεια. Αν όμως αποτύχει σε κάποια προσπάθεια, δηλαδή αν ο αντίπαλος επιστρέψει το μπαλάκι, τότε στην επόμενη προσπάθεια έχει πιθανότητα 3/4 να αποτύχει πάλι.

Η αβεβαιότητα για την επιτυχία του service συνδυάζεται με ποσότητα πληροφορίας που παρέχεται στο θεατή με κάθε προσπάθεια του παίκτη. Η προπόνηση του παίκτη στο service θα μπορούσε να θεωρηθεί σαν πηγή πληροφορίας δύο συμβόλων, έστω E (επιτυχία) και A (αποτυχία). Είναι φανερό ότι η πηγή πληροφορίας έχει μνήμη αφού κάθε προσπάθεια του παίκτη επηρεάζεται από τις προηγούμενες. Το αντίστοιχο σύστημα Markov έχει δύο καταστάσεις, E και A, και προς το παρόν ακαθόριστο βαθμό. Το μητρώο μεταβάσεων απλού βήματος είναι :

$$P = \begin{bmatrix} P_{EE} & P_{EA} \\ P_{AE} & P_{AA} \end{bmatrix} = \begin{bmatrix} 2/3 & 1/3 \\ 1/4 & 3/4 \end{bmatrix}$$

και το διάγραμμα καταστάσεων δίνεται στο σχ. 1.8.



Σχ. 1.8 Διάγραμμα καταστάσεων

Πίνακας 1.2

Πιθανότητες μεταβάσεων πολλαπλού βήματος

κ	1	2	3	4	5	6
$P_{EE}(κ)$.667	.528	.470	.446	.436	.432
$P_{EA}(κ)$.333	.472	.530	.554	.564	.568
$P_{AE}(κ)$.250	.354	.398	.416	.423	.426
$P_{AA}(κ)$.750	.646	.602	.584	.577	.573

Οι πιθανότητες μεταβάσεων πολλαπλού βήματος υπολογίζονται με εφαρμογή της εξ. (1.31) (βλ. πίνακα 1.2) και είναι φανερό ότι καθώς το βήμα αυξάνει οι πιθανότητες μετάβασης από τη μία κατάσταση στην άλλη τείνουν ασυμπτωτικά προς οριακές τιμές. Αυτό υποδηλώνει ότι η επιτυχία ή αποτυχία της προσπάθειας του παίκτη δεν εξαρτάται από προηγούμενη επιτυχία ή αποτυχία αν έχουν μεσολαβήσει αρκετές προσπάθειες, δηλαδή, όπως είναι φυσικό, ο παίκτης δεν επηρεάζεται από παλιές αλλά μόνο από πρόσφατες προσπάθειες του.

Πριν περιγραφεί η έννοια της εντροπίας για την πηγή πληροφορίας με μνήμη είναι απαραίτητο να ορισθούν μερικές έννοιες σχετικές με το σύστημα Markov.

ΟΡΙΣΜΟΣ : Αλυσίδα Markov είναι κάθε ακολουθία διαδοχικών καταστάσεων του συστήματος Markov. Αν το σύστημα Markov περιλαμβάνει τις καταστάσεις $\alpha_1, \alpha_2, \dots, \alpha_p$, μια αλυσίδα μπορεί να έχει τη μορφή $\alpha_2 \alpha_1 \alpha_3 \alpha_p \alpha_2 \alpha_{p-2} \alpha_2 \dots$

ΟΡΙΣΜΟΣ : Στασιμη αλυσίδα Markov είναι κάθε αλυσίδα με στοιχεία που δεν μεταβάλλονται με το χρόνο. Η στασιμότητα εξυπνοεί ότι το σύστημα Markov χρησιμοποιεί πάντα τις ίδιες καταστάσεις.

ΟΡΙΣΜΟΣ : Μεταβατική κατάσταση συστήματος Markov είναι εκείνη που από μία τουλάχιστο διέξοδο προς γειτονική κατάσταση δεν εξασφαλίζει σε διερχόμενη αλυσίδα Markov τη δυνατότητα επανόδου στην εν λόγω κατάσταση.

ΟΡΙΣΜΟΣ : Επανερχόμενη κατάσταση συστήματος Markov είναι εκείνη που από κάθε διέξοδο προς γειτονική κατάσταση εξασφαλίζει σε διερχόμενη αλυσίδα Markov τη δυνατότητα επανόδου στην εν λόγω κατάσταση.

ΟΡΙΣΜΟΣ : Περιοδική κατάσταση συστήματος Markov είναι εκείνη που επιτρέπει σε διερχόμενη αλυσίδα Markov να επιστρέψει στην εν λόγω κατάσταση μόνο με βήματα που είναι ακέραια πολλαπλάσια κάποιου ακεραίου $\lambda > 1$. Επομένως η κατάσταση α_i θεωρείται περιοδική αν $p_{i,i}(k) = 0$ για $k \neq \lambda, 2\lambda, 3\lambda, \dots$

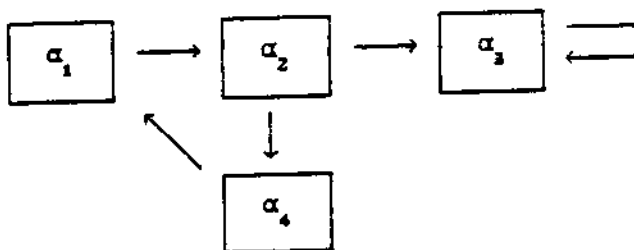
ΟΡΙΣΜΟΣ : Απορροφητική κατάσταση συστήματος Markov είναι εκείνη που δεν επιτρέπει σε διερχόμενη αλυσίδα να εξελιχθεί προς άλλη κατάσταση. Επομένως η κατάσταση α_i θεωρείται απορροφητική αν $p_{i,j} = 0$ για $j \neq i$ οπότε $p_{i,i} = 1$.

διατίθεται και η συνθήκη :

$$u_1 + u_2 + \dots + u_p = 1 \quad (1.37)$$

που ισχύει για κάθε κατανομή πιθανοτήτων.

ΠΑΡΑΔΕΙΓΜΑ : Εστω σύστημα Μάρκοβ με διάγραμμα καταστάσεων όπως στο σχ. 1.9. Το σύστημα Μάρκοβ είναι στάσιμο αφού δεν υπάρχει κάποια ένδειξη ότι οι καταστάσεις του μεταβάλλονται με το χρόνο. Η κατάσταση α_2 είναι μεταβατική επειδή από τη διέξοδο $\alpha_2 \rightarrow \alpha_3$ οδηγεί διερχόμενη αλυσίδα σε διαδρομή χωρίς δυνατότητα επιστροφής στην α_2 (π.χ., ... $\alpha_1 \alpha_2 \alpha_3 \alpha_3 \alpha_3 \dots$). Η κατάσταση α_1 είναι επανερχόμενη επειδή από τη διέξοδο $\alpha_1 \rightarrow \alpha_2$, που είναι και η μοναδική για την α_1 , επιτρέπει σε διερχόμενη αλυσίδα να επανέλθει στην α_1 (π.χ., ... $\alpha_4 \alpha_1 \alpha_2 \alpha_4 \alpha_1 \dots$). Η κατάσταση α_4 είναι περιοδική επειδή η διερχόμενη αλυσίδα μπορεί να επιστρέψει στην α_4 μόνο με βήματα μεγέθους 3, 6, 9, ...



Σχ. 1.9 Διάγραμμα καταστάσεων

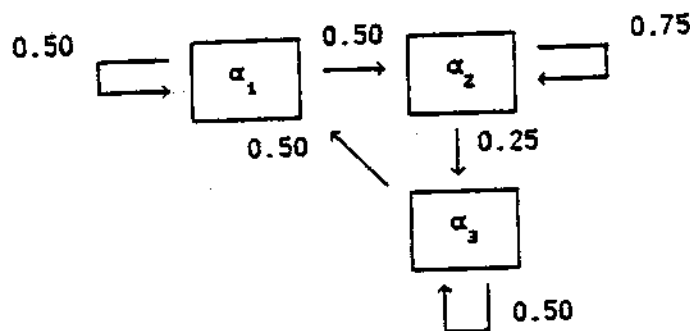
ΠΑΡΑΔΕΙΓΜΑ : Εστω σύστημα Μάρκοβ με διάγραμμα καταστάσεων όπως στο σχ. 1.10. Είναι φανερό ότι κάθε κατάσταση είναι προσπελάσιμη από οποιαδήποτε κατάσταση και επομένως το σύστημα Μάρκοβ είναι εργοδικό. Το μητρώο μεταβάσεων απλού βήματος προκύπτει από το διάγραμμα καταστάσεων :

$$P = \begin{bmatrix} 0.50 & 0.50 & 0.00 \\ 0.00 & 0.75 & 0.25 \\ 0.50 & 0.00 & 0.50 \end{bmatrix}$$

Το μητρώο μεταβάσεων διπλού βήματος προκύπτει με εφαρμογή της εξ. (1.33) :

$$P^2 = \begin{bmatrix} 0.50 & 0.50 & 0.00 \\ 0.00 & 0.75 & 0.25 \\ 0.50 & 0.00 & 0.50 \end{bmatrix} \begin{bmatrix} 0.50 & 0.50 & 0.00 \\ 0.00 & 0.75 & 0.25 \\ 0.50 & 0.00 & 0.50 \end{bmatrix} = \begin{bmatrix} 0.25 & 0.62 & 0.13 \\ 0.13 & 0.56 & 0.31 \\ 0.50 & 0.25 & 0.25 \end{bmatrix}$$

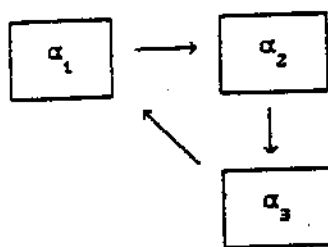
και επειδή δεν περιέχει μηδενικά διαπιστώνεται ότι το σύστημα Markov είναι κανονικό. Εξάλλου με εφαρμογή των εξ. (1.36), (1.37) προκύπτουν οι οριακές πιθανότητες $u_1 = 0.25$, $u_2 = 0.5$, $u_3 = 0.25$.



Σχ. 1.10 Διάγραμμα καταστάσεων

ΠΑΡΑΔΕΙΓΜΑ : Εστω σύστημα Markov με διάγραμμα καταστάσεων όπως στο σχ. 1.11. Είναι φανερό ότι κάθε κατάσταση είναι προσελάσιμη από οποιαδήποτε κατάσταση και επομένως το σύστημα Markov είναι εργοδικό. Το μητρώο μεταβάσεων απλού βήματος προκύπτει από το διάγραμμα καταστάσεων :

$$P = \begin{bmatrix} 0 & 1 & 0 \\ 0 & 0 & 1 \\ 1 & 0 & 0 \end{bmatrix}$$



Σχ. 1.11 Διάγραμμα καταστάσεων

Με εφαρμογή της εξ. (1.33) διαπιστώνεται ότι τα μητρώα Π^2, Π^3 έχουν μηδενικά στοιχεία. Επιπλέον αποδεικνύεται ότι $\Pi^k = \Pi$ και επομένως το σύστημα Μάρκοβ δεν μπορεί να είναι κανονικό.

Εστω κανονικό σύστημα Μάρκοβ με καταστάσεις $\alpha_1, \alpha_2, \dots, \alpha_p$, αντίστοιχες πιθανότητες $\pi_1, \pi_2, \dots, \pi_p$ και αλυσίδα που διέρχεται από κάποια κατάσταση α_i . Στο επόμενο βήμα η αλυσίδα θα εξελιχθεί προς κάποια από τις διαθέσιμες καταστάσεις $\alpha_1, \alpha_2, \dots, \alpha_p$ και η αντίστοιχη πιθανότητα για καθένα από αυτά τα ενδεχόμενα είναι $\pi_{i1}, \pi_{i2}, \dots, \pi_{ip}$. Η αβεβαιότητα για την εξέλιξη της αλυσίδας στο επόμενο βήμα αντιστοιχεί σε ποσότητα πληροφορίας που παρέχεται σε παρατηρητή του συστήματος και η μέση τιμή της είναι :

$$H(\alpha_i) = - \sum_{j=1}^p \pi_{ij} \log_e(\pi_{ij}) \quad (1.38)$$

αφού οι αριθμοί $\pi_{i1}, \pi_{i2}, \dots, \pi_{ip}$ συνιστούν κατανομή πιθανότητας. Η μέση τιμή της ποσότητας πληροφορίας $H(\alpha_i)$ ως προς τις δυνατές καταστάσεις εκκίνησης του αβλύ βήματος ορίζεται σαν *εντροπία αβλύ βήματος* της αντίστοιχης πηγής πληροφορίας με μνήμη και είναι :

$$H(A) = \sum_{i=1}^p \pi(\alpha_i) H(\alpha_i) = - \sum_{i=1}^p \sum_{j=1}^p \pi_i \pi_{ij} \log_e(\pi_{ij}) \quad (1.39)$$

με $\pi_i = \pi(\alpha_i)$ την πιθανότητα να βρεθεί η αλυσίδα στην κατάσταση εκκίνησης α_i , $i = 1, 2, \dots, p$. Αν αγνοηθεί η μνήμη του συστήματος (σχ. 1.5), τα σύνολα $A = \{ \alpha_1, \alpha_2, \dots, \alpha_p \}$ και $\Pi_A = \{ \pi_1, \pi_2, \dots, \pi_p \}$ ορίζουν την *προσαρτημένη πηγή πληροφορίας* που έχει εντροπία :

$$H(A^a) = - \sum_{i=1}^p \pi_i \log_e(\pi_i) \quad (1.40)$$

Η εξέλιξη της αλυσίδας με πολλαπλό βήμα αντιστοιχεί στην *εντροπία πολλαπλού βήματος* :

$$H^{\kappa}(A) = \sum_{i=1}^p \pi_i H^{\kappa}(\alpha_i) = - \sum_{i=1}^p \sum_{j=1}^p \pi_i \pi_{ij}(\kappa) \log_e \left[\pi_{ij}(\kappa) \right] \quad (1.41)$$

Αν $\Pi_A = Y$, οι εξ. (1.39), (1.41) δίνουν αντίστοιχα την *αριακή εντροπία απλού βήματος* :

$$H(A) = \sum_{i=1}^p u_i H(\alpha_i) = - \sum_{i=1}^p \sum_{j=1}^p u_i \pi_{ij} \log_e (\pi_{ij}) \quad (1.42)$$

και την *αριακή εντροπία πολλαπλού βήματος* :

$$H^{\kappa}(A) = \sum_{i=1}^p u_i H^{\kappa}(\alpha_i) = - \sum_{i=1}^p \sum_{j=1}^p u_i \pi_{ij}(\kappa) \log_e \left[\pi_{ij}(\kappa) \right] \quad (1.43)$$

Με την προϋπόθεση $\pi_i = u_i$, $i = 1, 2, \dots, p$, αποδεικνύεται (βλ. §1.II) ότι $H^{\kappa}(A) = \kappa H(A)$, δηλαδή :

$$H^{\kappa+\lambda}(A) = H^{\kappa}(A) + H^{\lambda}(A) = (\kappa+\lambda)H(A) \quad (1.44)$$

Η εξ. (1.44) περιγράφει την αθροιστική ιδιότητα της παροχής πληροφορίας από την εξέλιξη αλυσίδας σε κανονικό σύστημα Markov. Αντίστοιχα ορίζεται και η *αριακή εντροπία* :

$$H^{\infty}(A) = - \sum_{i=1}^p u_i \log_e (u_i) \quad (1.45)$$

που είναι ουσιαστικά η εντροπία της προσαρτημένης πηγής πληροφορίας A, Y . Εύκολα αποδεικνύεται (βλ. §1.III) ότι :

$$H(A) \leq H^{\infty}(A) \leq \log_e (p) \quad (1.46)$$

που δείχνει ότι η ύπαρξη μνήμης ελαττώνει την αβεβαιότητα για το επόμενο σύμβολο στην έξοδο της πηγής πληροφορίας.

ΠΑΡΑΔΕΙΓΜΑ : Εστω η πηγή πληροφορίας $A = (\alpha_1, \alpha_2, \alpha_3)$, $\Pi_A = (1/3, 1/2, 1/6)$ με μνήμη πρώτης τάξης. Δίνονται οι πιθανότητες μεταβάσεων απλού βήματος :

$$\Pi = \begin{bmatrix} 0.00 & 0.40 & 0.60 \\ 0.25 & 0.75 & 0.00 \\ 0.50 & 0.40 & 0.10 \end{bmatrix}$$

Το μητρώο μεταβάσεων διπλού βήματος προκύπτει με εφαρμογή της εξ. (1.33) :

$$\Pi^2 = \begin{bmatrix} 0.00 & 0.40 & 0.60 \\ 0.25 & 0.75 & 0.00 \\ 0.50 & 0.40 & 0.10 \end{bmatrix} \begin{bmatrix} 0.00 & 0.40 & 0.60 \\ 0.25 & 0.75 & 0.00 \\ 0.50 & 0.40 & 0.10 \end{bmatrix} = \begin{bmatrix} 0.40 & 0.54 & 0.06 \\ 0.19 & 0.66 & 0.15 \\ 0.15 & 0.54 & 0.31 \end{bmatrix}$$

και δείχνει ότι το σύστημα Markov είναι κανονικό. Με εφαρμογή των εξ. (1.36), (1.37) προσδιορίζεται η οριακή κατανομή πιθανοτήτων :

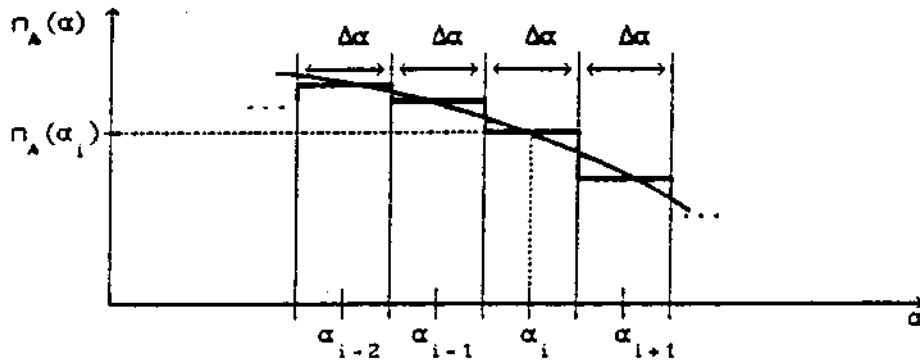
$$u_1 = 0.23, \quad u_2 = 0.615, \quad u_3 = 0.155$$

Από τις εξ. (1.39), (1.40) προκύπτουν αντίστοιχα η εντροπία απλού βήματος $H(A) = 0.956$ bits/σύμβολο, και η εντροπία της προσαρτημένης πηγής $H(A^2) = 1.459$ bits/σύμβολο. Εξάλλου από τις εξ. (1.42), (1.45) υπολογίζονται αντίστοιχα η οριακή εντροπία απλού βήματος $H(A) = 0.933$ bits/σύμβολο και η οριακή εντροπία $H^{\infty}(A) = 1.336$ bits/σύμβολο. Είναι φανερό ότι $H(A) \leq H^{\infty}(A) \leq \log_2 3 = 1.585$ bits/σύμβολο, όπως προβλέπει η εξ. (1.46).

1.7 ΑΝΑΛΟΓΙΚΗ ΠΗΓΗ ΠΛΗΡΟΦΟΡΙΑΣ

Οι πηγές πληροφορίας που εξετάστηκαν μέχρι το σημείο αυτό περιγράφονται με διακριτή τυχαιά μεταβλητή. Τα σύμβολα πληροφορίας αντιστοιχούν στις διακριτές τιμές της τυχαιάς μεταβλητής και εμφανίζονται με συχνότητα που καθορίζεται από την αντίστοιχη κατανομή πιθανοτήτων. Σε πολλές εφαρμογές το μέγεθος που εγκλείει πληροφορία μεταβάλλεται συνεχώς σε κάποιο διάστημα τιμών. Επομένως υπάρχουν άπειρες τιμές για το μέγεθος και αντίστοιχα άπειρα σύμβολα πληροφορίας. Η πιθανότητα εμφάνισης καθενός από αυτά είναι απειροστή. Αντίθετα είναι πεπερασμένη η πιθανότητα να κυμαίνεται η έξοδος της αναλογικής πηγής σε

απειροστό διάστημα τιμών. Είναι επομένως φανερό ότι η αναλογική πηγή πληροφορίας πρέπει να εκπροσωπείται από συνεχή τυχαία μεταβλητή (βλ. §1.1.3), έστω A , δηλαδή συνεχές διάστημα τιμών $[\alpha_{\min}, \alpha_{\max}]$ με την προσαρτημένη σ' αυτό κατανομή πυκνότητας πιθανότητας $p_A(\alpha)$.



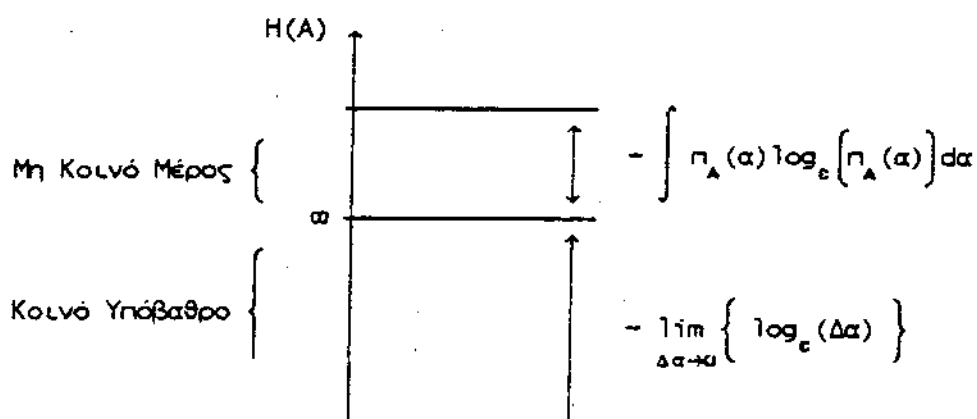
Σχ. 1.12 Διακριτοποίηση συνεχούς τυχαίας μεταβλητής

Η εντροπία αναλογικής πηγής πληροφορίας φαίνεται λογικό να υπολογισθεί κατ' αναλογία με την εντροπία διακριτής πηγής πληροφορίας (βλ. §1.2). Η μετατροπή της συνεχούς τυχαίας μεταβλητής A σε διακριτή πραγματοποιείται με υποδιαίρεση του πεδίου τιμών $[\alpha_{\min}, \alpha_{\max}]$ σε διαστήματα πλάτους $\Delta\alpha$ στα οποία είναι πρακτικά σταθερή η συνάρτηση κατανομής πυκνότητας πιθανότητας $p_A(\alpha)$ (σχ. 1.12). Σαν σύμβολα πληροφορίας θεωρούνται οι τιμές $\alpha_i, i = 1, 2, \dots$, που εμφανίζονται με πιθανότητα $p_A(\alpha_i)\Delta\alpha$. Στο όριο $\Delta\alpha \rightarrow 0$ η εντροπία της διακριτοποιημένης πηγής πληροφορίας πρέπει να είναι η μέση πληροφορία που παρέχει η αναλογική πηγή :

$$\begin{aligned}
 H(A) &= \lim_{\Delta\alpha \rightarrow 0} \left\{ - \sum_i \left[p_A(\alpha_i)\Delta\alpha \right] \log_e \left[p_A(\alpha_i)\Delta\alpha \right] \right\} = \\
 &= - \int p_A(\alpha) \log_e \left[p_A(\alpha) \right] d\alpha - \lim_{\Delta\alpha \rightarrow 0} \left\{ \log_e (\Delta\alpha) \right\} \quad (1.47)
 \end{aligned}$$

Είναι φανερό ότι ο δεύτερος όρος στο δεξιό μέλος της εξ. (1.47) τείνει προς το άπειρο. Επομένως η εντροπία της αναλογικής πηγής πληροφορίας είναι άπειρη. Αυτό δεν είναι παράδοξο αφού η πιθανότητα εμφάνισης οποιουδήποτε συμβόλου είναι απειροστή και κατά συνέπεια υπάρχει άπειρη αβεβαιότητα για την τιμή του μεγέθους στην έξοδο της αναλογικής πηγής. Ο πρώτος όρος στο δεξιό μέλος της εξ. (1.47)

περιγράφει επίσης μια ποσότητα πληροφορίας που παρέχει η αναλογική πηγή επιπλέον εκείνης που εκπροσωπεί ο δεύτερος όρος. Στον υπολογισμό αυτής της πρόσθετης ποσότητας πληροφορίας εμπλέκεται η κατανομή πυκνότητας πιθανότητας που αποτελεί ιδιαίτερο χαρακτηριστικό της αναλογικής πηγής. Δηλαδή, η εντροπία κάθε αναλογικής πηγής είναι μεν άπειρη αλλά προκύπτει σαν άθροισμα μιας άπειρης ποσότητας πληροφορίας, που είναι κοινή σε όλες τις αναλογικές πηγές, και μιας πεπερασμένης ποσότητας, που αντιστοιχεί στη συγκεκριμένη αναλογική πηγή (σχ. 1.13).



Σχ. 1.13 Μέση ποσότητα πληροφορίας στην έξοδο αναλογικής πηγής

Είναι επομένως λογικό να οριστεί :

$$H(A) = - \int p_A(\alpha) \log_c(p_A(\alpha)) d\alpha \quad (1.48)$$

σαν εντροπία της αναλογικής πηγής ενώ είναι σαφές ότι έτσι υπολογίζεται μόνο μέρος της ποσότητας πληροφορίας που παρέχει η αναλογική πηγή. Η έκφραση της εξ. (1.48) για την εντροπία της αναλογικής πηγής πληροφορίας παρουσιάζει τελικά εξαιρετική ομοιότητα με την αντίστοιχη έκφραση για διακριτή πηγή πληροφορίας. Υπάρχουν όμως και διαφορές που αποκαλύπτονται μέσα από τις παρακάτω ιδιότητες.

ΙΔΙΟΤΗΤΑ : Η εντροπία αναλογικής πηγής πληροφορίας μεταβάλλεται με κάθε μετασχηματισμό κατά το σχήμα :

$$\begin{aligned}
 H(B) &= H(A) - E\left\{ \log_e \left[|J(A/B)| \right] \right\} = \\
 &= H(A) - \int p_A(a) \log_e \left[|J(A/B)| \right] da \quad (1.49)
 \end{aligned}$$

όπου $J(A/B)$ είναι η Ιακωβιανή του μετασχηματισμού $A \rightarrow B$ (βλ. 1.IV). Είναι φανερό ότι η διαφοροποίηση της εντροπίας είναι η προσδακτική τιμή του λογαρίθμου της Ιακωβιανής του μετασχηματισμού.

ΠΑΡΑΔΕΙΓΜΑ : Η έξοδος αναλογικής πηγής πληροφορίας ενισχύεται κατά σταθερό παράγοντα. Ο μετασχηματισμός περιγράφεται με τη σχέση $B = kA$, όπου $k > 0$ είναι ο σταθερός παράγων ενίσχυσης. Η Ιακωβιανή του μετασχηματισμού $A \rightarrow B$ είναι $J(A/B) = dA/dB = 1/k$ και η εξ. (1.49) δίνει με τις προϋποθέσεις αυτές :

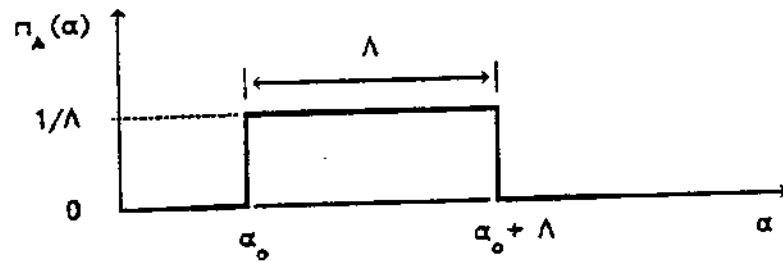
$$H(B) = H(A) + \log_e(k) \quad (1.50)$$

Η εξ. (1.50) υποδηλώνει αύξηση της μέσης πληροφορίας που παρέχει η αναλογική πηγή για ενίσχυση του σήματος εξόδου, δηλαδή για $k > 1$, και μείωση της μέσης πληροφορίας για απόσβεση του σήματος εξόδου, δηλαδή για $k < 1$. Αυτό είναι λογικό επειδή το πεδίο τιμών της εξόδου διαστέλλεται για $k > 1$ ενώ συστέλλεται για $k < 1$.

ΠΑΡΑΔΕΙΓΜΑ : Η έξοδος αναλογικής πηγής πληροφορίας μεταβάλλεται κατά σταθερό όρο. Ο μετασχηματισμός περιγράφεται με τη σχέση $B = A + k$ με k το σταθερό όρο που, με την προϋπόθεση $E(A) = 0$, εκπροσωπεί τη μέση τιμή της τυχαίας μεταβλητής B . Η Ιακωβιανή του μετασχηματισμού $A \rightarrow B$ είναι $J(A/B) = dA/dB = 1$ και η εξ. (1.49) δίνει $H(B) = H(A)$. Επομένως η εντροπία της αναλογικής πηγής πληροφορίας δεν επηρεάζεται από μεταβολές της μέσης τιμής της.

ΙΔΙΟΤΗΤΑ : Η εντροπία αναλογικής πηγής πληροφορίας δεν είναι μη αρνητικό μέγεθος. Υπενθυμίζεται ότι η εντροπία διακριτής πηγής πληροφορίας είναι μη αρνητικό μέγεθος.

ΠΑΡΑΔΕΙΓΜΑ : Εστω αναλογική πηγή πληροφορίας που εκπροσωπείται από τη συνεχή τυχαία μεταβλητή A με ομοιόμορφη κατανομή πυκνότητας πιθανότητας στο διάστημα $[\alpha_0, \alpha_0 + \Lambda]$ (σχ. 1.14).



Σχ. 1.14 Συνεχής τυχαία μεταβλητή με ομοιόμορφη κατανομή πυκνότητας πιθανότητας.

Με εφαρμογή του ορισμού προκύπτει :

$$H(A) = - \int_{\alpha_0}^{\alpha_0 + \Lambda} \frac{1}{\Lambda} \log_c \left(\frac{1}{\Lambda} \right) d\alpha = \log_c(\Lambda) \quad (1.51)$$

και επομένως $H(A) \geq 0$ αν $\Lambda \geq 1$ ενώ $H(A) < 0$ αν $\Lambda < 1$.

ΙΔΙΟΤΗΤΑ : Το μέγιστο της εντροπίας αναλογικής πηγής πληροφορίας και η αντίστοιχη κατανομή πυκνότητας πιθανότητας εξαρτώνται από τις επιβαλλόμενες συνθήκες. Για το προσδιορισμό του μεγίστου εφαρμόζεται η μέθοδος των πολλαπλασιαστών Lagrange. Η συνάρτηση που πρέπει να μεγιστοποιηθεί γράφεται με τη μορφή :

$$H(A) = - \int p_A(\alpha) \log_c(p_A(\alpha)) d\alpha = \int F(\alpha, p_A) d\alpha \quad (1.52)$$

ενώ οι επιβαλλόμενες συνθήκες περιγράφονται με τις σχέσεις :

$$\int F_i(\alpha, p_A) d\alpha = \lambda_i \quad ; \quad i = 1, 2, \dots, \nu \quad (1.53)$$

όπου $\lambda_1, \lambda_2, \dots, \lambda_\nu$ είναι κάποιες σταθερές. Η συνάρτηση κατανομής πυκνότητας πιθανότητας που μεγιστοποιεί την εντροπία προσδιορίζεται από τη διαφορική εξίσωση :

$$\frac{\partial F}{\partial \pi_A} + \sum_{i=1}^v \kappa_i \frac{\partial F_i}{\partial \pi_A} = 0 \quad (1.54)$$

όπου $\kappa_1, \kappa_2, \dots, \kappa_v$ είναι προσδιοριστές σταθερές. Οι τελευταίες προκύπτουν με αντικατάσταση της συνάρτησης π_A , που επιλύει την εξ.(1.54), στις v συνθήκες (εξ.(1.53)).

ΠΑΡΑΔΕΙΓΜΑ : Εστω αναλογική πηγή πληροφορίας που εκπροσωπείται από συνεχή τυχαία μεταβλητή με (σταθερή) τυπική απόκλιση σ_A . Το μέγιστο της εντροπίας καθορίζεται από τις επιβαλλόμενες συνθήκες :

$$\int \pi_A(\alpha) d\alpha = 1, \quad \int \alpha^2 \pi_A(\alpha) d\alpha = \sigma_A^2 \quad (1.55)$$

Επομένως $F_1(\alpha, \pi_A) = \pi_A(\alpha)$, $F_2(\alpha, \pi_A) = \alpha^2 \pi_A(\alpha)$ και η εξ.(1.54) παίρνει εδώ τη μορφή :

$$\frac{\partial(-\pi_A \log_e \pi_A)}{\partial \pi_A} + \kappa_1 + \kappa_2 \alpha^2 = 0 \quad (1.56)$$

από την οποία προκύπτει αμέσως :

$$\pi_A(\alpha) = \exp \left\{ (\kappa_1 + \kappa_2 \alpha^2) \ln e - 1 \right\} \quad (1.57)$$

Με αντικατάσταση στις συνθήκες (εξ.(1.55)) υπολογίζονται μετά από μερικές πράξεις οι σταθερές κ_1, κ_2 :

$$\kappa_1 = \log_e \left(\frac{e}{\sigma_A \sqrt{2\pi}} \right) \quad (1.58)$$

$$\kappa_2 = - \frac{1}{2\sigma_A^2 \ln e}$$

και στη συνέχεια από την εξ.(1.57) διαμορφώνεται η τελική έκφραση για την

κατανομή πυκνότητας πιθανότητας :

$$p_A(x) = \frac{1}{\sigma_A \sqrt{2\pi}} \exp\left\{-\frac{x^2}{2\sigma_A^2}\right\} \quad (1.59)$$

Επομένως για τη μεγιστοποίηση της εντροπίας με τις συνθήκες του παραδείγματος απαιτείται κανονική κατανομή πυκνότητας πιθανότητας με τυπική απόκλιση σ_A . Η έκφραση της εξ. (1.59) δείχνει ότι η μέση τιμή της τυχαίας μεταβλητής A είναι μηδέν. Αυτό δεν σημαίνει ότι η έξοδος της αναλογικής πηγής πληροφορίας έχει μέση τιμή μηδέν αλλά μόνο ότι δεν έχει τεθεί κάποια συνθήκη σχετική με τη μέση τιμή. Εξάλλου έχει ήδη αποδειχθεί ότι η εντροπία αναλογικής πηγής πληροφορίας δεν επηρεάζεται από μεταβολές της μέσης τιμής της εξόδου της. Αν συνδυασθούν οι εξ. (1.59), (1.48), προκύπτει η παρακάτω έκφραση για τη μέγιστη τιμή της εντροπίας με τις συνθήκες του παραδείγματος :

$$H(A) = \log_e \left[\sigma_A \sqrt{2\pi e} \right] \quad (1.60)$$

Αλλά η τυπική απόκλιση της συνεχούς τυχαίας μεταβλητής που εκπροσωπεί αναλογική πηγή πληροφορίας αντιστοιχεί στο πλήθος συμβόλων του αλφαβήτου διακριτής πηγής πληροφορίας. Με την εξ. (1.60) επαναλαμβάνεται ουσιαστικά το συμπέρασμα της §1.2 ότι η μέγιστη τιμή της εντροπίας απλής πηγής πληροφορίας δίνεται από το λογάριθμο του πλήθους των συμβόλων της.

1.8 ΑΣΚΗΣΕΙΣ

1. Να υπολογισθεί η πληροφορία που συνοδεύει αριθμό κυκλοφορίας αυτοκινήτου της μορφής AAAχχχχ, όπου A είναι γράμμα και χ αριθμός.

2. Το μόριο DNA χρωματισμάτος περιέχει 3×10^6 κόμβους. Σε κάθε κόμβο είναι προσαρμοσμένη κάποια τριάδα των χημικών ουσιών A, C, G και U , π.χ. ACU . Η γενετική ταυτότητα του ανθρώπου διαμορφώνεται από τη δομή των 48 χρωματισμάτων του. Να υπολογισθεί η ποσότητα πληροφορίας με την οποία έρχεται στον κόσμο κάθε

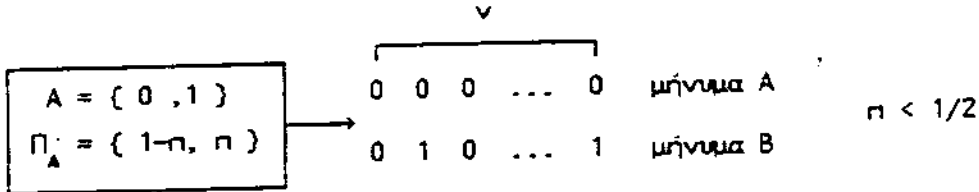
νεογέννητο.

3. Πηγή πληροφορίας έχει αλφάβητο $A = \{ \alpha_1, \alpha_2, \alpha_3 \}$ και κατανομή πιθανοτήτων $\pi_A = \{ 0.3, 0.5, 0.2 \}$. Να υπολογισθεί η αυτοπληροφορία κάθε συμβόλου και η εντροπία της πηγής πληροφορίας. Για να βελτιωθεί η πιθανότητα ορθής μετάδοσης, κάθε σύμβολο εκπέμπεται τρεις φορές. Να υπολογισθεί η εντροπία και ο ρυθμός εκπομπής πληροφορίας στην περίπτωση αυτή.

4. Εστω πηγή πληροφορίας με αλφάβητο $A = \{ \alpha_1, \alpha_2 \}$ και κατανομή πιθανοτήτων $\pi_A = \{ 0.25, 0.75 \}$. Άλλη πηγή πληροφορίας με αλφάβητο $B = \{ \beta_1, \beta_2, \beta_3 \}$ σχετίζεται με την πηγή πληροφορίας A, π_A μέσω των υπό συνθήκη πιθανοτήτων $p(\beta_1/\alpha_1) = 0.25, p(\beta_2/\alpha_1) = 0.35, p(\beta_3/\alpha_1) = 0.40, p(\beta_1/\alpha_2) = 0.10, p(\beta_2/\alpha_2) = 0.70, p(\beta_3/\alpha_2) = 0.20$. Να υπολογισθούν: η εντροπία $H(A)$, η εντροπία $H(B)$, η συνδυαστική εντροπία $H(AB)$ και οι υπό συνθήκη εντροπίες $H(A/B), H(B/A)$.

5. Δίνονται τρεις διακριτές πηγές πληροφορίας με κοινό αλφάβητο $Q = \{ q_1, q_2, \dots, q_p \}$ και κατανομή πιθανοτήτων $\pi_k = \{ \pi_k(q_1), \pi_k(q_2), \dots, \pi_k(q_p) \}$, $k = A, B, \Gamma$, αντίστοιχα. Αν είναι γνωστό ότι ισχύει $\epsilon \pi_A(q_i) + (1-\epsilon) \pi_B(q_i) = \pi_\Gamma(q_i), i = 1, 2, \dots, p$, να αποδειχθεί ότι $\epsilon H(A) + (1-\epsilon) H(B) \leq H(\Gamma)$, όπου $H(A), H(B), H(\Gamma)$ είναι οι εντροπίες των τριών πηγών πληροφορίας.

6. Διαδική πηγή πληροφορίας παράγει μήνυμα A , που περιέχει v μηδενικά, και μήνυμα B , που περιέχει $\epsilon \geq 0$ μονάδες και $v-\epsilon$ μηδενικά, όπως φαίνεται στο παρακάτω σχήμα. Αν π_A, π_B είναι αντίστοιχα οι πιθανότητες των μηνυμάτων A, B , να επιλεγεί από τις σχέσεις $\pi_A > \pi_B, \pi_A = \pi_B, \pi_A < \pi_B$ εκείνη που είναι ορθή και να αιτιολογηθεί η επιλογή.



Κάθε μήνυμα v ψηφίων που περιέχει $\epsilon = \pi v$ μονάδες και $v-\epsilon = (1-\pi)v$ μηδενικά ονομάζεται ϵ -τυπικό μήνυμα. Αν η πηγή πληροφορίας παράγει 10^6 μηνύματα v ψηφίων, πόσα από αυτά αναμένεται να έχουν τη μορφή ϵ -τυπικού μηνύματος; (Εφαρμογή για $v = 20$ και $\pi = 0.3$).

7. Πηγή πληροφορίας με μνήμη πρώτης τάξης και αλφάβητο $A = \{ \alpha_1, \alpha_2 \}$ εκπροσωπείται από σύστημα Markov πρώτου βαθμού με μητρώο μεταβάσεων απλού βήματος :

$$P = \begin{bmatrix} 1-p & p \\ \sigma & 1-\sigma \end{bmatrix}$$

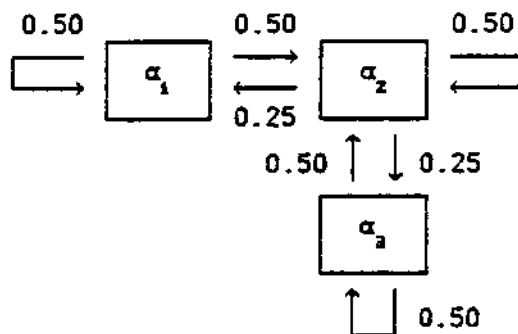
Να σχεδιασθεί το διάγραμμα καταστάσεων και να υπολογισθούν η οριακή κατανομή πιθανοτήτων, η οριακή εντροπία απλού βήματος και η οριακή εντροπία της πηγής πληροφορίας.

8. Πηγή πληροφορίας με μνήμη πρώτης τάξης έχει αλφάβητο $A = \{ \alpha_1, \alpha_2, \alpha_3 \}$, κατανομή πιθανοτήτων $P_A = \{ 1/3, 16/27, 2/27 \}$ και μητρώο μεταβάσεων απλού βήματος :

$$P = \begin{bmatrix} 0 & 4/5 & 1/5 \\ 1/2 & 1/2 & 0 \\ 1/2 & 2/5 & 1/10 \end{bmatrix}$$

Να σχεδιασθεί το διάγραμμα καταστάσεων, να εξετασθεί η κανονικότητα και η εργοδικότητα της πηγής και να υπολογισθεί η οριακή κατανομή πιθανοτήτων.

9. Πηγή πληροφορίας με μνήμη πρώτης τάξης έχει αλφάβητο $A = \{ \alpha_1, \alpha_2, \alpha_3 \}$ και κατανομή πιθανοτήτων $P_A = \{ 1/8, 3/8, 1/2 \}$. Στο παρακάτω σχήμα δίνεται το διάγραμμα καταστάσεων του αντίστοιχου συστήματος Markov πρώτου βαθμού.



Να προσδιορισθούν το μητρώο μεταβάσεων απλού βήματος και το μητρώο μεταβάσεων

διπλού βήματος. Να υπολογισθούν η πιθανότητα $p_{32}(3)$, η οριακή κατανομή πιθανοτήτων, η εντροπία απλού βήματος, η εντροπία διπλού βήματος, η εντροπία της προσαρτημένης πηγής πληροφορίας και η οριακή εντροπία.

10. Να υπολογισθεί η εντροπία αναλογικής πηγής πληροφορίας A , $p_A(\alpha)$ με κατανομή πυκνότητας πιθανότητας :

$$p_A(\alpha) = \frac{1}{\sigma \sqrt{2\pi}} \exp \left\{ - \left[\frac{\alpha - \mu}{\sigma} \right]^2 \right\}$$

όπου μ και σ είναι σταθερές.

11. Να υπολογισθεί το μέγιστο της εντροπίας αναλογικής πηγής πληροφορίας A , $p_A(\alpha)$ και η κατάλληλη κατανομή πυκνότητας πιθανότητας με τη συνθήκη η τυχαία μεταβλητή A να παίρνει μόνο θετικές τιμές με μέγιστη τιμή E .

12. Να υπολογισθεί το μέγιστο της εντροπίας αναλογικής πηγής πληροφορίας A , $p_A(\alpha)$ και η κατάλληλη κατανομή πυκνότητας πιθανότητας με τις συνθήκες (α) η τυχαία μεταβλητή A να παίρνει μη αρνητικές τιμές και (β) η μέση τιμή της να είναι η σταθερά $\mu > 0$.

1.1 ΣΤΟΙΧΕΙΑ ΘΕΩΡΙΑΣ ΠΙΘΑΝΟΤΗΤΩΝ

1.1.1 ΣΥΝΟΛΑ

ΟΡΙΣΜΟΣ : Σύνολο είναι κάθε συλλογή αυθαίρετων αντικειμένων. Τα μέλη της συλλογής χαρακτηρίζονται στοιχεία του συνόλου. Στη συνέχεια θα συμβολίζονται τα σύνολα με κεφαλαία γράμματα (π.χ. A, B, Γ, \dots) και τα στοιχεία συνόλων με μικρά γράμματα (π.χ. $\alpha, \beta, \gamma, \dots$)

ΟΡΙΣΜΟΣ : Κλάση είναι κάθε σύνολο με στοιχεία που είναι επίσης σύνολα. Συμβολίζονται με κεφαλαία κεκλιμένα γράμματα (π.χ. A, B, Γ, \dots).

ΟΡΙΣΜΟΣ : Κενό σύνολο \emptyset είναι το μοναδικό σύνολο χωρίς στοιχεία.

ΟΡΙΣΜΟΣ : Πεπερασμένο σύνολο είναι κάθε σύνολο με πεπερασμένο πλήθος στοιχείων.

ΟΡΙΣΜΟΣ : Απειροσύνολο είναι κάθε σύνολο με άπειρο πλήθος στοιχείων.

ΟΡΙΣΜΟΣ : Αριθμήσιμο σύνολο είναι κάθε σύνολο που αντιστοιχεί αμφιμονοσήμαντα σε κάποιο απόκομμα του συνόλου \mathbb{N} των φυσικών αριθμών.

ΟΡΙΣΜΟΣ : Το σύνολο A είναι υποσύνολο του συνόλου B αν και μόνο αν $\forall a \in A \Rightarrow a \in B$. Η σχέση μεταξύ των συνόλων A, B συμβολίζεται $A \subset B$ ή $B \supset A$ και το σύνολο B χαρακτηρίζεται υπερσύνολο του συνόλου A .

ΟΡΙΣΜΟΣ : Χώρος Ω είναι το υπερσύνολο όλων των συνόλων.

ΟΡΙΣΜΟΣ : Χώρος συναλών $\mathcal{S}(\Omega)$ είναι η κλάση όλων των υποσυνόλων του χώρου Ω .

ΟΡΙΣΜΟΣ : Συμπλήρωμα συνόλου A είναι το σύνολο $A^c = \{ \alpha / \alpha \notin A \}$. Είναι φανερό ότι $(A^c)^c = A$.

ΠΟΡΙΣΜΑ : $\Omega^c = \emptyset$ και $\emptyset^c = \Omega$.

ΟΡΙΣΜΟΣ : Ένωση συνόλων A και B είναι το σύνολο $A \cup B = \{ \gamma / \gamma \in A \text{ ή } \gamma \in B \}$.

ΟΡΙΣΜΟΣ : Τομή συνόλων A και B είναι το σύνολο $A \cap B = \{ \gamma / \gamma \in A \text{ και } \gamma \in B \}$.

ΘΕΩΡΗΜΑ : Οι σχέσεις $(A \cup B)^c = A^c \cap B^c$, $(A \cap B)^c = A^c \cup B^c$ περιγράφουν τους νόμους De Morgan.

ΟΡΙΣΜΟΣ : Πεδίο Boole B είναι κάθε κλάση, γενικά μη αριθμήσιμων, συνόλων με ιδιότητες :

(α) $\emptyset \in B$

(β) Αν $A \in B$, τότε $A^c \in B$.

(γ) Αν $A, B \in B$, τότε $A \cup B \in B$.

ΠΟΡΙΣΜΑ : $\emptyset \in B$.

1.1.2 ΧΩΡΟΙ ΠΙΘΑΝΟΤΗΤΑΣ

ΟΡΙΣΜΟΣ : Γεγονός είναι το αποτέλεσμα κάποιου πειράματος E . Διακρίνονται απλά και σύνθετα γεγονότα.

ΟΡΙΣΜΟΣ : Δειγματικός χώρος Ω_E είναι το σύνολο των απλών γεγονότων ω πειράματος E . Στη συνέχεια απορρίπτεται ο κάτω δείκτης E από το συμβολισμό του δειγματικού χώρου.

ΟΡΙΣΜΟΣ : Παρατηρητό γεγονός A είναι κάθε υποσύνολο του δειγματικού χώρου Ω . Το σύνολο των παρατηρητών γεγονότων αποτελεί το πεδίο \mathcal{B} του πειράματος.

ΟΡΙΣΜΟΣ : Μέτρο πιθανότητας ή πιθανότητα $P(A)$ παρατηρητού γεγονότος A είναι αριθμός που αντιστοιχίζεται με δεδομένο νόμο σε κάθε παρατηρητό γεγονός από το πεδίο \mathcal{B} πειράματος. Η πιθανότητα διαθέτει τις παρακάτω ιδιότητες :

(α) $0 \leq P(A) \leq 1 \quad \forall A \in \mathcal{B}$

(β) $P(\Omega) = 1$

(γ) $P(\emptyset) = 0$

(δ) Αν $A \subset B$, τότε $P(A) < P(B)$.

(ε) $P(A \cup B) = P(A) + P(B) - P(A \cap B) \quad \forall A, B \in \mathcal{B}$

(στ) Αν $A, B \in \mathcal{B}$ είναι ξένα σύνολα, δηλαδή σύνολα χωρίς κοινά στοιχεία, $P(A \cup B) = P(A) + P(B)$.

ΟΡΙΣΜΟΣ : Αν $A, B \in \mathcal{B}$, ο αριθμός $P(A/B) = P(A \cap B)/P(B)$ είναι η υπό συνθήκη πιθανότητα A ως προς B .

ΟΡΙΣΜΟΣ : Δύο παρατηρητά γεγονότα $A, B \in \mathcal{B}$ θεωρούνται στατιστικά ανεξάρτητα αν ισχύει $P(A \cap B) = P(A)P(B)$.

ΠΟΡΙΣΜΑ : Αν $A, B \in \mathcal{B}$ είναι στατιστικά ανεξάρτητα, τότε $P(A/B) = P(A)$ και $P(B/A) = P(B)$.

ΟΡΙΣΜΟΣ : Χώρος πιθανότητας είναι το διατεταγμένο σύνολο (Ω, \mathcal{B}, P) .

1.1.3 ΣΥΝΕΧΕΙΣ ΤΥΧΑΙΕΣ ΜΕΤΑΒΛΗΤΕΣ

ΟΡΙΣΜΟΣ : Συνεχής τυχαία μεταβλητή X είναι κάθε απεικόνιση του χώρου πιθανότητας $(\Omega, \mathcal{B}, \Pi)$ στο σύνολο των πραγματικών αριθμών \mathbb{R} , δηλαδή $X : \Omega \rightarrow \mathbb{R}$, που διαθέτει την ιδιότητα $\Gamma_x = \{\omega / \omega \in \Omega \text{ και } X(\omega) \leq x\} \in \mathcal{B} \quad \forall x \in \mathbb{R}$. Είναι φανερό ότι η τυχαία μεταβλητή είναι συνάρτηση με πεδίο ορισμού το σύνολο Ω των απλών γεγονότων ω και πεδίο τιμών το σύνολο \mathbb{R} των πραγματικών αριθμών x .

ΟΡΙΣΜΟΣ : Κατανομή πιθανότητας συνεχούς τυχαίας μεταβλητής X είναι η συνεχής συνάρτηση $\Pi_x(x) = \Pi(\Gamma_x)$ που περιγράφει την πιθανότητα $X \leq x$. Η κατανομή πιθανότητας έχει τις παρακάτω ιδιότητες :

- (α) $\Pi_x(-\infty) = 0$
- (β) $\Pi_x(\infty) = 1$
- (γ) Είναι μη αρνητική, μονότονα αύξουσα και συνεχής από δεξιά συνάρτηση.

ΟΡΙΣΜΟΣ : Κατανομή πυκνότητας πιθανότητας συνεχούς τυχαίας μεταβλητής X είναι η συνάρτηση $\eta_x(x) = d\Pi_x(x)/dx$. Η κατανομή πυκνότητας πιθανότητας είναι μη αρνητική συνάρτηση και έχει τις παρακάτω ιδιότητες :

$$(α) \int_{-\infty}^{\infty} \eta_x(x) dx = 1$$

$$(β) \int_a^b \eta_x(x) dx = \Pi_x(b) - \Pi_x(a)$$

$$\text{ΠΟΡΙΣΜΑ : } \Pi_x(x) = \int_{-\infty}^x \eta_x(\lambda) d\lambda$$

Εστω οι τυχαίες μεταβλητές X, Y που εκπροσωπούν τα απλά πειράματα E_X, E_Y με χώρους πιθανότητας $(\Omega_X, \mathcal{B}_X, \Pi_X)$ και $(\Omega_Y, \mathcal{B}_Y, \Pi_Y)$, αντίστοιχα. Το σύνθετο πείραμα $E_X E_Y$ ορίζει το χώρο πιθανότητας $(\Omega_{XY}, \mathcal{B}_{XY}, \Pi_{XY})$ με δειγματικό χώρο $\Omega_{XY} = \{(\omega_X, \omega_Y) / \omega_X \in \Omega_X, \omega_Y \in \Omega_Y\}$. Είναι φανερό ότι \mathcal{B}_{XY} συμπεριλαμβάνει τα

παρατηρητά γεγονότα $A \subseteq \Omega_{XY}$. Το μέτρο πιθανότητας Π_{XY} έχει τις γνωστές ιδιότητες :

(α) $0 \leq \Pi_{XY}(A) \leq 1 \quad \forall A \in \mathcal{B}_{XY}$

(β) $\Pi_{XY}(\Omega_{XY}) = 1, \Pi_{XY}(\emptyset) = 0$

(δ) Αν $A \subset B$, τότε $\Pi_{XY}(A) < \Pi_{XY}(B)$.

(ε) $\Pi_{XY}(A \cup B) = \Pi_{XY}(A) + \Pi_{XY}(B) - \Pi_{XY}(A \cap B) \quad \forall A, B \in \mathcal{B}_{XY}$

(στ) Αν $A, B \in \mathcal{B}_{XY}$ είναι ξένα σύνολα, δηλαδή σύνολα χωρίς κοινά στοιχεία,

$\Pi_{XY}(A \cup B) = \Pi_{XY}(A) + \Pi_{XY}(B)$.

Αν $A \in \mathcal{B}_X$ και $B \in \mathcal{B}_Y$, τότε $AB \in \mathcal{B}_{XY}$ και μάλιστα $AB = (A \times B) \cap (\Omega_X \times \Omega_Y)$. Αν $A \in \mathcal{B}_X$ και $B \in \mathcal{B}_Y$ είναι στατιστικά ανεξάρτητα παρατηρητά γεγονότα του σύνθετου πειράματος $\mathcal{E}_X \times \mathcal{E}_Y$, τότε $\Pi_{XY}((A \times B) \cap (\Omega_X \times \Omega_Y)) = \Pi_{XY}(A \times B) = \Pi_X(A) \Pi_Y(B)$, επειδή $\Pi_{XY}(A \times \Omega_Y) = \Pi_X(A)$ και $\Pi_{XY}(\Omega_X \times B) = \Pi_Y(B)$.

Πίνακας 1.1.1

Συνεχείς τυχαίες μεταβλητές

X	$f_X(x)$	x
Ομοιόμορη	$\frac{1}{b-a}$	$x \in [a, b]$
Εκθετική	$\lambda e^{-\lambda x}$	$x \in [0, \infty]$
Laplace	$\frac{\lambda}{2} e^{-\lambda x }$	$x \in \mathbb{R}$
Κανονική (Gauss)	$(2\pi\sigma^2)^{-1/2} e^{-(x-\mu)^2/2\sigma^2}$	$x \in \mathbb{R}$
Cauchy	$\frac{\lambda/\pi}{\lambda^2 + x^2}$	$x \in \mathbb{R}$
Rayleigh	$\frac{x}{\lambda^2} e^{-x^2/2\lambda^2}$	$x \in [0, \infty]$
Maxwell	$\frac{\sqrt{2/\pi}}{\lambda^3} x^2 e^{-x^2/2\lambda^2}$	$x \in [0, \infty]$

ΟΡΙΣΜΟΣ : Συνδεδετική κατανομή πιθανότητας των συνεχών τυχαίων μεταβλητών X, Y είναι η συνάρτηση $\Pi_{XY}(x, y) = \Pi_{XY}(\Gamma_x, \Gamma_y)$ με $\Gamma_x = \{ \omega_x / \omega_x \in \Omega_x \text{ και } X(\omega_x) \leq x \} \in \mathcal{B}_x \forall x \in \mathbb{R}$ και $\Gamma_y = \{ \omega_y / \omega_y \in \Omega_y \text{ και } Y(\omega_y) \leq y \} \in \mathcal{B}_y \forall y \in \mathbb{R}$. Η συνάρτηση $\Pi_{XY}(x, y)$ έχει τις παρακάτω ιδιότητες :

- (α) $\Pi_{XY}(-\infty, -\infty) = \Pi_{XY}(-\infty, y) = \Pi_{XY}(x, -\infty) = 0$
- (β) $\Pi_{XY}(\infty, \infty) = 1$
- (γ) $\Pi_{XY}(x, \infty) = \Pi_x(x), \Pi_{XY}(\infty, y) = \Pi_y(y)$. Οι συναρτήσεις $\Pi_x(x), \Pi_y(y)$ είναι οι περιθωριακές κατανομές πιθανότητας της $\Pi_{XY}(x, y)$.
- (δ) Είναι μη αρνητική, αύξουσα και συνεχής από δεξιά συνάρτηση ως προς x και y .

ΟΡΙΣΜΟΣ : Συνδεδετική κατανομή πυκνότητας πιθανότητας των συνεχών τυχαίων μεταβλητών X, Y είναι η συνάρτηση $\pi_{XY}(x, y) = \partial^2 \Pi_{XY}(x, y) / \partial x \partial y$. Η συνάρτηση $\pi_{XY}(x, y)$ είναι μη αρνητική και έχει τις παρακάτω ιδιότητες :

$$(α) \int_{-\infty}^{\infty} \int_{-\infty}^{\infty} \pi_{XY}(\lambda, \mu) d\lambda d\mu = 1$$

$$(β) \int_{-\infty}^x \int_{-\infty}^y \pi_{XY}(\lambda, \mu) d\lambda d\mu = \Pi_{XY}(x, y)$$

$$(γ) \int_{-\infty}^{\infty} \pi_{XY}(\lambda, y) d\lambda = \pi_y(y), \int_{-\infty}^{\infty} \pi_{XY}(x, \mu) d\mu = \pi_x(x)$$

Οι συναρτήσεις $\pi_x(x), \pi_y(y)$ είναι οι περιθωριακές κατανομές πυκνότητας πιθανότητας της $\pi_{XY}(x, y)$. Οι συνεχείς τυχαίες μεταβλητές είναι στατιστικά ανεξάρτητες αν ισχύει $\pi_{XY}(x, y) = \pi_x(x)\pi_y(y)$.

ΟΡΙΣΜΟΣ : Υπό συνθήκη κατανομή πιθανότητας των συνεχών τυχαίων μεταβλητών X, Y είναι η συνάρτηση $\Pi_{XY}(x/y) = \Pi_{XY}(\Gamma_x, \Gamma_y) / \Pi_y(\Gamma_y)$ με $\Gamma_x = \{ \omega_x / \omega_x \in \Omega_x \text{ και } X(\omega_x) \leq x \} \in \mathcal{B}_x \forall x \in \mathbb{R}$ και $\Gamma_y = \{ \omega_y / \omega_y \in \Omega_y \text{ και } Y(\omega_y) \leq y \} \in \mathcal{B}_y \forall y \in \mathbb{R}$. Ανάλογα ορίζεται και η συνάρτηση $\Pi_{XY}(y/x)$.

ΟΡΙΣΜΟΣ : Υπό συνθήκη κατανομή πυκνότητας πιθανότητας των συνεχών τυχαίων μεταβλητών X, Y είναι η συνάρτηση $\pi_{XY}(x/y) = \partial \pi_{XY}(x,y) / \partial x$ ή $\pi_{XY}(y/x) = \partial \pi_{XY}(x,y) / \partial y$. Είναι εύκολο να αποδειχθεί ότι $\pi_{XY}(x/y) = \pi_{XY}(x,y) / \pi_Y(y)$ και $\pi_{XY}(y/x) = \pi_{XY}(x,y) / \pi_X(x)$. Αν οι συνεχείς τυχαίες μεταβλητές X, Y είναι στατιστικά ανεξάρτητες, τότε $\pi_{XY}(x/y) = \pi_X(x)$ και $\pi_{XY}(y/x) = \pi_Y(y)$.

ΟΡΙΣΜΟΣ : Ροπή v -τάξεως της συνεχούς τυχαίας μεταβλητής X είναι ο αριθμός $E(X^v)$
 $= \int_{-\infty}^{\infty} \lambda^v \pi_X(\lambda) d\lambda$ όπου v είναι ακέραιος. Το σύμβολο $E(\cdot)$ χαρακτηρίζεται *μαθηματική προσδοκία*.

ΟΡΙΣΜΟΣ : Μέση τιμή μ_X της συνεχούς τυχαίας μεταβλητής X είναι η ροπή πρώτης τάξεως, δηλαδή $\mu_X = E(X)$.

ΟΡΙΣΜΟΣ : Κεντρική ροπή v -τάξεως της συνεχούς τυχαίας μεταβλητής X είναι ο αριθμός $E((X-\mu_X)^v) = \int_{-\infty}^{\infty} (\lambda - \mu_X)^v \pi_X(\lambda) d\lambda$ όπου v είναι ακέραιος.

ΟΡΙΣΜΟΣ : Μεταβλητότητα σ_X^2 της συνεχούς τυχαίας μεταβλητής X είναι η κεντρική ροπή δεύτερης τάξεως, δηλαδή $\sigma_X^2 = E((X-\mu_X)^2)$. Το μέγεθος σ_X χαρακτηρίζεται *τυπική απόκλιση*.

ΟΡΙΣΜΟΣ : Συνδυκτική ροπή $v\xi$ -τάξεως των συνεχών τυχαίων μεταβλητών X, Y είναι ο αριθμός $E(X^v Y^\xi) = \int_{-\infty}^{\infty} \int_{-\infty}^{\infty} \lambda^v \mu^\xi \pi_{XY}(\lambda, \mu) d\lambda d\mu$, όπου v, ξ είναι ακέραιοι.

ΟΡΙΣΜΟΣ : Συνδυκτική κεντρική ροπή $v\xi$ -τάξεως των συνεχών τυχαίων μεταβλητών X, Y είναι ο αριθμός $E((X-\mu_X)^v (Y-\mu_Y)^\xi) = \int_{-\infty}^{\infty} \int_{-\infty}^{\infty} (\lambda - \mu_X)^v (\mu - \mu_Y)^\xi \pi_{XY}(\lambda, \mu) d\lambda d\mu$, όπου v, ξ είναι ακέραιοι.

ΟΡΙΣΜΟΣ : Συντελεστής συσχέτισης ρ_{XY} των συνεχών τυχαίων μεταβλητών X, Y είναι ο αριθμός $E((X-\mu_X)(Y-\mu_Y)) / \sigma_X \sigma_Y$. Οι συνεχείς τυχαίες μεταβλητές είναι *στατιστικά*

ασυσχέτιστες αν $\rho_{XY} = 0$ ή, ισοδύναμα, αν $E(XY) = E(X)E(Y)$.

ΘΕΩΡΗΜΑ : Αν $\{X_v\}$ είναι ακολουθία στατιστικά ανεξάρτητων και όμοια καταναμημένων συνεχών τυχαίων μεταβλητών με μέση τιμή μ και μεταβλητότητα σ^2 , η συνεχής τυχαία μεταβλητή $X = X_1 + X_2 + \dots + X_v$ έχει μέση τιμή $v\mu$ και μεταβλητότητα $v\sigma^2$. Επιπλέον η κατανομή της τείνει προς την κανονική (βλ. πίνακα 1.1.1) καθώς $v \rightarrow \infty$ (Κεντρικό Οριακό Θέωρημα).

Πίνακας 1.1.2
Διακριτές τυχαίες μεταβλητές

$X, x_i = i$	p_i	i
Ομοιόμορφη	$1/v$	$i \in \{0, 1, 2, \dots, v-1\}$
Διαδική	$p_0 = p, p_1 = 1-p, 0 \leq p \leq 1$	$i \in \{0, 1\}$
Γεωμετρική	$p(1-p)^{i-1}, 0 \leq p \leq 1$	$i \in \{1, 2, \dots\}$
Poisson	$\lambda^i e^{-\lambda} / i!$	$i \in \{0, 1, 2, \dots\}$
Δωνωμική	$\binom{v}{i} p^i (1-p)^{v-i}, 0 \leq p \leq 1$	$i \in \{0, 1, 2, \dots, v\}$

1.1.4 ΔΙΑΚΡΙΤΕΣ ΤΥΧΑΙΕΣ ΜΕΤΑΒΛΗΤΕΣ

ΟΡΙΣΜΟΣ : Διακριτή τυχαία μεταβλητή είναι κάθε τυχαία μεταβλητή X με πεπερασμένο ή αριθμησιμο πεδίο ορισμού $\Omega = \{\omega_i, i = 1, 2, \dots\}$ και αντίστοιχα πεπερασμένο ή αριθμησιμο πεδίο τιμών $\{X(\omega_i) = x_i \in \mathbb{R} / \omega_i \in \Omega, i = 1, 2, \dots\}$.

ΟΡΙΣΜΟΣ : Κατανομή πιθανότητας διακριτής τυχαίας μεταβλητής X είναι το σύνολο $\Pi_X = \{p(x_i) = P(\omega_i) = p_i \in \mathbb{R} / \omega_i \in \Omega, i = 1, 2, \dots\}$. Είναι φανερό ότι ισχύουν οι παρακάτω ιδιότητες :

$$(α) 0 \leq p_i \leq 1 \quad ; \quad i = 1, 2, \dots$$

$$(β) \sum_i p_i = 1$$

που προκύπτουν από τις γενικότερες ιδιότητες του μέτρου πιθανότητας (βλ. §1.1.2).

ΟΡΙΣΜΟΣ : Συνδυετική κατανομή πιθανότητας των διακριτών τυχαίων μεταβλητών X, Y είναι το σύνολο $\Pi_{XY} = \{ p(x_i, y_j) = \Pi_{XY}(\omega_{x_i}, \omega_{y_j}) \in \mathbb{R} / \omega_{x_i} \in \Omega_X, i = 1, 2, \dots$ και $\omega_{y_j} \in \Omega_Y, j = 1, 2, \dots \}$ (βλ. §1.1.3) με ιδιότητες :

$$(α) 0 \leq p(x_i, y_j) \leq 1 \quad ; \quad i, j = 1, 2, \dots$$

$$(β) \sum_i \sum_j p(x_i, y_j) = 1$$

$$(γ) \sum_i p(x_i, y_j) = p(y_j), \quad \sum_j p(x_i, y_j) = p(x_i)$$

Τα σύνολα $\Pi_X = \{ p(x_i), i = 1, 2, \dots \}$ και $\Pi_Y = \{ p(y_j), j = 1, 2, \dots \}$ είναι οι περιθωριακές κατανομές πιθανότητας της Π_{XY} . Οι διακριτές τυχαίες μεταβλητές X, Y είναι στατιστικά ανεξάρτητες αν ισχύει $p(x_i, y_j) = p(x_i)p(y_j)$, $i, j = 1, 2, \dots$

ΟΡΙΣΜΟΣ : Υπό συνθήκη κατανομή πιθανότητας των διακριτών τυχαίων μεταβλητών X, Y είναι το σύνολο $\Pi_{X/Y} = \{ p(x_i/y_j) = \Pi_{XY}(\omega_{x_i}, \omega_{y_j}) / \Pi_Y(\omega_{y_j}) \in \mathbb{R} / \omega_{x_i} \in \Omega_X, \omega_{y_j} \in \Omega_Y, i, j = 1, 2, \dots \}$. Ανάλογα ορίζεται και το σύνολο $\Pi_{Y/X}$. Είναι φανερό ότι $p(x_i/y_j) = p(x_i, y_j) / p(y_j)$ και $p(y_j/x_i) = p(x_i, y_j) / p(x_i)$. Αν οι διακριτές τυχαίες μεταβλητές X, Y είναι στατιστικά ανεξάρτητες, τότε $p(x_i/y_j) = p(x_i)$ και $p(y_j/x_i) = p(y_j)$.

ΟΡΙΣΜΟΣ : Μέση τιμή της διακριτής τυχαίας μεταβλητής X είναι ο αριθμός

$$\mu_X = \sum_i x_i p(x_i)$$

ΟΡΙΣΜΟΣ : Μεταβλητότητα της διακριτής τυχαίας μεταβλητής X είναι ο αριθμός

$$(α) 0 \leq p_i \leq 1 \quad ; \quad i = 1, 2, \dots$$

$$(β) \sum_i p_i = 1$$

που προκύπτουν από τις γενικότερες ιδιότητες του μέτρου πιθανότητας (βλ. §1.1.2).

ΟΡΙΣΜΟΣ : Συνδυετική κατανομή πιθανότητας των διακριτών τυχαίων μεταβλητών X, Y είναι το σύνολο $\Pi_{XY} = \{ p(x_i, y_j) = \Pi_{XY}(\omega_{x_i}, \omega_{y_j}) \in \mathbb{R} / \omega_{x_i} \in \Omega_X, i = 1, 2, \dots$ και $\omega_{y_j} \in \Omega_Y, j = 1, 2, \dots \}$ (βλ. §1.1.3) με ιδιότητες :

$$(α) 0 \leq p(x_i, y_j) \leq 1 \quad ; \quad i, j = 1, 2, \dots$$

$$(β) \sum_i \sum_j p(x_i, y_j) = 1$$

$$(γ) \sum_i p(x_i, y_j) = p(y_j), \quad \sum_j p(x_i, y_j) = p(x_i)$$

Τα σύνολα $\Pi_X = \{ p(x_i), i = 1, 2, \dots \}$ και $\Pi_Y = \{ p(y_j), j = 1, 2, \dots \}$ είναι οι περιθωριακές κατανομές πιθανότητας της Π_{XY} . Οι διακριτές τυχαίες μεταβλητές X, Y είναι στατιστικά ανεξάρτητες αν ισχύει $p(x_i, y_j) = p(x_i)p(y_j)$, $i, j = 1, 2, \dots$

ΟΡΙΣΜΟΣ : Υπό συνθήκη κατανομή πιθανότητας των διακριτών τυχαίων μεταβλητών X, Y είναι το σύνολο $\Pi_{X/Y} = \{ p(x_i/y_j) = \Pi_{XY}(\omega_{x_i}, \omega_{y_j}) / \Pi_Y(\omega_{y_j}) \in \mathbb{R} / \omega_{x_i} \in \Omega_X, \omega_{y_j} \in \Omega_Y, i, j = 1, 2, \dots \}$. Ανάλογα ορίζεται και το σύνολο $\Pi_{Y/X}$. Είναι φανερό ότι $p(x_i/y_j) = p(x_i, y_j) / p(y_j)$ και $p(y_j/x_i) = p(x_i, y_j) / p(x_i)$. Αν οι διακριτές τυχαίες μεταβλητές X, Y είναι στατιστικά ανεξάρτητες, τότε $p(x_i/y_j) = p(x_i)$ και $p(y_j/x_i) = p(y_j)$.

ΟΡΙΣΜΟΣ : Μέση τιμή της διακριτής τυχαίας μεταβλητής X είναι ο αριθμός

$$\mu_X = \sum_i x_i p(x_i)$$

ΟΡΙΣΜΟΣ : Μεταβλητότητα της διακριτής τυχαίας μεταβλητής X είναι ο αριθμός

$$\sigma_x^2 = \sum_i (x_i - \mu_x)^2 p(x_i) . \text{ Το μέγεθος } \sigma_x \text{ χαρακτηρίζεται τυπική απόκλιση.}$$

1.1.5 ΣΤΟΧΑΣΤΙΚΕΣ ΔΙΑΔΙΚΑΣΙΕΣ

ΟΡΙΣΜΟΣ : Στοχαστική διαδικασία $X(t)$ είναι πεπερασμένο ή αριθμήσιμο σύνολο τυχαίων μεταβλητών $\{ X_i = X(t_i), i = 1, 2, \dots \}$, που αντιστοιχεί σε πεπερασμένο ή αριθμήσιμο, αντίστοιχα, σύνολο $\{ t_i, i = 1, 2, \dots \}$ τιμών παραμέτρου t , με καθορισμένες συνδεδεμένες κατανομές πιθανότητας $\Pi_{x_1, x_2, \dots} (x_1, t_1; x_2, t_2; \dots)$.

ΟΡΙΣΜΟΣ : Η διαδικασία Markov $X(t)$, $t \in \{ t_1 \leq t_2 \leq \dots \leq t_{v-1} \leq t_v \leq \dots \}$ είναι στοχαστική διαδικασία με την ιδιότητα :

$$\Pi_{x_v, x_{v-1}, \dots, x_1} (x_v, t_v / x_{v-1}, t_{v-1}; \dots; x_1, t_1) = \Pi_{x_v, x_{v-1}} (x_v, t_v / x_{v-1}, t_{v-1})$$

1. II ΑΠΟΔΕΙΞΗ ΤΗΣ ΕΞ. (1.44)

Στο σύστημα Markov A, Y, Π εξελίσσεται αλυσίδα που τη χρονική στιγμή t διέρχεται από κάποια κατάσταση $\alpha_i \in A$. Η μετέπειτα εξέλιξη της αλυσίδας με βήμα μεγέθους $(k+1)\tau$ προκύπτει με διαδοχή των φάσεων :

$$\begin{aligned} 1\eta \text{ φάση} \quad \alpha(t) &= \alpha_i \rightarrow \alpha_k = \alpha(t+\tau) \\ 2\eta \text{ φάση} \quad \alpha(t+\tau) &= \alpha_k \rightarrow \alpha_j = \alpha(t+k\tau) \end{aligned}$$

Κατά την πρώτη φάση η αλυσίδα εξελίσσεται με βήμα μεγέθους τ , δηλαδή απλό βήμα, ενώ κατά τη δεύτερη φάση εξελίσσεται με βήμα μεγέθους $k\tau$. Η ποσότητα πληροφορίας που αντιστοιχεί σε εξέλιξη με βήμα $(k+1)\tau$ προκύπτει αντίστοιχα σαν άθροισμα των ποσοτήτων πληροφορίας που αντιστοιχούν στις δύο φάσεις :

$$H^{k+1}(\alpha_i) = H(\alpha_i) + \sum_{k=1}^p \pi_{ik} H^k(\alpha_k) \quad (1)$$

και η μέση τιμή ως προς τις δυνατές καταστάσεις εκκίνησης είναι :

$$\begin{aligned} H^{k+1}(A) &= \sum_{i=1}^p u_i H^{k+1}(\alpha_i) = \sum_{i=1}^p u_i H(\alpha_i) + \sum_{i=1}^p \sum_{k=1}^p u_i \pi_{ik} H^k(\alpha_k) \\ &= H(A) + \sum_{k=1}^p \left[\sum_{i=1}^p u_i \pi_{ik} \right] H^k(\alpha_k) = H(A) + \sum_{k=1}^p u_k H^k(\alpha_k) = \\ &= H(A) + H^k(A) \end{aligned} \quad (2)$$

όπου χρησιμοποιήθηκε και η εξ. (1.36). Η εξ. (2) με $\kappa = 1$ δίνει $H^2(A) = 2H(A)$ και επαγωγικά προκύπτει :

$$H^k(A) = \kappa H(A) \quad (3)$$

Επομένως $H^{k+\lambda}(A) = (\kappa+\lambda)H(A) = \kappa H(A) + \lambda H(A) = H^k(A) + H^\lambda(A)$ και η εξ. (1.44) έχει αποδειχθεί.

1. III ΑΠΟΔΕΙΞΗ ΤΗΣ ΕΞ. (1.46)

Η ταυτοανλοότητα της εξ. (1.4) γράφεται με την λοοδύναμη μορφή :

$$\sum_{i=1}^p \pi_i \log_e \left[\frac{\tau_i}{\pi_i} \right] \leq 0 \quad (1)$$

και για τις διδιάστατες κατανομές πιθανότητας $\pi(\alpha_i, \alpha_j)$, $\pi(\alpha_i)\pi(\alpha_j)$ επεκτείνεται στην ταυτοανλοότητα :

$$\sum_{i=1}^p \sum_{j=1}^p p(\alpha_i, \alpha_j) \log_e \left(\frac{p(\alpha_i) p(\alpha_j)}{p(\alpha_i, \alpha_j)} \right) \leq 0 \quad (2)$$

Στο πλαίσιο της θεωρίας πηγών πληροφορίας με μνήμη, $p(\alpha_i, \alpha_j) = p(\alpha_j/\alpha_i) p(\alpha_i) = p_{ij} u_i$ και επομένως η εξ. (2) παίρνει τη μορφή :

$$\sum_{i=1}^p \sum_{j=1}^p p_{ij} u_i \log_e \left(\frac{u_j}{p_{ij}} \right) \leq 0 \Rightarrow$$

$$\sum_{j=1}^p \left(\sum_{i=1}^p p_{ij} u_i \right) \log_e(u_j) - \sum_{i=1}^p u_i \left(\sum_{j=1}^p p_{ij} \log_e(p_{ij}) \right) \leq 0 \Rightarrow$$

$$\sum_{j=1}^p u_j \log_e(u_j) + \sum_{i=1}^p u_i H(\alpha_i) \leq 0 \Rightarrow$$

$$-H^{\text{ext}}(A) + H(A) \leq 0 \Rightarrow$$

$$H(A) \leq H^{\text{ext}}(A) \quad (3)$$

και η εξ. (1.46) έχει αποδειχθεί αφού είναι προφανές ότι πέρα από την εξ. (3) ισχύει και $H(A), H^{\text{ext}}(A) \leq \log_e p$.

1. IV ΙΑΚΩΒΙΑΝΗ ΜΕΤΑΣΧΗΜΑΤΙΣΜΟΥ

Αν U_v, V_v είναι v -διάστατοι διανυσματικοί χώροι (βλ. §5.III) επί του πεδίου (βλ. §5.II) $\{R, +, \cdot\}$, η Ιακωβιανή του μετασχηματισμού $U_v \rightarrow V_v$ είναι η ορίζουσα :

$$J(U_\nu/V_\nu) = \begin{vmatrix} \frac{\partial u_1}{\partial v_1} & \frac{\partial u_1}{\partial v_2} & \dots & \frac{\partial u_1}{\partial v_\nu} \\ \frac{\partial u_2}{\partial v_1} & \frac{\partial u_2}{\partial v_2} & \dots & \frac{\partial u_2}{\partial v_\nu} \\ \dots & \dots & \dots & \dots \\ \frac{\partial u_\nu}{\partial v_1} & \frac{\partial u_\nu}{\partial v_2} & \dots & \frac{\partial u_\nu}{\partial v_\nu} \end{vmatrix} \quad (1)$$

όπου $u_i, v_j \in \mathbb{R}$, $i, j = 1, 2, \dots, \nu$, είναι στοιχεία των διανυσμάτων ν -τάξεως $(u_1, u_2, \dots, u_\nu) \in U_\nu$ και $(v_1, v_2, \dots, v_\nu) \in V_\nu$. Οι παρακάτω ιδιότητες των Ιακωβιανών :

$$J(U_\nu/V_\nu)J(V_\nu/U_\nu) = 1 \quad (2)$$

$$J(U_\nu/V_\nu)J(V_\nu/W_\nu) = J(U_\nu/W_\nu) \quad (3)$$

επιγράφουν αντίστοιχα τους μετασχηματισμούς $U_\nu \rightarrow V_\nu \rightarrow U_\nu$ και $U_\nu \rightarrow V_\nu \rightarrow W_\nu$.

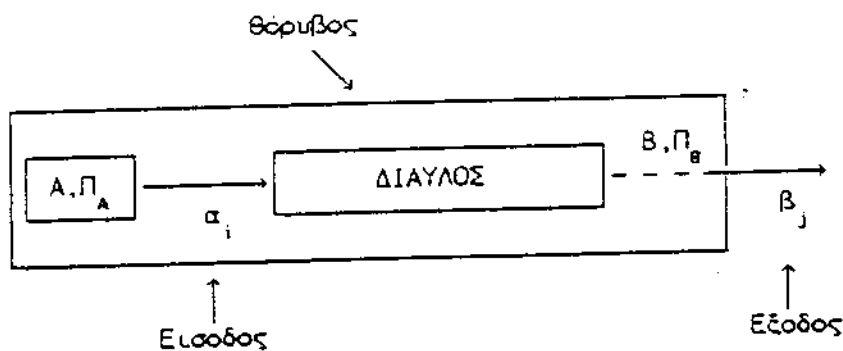
Κεφάλαιο Δύο

ΧΩΡΗΤΙΚΟΤΗΤΑ

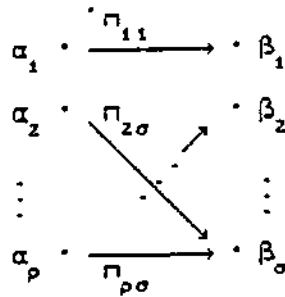
ΔΙΑΥΛΟΥ ΠΛΗΡΟΦΟΡΙΑΣ

2.1 ΔΙΑΥΛΟΣ ΠΛΗΡΟΦΟΡΙΑΣ

Η συμβολή του διαύλου πληροφορίας στο σύστημα επικοινωνίας είναι απλά η διοχέτευση πληροφορίας από την είσοδο στην έξοδο του. Η πηγή πληροφορίας A, Π_A που προσαρμόζεται στην είσοδο του διαύλου πληροφορίας εμφανίζεται στην έξοδο του σαν πηγή πληροφορίας B, Π_B (σχ. 2.1), γενικά διαφορετική από την A, Π_A , και η διαφοροποίηση αυτή οφείλεται στην ίδια τη δομή του διαύλου πληροφορίας και στην επίδραση του περιβαλλοντος λειτουργίας.



Σχ. 2.1 Ο δίαυλος πληροφορίας προεκτείνει την πηγή εισόδου A, Π_A στην πηγή εξόδου B, Π_B .



Σχ. 2.2 Διάγραμμα διαύλου

Η μετάδοση συμβόλων μέσα από το δίαυλο πληροφορίας περιγράφεται από το *μητρώο διαύλου* $\Pi(B/A)$ με στοιχεία τις υπό συνθήκη πιθανότητες $\pi_{ij} = p(\beta_j/\alpha_i)$ που συνδέουν το σύμβολο εξόδου β_j με το σύμβολο εισόδου α_i . Αν οι πηγές πληροφορίας A, Π_A και B, Π_B έχουν αντίστοιχα ρ και σ σύμβολα, το μητρώο διαύλου έχει ρ σειρές και σ στήλες :

$$\Pi(B/A) = \begin{bmatrix} \pi_{11} & \pi_{12} & \dots & \pi_{1\sigma} \\ \pi_{21} & \pi_{22} & \dots & \pi_{2\sigma} \\ \dots & \dots & \dots & \dots \\ \pi_{\rho 1} & \pi_{\rho 2} & \dots & \pi_{\rho \sigma} \end{bmatrix} \quad (2.1)$$

Εναλλακτικά η ροή συμβόλων μέσα από το δίαυλο πληροφορίας μπορεί να περιγραφεί με το *διάγραμμα διαύλου* (σχ. 2.2). Είναι φανερό ότι δύο ή περισσότερα σύμβολα εισόδου μπορεί να αντιστοιχούν σε ένα σύμβολο εξόδου αφού γενικά $\rho \neq \sigma$.

Τόσο το μητρώο διαύλου όσο και το διάγραμμα διαύλου περιγράφουν τη στοχαστική σύνδεση μεταξύ συμβόλων εισόδου και συμβόλων εξόδου. Όπως διαπιστώνεται παρακάτω, συνδέουν και την εντροπία της πηγής πληροφορίας A, Π_A με την εντροπία της πηγής πληροφορίας B, Π_B . Η εντροπία $H(A)$ της πηγής πληροφορίας A, Π_A καθορίζεται αποκλειστικά από τις πιθανότητες των συμβόλων $\alpha_1, \alpha_2, \dots, \alpha_\rho$ και επομένως το μητρώο $\Pi_r(A) = [p(\alpha_1), p(\alpha_2), \dots, p(\alpha_\rho)]$ καθορίζει ουσιαστικά τη μέση ποσότητα πληροφορίας που προσάγει κάθε σύμβολο στην είσοδο του διαύλου πληροφορίας. Αντίστοιχα το μητρώο $\Pi_r(B) = [p(\beta_1), p(\beta_2), \dots, p(\beta_\sigma)]$, με στοιχεία τις πιθανότητες των συμβόλων εξόδου, καθορίζει τη μέση ποσότητα πληροφορίας που φέρει κάθε σύμβολο στην έξοδο του διαύλου πληροφορίας, δηλαδή την εντροπία $H(B)$ της πηγής πληροφορίας B, Π_B . Είναι εύκολο να αποδειχθεί η

μητρική εξίσωση :

$$\Pi_R(A) \Pi(B/A) = \Pi_R(B) \quad (2.2)$$

που επιβεβαιώνει ότι η ροή πληροφορίας από την είσοδο μέχρι την έξοδο του διαύλου πληροφορίας ελέγχεται από το μητρώο διαύλου.

Με τις πιθανότητες των συμβόλων εισόδου $\pi(\alpha_1), \pi(\alpha_2), \dots, \pi(\alpha_p)$ σχηματίζεται και το διαγώνιο μητρώο :

$$\Pi_D(A) = \begin{bmatrix} \pi(\alpha_1) & 0 & \dots & 0 \\ 0 & \pi(\alpha_2) & \dots & 0 \\ \dots & \dots & \dots & \dots \\ 0 & 0 & \dots & \pi(\alpha_p) \end{bmatrix} \quad (2.3)$$

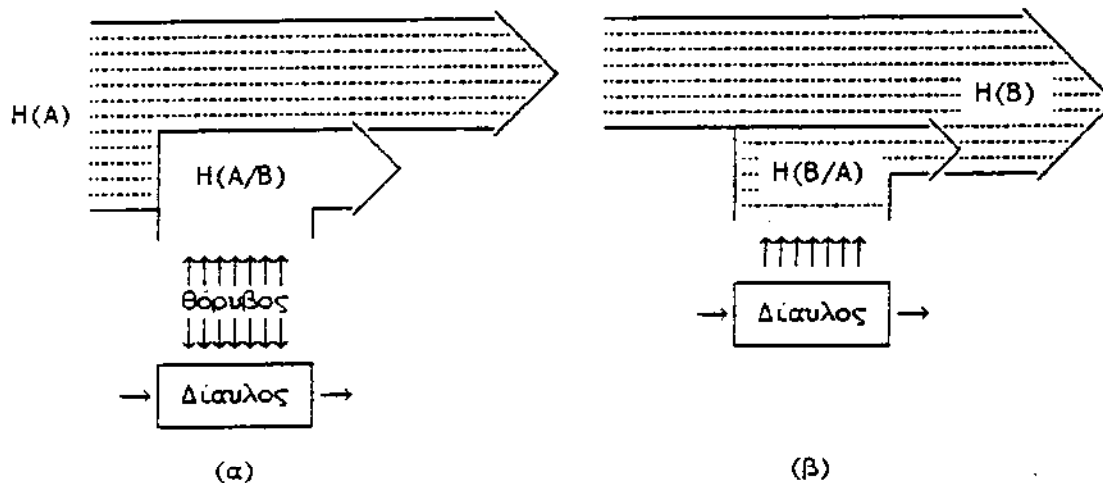
Αν αυτό πολλαπλασιασθεί με το μητρώο διαύλου, προκύπτει ραο μητρώο με στοιχεία τις συνδυετικές πιθανότητες των συμβόλων εισόδου, εξόδου :

$$\Pi_D(A) \Pi(B/A) = \Pi(A,B) = \begin{bmatrix} \pi(\alpha_1, \beta_1) & \pi(\alpha_1, \beta_2) & \dots & \pi(\alpha_1, \beta_\sigma) \\ \pi(\alpha_2, \beta_1) & \pi(\alpha_2, \beta_2) & \dots & \pi(\alpha_2, \beta_\sigma) \\ \dots & \dots & \dots & \dots \\ \pi(\alpha_p, \beta_1) & \pi(\alpha_p, \beta_2) & \dots & \pi(\alpha_p, \beta_\sigma) \end{bmatrix} \quad (2.4)$$

Είναι φανερό ότι το μητρώο $\Pi(A,B)$ καθορίζει τη συνδυετική εντροπία $H(AB)$ των πηγών πληροφορίας A, Π_A και B, Π_B , δηλαδή τη μέση πληροφορία ανά ζεύγος συμβόλων εισόδου - εξόδου. Η συνδυετική εντροπία $H(AB)$ ονομάζεται κατά λογική ακολουθία *εντροπία συστήματος*.

Το μητρώο διαύλου, με στοιχεία τις υπό συνθήκη πιθανότητες $\pi_{ij} = \pi(\beta_j/\alpha_i)$, περιγράφει την αβεβαιότητα για το σύμβολο εξόδου με δεδομένο το σύμβολο εισόδου, δηλαδή την αβεβαιότητα που δημιουργείται στην είσοδο του διαύλου πληροφορίας για την έξοδο του. Η αβεβαιότητα στην έξοδο του διαύλου πληροφορίας για την είσοδο του, δηλαδή η αβεβαιότητα για το σύμβολο εισόδου με δεδομένο το σύμβολο εξόδου, περιγράφεται από το μητρώο $\Pi(A/B)$, με στοιχεία τις υπό συνθήκη πιθανότητες $\pi(\alpha_i/\beta_j)$. Και οι δύο μορφές αβεβαιότητας συνδέονται με τη λειτουργία του διαύλου πληροφορίας (σχ. 2.3).

Η πηγή πληροφορίας A, Π_A προσάγει τα σύμβολα $a_i, i = 1, 2, \dots, \rho$ και την προσαρτημένη σ' αυτά πληροφορία, που κατά μέσο όρο είναι $H(A)$ bits/σύμβολο, στην είσοδο του διαύλου πληροφορίας. Ο τελευταίος εμφανίζει στην έξοδο του τα σύμβολα $b_j, j = 1, 2, \dots, \sigma$ και δημιουργεί αβεβαιότητα για το αντίστοιχο κάθε φορά σύμβολο εισόδου. Επομένως στην έξοδο του διαύλου πληροφορίας λείπει η ποσότητα πληροφορίας που απαιτείται για να αναγνωρισθεί με βεβαιότητα το σύμβολο εισόδου. Είναι φανερό ότι η μέση έλλειψη πληροφορίας για το σύμβολο εισόδου στην έξοδο του διαύλου πληροφορίας είναι η υπό συνθήκη εντροπία $H(A/B)$.



Σχ. 2.3 Ροή πληροφορίας και μηχανισμοί απώλειών.

(α) Ο θόρυβος προκαλεί έλλειψη πληροφορίας $H(A/B)$ στην έξοδο.

(β) Αγνωσία του διαύλου ισοδυναμεί με έλλειψη πληροφορίας $H(B/A)$ στην είσοδο.

Η μέση έλλειψη πληροφορίας για το σύμβολο εισόδου γίνεται αντιληπτή από παρατηρητή στην έξοδο σαν απώλεια πληροφορίας και αποδίδεται στην παρουσία θορύβου στο περιβάλλον του διαύλου πληροφορίας. Η υπό συνθήκη εντροπία $H(A/B)$ ονομάζεται κατά λογική ακολουθία *εντροπία θορύβου*. Στο ισοζύγιο πληροφορίας του σχήματος 2.3α η εντροπία θορύβου εμφανίζεται σαν αρνητική πληροφορία που εισάγεται στο σύστημα καθ' όλη την έκταση του διαύλου πληροφορίας. Ο θόρυβος αντιμετωπίζεται ουσιαστικά σαν διανεμημένη πηγή πληροφορίας που προσάγει ανεπιθύμητη πληροφορία με αποτέλεσμα την υποβάθμιση, δηλαδή την απώλεια μέρους της χρήσιμης πληροφορίας που προσάγει η πηγή πληροφορίας A, Π_A . Αν το περιβάλλον είναι αθόρυβο ή ο δίαυλος πληροφορίας θωρακισμένος κατά του θορύβου, δεν δημιουργείται στην έξοδο αβεβαιότητα για το σύμβολο εισόδου. Επομένως

$$p(\alpha_i/\beta_j) = 0 \text{ ή } 1 \text{ και } H(A/B) = 0.$$

Ο δίαυλος πληροφορίας εμφανίζεται στην έξοδο του σαν πηγή πληροφορίας B, P_B (σχ. 2.1) και παράγει τα σύμβολα $\beta_j, j = 1, 2, \dots, \sigma$ με την προσαρτημένη σ' αυτά ποσότητα πληροφορίας, που κατά μέσο όρο είναι $H(B)$ bits/σύμβολο. Παράλληλα ο δίαυλος πληροφορίας δημιουργεί στην είσοδο του αβεβαιότητα για το σύμβολο εξόδου $\beta_j, j = 1, 2, \dots, \sigma$. Επομένως στην είσοδο του διαύλου πληροφορίας λείπει η ποσότητα πληροφορίας που απαιτείται για να καθορισθεί το σύμβολο εξόδου που αντιστοιχεί κάθε φορά στο σύμβολο εισόδου. Είναι φανερό ότι η μέση έλλειψη πληροφορίας ανά σύμβολο εξόδου στην είσοδο του διαύλου πληροφορίας είναι η υπό συνθήκη εντροπία $H(B/A)$.

Η μέση έλλειψη πληροφορίας για το σύμβολο εξόδου γίνεται αντιληπτή από παρατηρητή στην είσοδο σαν απώλεια πληροφορίας και αποδίδεται στην άγνοια του για τη δομή και τη λειτουργία του διαύλου πληροφορίας. Η υπό συνθήκη εντροπία $H(B/A)$ ονομάζεται κατά λογική ακολουθία *εντροπία διαύλου*. Στο ισοζύγιο πληροφορίας του σχήματος 2.3β η εντροπία διαύλου εμφανίζεται σαν πληροφορία που πηγάζει από το δίαυλο πληροφορίας και διατίθεται στην έξοδο του. Είναι φανερό όμως ότι δεν είναι διαθέσιμη στην είσοδο. Ο παρατηρητής στην είσοδο αντιλαμβάνεται την έλλειψη της σαν αβεβαιότητα για το σύμβολο εξόδου. Εξάλλου ο παρατηρητής στην έξοδο χρησιμοποιεί την πληροφορία $H(B/A)$ χωρίς να είναι σε θέση να εκτιμήσει το μέγεθος της επειδή γι' αυτόν ο δίαυλος πληροφορίας εμφανίζεται σαν πηγή πληροφορίας με εντροπία $H(B) = [H(A) - H(A/B)] + H(B/A)$. Αν η λειτουργία του διαύλου πληροφορίας είναι προβλέψιμη από την είσοδο του, τότε δεν υπάρχει αβεβαιότητα για το σύμβολο εξόδου, δηλαδή $p(\beta_j/\alpha_i) = 0 \text{ ή } 1$ και επομένως $H(B/A) = 0$.

2.2 ΔΙΑΠΛΗΡΟΦΟΡΙΑ - ΧΩΡΗΤΙΚΟΤΗΤΑ

Παρά την προφανή χρησιμότητα των μεγεθών που ορίστηκαν στην §2.1, είναι φανερό ότι δεν υπάρχει ακόμη ένα μέγεθος που να χαρακτηρίζει και επομένως να εκπροσωπεί το δίαυλο πληροφορίας. Το βήμα αυτό πραγματοποιείται εδώ εισάγοντας την έννοια της διαπληροφορίας, που είναι ουσιαστικά ένα μεταβατικό μέγεθος, και μετά την έννοια της χωρητικότητας του διαύλου πληροφορίας.

ΟΡΙΣΜΟΣ : Διαπληροφορία ή αμοιβαία εντροπία διαύλου πληροφορίας είναι η μέση ποσότητα πληροφορίας που διχοθετείται ανά σύμβολο πληροφορίας. Περιγράφεται μαθηματικά με την έκφραση :

$$I(A,B) = H(A) - H(A/B) \quad (2.5)$$

και έχει τις παρακάτω ιδιότητες :

- (α) $I(A,B) = I(B,A)$, δηλαδή είναι συμμετρική ως προς A,B,
- (β) $I(A,B) \geq 0$, δηλαδή είναι μη αρνητικό μέγεθος, και
- (γ) μεγιστοποιείται σε περιβάλλον απαλλαγμένο από θόρυβο.

Για την απόδειξη της ιδιότητας (α) χρησιμοποιούνται στην εξ. (2.5) οι εκφράσεις για την εντροπία εισόδου και την εντροπία θορύβου :

$$\begin{aligned} I(A,B) &= - \sum_{i=1}^p n(\alpha_i) \log_e [n(\alpha_i)] + \sum_{i=1}^p \sum_{j=1}^{\sigma} n(\alpha_i, \beta_j) \log_e [n(\alpha_i/\beta_j)] = \\ &= - \sum_{i=1}^p \sum_{j=1}^{\sigma} n(\alpha_i, \beta_j) \log_e [n(\alpha_i)] + \sum_{i=1}^p \sum_{j=1}^{\sigma} n(\alpha_i, \beta_j) \log_e \left[\frac{n(\alpha_i, \beta_j)}{n(\beta_j)} \right] = \\ &= \sum_{i=1}^p \sum_{j=1}^{\sigma} n(\alpha_i, \beta_j) \log_e \left[\frac{n(\alpha_i, \beta_j)}{n(\alpha_i)n(\beta_j)} \right] \end{aligned} \quad (2.6)$$

Η έκφραση της εξ. (2.6) είναι προφανώς συμμετρική ως προς A,B και επομένως η εξ. (2.5) επεκτείνεται στην παρακάτω :

$$I(A,B) = H(A) - H(A/B) = H(B) - H(B/A) \quad (2.7)$$

Με εφαρμογή της εξ. (1.21) προκύπτει επιπλέον :

$$I(A,B) = H(A) + H(B) - H(AB) \quad (2.8)$$

Για την απόδειξη της ιδιότητας (β) χρησιμοποιείται η εξ. (1.22), που καθορίζει ότι $H(A/B) \leq H(A)$, οπότε $I(A,B) = H(A) - H(A/B) \geq 0$.

Αν δεν παρελαφύει θόρυβος στο σύστημα επικοινωνίας, δεν δημιουργείται αβεβαιότητα για το σύμβολο στην είσοδο με δεδομένο το σύμβολο στην έξοδο του διαύλου πληροφορίας, οπότε $p(a_i/b_j) = 0$ ή 1 και $H(A/B) = 0$. Επειδή η διαπληροφορία είναι μη αρνητικό μέγεθος και επιπλέον προκύπτει σαν διαφορά των μη αρνητικών μεγεθών $H(A)$, $H(A/B)$, η μέγιστη τιμή της $I(A,B) = H(A)$ αντιστοιχεί στην περίπτωση με $H(A/B) = 0$, δηλαδή στην εξιδανικευμένη περίπτωση που το περιβάλλον λειτουργίας του διαύλου πληροφορίας είναι απαλλαγμένο από θόρυβο ή, ισοδύναμα, ο δίαυλος πληροφορίας είναι τέλεια προστατευμένος από το περιβάλλον του.

ΟΡΙΣΜΟΣ : Χωρητικότητα διαύλου πληροφορίας είναι το μέγιστο της διαπληροφορίας σε περιβάλλον θορύβου :

$$C = \max_{\Pi_A} \{ I(A,B) \} \quad (2.9)$$

Είναι φανερό ότι το μέγιστο αντιστοιχεί σε συγκεκριμένη κατανομή πιθανότητας των συμβόλων εισόδου. Δηλαδή, με κατάλληλη κατανομή πιθανοτήτων για τα σύμβολα εισόδου μεγιστοποιείται η ποσότητα πληροφορίας που διοχετεύεται στο δίαυλο πληροφορίας. Ο προσδιορισμός της κατανομής πιθανότητας Π_A που εξασφαλίζει τη βέλτιστη εκμετάλλευση του διαύλου πληροφορίας είναι σημαντικό πρόβλημα στα συστήματα επικοινωνίας. Η χωρητικότητα, όπως και η διαπληροφορία, μετρώνται σε bits/σύμβολο ή και bits/sec αν είναι γνωστός ο ρυθμός προσαγωγής συμβόλων στην είσοδο του διαύλου πληροφορίας.

2.3 ΑΠΛΟΙ ΔΙΑΥΛΟΙ ΠΛΗΡΟΦΟΡΙΑΣ

Στη συνέχεια παρουσιάζονται μερικοί απλοί δίαυλοι πληροφορίας και υπολογίζεται η χωρητικότητά τους. Τέτοιοι δίαυλοι πληροφορίας είναι δυνατό να χρησιμοποιηθούν σαν δομικά στοιχεία συνθετικότερων συστημάτων επικοινωνίας.

2.3.1 ΔΙΑΥΛΟΣ ΠΛΗΡΟΦΟΡΙΑΣ ΧΩΡΙΣ ΑΠΩΛΕΙΕΣ

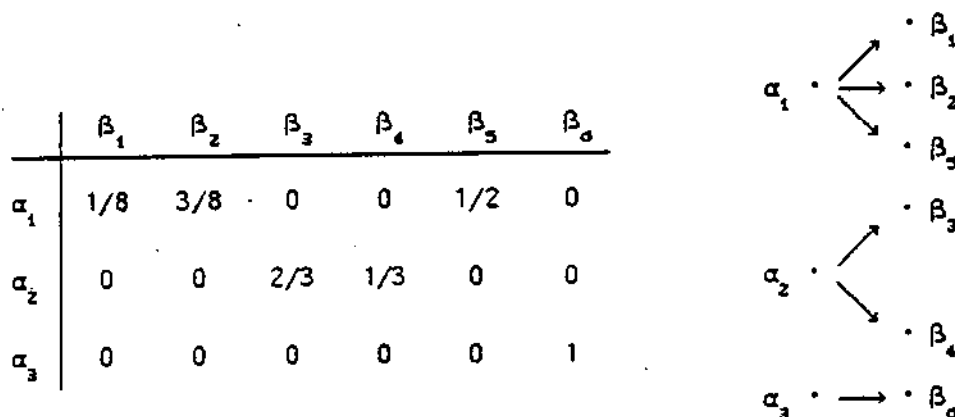
Χαρακτηρίζεται από την παρουσία ενός μόνο μη μηδενικού στοιχείου σε κάθε στήλη του μητρώου διαύλου (σχ. 2.4). Είναι φανερό ότι για δεδομένο σύμβολο στην έξοδο του διαύλου πληροφορίας δεν υπάρχει αβεβαιότητα για το αντίστοιχο σύμβολο στην είσοδο του. Επομένως $p(\alpha_i/\beta_j) = 0$ ή 1 και $H(A/B) = 0$. Η εξ. (2.5) καθορίζει :

$$I(A,B) = H(A) \quad (2.10)$$

και επομένως :

$$C = \max\{ I(A,B) \} = \max\{ H(A) \} = \log_2 \rho \quad (2.11)$$

Το μέγιστο προκύπτει στην περίπτωση που τα σύμβολα εισόδου είναι ισοπίθανα, δηλαδή $\Pi_A = \{ 1/\rho, 1/\rho, \dots, 1/\rho \}$.



Σχ. 2.4 Δίαυλος πληροφορίας χωρίς απώλειες.

2.3.2 ΚΑΘΟΡΙΣΤΙΚΟΣ ΔΙΑΥΛΟΣ ΠΛΗΡΟΦΟΡΙΑΣ

Είναι ο διαδικός του προηγούμενου διαύλου πληροφορίας αφού έχει ένα μόνο μη μηδενικό στοιχείο σε κάθε σειρά του μητρώου $\Pi(B/A)$ (σχ. 2.5). Είναι φανερό ότι για δεδομένο σύμβολο στην είσοδο του διαύλου πληροφορίας δεν υπάρχει αβεβαιότητα

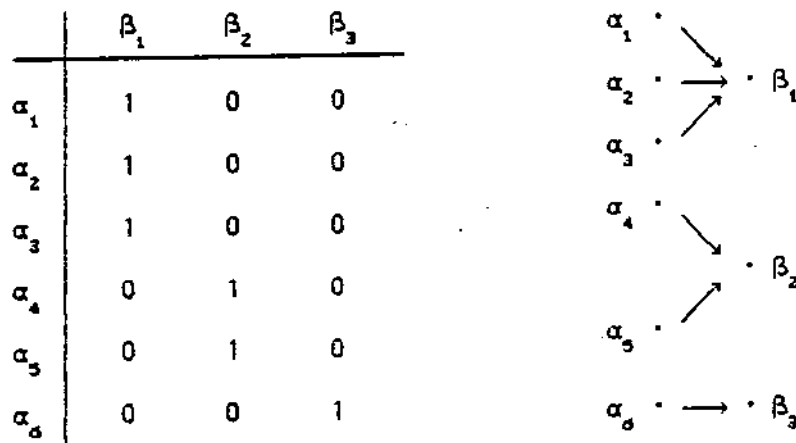
για το αντίστοιχο σύμβολο στην έξοδο του επομένως $p(\beta_j/\alpha_i) = 0$ ή 1 και $H(B/A) = 0$. Η εξ. (2.5) καθορίζει :

$$I(A,B) = H(B) \quad (2.12)$$

και επομένως :

$$C = \max \left\{ I(A,B) \right\} = \max \left\{ H(B) \right\} = \log_2 \sigma \quad (2.13)$$

Το μέγιστο προκύπτει στην περίπτωση που τα σύμβολα εξόδου γίνονται ισοπίθανα, δηλαδή $\Pi_B = (1/\sigma, 1/\sigma, \dots, 1/\sigma)$ και με την προϋπόθεση αυτή προσδιορίζεται η κατάλληλη κατανομή πιθανοτήτων για τα σύμβολα εισόδου.



Σχ. 2.5 Καθαριστικός διάυλος πληροφορίας.

2.3.3 ΙΔΑΝΙΚΟΣ ΔΙΑΥΛΟΣ ΠΛΗΡΟΦΟΡΙΑΣ

Είναι η τομή των δύο προηγούμενων περιπτώσεων. Σε κάθε σειρά ή στήλη του μητρώου $\Pi(B/A)$ υπάρχει ένα μόνο μη μηδενικό στοιχείο (σχ. 2.6). Είναι φανερό ότι για δεδομένο σύμβολο στην είσοδο ή έξοδο του διαύλου πληροφορίας δεν υπάρχει αβεβαιότητα για το σύμβολο στην έξοδο ή είσοδο του, αντίστοιχα. Τα σύμβολα εξόδου είναι ισοπίθμα με τα σύμβολα εισόδου και το μητρώο $\Pi(B/A)$ είναι μοναδιαίο. Η χωρητικότητα του ιδανικού διαύλου πληροφορίας προκύπτει από τις εξ. (2.11), (2.13) που συγχωνεύονται στην παρακάτω :

$$C = \max\{H(A)\} = \max\{H(B)\} = \log_e \rho = \log_e \sigma \quad (2.14)$$

και η κατάλληλη κατανομή πιθανοτήτων για τα σύμβολα εισόδου είναι $\Pi_A = \{1/\rho, 1/\rho, \dots, 1/\rho\}$.

	β_1	β_2	β_3	
α_1	1	0	0	$\alpha_1 \longrightarrow \beta_1$
α_2	0	1	0	$\alpha_2 \longrightarrow \beta_2$
α_3	0	0	1	$\alpha_3 \longrightarrow \beta_3$

Σχ. 2.6 Ιδανικός διάλογος πληροφορίας.

2.3.4 ΟΜΟΙΟΜΟΡΦΟΣ ΔΙΑΛΟΓΟΣ ΠΛΗΡΟΦΟΡΙΑΣ

Έχει τα εξής χαρακτηριστικά : (α) όλες οι σειρές του μητρώου $\Pi(B/A)$ είναι αναδιατάξεις κάποιας σειράς και (β) όλες οι στήλες του μητρώου $\Pi(B/A)$ προκύπτουν επίσης με αναδιάταξη των στοιχείων οποιασδήποτε στήλης. Αν το μητρώο $\Pi(B/A)$ είναι τετραγωνικό, όλες οι σειρές και οι στήλες του περιέχουν τα ίδια στοιχεία με οποιαδήποτε σειρά ή στήλη του (σχ. 2.7). Η εντροπία διαλόγου είναι ανεξάρτητη από την κατανομή πιθανοτήτων των συμβόλων εισόδου. Αυτό αποδεικνύεται με εφαρμογή της εξ. (1.19) :

$$\begin{aligned}
 H(B/A) &= - \sum_{i=1}^{\rho} \sum_{j=1}^{\sigma} p(\alpha_i, \beta_j) \log_e [p(\beta_j / \alpha_i)] = \\
 &= - \sum_{i=1}^{\rho} \left[\sum_{j=1}^{\sigma} p(\beta_j / \alpha_i) \log_e [p(\beta_j / \alpha_i)] \right] p(\alpha_i) \quad (2.15)
 \end{aligned}$$

Αλλά το εσωτερικό άθροισμα στο δεξιό μέλος της εξ. (2.15) είναι σταθερό για κάθε σειρά του μητρώου $\Pi(B/A)$, δηλαδή ανεξάρτητο του δείκτη i , και

επομένως :

$$\begin{aligned}
 H(B/A) &= - \left[\sum_{j=1}^{\sigma} p(\beta_j/\alpha_i) \log_e \left[p(\beta_j/\alpha_i) \right] \right] \left[\sum_{i=1}^{\sigma} p(\alpha_i) \right] = \\
 &= - \sum_{j=1}^{\sigma} p(\beta_j/\alpha_i) \log_e \left[p(\beta_j/\alpha_i) \right] \quad (2.15)
 \end{aligned}$$

Η διαπληροφορία του ομοιόμορφου διαύλου πληροφορίας προκύπτει με συνδυασμό των εξ. (2.7), (2.16) :

$$I(A,B) = H(B) + \sum_{j=1}^{\sigma} p(\beta_j/\alpha_i) \log_e \left[p(\beta_j/\alpha_i) \right] \quad (2.17)$$

Η χωρητικότητα του προκύπτει από την εξ. (2.17) μεγιστοποιώντας την εντροπία εξόδου $H(B)$:

$$C = \log_e \sigma + \sum_{j=1}^{\sigma} p(\beta_j/\alpha_i) \log_e \left[p(\beta_j/\alpha_i) \right] \quad (2.18)$$

και η κατάλληλη κατανομή πιθανοτήτων για τα σύμβολα εισόδου είναι εκείνη που καθιστά τα σύμβολα εξόδου ισοπίθανα.

2.3.5 ΔΥΑΔΙΚΟΣ ΣΥΜΜΕΤΡΙΚΟΣ ΔΙΑΥΛΟΣ ΠΛΗΡΟΦΟΡΙΑΣ

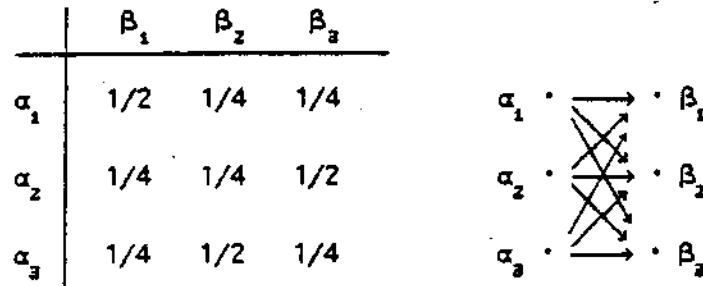
Είναι ομοιόμορφος δίαυλος πληροφορίας με δύο σύμβολα εισόδου και δύο σύμβολα εξόδου (σχ. 2.8). Η χωρητικότητα του προκύπτει με εφαρμογή της εξ. (2.18) :

$$C = \log_e 2 + p \log_e p + (1-p) \log_e (1-p) \quad (2.19)$$

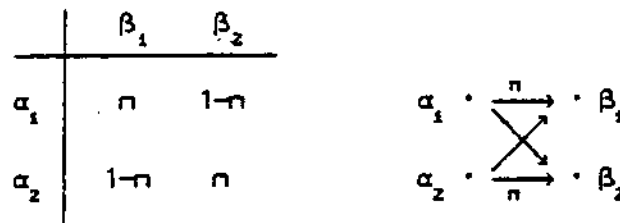
όπου p είναι η πιθανότητα ορθής μετάδοσης κάθε συμβόλου εισόδου. Αν η βάση υπολογισμού των λογαρίθμων είναι 2, διαμορφώνεται η απλούστερη έκφραση :

$$C = 1 - H(n) \text{ bits/σύμβολο} \quad (2.20)$$

με $H(n)$ τη γνωστή (βλ. §1.2) συνάρτηση Shannon.



Σχ. 2.7 Ομοιόμορφος διάυλος πληροφορίας.



Σχ. 2.8 Διαδικός συμμετρικός διάυλος πληροφορίας.

2.3.6 Σ - ΔΙΑΥΛΟΣ ΠΛΗΡΟΦΟΡΙΑΣ

Λειτουργεί με δύο σύμβολα εισόδου και τρία σύμβολα εξόδου (σχ. 2.9). Το σύμβολο εξόδου β_2 εμφανίζεται όταν γίνεται σφάλμα κατά τη μετάδοση οποιουδήποτε συμβόλου εισόδου. Επομένως ο Σ - διάυλος πληροφορίας προσφέρει τη δυνατότητα αποκάλυψης σφαλμάτων μετάδοσης. Εύκολα προκύπτει η παρακάτω απλή έκφραση για την εντροπία θορύβου με εφαρμογή της εξ. (1.19) :

$$H(A/B) = (1-n)H(A) \quad (2.21)$$

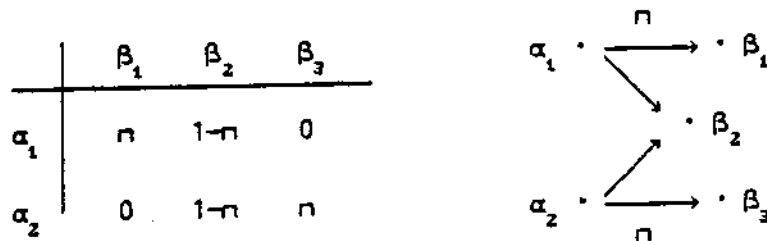
οπότε η εξ. (2.5) καθορίζει για τη διαπληροφορία :

$$I(A,B) = n H(A) \quad (2.22)$$

Επομένως η χωρητικότητα του Σ - διαύλου πληροφορίας είναι :

$$C = n \max \left\{ H(A) \right\} = n \log_2 2 = n \text{ bits/σύμβολο} \quad (2.23)$$

και αντιστοιχεί σε ισοπίθανα σύμβολα εισόδου.



Σχ. 2.9 Σ - δίαυλος πληροφορίας.

2.4 ΤΕΧΝΙΚΗ ΜΥΡΟΓΑ

Η χωρητικότητα συνθετικότερων διαύλων πληροφορίας προσδιορίζεται με την τεχνική Μυρογα που μεγιστοποιεί την έκφραση της διαπληροφορίας με τη βοήθεια πολλαπλασιαστών Lagrange. Η τεχνική Μυρογα πλεονεκτεί σε σύγκριση με την κατευθείαν εφαρμογή του ορισμού στο ότι μετατρέπει το πρόβλημα προσδιορισμού της χωρητικότητας σε πρόβλημα επίλυσης γραμμικού συστήματος εξισώσεων που αντιμετωπίζεται εύκολα με ηλεκτρονικό υπολογιστή.

Στη συνέχεια περιγράφεται χωρίς απόδειξη η τεχνική Μυρογα για δίαυλο πληροφορίας με ισοπίθανα σύμβολα εισόδου - εξόδου. Το μητρώο διαύλου $\Pi(B/A)$ είναι τετραγωνικό με ρ σειρές και ρ στήλες. Με τα στοιχεία $\pi_{ij} = n(\beta_j/\alpha_i)$ διαμορφώνεται το παρακάτω γραμμικό σύστημα :

$$\pi_{11} X_1 + \pi_{12} X_2 + \dots + \pi_{1\rho} X_\rho = \sum_{j=1}^{\rho} \pi_{1j} \log(\pi_{1j})$$

$$n_{21}X_1 + n_{22}X_2 + \dots + n_{2p}X_p = \sum_{j=1}^p n_{2j} \log(n_{2j}) \quad (2.24)$$

.....

$$n_{p1}X_1 + n_{p2}X_2 + \dots + n_{pp}X_p = \sum_{j=1}^p n_{pj} \log(n_{pj})$$

με αγνώστους τα βοηθητικά μεγέθη X_1, X_2, \dots, X_p . Αφού επιλυθεί το σύστημα των εξ. (2.24), υπολογίζεται η χωρητικότητα του διαύλου πληροφορίας από την παρακάτω έκφραση :

$$C = \log_c \left(\sum_{i=1}^p 2^{x_i} \right) \quad (2.25)$$

Οι πιθανότητες των συμβόλων εξόδου που εξασφαλίζουν πλήρη εκμετάλλευση της χωρητικότητας του διαύλου πληροφορίας είναι :

$$p(\beta_i) = 2^{x_i - C} ; i = 1, 2, \dots, p \quad (2.26)$$

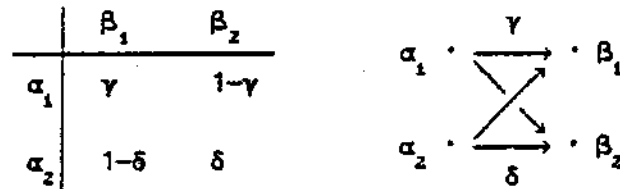
και η αντίστοιχη κατανομή πιθανότητας για τα σύμβολα εισόδου προκύπτει μέσω της εξ. (2.2). Η τεχνική Muroga, όπως διαπιστώνεται στο παράδειγμα που ακολουθεί, διευκολύνει σημαντικά τον υπολογισμό της χωρητικότητας ακόμη και σε διαύλους πληροφορίας με ολιγάριθμα σύμβολα εισόδου - εξόδου.

ΠΑΡΑΔΕΙΓΜΑ : Ο γενικευμένος διαδικός δίαυλος πληροφορίας (σχ. 2.10) διαχωροποιείται από το διαδικό συμμετρικό δίαυλο πληροφορίας (βλ. §2.3.5) κατά το ότι η πιθανότητα αρθής / εσφαλμένης μετάδοσης είναι διαφορετική για καθένα από τα δύο σύμβολα εισόδου. Αν οι πιθανότητες των συμβόλων εισόδου είναι $p(\alpha_1) = p$ και $p(\alpha_2) = 1 - p = q$, με κατευθείαν εφαρμογή του ορισμού προκύπτει η παρακάτω έκφραση για τη διαπληροφορία :

$$I(A,B) = H(p) + \gamma p \log_c \left(\frac{\gamma p}{\gamma p + (1-\delta)q} \right) + \delta q \log_c \left(\frac{\delta q}{(1-\gamma)p + \delta q} \right) +$$

$$+ (1-\gamma)p \log_e \left[\frac{(1-\gamma)p}{(1-\gamma)p + \delta q} \right] + (1-\delta)q \log_e \left[\frac{(1-\delta)q}{\gamma p + (1-\delta)q} \right] \quad (2.27)$$

Για να προσδιορισθεί η χωρητικότητα του διαύλου πληροφορίας πρέπει να μεγιστοποιηθεί η έκφραση στο δεξιό μέλος της εξ. (2.27). Αυτό είναι κατ' αρχή δυνατό αλλά όχι και τόσο εύκολο παρόλο που πρόκειται για μάλλον απλό δίκτυο.



Σχ. 2.10 Γενικευμένος διαδικός δίαυλος πληροφορίας.

Αν εφαρμοσθεί η τεχνική Μιγροα, διαμορφώνεται το παρακάτω γραμμικό σύστημα εξισώσεων :

$$\gamma X_1 + (1-\gamma)X_2 = -H(\gamma) \quad (2.28)$$

$$(1-\delta)X_1 + \delta X_2 = -H(\delta)$$

από το οποίο υπολογίζονται τα βοηθητικά μεγέθη X_1 , X_2 :

$$X_1 = \frac{\delta H(\gamma) - (1-\gamma)H(\delta)}{1 - \gamma - \delta} \quad (2.29)$$

$$X_2 = \frac{\gamma H(\delta) - (1-\delta)H(\gamma)}{1 - \gamma - \delta}$$

Στη συνέχεια με εφαρμογή της εξ. (2.25) προκύπτει η χωρητικότητα του διαύλου πληροφορίας :

$$C = \frac{\gamma H(\delta) + \delta H(\gamma)}{1 - \gamma - \delta} + \log_e \left[2^{\frac{H(\gamma)}{\gamma + \delta - 1}} + 2^{\frac{H(\delta)}{\gamma + \delta - 1}} \right] \quad (2.30)$$

ενώ με εφαρμογή της εξ. (2.26) προκύπτουν οι κατάλληλες πιθανότητες για τα σύμβολα εξόδου :

$$p(\beta_1) = \frac{\frac{H(\delta)}{\gamma + \delta - 1}}{2 \left(\frac{H(\gamma)}{\gamma + \delta - 1} + \frac{H(\delta)}{\gamma + \delta - 1} \right)} \quad (2.31)$$

$$p(\beta_2) = \frac{\frac{H(\gamma)}{\gamma + \delta - 1}}{2 \left(\frac{H(\gamma)}{\gamma + \delta - 1} + \frac{H(\delta)}{\gamma + \delta - 1} \right)}$$

Είναι φανερό ότι $p(\beta_1) + p(\beta_2) = 1$. Με εφαρμογή της εξ. (2.2) προκύπτουν τελικά οι κατάλληλες πιθανότητες για τα σύμβολα εισόδου :

$$p = p(\alpha_1) = \frac{\delta - p(\beta_2)}{\gamma + \delta - 1} \quad (2.32)$$

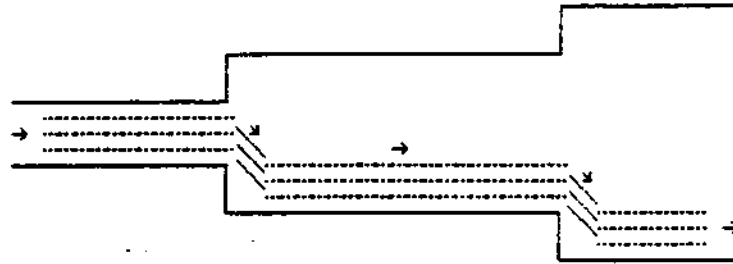
$$q = p(\alpha_2) = \frac{\gamma - p(\beta_1)}{\gamma + \delta - 1}$$

και είναι φανερό ότι $p + q = p(\alpha_1) + p(\alpha_2) = 1$.

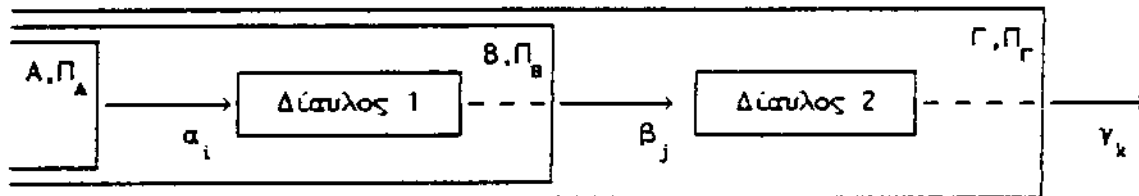
2.5 ΑΛΥΣΙΔΩΤΗ ΣΥΝΔΕΣΗ ΔΙΑΥΛΩΝ ΠΛΗΡΟΦΟΡΙΑΣ

Αλυσίδα διαύλων πληροφορίας προκύπτει όταν αριθμός απλών διαύλων πληροφορίας διατάσσονται κατά τέτοιο τρόπο ώστε η έξοδος καθενός να είναι είσοδος του επομένου. Σε πραγματικά συστήματα επικοινωνιών η πληροφορία ρέει συνήθως μέσα από αλυσίδα διαύλων πληροφορίας (π.χ. πομπός, κυματοδηγός, κεραία εκπομπής, ατμόσφαιρα, κεραία λήψεως, δέκτης) και επομένως είναι λογικό να ενδιαφέρει τέτοια σύνδεση απλών διαύλων πληροφορίας.

Αν για τη ροή πληροφορίας μέσα από αλυσίδα διαύλων πληροφορίας χρησιμοποιηθεί η παρομοίωση της ροής κάποιου ρευστού μέσα από διαδοχή αγωγών διαφορετικής διατομής (σχ. 2.11), διαμορφώνεται αβίαστα η εντύπωση ότι γενικά δεν είναι δυνατή η βέλτιστη εκμετάλλευση της χωρητικότητας κάθε απλού διαύλου πληροφορίας που συμμετέχει στην αλυσίδα. Η ανάλυση που ακολουθεί θα επιβεβαιώσει τη διαίσθηση.



Σχ. 2.11 Ροή ρευστού μέσα από αγωγούς διαφορετικής διατομής. Ενώ εξαντλείται η χωρητικότητα του πρώτου αγωγού, στους επόμενους υπάρχει ανεκμετάλλευτος χώρος.



Σχ. 2.12 Αλυσίδα δύο απλών διαύλων πληροφορίας.

Εστω αλυσίδα δύο απλών διαύλων πληροφορίας (σχ. 2.12). Η πηγή πληροφορίας A, Π_A στην είσοδο της αλυσίδας προεκτείνεται στην πηγή πληροφορίας B, Π_B στην έξοδο του πρώτου απλού διαύλου πληροφορίας και τελικά στην πηγή πληροφορίας Γ, Π_Γ στην έξοδο του δεύτερου απλού διαύλου πληροφορίας. Η διαπληροφορία στον πρώτο απλό διάυλο πληροφορίας είναι $I(A, B) = H(A) - H(A/B)$ και στην αλυσίδα των δύο απλών διαύλων πληροφορίας είναι $I(A, \Gamma) = H(A) - H(A/\Gamma)$. Αν η αλυσίδα δεν εξασφαλίζει πλήρη εκμετάλλευση της χωρητικότητας κάθε απλού διαύλου πληροφορίας, όπως υποδεικνύει η διαίσθηση, πρέπει :

$$I(A, B) - I(A, \Gamma) = H(A/\Gamma) - H(A/B) \geq 0 \quad (2.33)$$

και αυτό θα αποδειχθεί με εφαρμογή της εξ. (1.19). Εύκολα αποδεικνύεται ότι :

$$H(A/\Gamma) - H(A/B) = \sum_{i=1}^p \sum_{j=1}^o \sum_{k=1}^{\tau} n(\alpha_i, \beta_j, \gamma_k) \log_e \left[\frac{n(\alpha_i/\beta_j)}{n(\alpha_i/\gamma_k)} \right] \quad (2.34)$$

Επειδή καθένας από τους απλούς διαπύλους πληροφορίας λειτουργεί ανεξάρτητα από τον άλλο, ισχύει :

$$n(\gamma_k/\beta_j, \alpha_i) = n(\gamma_k/\beta_j) \quad (2.35)$$

Αλλά $n(\gamma_k/\beta_j, \alpha_i) = n(\gamma_k, \beta_j, \alpha_i)/n(\beta_j, \alpha_i)$ και $n(\gamma_k/\beta_j) = n(\gamma_k, \beta_j)/n(\beta_j)$ οπότε η εξ. (2.35) γράφεται με τη μορφή που ακολουθεί :

$$\frac{n(\alpha_i, \beta_j, \gamma_k)}{n(\beta_j, \gamma_k)} = \frac{n(\alpha_i, \beta_j)}{n(\beta_j)} \quad (2.36)$$

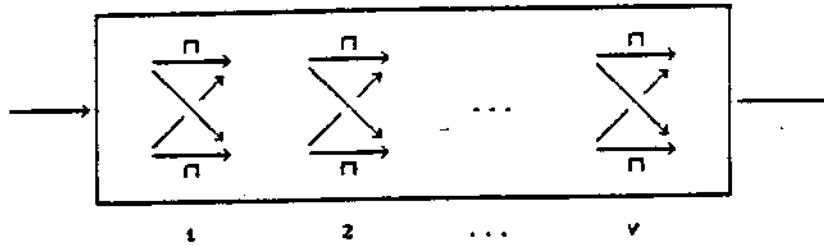
Η εξ. (2.36) οδηγεί στην παρακάτω :

$$n(\alpha_i/\beta_j, \gamma_k) = n(\alpha_i/\beta_j) \quad (2.37)$$

που υποδεικνύει ότι καθένας απλός δίπυλος πληροφορίας λειτουργεί ανεξάρτητα από τον άλλο ακόμη και όταν η πληροφορία ρέει κατά την αντίθετη φορά. Με αντικατάσταση από την εξ. (2.37) στην εξ. (2.34) προκύπτει :

$$H(A/\Gamma) - H(A/B) = \sum_{j=1}^o \sum_{k=1}^{\tau} n(\beta_j, \gamma_k) \left[\sum_{i=1}^p n(\alpha_i/\beta_j, \gamma_k) \log_e \left[\frac{n(\alpha_i/\beta_j, \gamma_k)}{n(\alpha_i/\gamma_k)} \right] \right] \quad (2.38)$$

Αλλά το άθροισμα μεταξύ παρενθέσεων στο δεξιό μέλος της εξ. (2.38) είναι, σύμφωνα με την εξ. (1.7), μη αρνητικό. Επομένως επιβεβαιώνεται η εξ. (2.33) που υποδεικνύει ότι η διαπληροφορία στον πρώτο απλό δίπυλο πληροφορίας είναι μεγαλύτερη από τη διαπληροφορία στην αλυσίδα των δύο απλών διαπύλων πληροφορίας. Αν $n(\alpha_i/\beta_j, \gamma_k) = n(\alpha_i/\gamma_k)$, τότε $I(A,B) - I(A,\Gamma) = H(A/\Gamma) - H(A/B) = 0$, δηλαδή παρά την αλυσιδωτή σύνδεση εξασφαλίζεται η βέλτιστη εκμετάλλευση και των δύο απλών διαπύλων πληροφορίας που συνιστούν την αλυσίδα.



Σχ. 2.13 Αλυσίδα n δυαδικών συμμετρικών διαύλων πληροφορίας.

ΠΑΡΑΔΕΙΓΜΑ : Εστω αλυσίδα n δυαδικών συμμετρικών διαύλων πληροφορίας (σχ. 2.13). Αν $p \geq 1/2$ είναι η πιθανότητα ορθής μετάδοσης οποιουδήποτε δυαδικού ψηφίου σε καθένα μέλος της αλυσίδας, αποδεικνύεται επαγωγικά ότι το μητρώο διαύλου της αλυσίδας είναι :

$$\Pi(B/A) = \begin{bmatrix} p_v & 1-p_v \\ 1-p_v & p_v \end{bmatrix} \quad (2.34)$$

με $p_v = (1 + \delta^v)/2$ και $\delta = 2p - 1$. Επειδή η αλυσίδα εμφανίζεται σαν δυαδικός συμμετρικός δίαυλος πληροφορίας (βλ. §2.3.5), η χωρητικότητα της είναι δυνατό να προσδιορισθεί με εφαρμογή της εξ. (2.19) :

$$C = \log_2 2 + p_v \log_2(p_v) + (1-p_v) \log_2(1-p_v) \quad (2.40)$$

Αν η βάση υπολογισμού των λογαρίθμων είναι 2, η εξ. (2.40) παίρνει τη μορφή που ακολουθεί :

$$C = 1 - H(p_v) \text{ bits/σύμβολο} \quad (2.41)$$

όπου $H(\cdot)$ είναι η συνάρτηση Shannon. Στο όριο $v \rightarrow \infty$, $\delta^v \rightarrow 0$, $p_v \rightarrow 1/2$ και :

$$C \xrightarrow{v \rightarrow \infty} 1 - H(1/2) = 1 - 1 = 0 \quad (2.42)$$

δηλαδή η χωρητικότητα της αλυσίδας οριακά μηδενίζεται καθώς αυξάνει το μήκος της. Στην ιδανική περίπτωση με $p = 1$ ισχύει $p_v = 1$ και $C = 1 - H(1) = 1 - 0 = 1$ bit/σύμβολο ανεξάρτητα από το μήκος της αλυσίδας. Το αποτέλεσμα αυτό είναι λογικό επειδή σε κάθε μέλος της αλυσίδας θεωρήθηκε μηδενική πιθανότητα

αριθμητός.

2.6 ΑΝΑΛΟΓΙΚΗ ΡΟΗ ΠΛΗΡΟΦΟΡΙΑΣ

Αν στην είσοδο του διαύλου πληροφορίας προσαρμοσθεί αναλογική πηγή πληροφορίας A, p_A (βλ. §1.7), τότε και η έξοδος του εμφανίζεται, σύμφωνα με όσα αναφέρθηκαν στην §2.1, σαν αναλογική πηγή πληροφορίας, έστω B, p_B . Στο παράδειγμα της §1.7 η αναλογική πηγή πληροφορίας A, p_A εκπροσωπήθηκε από κανονική τυχαία μεταβλητή με (σταθερή) τυπική απόκλιση σ_A , δηλαδή :

$$p_A(\alpha) = \frac{1}{\sigma_A \sqrt{2\pi}} \exp\left\{-\frac{\alpha^2}{2\sigma_A^2}\right\} \quad (2.43)$$

Αν αυτή προσαρμοσθεί στην είσοδο του διαύλου πληροφορίας και επιπλέον το σύστημα επικοινωνίας θεωρηθεί γραμμικό για απλότητα, τότε και η έξοδος του διαύλου πληροφορίας θα εκπροσωπείται από κανονική τυχαία μεταβλητή με σταθερή τυπική απόκλιση, έστω σ_B , δηλαδή :

$$p_B(\beta) = \frac{1}{\sigma_B \sqrt{2\pi}} \exp\left\{-\frac{\beta^2}{2\sigma_B^2}\right\} \quad (2.44)$$

Επιπλέον η συνδυαστική κατανομή πυκνότητας πιθανότητας των μεταβλητών A, B θα είναι διδιάστατη κανονική :

$$p_{AB}(\alpha, \beta) = \frac{1}{2\pi\sigma_A\sigma_B\sqrt{1-\rho^2}} \exp\left\{-\frac{1}{2(1-\rho^2)}\left[\frac{\alpha^2}{\sigma_A^2} + \frac{\beta^2}{\sigma_B^2} - \frac{2\rho\alpha\beta}{\sigma_A\sigma_B}\right]\right\} \quad (2.45)$$

όπου $\rho = E(AB)/\sigma_A\sigma_B$ είναι ο συντελεστής συσχέτισης. Είναι λογικό να υπάρχει σημαντική συσχέτιση μεταξύ εισόδου και εξόδου αν ο δίαυλος πληροφορίας λειτουργεί ικανοποιητικά, δηλαδή, αν εξασφαλίζει αξιόπιστη ροή της πληροφορίας.

Κατ' αναλογία με την εξ. (1.48) ορίζεται η διαπληροφορία του διαύλου πληροφορίας:

$$I(A,B) = \iint \pi_{AB}(\alpha,\beta) \log_e \left(\frac{\pi_{AB}(\alpha,\beta)}{\pi_A(\alpha)\pi_B(\beta)} \right) d\alpha d\beta \quad (2.46)$$

και η εξ. (2.46) δεν είναι παρά προσαρμογή της εξ. (2.6) για αναλογική ροή πληροφορίας. Είναι φανερό ότι η έκφραση της διαπληροφορίας εξακολουθεί να είναι συμμετρική ως προς A,B. Με αντικατάσταση από τις εξ. (2.43)-(2.45) στην εξ. (2.46) προκύπτει :

$$I(A,B) = -\frac{1}{2} \log_e (1 - \rho^2) \iint \pi_{AB}(\alpha,\beta) d\alpha d\beta - \frac{\rho^2}{2(1-\rho^2)\pi e} \iint \pi_{AB}(\alpha,\beta) \left(\frac{\alpha^2}{\sigma_A^2} + \frac{\beta^2}{\sigma_B^2} - \frac{2\alpha\beta}{\rho\sigma_A\sigma_B} \right) d\alpha d\beta \quad (2.47)$$

Είναι εύκολο να αποδειχθεί ότι ο δεύτερος όρος στο δεξιό μέλος της εξ. (2.47) είναι μηδέν. Επιπλέον $\iint \pi_{AB}(\alpha,\beta) d\alpha d\beta = 1$ και επομένως η εξ. (2.47) παίρνει την απλή μορφή που ακολουθεί :

$$I(A,B) = -\frac{1}{2} \log_e (1 - \rho^2) \quad (2.48)$$

Η εξ. (2.48) υποδεικνύει ότι η ροή πληροφορίας καθορίζεται από το συντελεστή συσχέτισης εισόδου - εξόδου. Αλλά η υποβάθμιση της συσχέτισης οφείλεται στην παρουσία θορύβου που αλλοιώνει το σήμα κατά τη διέλευση του μέσα από το δίαυλο. Αν για απλότητα ο θόρυβος θεωρηθεί αθροιστικός και λευκός, δηλαδή με ομοιόμορφη φασματική πυκνότητα ισχύος σε ευρεία ζώνη, τότε ο μετασχηματισμός του σήματος κατά τη διέλευση του μέσα από το δίαυλο περιγράφεται από την απλή σχέση :

$$B = A + \theta \quad (2.49)$$

όπου θ είναι η τυχαία μεταβλητή που εκπροσωπεί το θόρυβο. Είναι λογικό να τεθούν οι συνθήκες $E(\theta) = 0$ και $E(A\theta) = E(A)E(\theta) = 0$ που δείχνουν ότι ο θόρυβος έχει μέση τιμή μηδέν και ακόμη ότι σήμα και θόρυβος είναι στατιστικά ανεξάρτητα αφού προέρχονται από ξεχωριστές πηγές. Με τις προϋποθέσεις αυτές προκύπτει :

$$\rho = \frac{E(AB)}{\sigma_A \sigma_B} = \frac{E(A(A+\theta))}{\sigma_A \sigma_B} = \frac{E(A^2)}{\sigma_A \sigma_B} + \frac{E(A\theta)}{\sigma_A \sigma_B} = \frac{\sigma_A^2}{\sigma_A \sigma_B} = \frac{\sigma_A}{\sigma_B} \quad (2.50)$$

Είναι εύκολο να αποδειχθεί ότι :

$$\sigma_B^2 = \sigma_A^2 + \sigma_\theta^2 \quad (2.51)$$

και με αντικατάσταση από τις εξ. (2.50), (2.51) στην εξ. (2.48) προκύπτει :

$$I(A,B) = \frac{1}{2} \log_e \left(1 + \frac{\sigma_A^2}{\sigma_\theta^2} \right) \quad (2.52)$$

Αλλά η μεταβλητότητα αναλογικού σήματος περιγράφει τη μέση ισχύ του, δηλαδή $\sigma_A^2 = S$ (ισχύς σήματος) και $\sigma_\theta^2 = N$ (ισχύς θορύβου), και επομένως ο λόγος $\sigma_A^2/\sigma_\theta^2 = S/N$ είναι η σηματοθορυβική σχέση, που συνήθως δίνεται σε dB. Η εξ. (2.52) διαμορφώνεται τελικά στην παρακάτω :

$$I(A,B) = \frac{1}{2} \log_e \left(1 + \frac{S}{N} \right) \quad (2.53)$$

που δείχνει ότι η αναλογική ροή πληροφορίας ελέγχεται αποκλειστικά από τη σηματοθορυβική σχέση. Εφόσον η παροχή πληροφορίας στην είσοδο του διαύλου είχε ήδη μεγιστοποιηθεί, η έκφραση της εξ. (2.53) ισχύει και για τη χωρητικότητα του διαύλου πληροφορίας, που είναι το μέγιστο της διαπληροφορίας, δηλαδή :

$$C = \frac{1}{2} \log_e \left(1 + \frac{S}{N} \right) \quad (2.54)$$

Το μέγεθος C μετράται σε bits/σύμβολο αν η βάση υπολογισμού του λογαρίθμου στην εξ. (2.54) είναι 2. Αν το αναλογικό σήμα υποστεί δειγματοληψία με ρυθμό Nyquist (βλ. §2.1), το πλήθος δειγμάτων ανά δευτερόλεπτο που διέρχονται μέσα από το δίαυλο είναι $2B$, με B το εύρος ζώνης του σήματος. Θεωρώντας σαν σύμβολα πληροφορίας τα δείγματα του αναλογικού σήματος, που είναι διακριτά στο χρόνο αλλά συνεχή κατά την τιμή τους, ο ρυθμός ροής πληροφορίας μέσα από το δίαυλο

είναι :

$$C = B \log_2 \left(1 + \frac{S}{N} \right) \quad (2.55)$$

και το μέγεθος C μετράται εδώ σε bits/sec. Ενδεικτικές τιμές της χωρητικότητας τηλεπικοινωνιακών διαύλων δίνονται στον πίνακα 2.1. Αν ο θόρυβος είναι λευκός με φασματική πυκνότητα ισχύος n W/Hz, τότε $N = nB$ και η εξ. (2.55) παίρνει τη μορφή:

$$C = B \log_2 \left(1 + \frac{S}{nB} \right) \quad (2.56)$$

Στο όριο $B \rightarrow \infty$ προκύπτει :

$$C \rightarrow 1.44 \frac{S}{n} \quad (2.57)$$

δηλαδή, ακόμη και αν χρησιμοποιηθεί όλο το φάσμα συχνοτήτων ο ρυθμός ροής πληροφορίας δεν ξεπερνά το άνω φράγμα που καθορίζει η εξ. (2.57). Περαιτέρω αύξηση του ρυθμού ροής της πληροφορίας είναι δυνατή μόνο με βελτίωση του λόγου S/n . Εξυπονοείται ότι σε πρακτικές εφαρμογές δεν είναι διαθέσιμο παρά ελάχιστο μέρος του φάσματος.

Πίνακας 2.1

Χωρητικότητα τηλεπικοινωνιακών διαύλων πληροφορίας.

Δίαυλος	S/N (dB)	B (KHz)	C (bits/sec)
Τηλέτυπο			$5.0 \cdot 10^1$
Τηλέφωνο	15	4	$2.0 \cdot 10^4$
AM ραδιόφωνο	20	20	$1.3 \cdot 10^5$
FM ραδιόφωνο	35	75	$8.7 \cdot 10^5$
Τηλεόραση	40	6000	$7.9 \cdot 10^7$
ISDN			$1.5 \cdot 10^8$
Οπτική ίνα			$4.0 \cdot 10^9$

Η ενέργεια που απαιτείται για μετάδοση πληροφορίας 1 bit υπολογίζεται από το

λόγο S/C που έχει διάσταση Watts/(bits/sec) = Joules/bit. Είναι φανερό ότι το μέγεθος S/C συνδέεται με το κόστος και γενικά τη δυνατότητα υλοποίησης του τηλεπικοινωνιακού συστήματος. Αν οι φασματικές πυκνότητες ισχύος σήματος και θορύβου είναι ομοιόμορφες, δηλαδή $S = sB$ και $N = nB$ με s, n σταθερές, η σηματοθορυβική σχέση S/N ταυτίζεται με το λόγο s/n . Η πληροφοριακή πυκνότητα ενέργειας S/C προκύπτει από την εξ. (2.55) :

$$S/C = n \frac{S/N}{\log_2 \left(1 + S/N \right)} \quad (2.58)$$

Σε πολλές περιπτώσεις ο θόρυβος είναι θερμικό αποτέλεσμα και η φασματική πυκνότητα ισχύος του δίνεται από την απλή έκφραση :

$$n = kT \quad (2.59)$$

όπου $k = 1.37 \times 10^{-23}$ Joules/°K είναι η σταθερά Boltzmann και T η απόλυτη θερμοκρασία που μετράται σε βαθμούς Κελσίου (°K). Ακόμη και αν ο θόρυβος έχει άλλη προέλευση είναι δυνατό να χρησιμοποιηθεί η απλή έκφραση της εξ. (2.59) εισάγοντας τη θερμοκρασία θορύβου :

$$T_e = \frac{n}{k} \quad (2.60)$$

Αν χρησιμοποιηθεί η εξ. (2.60) στην εξ. (2.58), διαμορφώνεται η τελική έκφραση για την πληροφοριακή πυκνότητα ενέργειας :

$$S/C = kT_e \frac{S/N}{\log_2 \left(1 + S/N \right)} \quad (2.61)$$

και είναι φανερό ότι $S/C \rightarrow \infty$ καθώς $S/N \rightarrow \infty$. Επομένως η ενεργειακή απαίτηση για μετάδοση 1 bit αυξάνει με τη σηματοθορυβική σχέση. Από την άλλη πλευρά $S/C \rightarrow kT_e \ln 2$ καθώς $S/N \rightarrow 0$. Αν $S/N = 30$ dB και $T_e \approx 300$ °K, η εξ. (2.61) καθορίζει ότι $S/C \approx 4 \cdot 10^{-19}$ Joules/bit, δηλαδή ενέργεια 1 Joule επαρκεί για μετάδοση $2.5 \cdot 10^{18}$ bits ! Είναι φανερό λοιπόν ότι στο πλαίσιο των εφαρμογών της θεωρίας πληροφοριών η ενέργεια είναι δευτερεύον μέγεθος. Ποιός ενδιαφέρεται σήμερα για την κατανάλωση ρεύματος του προσωπικού υπολογιστή του ;

2.7 ΑΣΚΗΣΕΙΣ

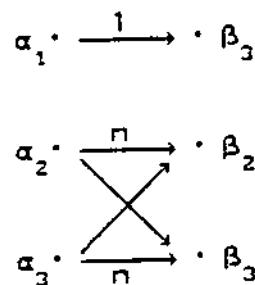
1. Εστω δίαυλος πληροφορίας με το παρακάτω μητρώο συνδυετικών πιθανοτήτων των συμβόλων εισόδου, εξόδου :

$$P(A,B) = \begin{bmatrix} 0.25 & 0.00 & 0.10 \\ 0.00 & 0.30 & 0.05 \\ 0.10 & 0.05 & 0.00 \\ 0.00 & 0.00 & 0.15 \end{bmatrix}$$

Να υπολογισθούν οι πιθανότητες των συμβόλων εισόδου, οι πιθανότητες των συμβόλων εξόδου, η εντροπία εισόδου $H(A)$ και η εντροπία εξόδου $H(B)$. Να προσδιορισθεί το μητρώο διαύλου $P(B/A)$ και να υπολογισθούν η εντροπία διαύλου $H(B/A)$ και η εντροπία θορύβου $H(A/B)$.

2. Να υπολογισθεί η χωρητικότητα (σε bits/sec) διαύλου πληροφορίας που διοχετεύει μηνύματα διάρκειας T sec. Η διακριτή πηγή πληροφορίας στην είσοδο του χρησιμοποιεί αλφάβητο ρ συμβόλων και εκπέμπει κ σύμβολα/sec. Να σχολιασθεί το αποτέλεσμα.

3. Δίνεται το παρακάτω διάγραμμα διαύλου :



Να προσδιορισθεί το μητρώο διαύλου $P(B/A)$. Αν $p(\alpha_1) = 0.3$, $p(\alpha_2) = 0.3$ και $p(\alpha_3) = 0.4$ είναι οι πιθανότητες των συμβόλων εισόδου, να προσδιορισθεί το μητρώο $P(A,B)$. Να υπολογισθεί η χωρητικότητα του διαύλου πληροφορίας.

4. Δίνονται τα παρακάτω μητρώα διαύλου. Να υπολογισθεί η χωρητικότητα των αντίστοιχων διαύλων πληροφορίας.

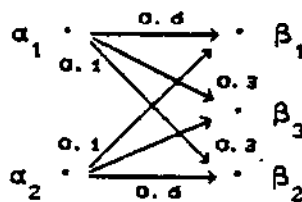
$$\begin{bmatrix} 1 & 0 \\ 1 & 0 \\ 0 & 1 \end{bmatrix} \quad \begin{bmatrix} 1/4 & 3/4 & 0 \\ 0 & 3/4 & 1/4 \end{bmatrix} \quad \begin{bmatrix} 2/3 & 1/3 \\ 1/3 & 2/3 \end{bmatrix}$$

Στην τελευταία περίπτωση δίνονται και οι πιθανότητες των συμβόλων εισόδου $\pi(\alpha_1) = 3/4$, $\pi(\alpha_2) = 1/4$. Να υπολογισθεί η διαφορά μεταξύ διαπληροφορίας και χωρητικότητας και να αιτιολογηθεί.

5. Να υπολογισθεί η χωρητικότητα διαύλου πληροφορίας με μητρώο διαύλου :

$$\Pi(B/A) = \begin{bmatrix} 3/4 & 1/4 & 0 \\ 1/8 & 3/4 & 1/8 \\ 1/4 & 0 & 3/4 \end{bmatrix}$$

6. Δίνεται το παρακάτω διάγραμμα διαύλου. Να υπολογισθεί η χωρητικότητα του αντίστοιχου διαύλου πληροφορίας και να προσδιορισθεί η κατάλληλη κατανομή πιθανοτήτων των συμβόλων εισόδου.



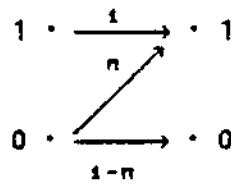
7. Δίνεται το παρακάτω μητρώο διαύλου :

$$\Pi(B/A) = \begin{bmatrix} \pi & 1-\pi & 0 & 0 \\ 1-\pi & \pi & 0 & 0 \\ 0 & 0 & \pi & 1-\pi \\ 0 & 0 & 1-\pi & \pi \end{bmatrix}$$

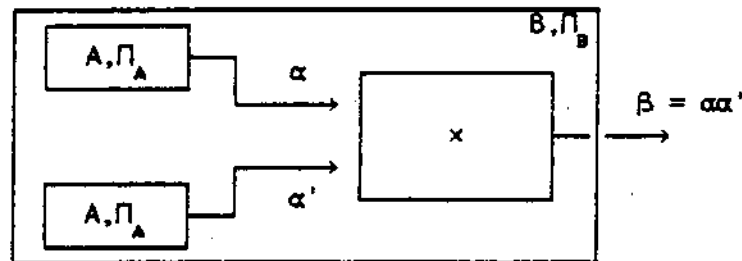
Να υπολογισθεί η χωρητικότητα $C(\pi)$ του αντίστοιχου διαύλου πληροφορίας και να σχεδιασθεί η συνάρτηση $C(\pi)$ στο διάστημα $[0, 1]$.

8. Να προσδιορισθεί η διαπληροφορία και η χωρητικότητα του Z-διαύλου πληροφορίας

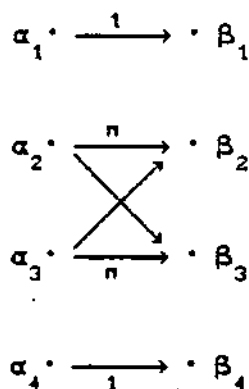
που περιγράφεται από το παρακάτω διάγραμμα διαύλου.



9. Ο παρακάτω δίαυλος πληροφορίας είναι ένας μείκτης. Στην είσοδο του προσαρμόζονται δύο επαναλήψεις της πηγής πληροφορίας $A = \{0, 1\}$, $\Pi_A = (p, 1-p)$ και στην έξοδο του εμφανίζεται το γινόμενο των δύο συμβόλων εισόδου. Να προσδιορισθεί το μητρώο διαύλου $\Pi(B/A)$ του μείκτη και να υπολογισθούν η χωρητικότητα, η εντροπία εισόδου και η εντροπία εξόδου. Εφαρμογή για $p = 0.7$.

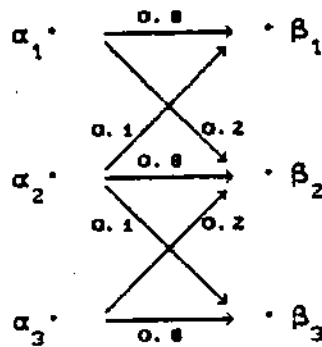


10. Δίνεται το παρακάτω διάγραμμα διαύλου. Να υπολογισθεί η χωρητικότητα $C(p)$ του αντίστοιχου διαύλου πληροφορίας και να σχεδιασθεί η συνάρτηση $C(p)$ στο διάστημα $[0, 1]$.

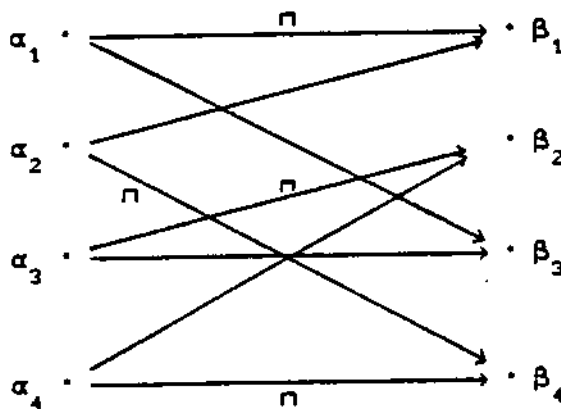


Να προσδιορισθεί η κατάλληλη κατανομή πιθανοτήτων των συμβόλων εισόδου για $p = 0$ ή $p = 0.5$ αν είναι γνωστό ότι $p(\alpha_1) = p(\alpha_4) = a$ και $p(\alpha_2) = p(\alpha_3) = b$.

11. Δίνεται το παρακάτω διάγραμμα διαπύλου. Να υπολογισθεί η χωρητικότητα του αντίστοιχου διαπύλου πληροφορίας και η κατάλληλη κατανομή πιθανοτήτων των συμβόλων εισόδου. Λόγω συμμετρίας γίνεται δεκτό ότι $p(\alpha_1) = p(\alpha_2)$.



12. Το παρακάτω διάγραμμα διαπύλου περιγράφει τη λειτουργία του ορθογωνικού διαπύλου πληροφορίας. Αν τα σύμβολα εισόδου $\alpha_1, \alpha_2, \alpha_3, \alpha_4$ έχουν πιθανότητα $\pi_1, \pi_2, \pi_3, \pi_4$, αντίστοιχα, με $\pi_1 + \pi_2 + \pi_3 + \pi_4 = 1$, να υπολογισθούν οι πιθανότητες των συμβόλων εξόδου και η εντροπία συστήματος $H(AB)$. Να προσδιορισθούν η κατανομή πιθανοτήτων για τα σύμβολα εισόδου και η πιθανότητα ορθής μετάδοσης π που εξασφαλίζουν πλήρη αξιοποίηση του διαπύλου.



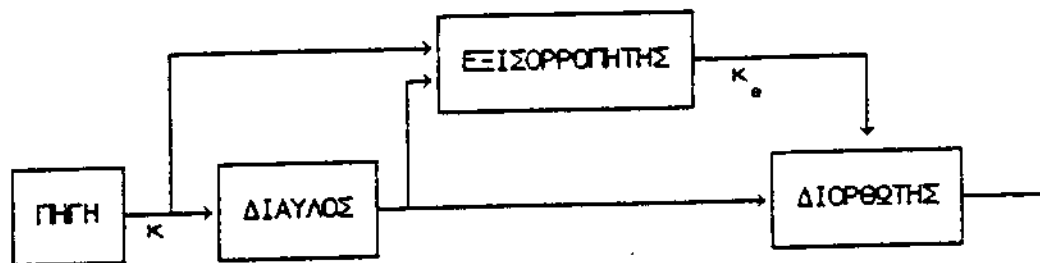
13. Ο μ -αδικός συμμετρικός διαπύλος πληροφορίας έχει πιθανότητες μετάδοσης :

$$p(\beta_j/\alpha_i) = \begin{cases} 1-\pi & \text{αν } i = j \\ \pi/(\mu-1) & \text{αν } i \neq j \end{cases}$$

όπου $\alpha_1, \alpha_2, \dots, \alpha_\mu$ είναι τα σύμβολα εισόδου και $\beta_1, \beta_2, \dots, \beta_\mu$ είναι τα σύμβολα εξόδου. Να σχεδιασθεί το διάγραμμα διαπύλου και να σχολιασθεί η

λειτουργία του διαύλου πληροφορίας. Τι εκφρασεί η παράμετρος η ; Να υπολογισθεί η χωρητικότητα $C(\eta)$ και να σχεδιασθεί η συνάρτηση $C(\eta)$ στο διάστημα $[0, 1]$. Να προσδιορισθεί η κατάλληλη κατανομή πιθανοτήτων των συμβόλων εισόδου.

14. Στο παρακάτω σχήμα περιγράφεται ιδανικό σύστημα επικοινωνίας που εξασφαλίζει τη διόρθωση όλων των σφαλμάτων μετάδοσης. Ο εξισορροπητής ελέγχει την είσοδο και την έξοδο του διαύλου πληροφορίας και παρέχει πληροφορία k_e bits/sec στο διορθωτή που τη χρησιμοποιεί για να διορθώσει όλα τα σφάλματα μετάδοσης. Να υπολογισθεί η χωρητικότητα του διαύλου πληροφορίας αν είναι γνωστό ότι η διακριτή πηγή πληροφορίας στην είσοδο του χρησιμοποιεί αλφάβητο ρ συμβόλων και εκπέμπει k σύμβολα/sec.



15. Για τη μετάδοση ψηφιακού μηνύματος μήκους K δυαδικών ψηφίων χρησιμοποιείται αναλογικός δίαυλος πληροφορίας με εύρος ζώνης B . Αν $S/N \gg 1$ είναι η σηματοδορυβική σχέση στην έξοδο του διαύλου πληροφορίας, να αποδειχθεί ότι ο ελάχιστος χρόνος για τη μετάδοση του ψηφιακού μηνύματος είναι:

$$T_{\min} \approx \frac{3K}{B(S/N)_{dB}}$$

όπου $(S/N)_{dB}$ υποδηλώνει τη σηματοδορυβική σχέση εκφρασμένη σε dB.

16. Η είσοδος διαύλου πληροφορίας περιγράφεται από διακριτή τυχαία μεταβλητή A που παίρνει μόνο δύο ισοπίθανες τιμές, έστω $\pm a$. Λόγω θορύβου η έξοδος του διαύλου πληροφορίας είναι συνεχής τυχαία μεταβλητή B . Οι υπό συνθήκη κατανομές πυκνότητας πιθανότητας $\eta_{A|B}(\beta/\pm a)$ είναι κανονικές με μέση τιμή $\pm a$ και τυπική απόκλιση σ . Να προσδιορισθεί η κατανομή πυκνότητας πιθανότητας $\eta_B(\beta)$ της εξόδου. Να δοθεί η έκφραση της χωρητικότητας του διαύλου σε μορφή που να μην επιδέχεται περαιτέρω απλοποίηση.

17. Να αποδειχθεί ότι ισχύει (βλ. εξ. (2.47)) :

$$\iint \Pi_{AB}(\alpha, \beta) \left(\frac{\alpha^2}{\sigma_A^2} + \frac{\beta^2}{\sigma_B^2} - \frac{2\alpha\beta}{\rho\sigma_A\sigma_B} \right) d\alpha d\beta = 0$$

18. Να αποδειχθεί η εξ. (2.51).

19. Τηλεπικοινωνιακός μηχανικός σχεδίασε σύστημα επικοινωνίας με χωρητικότητα διαύλου πληροφορίας 20 Mb/s, ισχύ σήματος στο δέκτη 1 mW και φασματική πυκνότητα ισχύος θορύβου 0.1 nW/Hz. Να ελεγχθεί η δυνατότητα υλοποίησης τέτοιου συστήματος.

20. Ο Mariner IV εκπέμπει εικόνα από τον Άρη στη Γη. Η ισχύς σήματος είναι $S = 10$ W, οι απώλειες μετάδοσης $L = 200$ dB και η φασματική πυκνότητα ισχύος του θορύβου $N = 0.5 \times 10^{-21}$ W/Hz. Η εικόνα αποτελείται από 200×200 στοιχεία με ένταση που μεταβάλλεται σε 64 επίπεδα. Να υπολογισθεί ο ελάχιστος χρόνος για αποστολή της εικόνας.

21. Να υπολογισθεί το απαιτούμενο εύρος ζώνης για τη μετάδοση σήματος εικόνας ασπρόμαυρης τηλεόρασης. Η σηματοθορυβική σχέση στην έξοδο του διαύλου πληροφορίας είναι τουλάχιστο 30 dB. Το μεταδιδόμενο σήμα προκύπτει με δειγματοληψία της τηλεοπτικής εικόνας σε 3×10^5 σημεία. Η τιμή του σήματος σε κάθε σημείο αντιστοιχεί σε κάποια απόχρωση του γκριζου και θεωρείται για απλότητα ότι υπάρχουν 10 ισοπίθανες αποχρώσεις. Για την παραγωγή ζωντανής εικόνας απαιτείται ρυθμός μετάδοσης τουλάχιστο 30 εικόνων/sec. Αν η εικόνα είναι έγχρωμη, η μόνη διαφορά σε σχέση με την προηγούμενη περίπτωση είναι ότι η τιμή του σήματος σε κάθε σημείο της εικόνας αντιστοιχεί σε κάποια απόχρωση του κόκκινου, πράσινου ή γαλάζιου. Να υπολογισθεί το απαιτούμενο εύρος ζώνης συχνοτήτων για έγχρωμη εικόνα, αν θεωρηθεί ότι υπάρχουν 10 ισοπίθανες αποχρώσεις για κάθε χρώμα.

2.1 ΘΕΩΡΗΜΑ ΔΕΙΓΜΑΤΟΛΗΨΙΑΣ

Εστω δίκτυος επικοινωνίας που μεταδίδει αναλογικό σήμα με εύρος ζώνης B και διάρκεια T . Αν και δεν υπάρχει σήμα φραγμένο τόσο στο χρόνο όσο και στη συχνότητα, είναι δυνατό να θεωρηθεί σήμα με φάσμα περιορισμένο στη ζώνη $[0, B]$ και ιστορία που εξαντλείται πρακτικά στο χρονικό διάστημα $[0, T]$.

ΘΕΩΡΗΜΑ : Κάθε αναλογικό σήμα $x(t)$ με εύρος ζώνης B Hz εκπροσωπείται από σειρά δειγμάτων του που λαμβάνονται με χρονικό βήμα $1/2B$ sec.

Η διαίρεση υποδεικνύει ότι το αναλογικό σήμα δεν μεταβάλλεται σημαντικά σε χρονικό διάστημα συντομότερο από την ημιπερίοδο που αντιστοιχεί στη μέγιστη συχνότητα του. Επομένως δειγματοληψία με ρυθμό ταχύτερο από $2B$ δείγματα/sec, εξασφαλίζει ότι κάθε σημαντική πτυχή της ιστορίας του σήματος λαμβάνεται υπόψη. Στη συνέχεια περιγράφεται η μαθηματική απόδειξη του θεωρήματος δειγματοληψίας.

Εστω $X(f)$ το φάσμα του σήματος $x(t)$. Οι συναρτήσεις $x(t)$, $X(f)$ αποτελούν ζεύγος κατά το μετασχηματισμό *Fourier*, δηλαδή συνδέονται με τις παρακάτω ολοκληρωτικές εξισώσεις :

$$x(t) = \int_{-\infty}^{\infty} X(f) e^{2\pi i f t} df = \int_{-B}^B X(f) e^{2\pi i f t} df \quad (1)$$

$$X(f) = \int_{-\infty}^{\infty} x(t) e^{-2\pi i f t} dt \approx \int_0^T x(t) e^{-2\pi i f t} dt \quad (2)$$

Στην εξ. (2) χρησιμοποιήθηκε και η παραδοχή $x(t) \approx 0$ για $t \notin [0, T]$ παρόλο που αυτή δεν είναι απαραίτητη προϋπόθεση για την απόδειξη του θεωρήματος δειγματοληψίας. Αν $t = v/2B$, με v ακέραιο αριθμό, η εξ. (1) δίνει τα δείγματα του αναλογικού σήματος :

$$x_v = x(v/2B) = \int_{-B}^B X(f) e^{i\pi f v/B} df \quad (3)$$

Το τελευταίο μέλος της εξ. (3) υποδεικνύει ότι τα δείγματα του αναλογικού σήματος

είναι ουσιαστικά οι συντελεστές του αναπτύγματος σε σειρά Fourier της συνάρτησης $X(f)$ που θεωρείται περιοδική με θεμελιώδη περίοδο $2B$. Αλλά το ανάπτυγμα περιοδικής συνάρτησης σε σειρά Fourier ταυτίζεται με τη συνάρτηση εφόσον διατηρούνται άπειροι όροι στο ανάπτυγμα. Επομένως η άπειρη σειρά δειγμάτων x_v που λαμβάνονται από το αναλογικό σήμα με ρυθμό $2B$ δείγματα/sec καθορίζουν το ανάπτυγμα Fourier της συνάρτησης $X(f)$ που ταυτίζεται με το δύπλευρο φάσμα του αναλογικού σήματος στη ζώνη $[-B, B]$. Κατ' επέκταση καθορίζεται και η αρχική συνάρτηση $x(t)$ αφού είναι καθορισμένο το φάσμα της.

Η εκπροσώπηση της συνάρτησης $x(t)$ από τα δείγματα x_v πραγματοποιείται με το παρακάτω ανάπτυγμα :

$$x(t) = \sum_{-\infty}^{\infty} x_v \text{sinc}(2Bt - v) \quad (4)$$

όπου :

$$\text{sinc}(\lambda) = \frac{\sin(\pi\lambda)}{\pi\lambda} \quad (5)$$

Επειδή $\text{sinc}(0) = 1$ και $\text{sinc}(\lambda) = 0$ με λ ακέραιο και $\lambda \neq 0$, η εξ.(4) καθορίζει ότι $x(v/2B) = x_v$. Επιπλέον κάθε όρος της σειράς στο δεξιό μέλος της εξ.(4) έχει μονόπλευρο φάσμα συχνοτήτων ομοιόμορφο και περιορισμένο στη ζώνη $[0, B]$. Επομένως η συνάρτηση $x(t)$ έχει εύρος ζώνης B , όπως απαιτεί η διατύπωση του θεωρήματος δειγματοληψίας.

Η ισοότητα μεταξύ των δύο μελών της εξ.(4) ισχύει μόνο στην περίπτωση σειράς απείρων όρων. Αν εισαχθεί η πρόσθετη παραδοχή ότι το σήμα είναι πρακτικά αμελητέο έξω από το χρονικό διάστημα $[0, T]$, η εξ.(4) υποδεικνύει ότι το αναλογικό σήμα $x(t)$ εκπροσωπείται από $2BT$ δείγματα του. Ο ελάχιστος ρυθμός δειγματοληψίας που εξασφαλίζει την ισχύ του θεωρήματος, δηλαδή $2B$ δείγματα/sec, είναι γνωστός σαν *ρυθμός Nyquist*.

Η ενέργεια του σήματος $x(t)$, που είναι φραγμένο στο χρόνο και στη συχνότητα, προσδιορίζεται επίσης από τα $2BT$ δείγματα του :

$$E = \int_{-\infty}^{\infty} x^2(t) dt = (2B)^{-1} \sum_{v=1}^{2BT} x_v^2 \quad (6)$$

Η εξ.(6) αποδεικνύεται εύκολα με εφαρμογή της παρακάτω ιδιότητας της συνάρτησης

$\text{sinc}(\cdot)$:

$$\int_{-\infty}^{\infty} \text{sinc}(2Bt-\mu)\text{sinc}(2Bt-\nu)dt = \begin{cases} 0 & \mu \neq \nu \\ \mu/2B & \mu = \nu \end{cases} \quad (7)$$

με μ, ν ακέραιους αριθμούς. Αν τα δείγματα του αναλογικού σήματος $x(t)$ θεωρηθούν σαν συντεταγμένες σημείου X σε χώρο $2BT$ διαστάσεων, τότε κάθε σήμα με εύρος ζώνης B και διάρκεια T αντιστοιχεί σε ένα σημείο του $2BT$ -διάστατου χώρου. Η απόσταση του σημείου X από την αρχή του συστήματος συντεταγμένων είναι $d^2 = x_1^2 + x_2^2 + \dots + x_{2BT}^2$ και από την εξ. (6) διαπιστώνεται ότι :

$$d = (2BE)^{1/2} = (2BTS)^{1/2} \quad (8)$$

όπου $S = E/T$ είναι η ισχύς του σήματος. Η παρουσία θορύβου στο σύστημα επικοινωνίας έχει σαν αποτέλεσμα να λαμβάνεται στο δέκτη το σήμα $x(t) + \theta(t)$, όπου $\theta(t)$ εκφρασεί το θόρυβο. Ο τελευταίος είναι ανεπιθύμητο αναλογικό σήμα με εύρος ζώνης B , διάρκεια T και ισχύ N . Ενώ η είσοδος του διαύλου επικοινωνίας, δηλαδή το σήμα $x(t)$, αντιστοιχεί σε συγκεκριμένο σημείο X του $2BT$ -διάστατου χώρου, η έξοδος του, σύμφωνα με την εξ. (8), αντιστοιχεί σε σημεία στο εσωτερικό σφαίρας με κέντρο το σημείο X και ακτίνα $(2BTN)^{1/2}$. Επομένως η παρουσία θορύβου στο σύστημα επικοινωνίας δημιουργεί αβεβαιότητα για τη θέση του εκπεμπόμενου σήματος στο $2BT$ -διάστατο χώρο.

Κεφάλαιο Τρία

ΚΩΔΙΚΟΠΟΙΗΣΗ ΣΕ ΑΘΟΡΥΒΟ ΠΕΡΙΒΑΛΛΟΝ

3.1 ΟΡΟΛΟΓΙΑ ΚΑΙ ΤΑΞΙΝΟΜΗΣΗ ΚΩΔΙΚΩΝ

Η μεταφορά πληροφορίας πραγματοποιείται γενικά σε περιβάλλον θορύβου με αποτέλεσμα την εμφάνιση σφαλμάτων και την υποβάθμιση ή ματαίωση της επικοινωνίας. Το αντίδοτο είναι απλά η εκπομπή περισσότερης πληροφορίας από εκείνη που θα ακούσε σε αθόρυβο περιβάλλον. Είναι φανερό ότι η πρόσθετη πληροφορία χρησιμοποιείται για την αποκάλυψη και διόρθωση σφαλμάτων. Σε κάθε μήνυμα v συμβόλων υπάρχουν λοιπόν $\mu \leq v$ σύμβολα πληροφορίας και $v - \mu$ σύμβολα ελέγχου. Το σύστημα επικοινωνίας λειτουργεί γενικά με *περίσσεια* $v/\mu \geq 1$ και *ρυθμό πληροφορίας* ή *απόδοση* $\mu/v \leq 1$.

Με την *περίσσεια* εξασφαλίζεται κάποια προστασία της επικοινωνίας από σφάλματα. Είναι φανερό ότι τόσο περισσότερα σφάλματα αποκάλυπτονται και διορθώνονται όσο περισσότεροι έλεγχοι πραγματοποιούνται, δηλαδή όσο περισσότερα σύμβολα ελέγχου εμπντεύονται στο μήνυμα. Η ασφάλεια της επικοινωνίας καθορίζεται λοιπόν από την *περίσσεια* και το *αντιστάθμισμα* για περισσότερη ασφάλεια είναι η απαίτηση μετάδοσης μακρύτερων μηνυμάτων. Από την άλλη πλευρά αύξηση της απόδοσης, δηλαδή του ρυθμού μετάδοσης της χρήσιμης πληροφορίας, είναι δυνατή μόνο με ελάττωση του πλήθους των συμβόλων ελέγχου με προφανές επακόλουθο να περνούν απαρατήρητα περισσότερα σφάλματα. Επομένως η σχεδίαση του συστήματος επικοινωνίας εμπλέκει

εκτός των άλλων και κάποιο συμβιβασμό μεταξύ απόδοσης και περίσσειας. Με την κωδικοποίηση επιδιώκεται να βελτιστοποιηθεί το σύστημα επικοινωνίας σε περιβάλλον θορύβου, δηλαδή ουσιαστικά να βρεθεί ο βέλτιστος συμβιβασμός μεταξύ απόδοσης και ασφάλειας.

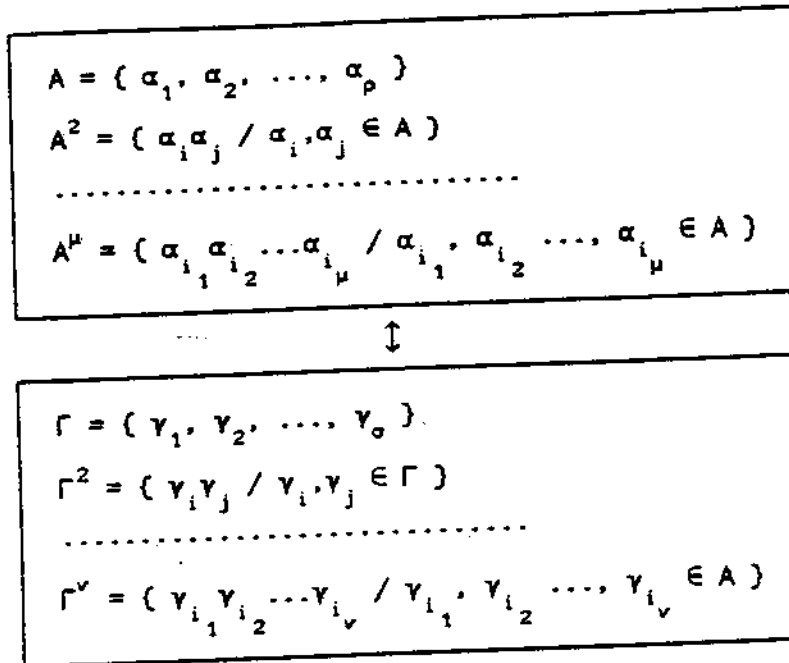
Δύο ακόμη παράγοντες που πρέπει να συνεκτιμώνται κατά τη σχεδίαση του συστήματος επικοινωνίας είναι η αξιοπιστία και το κόστος. Σε ορισμένες εφαρμογές η αξιοπιστία απαιτεί απόλυτη προτεραιότητα αφού η αλλοίωση ενός μόνο συμβόλου μπορεί να επιφέρει δραματικά αποτελέσματα (π.χ. ανταλλαγή μηνυμάτων μεταξύ χειριστών πυρηνικών όπλων). Ορισμένο πλήθος παραμέτρων γίνεται συνήθως ανεκτό σε απλούστερες εφαρμογές στις οποίες το χαμηλό κόστος λειτουργίας είναι ο σημαντικότερος παράγοντας. Η κωδικοποίηση είναι ουσιαστικά μία έξυπνη τεχνική για να συμβιβαστούν οι απαιτήσεις απόδοσης, ασφάλειας, αξιοπιστίας και κόστους σε πραγματικά συστήματα επικοινωνίας.

ΟΡΙΣΜΟΣ : Κώδικας είναι κάθε απεικόνιση συμβόλων ή/και λέξεων από το αλφάβητο της πηγής πληροφορίας σε σύμβολα ή/και λέξεις από εναλλακτικό σύνολο συμβόλων, που ονομάζεται αντίστοιχα *κωδικό αλφάβητο*.

Αν $A = (a_1, a_2, \dots, a_p)$ είναι το αλφάβητο πηγής πληροφορίας A, Π_A και $\Gamma = (\gamma_1, \gamma_2, \dots, \gamma_v)$ είναι το κωδικό αλφάβητο, τότε η κωδικοποίηση είναι απλά η αντιστοίχιση στοιχείων των συνόλων A, A^2, \dots, A^m με στοιχεία των συνόλων $\Gamma, \Gamma^2, \dots, \Gamma^v$, όπου m, v ακέραιοι αριθμοί (σχ. 3.1).

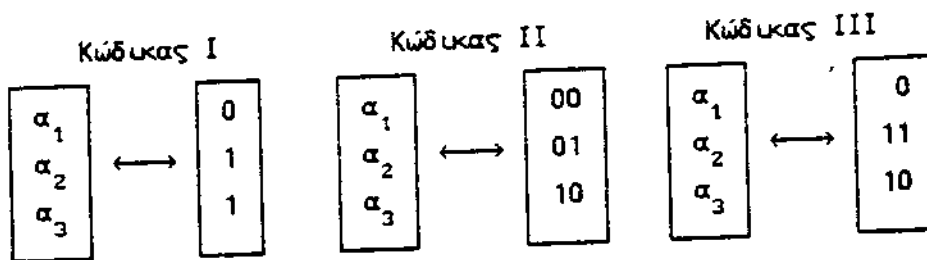
Το *κρυπτόγραμμα αντικατάστασης* προκύπτει στην απλή περίπτωση $A = \Gamma$. Τα κωδικά σύμβολα είναι τότε ίδια με τα σύμβολα πληροφορίας και το κλειδί του κώδικα είναι η απεικόνιση $A \leftrightarrow A$. Αν η πηγή πληροφορίας είναι η Αγγλική γλώσσα, που έχει 26 γράμματα, υπάρχουν $26! = 4.03 \cdot 10^{26}$ διαφορετικοί τρόποι για να κατασκευασθούν κρυπτογράμματα αντικατάστασης και για την αποκρυπτογράφηση απαιτείται ποσότητα πληροφορίας $\log_2(26!) = 88.4$ bits αφού όλα τα κλειδιά είναι ισοπίθανα για τον αποκρυπτογράφο. Είναι φανερό ότι κάθε κρυπτόγραμμα αντικατάστασης φέρει ποσότητα πληροφορίας ίση με το άθροισμα της ποσότητας πληροφορίας που φέρει το αντίστοιχο μήνυμα πληροφορίας και της ποσότητας πληροφορίας που αντιστοιχεί στην επιλογή κάποιου από τα $26!$ διαθέσιμα κλειδιά. Αν το μήνυμα πληροφορίας έχει μήκος v γράμματα, η ποσότητα πληροφορίας του είναι $4.08v$ bits αφού η εντροπία της Αγγλικής γλώσσας είναι 4.08 bits/σύμβολο (βλ. πίνακα 1.1). Είναι φανερό λοιπόν ότι το αντίστοιχο κρυπτόγραμμα αντικατάστασης φέρει πληροφορία $(4.08v + 88.4)$

bits και πρέπει $4.08n + 88.4 \leq n \log_2(27)$ αφού χρησιμοποιείται και το κενό σαν σύμβολο πληροφορίας. Η παραπάνω ταυτοανισότητα υποδεικνύει ότι αν το κρυπτόγραμμα αντικατάστασης έχει μήκος $n \geq 131$ γράμματα, ο αποκρυπτογράφος διαθέτει αρκετή πληροφορία για να αναγνωρίσει το κλειδί του κώδικα.



Σχ. 3.1 Η κωδικοποίηση είναι απεικόνιση του συνόλου $AUA^2U \dots UA^\mu$ στο σύνολο $\Gamma U \Gamma^2 U \dots U \Gamma^\nu$.

Αν $\Gamma = \{ 0, 1 \}$, τα σύμβολα/λέξεις πληροφορίας αντιστοιχίζονται σε διατάξεις δυαδικών ψηφίων. Η δυαδική κωδικοποίηση είναι η συνηθέστερη επιλογή των ψηφιακών συστημάτων επικοινωνίας.



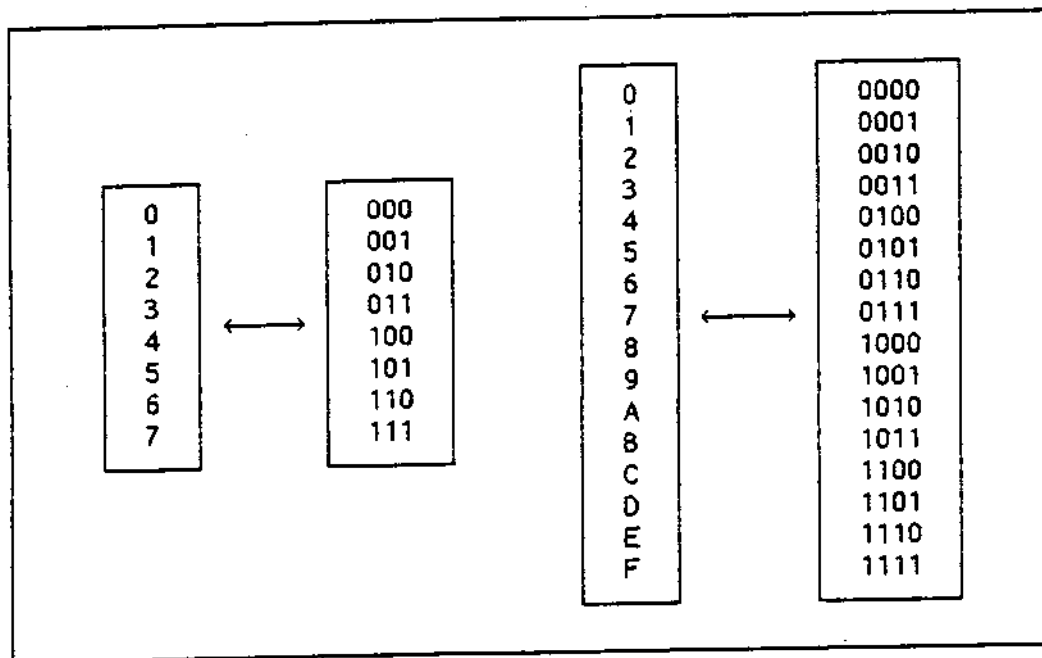
ΠΑΡΑΔΕΙΓΜΑ : Για την γηγή πληροφορίας με αλφάβητο $A = \{ \alpha_1, \alpha_2, \alpha_3 \}$ διατίθενται οι παραπάνω τρεις δυαδικοί κώδικες. Το κωδικό αλφάβητο είναι $\Gamma = \{ 0, 1 \}$. Ο κώδικας I αποτελεί απεικόνιση του συνόλου A στο σύνολο Γ ενώ ο κώδικας II απεικονίζει το σύνολο A στο σύνολο $\Gamma^2 = \{ 00, 01, 10, 11 \}$. Οι κωδικές λέξεις

είναι ισομήκεις, δηλαδή περιέχουν το ίδιο πλήθος δυαδικών ψηφίων, σε καθένα από τους κώδικες I, II. Στον κώδικα III χρησιμοποιούνται μερικά στοιχεία από την ένωση $\Gamma \cup \Gamma^2$ των συνόλων Γ , Γ^2 και οι κωδικές λέξεις δεν είναι ισομήκεις.

Το δυαδικό αλφάβητο είναι ιδιαίτερα χρήσιμο στην ψηφιακή μετάδοση πληροφορίας επειδή προσομοιώνεται εύκολα στα μοντέρνα τηλεπικοινωνιακά συστήματα. Ο ανθρώπινος εγκέφαλος σε αντίθεση με τα συστήματα τεχνητής νοημοσύνης προτιμά να χειρίζεται πολυπληθέστερα σύνολα συμβόλων. Οι γνωστότερες γλώσσες διαθέτουν αλφάβητο από 16 μέχρι 36 γράμματα. Επιπλέον το σύστημα αρίθμησης που χρησιμοποιείται σε καθημερινούς υπολογισμούς διαθέτει 10 αριθμούς. Για υπολογισμούς με ηλεκτρονικό υπολογιστή χρησιμοποιείται το δυαδικό σύστημα ή οι επεκτάσεις του σε οκταδικό και δεκαεξαδικό σύστημα (βλ. πίνακα 3.1).

Πίνακας 3.1

Δυαδικοί κώδικες για οκταδικό και δεκαεξαδικό σύστημα αρίθμησης



Η έβδομη επέκταση του δυαδικού αλφάβητου προσφέρει τη δυνατότητα χρήσης $2^7 = 128$ διαφορετικών συμβόλων με κοινό παράδειγμα τον κώδικα ASCII 7-bits (βλ. πίνακα 3.2). Στις λέξεις του κώδικα ASCII 7-bits προστίθεται συνήθως και όγδοο δυαδικό ψηφίο ώστε το συνολικό πλήθος μονάδων στη λέξη να είναι άρτιο (ή περιττό). Με τον τρόπο αυτό γίνεται δυνατή η αποκαλιψη σπλίν παραμέτρων αφού με την αλλοίωση κάποιου 0 σε 1 ή 1 σε 0 το πλήθος των μονάδων γίνεται περιττό (ή άρτιο).

Επομένως ο κώδικας ASCII 8-bits επιτρέπει κάποιο στοιχειώδη έλεγχο της αρθότητας των μεταδιδόμενων μηνυμάτων.

Ο περισσότερο γνωστός κώδικας με μη ισομήκεις λέξεις είναι ο κώδικας Morse (βλ. πίνακα 3.3), που αντιστοιχίζει γράμματα με μεγάλη πιθανότητα σε βραχείες κωδικές λέξεις και γράμματα με μικρή πιθανότητα σε μακρές κωδικές λέξεις. Αυτό γίνεται για να μειωθεί το μέσο μήκος των κωδικών λέξεων και επομένως να βελτιωθεί ο ρυθμός μετάδοσης και η απόδοση του συστήματος επικοινωνίας.

Πίνακας 3.2
Κώδικας ASCII 7-bits

Κωδική Λέξη	Σύμβολο	Κωδική Λέξη	Σύμβολο	Κωδική Λέξη	Σύμβολο	Κωδική Λέξη	Σύμβολο
000	NUL	040	SP	100	@	140	.
001	SOH	041	!	101	A	141	a
002	STX	042	"	102	B	142	b
003	ETX	043	#	103	C	143	c
004	EOT	044	\$	104	D	144	d
005	ENQ	045	%	105	E	145	e
006	ACK	046	&	106	F	146	f
007	BEL	047	'	107	G	147	g
010	BS	050	(110	H	150	h
011	HT	051)	111	I	151	i
012	LF	052	*	112	J	152	j
013	VT	053	+	113	K	153	k
014	FF	054	,	114	L	154	l
015	CR	055	-	115	M	155	m
016	SO	056	.	116	N	156	n
017	SI	057	/	117	O	157	o
020	DLE	060	0	120	P	160	p
021	DC1	061	1	121	Q	161	q
022	DC2	062	2	122	R	162	r
023	DC3	063	3	123	S	163	s
024	DC4	064	4	124	T	164	t
025	NAK	065	5	125	U	165	u
026	SYN	066	6	126	V	166	v
027	ETB	067	7	127	W	167	w
030	CAN	070	8	130	X	170	x
031	EM	071	9	131	Y	171	y
032	SUB	072	:	132	Z	172	z
033	ESC	073	:	133	[173	{
034	FS	074	<	134	\	174	
035	GS	075	=	135]	175	}
036	RS	076	>	136	^	176	~
037	US	077	?	137	_	177	DEL

Πίνακας 3.3
Κώδικας Morse

A	· -	J	· - - -	S	· · ·
B	- · · ·	K	- · -	T	-
C	- · - - ·	L	· - - ·	U	· · -
D	- · ·	M	- - ·	V	· · · -
E	·	N	- · ·	W	· - - ·
F	· - ·	O	- - -	X	- · · -
G	- - ·	P	· - - ·	Y	- · - -
H	· · ·	Q	- - · -	Z	- - · ·
I	· ·	R	· - ·		

Κάθε κώδικας πρέπει να εξασφαλίζει ευχερή αποκωδικοποίηση, δηλαδή ανάκτηση του μηνύματος πληροφωρίας από το κωδικό μήνυμα. Οι τεχνικές κωδικοποίησης διακρίνονται γενικά σε δύο κατηγορίες, που περιγράφονται με τους παρακάτω ορισμούς.

ΟΡΙΣΜΟΣ : *Δομική κωδικοποίηση* είναι η αντιστοίχιση κάθε συμβόλου ή λέξης πληροφωρίας σε προκαθορισμένη και σταθερή κωδική λέξη.

Οι *δομικοί κώδικες* είναι κώδικες με σταθερό κλειδί και συνήθως χρησιμοποιούν ισομήκεις λέξεις με συνέπεια να αναγνωρίζεται εύκολα η δομή των μηνυμάτων. Σχεδιάζονται με κριτήρια και αρχές που στηρίζονται στην άλγεβρα των πεπερασμένων πεδίων. Στην κατηγορία αυτή ανήκουν οι *κωδικές ομάδες* (βλ. §5.2) και οι *κυκλικοί κώδικες* (βλ. §§ 5.3, 5.4).

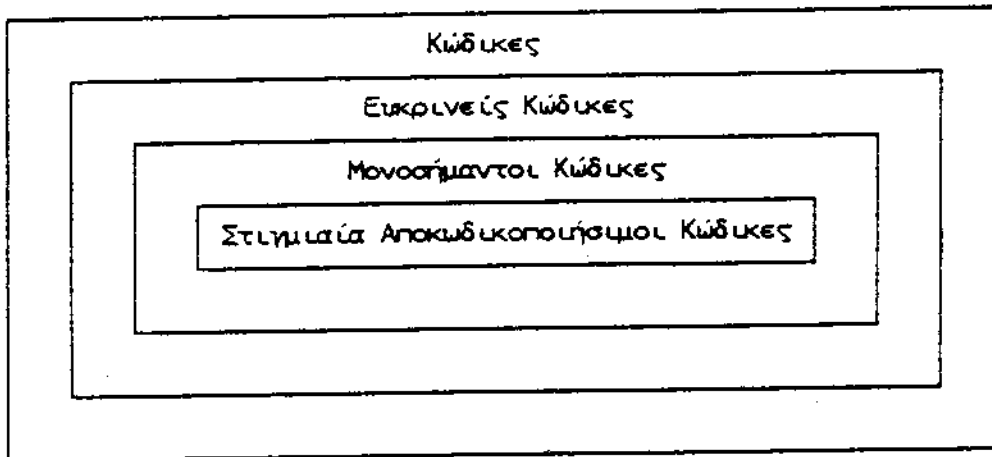
Στην §3.4 η κατηγορία των δομικών κωδίκων περιορίζεται στους κώδικες με ισομήκεις λέξεις. Οι *διαφορικοί κώδικες*, που ορίζονται εκεί, δεν χρησιμοποιούν ισομήκεις λέξεις αλλά σύμφωνα με τον παραπάνω ορισμό ανήκουν επίσης στους δομικούς κώδικες εφόσον έχουν σταθερό κλειδί.

ΟΡΙΣΜΟΣ : *Συνελκτική κωδικοποίηση* είναι η αντιστοίχιση συμβόλων ή λέξεων πληροφωρίας σε μεταβλητές κωδικές λέξεις.

Ο κωδικοποιητής προετοιμάζει κωδικά σύμβολα ελέγχου και τα προσαρτά στα κωδικά σύμβολα που καθορίζει το κλειδί για κάθε σύμβολο πληροφωρίας. Εφόσον τα ψηφία ελέγχου έχουν καθορισθεί λαμβάνοντας υπόψη το προηγούμενο τμήμα του μηνύματος πληροφωρίας, η κωδική λέξη που προκύπτει εξαρτάται από τη θέση του συγκεκριμένου

συμβόλου στο μήνυμα πληροφορίας. Οι *συνελκτικοί κώδικες* (βλ. §5.5) δεν διαθέτουν σαφές θεωρητικό υπόβαθρο αλλά υλοποιούνται εύκολα και χρησιμοποιούνται εξίσου με τους δομικούς κώδικες.

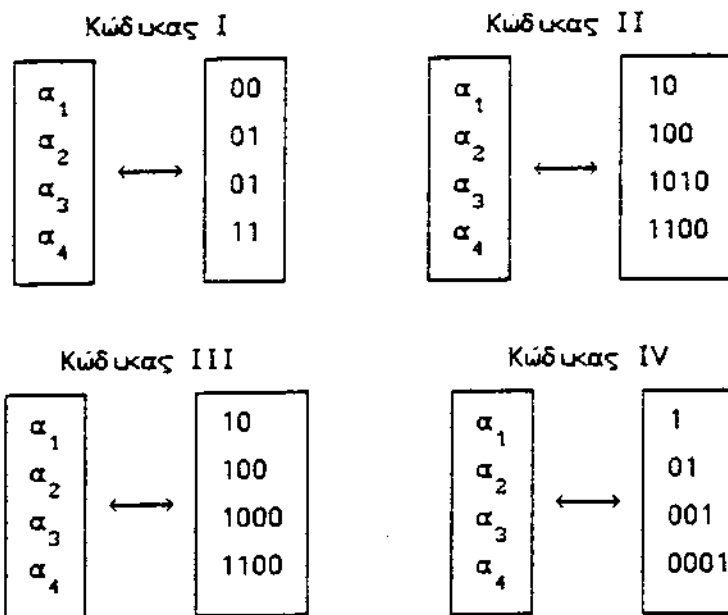
Με κριτήριο την ευχέρεια ή και τη δυνατότητα αποκωδικοποίησης οι κώδικες ταξινομούνται στις παρακάτω κατηγορίες.



ΟΡΙΣΜΟΣ : *Ευκρινής κώδικας* είναι εκείνος που χρησιμοποιεί διαφορετική κωδική λέξη για κάθε σύμβολο ή λέξη πληροφορίας. Η ευκρίνεια του κώδικα είναι η πρώτη προϋπόθεση για να υπάρχει δυνατότητα αποκωδικοποίησης.

ΟΡΙΣΜΟΣ : Ένας κώδικας θεωρείται *μονοσήμαντος* αν κάθε κωδική λέξη αναγνωρίζεται μέσα σε μακρά διαδοχή κωδικών συμβόλων. Δύο οποιαδήποτε μηνύματα πληροφορίας αντιστοιχίζονται με μονοσήμαντο κώδικα σε δύο διαφορετικά κωδικά μηνύματα. Για να είναι ο κώδικας μονοσήμαντος πρέπει να διαθέτει την *προθεματική ιδιότητα*, δηλαδή καμία κωδική λέξη να μην είναι πρόθεμα άλλης κωδικής λέξης.

ΠΑΡΑΔΕΙΓΜΑ : Για την τμητή πληροφορίας με αλφάβητο $A = \{ \alpha_1, \alpha_2, \alpha_3, \alpha_4 \}$ διατίθενται οι παρακάτω δυαδικοί κώδικες. Ο κώδικας I δεν είναι ευκρινής επειδή αντιστοιχίζει τα σύμβολα πληροφορίας α_2 και α_3 στην κωδική λέξη 01. Το μήνυμα πληροφορίας $\alpha_1 \alpha_3 \alpha_4 \alpha_2 \alpha_1$ μετατρέπεται κατά την κωδικοποίηση στο κωδικό μήνυμα 0001110100 αλλά κατά την αποκωδικοποίηση διαμορφώνονται τα μηνύματα πληροφορίας $\alpha_1 \alpha_2 \alpha_4 \alpha_2 \alpha_1$, $\alpha_1 \alpha_3 \alpha_4 \alpha_2 \alpha_1$, $\alpha_1 \alpha_2 \alpha_4 \alpha_3 \alpha_1$, $\alpha_1 \alpha_3 \alpha_4 \alpha_3 \alpha_1$. Οι κώδικες II, III, IV είναι ευκρινείς επειδή οι κωδικές λέξεις που αντιστοιχούν στα σύμβολα πληροφορίας είναι διαφορετικές.



Ο κώδικας II δεν είναι μονοσήμαντος και αυτό διαπιστώνεται με το παράδειγμα που ακολουθεί. Τα μηνύματα πληροφορίας $\alpha_1\alpha_3\alpha_4\alpha_2\alpha_1$, $\alpha_3\alpha_1\alpha_4\alpha_2\alpha_1$ αντιστοιχούν στο κωδικό μήνυμα 101010110010010. Είναι φανερό ότι δεν υπάρχει μονοσήμαντη αντιστοιχία μεταξύ μηνυμάτων πληροφορίας και κωδικών μηνυμάτων επειδή η κωδική λέξη 10 είναι πρόθεμα της κωδικής λέξης 1010.

Η αποκωδικοποίηση μηνυμάτων που κατασκευάζονται με μονοσήμαντο κώδικα είναι γενικά δυνατή μετά την ολοκλήρωση του κωδικού μηνύματος. Συνήθως όμως είναι απαραίτητο να αποκωδικοποιείται το μήνυμα λέξη προς λέξη καθώς φθάνει στο δέκτη του συστήματος επικοινωνίας. Η ιδιότητα αυτή δεν χαρακτηρίζει όλους τους μονοσήμαντους κώδικες. Εστω το μήνυμα πληροφορίας $\alpha_2\alpha_1\alpha_3$ που με τον κώδικα III του παραδείγματος μετατρέπεται στο κωδικό μήνυμα 100101000. Κατά την αποκωδικοποίηση είναι απαραίτητο να φθάσει το τέταρτο δυαδικό ψηφίο προκειμένου να γίνει αντιληπτό ότι συμπληρώθηκε η πρώτη κωδική λέξη. Παρόλο που η πρώτη κωδική λέξη ολοκληρώνεται με το τρίτο δυαδικό ψηφίο πρέπει να φθάσει και το τέταρτο δυαδικό ψηφίο ώστε να γίνει αντιληπτό ότι είχε τελειώσει η πρώτη κωδική λέξη. Είναι φανερό ότι πρόκειται για ανεπιθύμητη αδυναμία του κώδικα που υποβαθμίζει την επικοινωνία και επιδιώκεται γενικά η εξάλειψή της.

ΟΡΙΣΜΟΣ : Στιγματικά αποκωδικοποιήσιμος κώδικας είναι κάθε μονοσήμαντος κώδικας που επιτρέπει αποκωδικοποίηση των μηνυμάτων λέξη προς λέξη χωρίς να απαιτείται εξέταση επόμενων κωδικών συμβόλων.

Ο κώδικας IV του παραδείγματος είναι στιγμιαία αποκωδικοποιήσιμος αφού το τέλος κάθε κωδικής λέξης σημειώνεται με τη λήμη 1, που είναι για όλες τις κωδικές λέξεις το τελευταίο διαδικό ψηφίο.

Ταχύτητα επικοινωνίας δεν εξασφαλίζεται μόνο με στιγμιαία αποκωδικοποίηση αλλά και με χρήση σύνταμν κωδικών μηνυμάτων. Αν ο κώδικας αντιστοιχίζει στα σύμβολα πληροφορίας a_1, a_2, \dots, a_p τις κωδικές λέξεις z_1, z_2, \dots, z_p , που περιέχουν $\lambda_1, \lambda_2, \dots, \lambda_p$ σύμβολα του κωδικού αλφαβήτου, αντίστοιχα, τότε το μέσο μήκος κωδικών λέξεων ορίζεται με την έκφραση

$$\Lambda = \sum_{i=1}^p \lambda_i \pi_i \quad (3.1)$$

όπου π_i είναι η πιθανότητα του συμβόλου πληροφορίας a_i , $i = 1, 2, \dots, p$. Εύκολα διαπιστώνεται ότι το μέσο μήκος των κωδικών λέξεων ελαχιστοποιείται με την απλή τεχνική να αντιστοιχίζονται τα πιθανότερα σύμβολα πληροφορίας στις βραχύτερες κωδικές λέξεις. Επομένως, πρέπει $\lambda_1 \leq \lambda_2 \leq \dots \leq \lambda_p$ αν $\pi_1 \geq \pi_2 \geq \dots \geq \pi_p$.

ΟΡΙΣΜΟΣ : Βέλτιστος κώδικας είναι ο στιγμιαία αποκωδικοποιήσιμος κώδικας με το ελάχιστο μέσο μήκος κωδικών λέξεων.

Ο ρυθμός μετάδοσης είναι το σημαντικότερο κριτήριο για τη σχεδίαση του συστήματος επικοινωνίας σε αθόρυβο περιβάλλον. Επιδίωξη της κωδικοποίησης σε τέτοιο περιβάλλον πρέπει να είναι ο καθορισμός του βέλτιστου κώδικα.

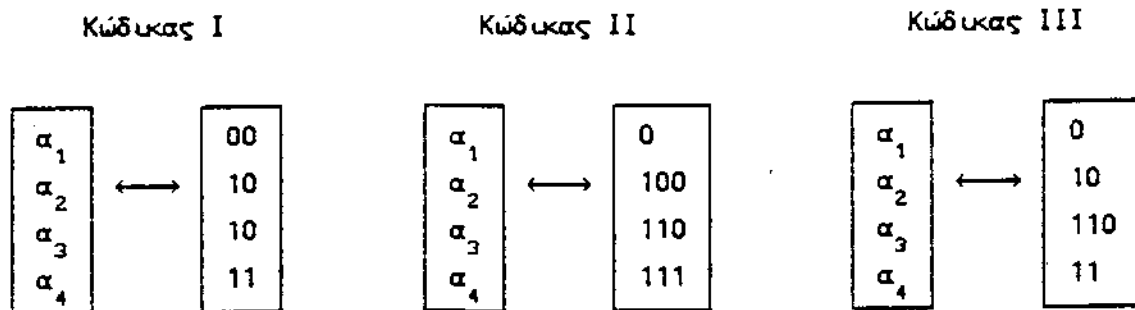
3.2 ΘΕΩΡΗΜΑ KRAFT

ΘΕΩΡΗΜΑ : Εστω πηγή πληροφορίας $A = \{a_1, a_2, \dots, a_p\}$, $\Pi_A = \{\pi_1, \pi_2, \dots, \pi_p\}$ και κώδικας με αλφάβητο $\Gamma = \{\gamma_1, \gamma_2, \dots, \gamma_\sigma\}$, που διαμορφώνει κωδικές λέξεις μήκους $\lambda_1, \lambda_2, \dots, \lambda_p$ κωδικών συμβόλων, αντίστοιχα. Ικανή και αναγκαία συνθήκη για να υπάρχει στιγμιαία αποκωδικοποιήσιμος κώδικας με τα συγκεκριμένα μήκη κωδικών λέξεων είναι να ισχύει η ταυτοανισότητα :

$$\sum_{i=1}^p \sigma^{-\lambda_i} \leq 1 \quad (3.2)$$

Είναι απαραίτητο να τονισθεί ότι το θεώρημα Kraft εξασφαλίζει απλά την ύπαρξη στιγμιαία αποκωδικοποιήσιμου κώδικα με κωδικές λέξεις μήκους $\lambda_1, \lambda_2, \dots, \lambda_p$ που ικανοποιούν την εξ. (3.2) αλλά δεν υποδεικνύει οποιαδήποτε τεχνική για τον προσδιορισμό των κωδικών λέξεων και δεν υπονοεί ότι κάθε κώδικας με τα κατάλληλα μήκη κωδικών λέξεων είναι οποιαδήποτε στιγμιαία αποκωδικοποιήσιμος.

ΠΑΡΑΔΕΙΓΜΑ : Για την πηγή πληροφορίας $A = (\alpha_1, \alpha_2, \alpha_3, \alpha_4)$ διατίθενται οι παρακάτω δυαδικοί κώδικες.



Το αριστερό μέλος της εξ. (3.2) με $\sigma = 2$ είναι :

$$\text{Κώδικας I} : 4(1/4) = 1$$

$$\text{Κώδικας II} : 1/2 + 3(1/8) = 7/8 < 1$$

$$\text{Κώδικας III} : 1/2 + 2(1/4) + 1/8 = 9/8 > 1$$

και επομένως οι κώδικες I και II ενδέχεται να είναι στιγμιαία αποκωδικοποιήσιμοι. Αντίθετα ο κώδικας III αποκλείεται να είναι στιγμιαία αποκωδικοποιήσιμος αφού δεν ικανοποιείται η εξ. (3.2). Αυτό επιβεβαιώνεται και με την παρατήρηση ότι ο κώδικας III δεν διαθέτει την προθεματική ιδιότητα. Επομένως δεν είναι ούτε μονοσήμαντος. Αλλά και ο κώδικας I δεν είναι στιγμιαία αποκωδικοποιήσιμος παρόλο που ικανοποιεί την εξ. (3.2), αφού δεν είναι καν ευκρινής.

Η ταυτοαντιστοιχία Kraft εξασφαλίζει την ύπαρξη στιγμιαία αποκωδικοποιήσιμου

κώδικα. Αλλά κάθε στιγμιαία αποκωδικοποιήσιμος κώδικας είναι και μονοσήμαντος. Αποδεικνύεται ότι η ταυτοαντιστροφή Kraft είναι ταυτόχρονα ικανή και αναγκαία συνθήκη για την ύπαρξη μονοσήμαντου κώδικα με δεδομένα μήκη κωδικών λέξεων.

3.3 ΠΡΩΤΟ ΘΕΩΡΗΜΑ SHANNON

Το θεώρημα Kraft αναφέρεται ουσιαστικά στα μήκη κωδικών λέξεων και όχι στις ίδιες τις κωδικές λέξεις. Είναι φανερό ότι χρειάζεται κάποιο κριτήριο για την αναγνώριση του βέλτιστου κώδικα μέσα από το πλήθος των στιγμιαία αποκωδικοποιήσιμων κωδικών που ικανοποιούν την απαίτηση του θεωρήματος Kraft.

Για την πηγή πληροφορίας $A = \{a_1, a_2, \dots, a_p\}$, $P_A = \{p_1, p_2, \dots, p_p\}$ που κωδικοποιείται με σύμβολα από το αλφάβητο $\Gamma = \{\gamma_1, \gamma_2, \dots, \gamma_\sigma\}$ σε λέξεις με μήκη $\lambda_1, \lambda_2, \dots, \lambda_p$ εισάγεται η εναλλακτική κατανομή πιθανοτήτων $T_A = \{\tau_1, \tau_2, \dots, \tau_p\}$, όπου :

$$0 \leq \tau_i = \frac{\sigma^{-\lambda_i}}{\sum_{i=1}^p \sigma^{-\lambda_i}} \leq 1 \quad (3.3)$$

Είναι προφανές ότι $\tau_1 + \tau_2 + \dots + \tau_p = 1$ όπως απαιτείται για κάθε κατανομή πιθανοτήτων. Εφαρμόζοντας την ταυτοαντιστροφή της εξ. (1.4) προκύπτει :

$$\begin{aligned} H(A) &= - \sum_{i=1}^p p_i \log_e(p_i) \leq - \sum_{i=1}^p p_i \log_e(\tau_i) = - \sum_{i=1}^p p_i \log_e \left(\frac{\sigma^{-\lambda_i}}{\sum_{i=1}^p \sigma^{-\lambda_i}} \right) = \\ &= \left(\log_e \sigma \right) \sum_{i=1}^p p_i \lambda_i + \left(\sum_{i=1}^p p_i \right) \log_e \left(\sum_{i=1}^p \sigma^{-\lambda_i} \right) \end{aligned} \quad (3.4)$$

Αλλά $p_1 \lambda_1 + p_2 \lambda_2 + \dots + p_p \lambda_p = \lambda$, $p_1 + p_2 + \dots + p_p = 1$ και η εξ. (3.4) απλοποιείται στην παρακάτω :

$$H(A) \leq \Lambda \log_2 \sigma + \log_2 \left[\sum_{i=1}^p \sigma^{-\lambda_i} \right] \quad (3.5)$$

Εφόσον ισχύει η ταυτοανισότητα Kraft, $\sigma^{-\lambda_1} + \sigma^{-\lambda_2} + \dots + \sigma^{-\lambda_p} \leq 1$ και επομένως ο δεύτερος όρος στο δεξιό μέλος της εξ. (3.5) είναι αρνητικός. Αν παραλειφθεί, η ανισότητα ενισχύεται στην παρακάτω :

$$H(A) \leq \Lambda \log_2 \sigma \quad (3.6)$$

που γράφεται με την ισοδύναμη μορφή :

$$\Lambda \geq \frac{H(A)}{\log_2 \sigma} \quad (3.7)$$

Η εξ. (3.7) καθορίζει το κάτω φράγμα για το μέσο μήκος των κωδικών λέξεων με μήκη $\lambda_1, \lambda_2, \dots, \lambda_p$ που ικανοποιούν το θεώρημα Kraft. Κατά συνέπεια ο βέλτιστος κώδικας αναγνωρίζεται με κριτήριο την απόσταση του μέσου μήκους των κωδικών λέξεων από το κάτω φράγμα του.

Η ισότητα στην εξ. (3.7) ισχύει μόνο στην ειδική περίπτωση $\sigma^{-\lambda_1} + \sigma^{-\lambda_2} + \dots + \sigma^{-\lambda_p} = 1$ και $p_i = \tau_i = \sigma^{-\lambda_i}$, $i = 1, 2, \dots, p$. Τα αντίστοιχα μήκη κωδικών λέξεων είναι :

$$\lambda_i = -\log_2(p_i) \quad (3.8)$$

και γίνονται αποδεκτά εφόσον είναι ακέραιοι αριθμοί. Γενικά η εξ. (3.8) οδηγεί σε πραγματικούς αριθμούς και για το λόγο αυτό το μέσο μήκος των κωδικών λέξεων είναι μεγαλύτερο από το κάτω φράγμα του ακόμη και στην περίπτωση του βέλτιστου κώδικα. Επιλέγονται λοιπόν σαν μήκη των κωδικών λέξεων οι ακέραιοι αριθμοί λ_i που είναι μεγαλύτεροι αλλά πλησιέστεροι προς την πραγματική ποσότητα $-\log_2(p_i)$, δηλαδή :

$$-\log_2(p_i) \leq \lambda_i \leq -\log_2(p_i) + 1 \quad (3.9)$$

Από την εξ. (3.9) διαμορφώνεται η διπλή ταυτοανισότητα :

$$-\sum_{i=1}^p n_i \log_{\sigma}(n_i) \leq \sum_{i=1}^p n_i \lambda_i \leq -\sum_{i=1}^p n_i \log_{\sigma}(n_i) + \sum_{i=1}^p n_i \quad (3.10)$$

που καταλήγει στην παρακάτω :

$$\frac{H(A)}{\log_{\sigma} \sigma} \leq \Lambda \leq \frac{H(A)}{\log_{\sigma} \sigma} + 1 \quad (3.11)$$

Η εξ. (3.11) είναι προέκταση της εξ. (3.7).

Αν αντί της πηγής πληροφορίας A, Π_A κωδικοποιείται η v -οστή επέκταση της A^v, Π_A^v , η εξ. (3.11) γράφεται :

$$\frac{H(A)}{\log_{\sigma} \sigma} \leq \frac{\Lambda_v}{v} \leq \frac{H(A)}{\log_{\sigma} \sigma} + \frac{1}{v} \quad (3.12)$$

και στο όριο $v \rightarrow \infty$:

$$\Lambda_v \rightarrow \frac{H(A^v)}{\log_{\sigma} \sigma} \quad (3.13)$$

Οι εξ. (3.7), (3.13) περιγράφουν το πρώτο θεώρημα Shannon, που είναι επίσης γνωστό σαν *θεώρημα κωδικοποίησης σε περιβάλλον χωρίς θόρυβο*. Είναι απαραίτητο να υπενθυμισθεί ότι μέχρι το σημείο αυτό έχει αγνοηθεί η ύπαρξη θορύβου στο σύστημα επικοινωνίας και αναζητήθηκε απλά η βελτιστοποίηση του κώδικα της πηγής πληροφορίας.

ΘΕΩΡΗΜΑ : Εστω πηγή πληροφορίας με αλφάβητο ρ συμβόλων και κώδικας με αλφάβητο σ συμβόλων. Το μέσο μήκος των κωδικών λέξεων προσεγγίζει όσο είναι επιθυμητό στο κάτω φράγμα του κωδικοποιούντας ανώτερες επεκτάσεις της πηγής πληροφορίας. Το αντίτιμο για τέτοια βελτιστοποίηση του κώδικα είναι η δυσκολία κωδικοποίησης και η αύξηση του χρόνου που απαιτείται για την κωδικοποίηση, μετάδοση και αποκωδικοποίηση του μηνύματος πληροφορίας.

Το πρώτο θεώρημα Shannon διατυπώνει ουσιαστικά τη θεωρητική δυνατότητα σχεδίασης

κώδικα με μέσο μήκος λέξεων ίσο με το κάτω φράγμα του. Αλλά το αντίτιμο σε δυσκολία, κόστος και χρόνο περιορίζει τη χρησιμότητα του βελτιστοποιημένου κώδικα.

3.4 ΑΠΛΟΙ ΚΩΔΙΚΕΣ

Με κριτήριο το πλήθος συμβόλων ανά λέξη διακρίνονται *δομικοί* και *διαφορικοί* κώδικες. Οι δομικοί κώδικες χρησιμοποιούν ισομήκεις λέξεις (π.χ. κώδικας ASCII) με προφανή συνέπεια να είναι απλή υπόθεση η διάσπαση μακρών μηνυμάτων σε λέξεις και στη συνέχεια η αποκωδικοποίηση. Οι διαφορικοί κώδικες (π.χ. κώδικας Morse) αντιστοιχίζουν μακρές κωδικές λέξεις σε σύμβολα πληροφορίας με μικρή πιθανότητα και βραχείες κωδικές λέξεις σε σύμβολα πληροφορίας με μεγάλη πιθανότητα. Είναι φανερό ότι με την τεχνική αυτή γίνεται οικονομία κωδικών συμβόλων με συνέπεια να βελτιώνεται η απόδοση του κώδικα.

Οι διαφορικοί κώδικες υπερτερούν σε απόδοση των δομικών κωδικών όταν τα σύμβολα πληροφορίας έχουν σημαντικά διαφορετικές πιθανότητες. Το πρόβλημα με τους διαφορικούς κώδικες εντοπίζεται στην αναγνώριση του πέρατος κάθε λέξης σε μακρά μηνύματα, δηλαδή στη δυνατότητα στιγμιαίας αποκωδικοποίησης. Αν τα σύμβολα πληροφορίας είναι ισοπίθανα οι διαφορικοί κώδικες εκφυλίζονται σε δομικούς κώδικες.

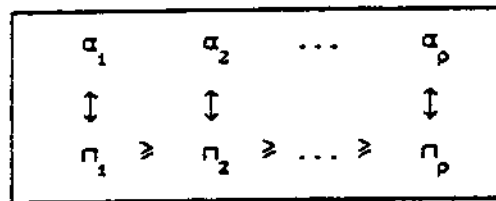
Στη συνέχεια περιγράφονται μερικοί απλοί διαφορικοί κώδικες. Αν και είναι μάλλον ξεπερασμένοι, η παρουσίασή τους έχει κυρίως εκπαιδευτική αλλά και ιστορική σκοπιμότητα.

3.4.1 ΚΩΔΙΚΑΣ SHANNON

Ο διαδικός κώδικας Shannon διαμορφώνεται σε τέσσερα βήματα :

(α) Τα σύμβολα πληροφορίας $\alpha_1, \alpha_2, \dots, \alpha_p$ διατάσσονται κατά ελαττούμενη

πιθανότητα :



(β) Σε κάθε σύμβολο πληροφορίας α_i αντιστοιχίζεται αριθμός ϵ_i κατά το παρακάτω σχήμα :

$$\alpha_1 \longleftrightarrow \epsilon_1 = 0$$

$$\alpha_2 \longleftrightarrow \epsilon_2 = \pi_1 + \epsilon_1 = \pi_1$$

$$\alpha_3 \longleftrightarrow \epsilon_3 = \pi_2 + \epsilon_2 = \pi_1 + \pi_2$$

.....

$$\alpha_p \longleftrightarrow \epsilon_p = \pi_{p-1} + \epsilon_{p-1} = \pi_1 + \pi_2 + \dots + \pi_{p-1}$$

(γ) Το μήκος λ_i της κωδικής λέξης που αντιστοιχεί στο σύμβολο πληροφορίας α_i είναι ο ελάχιστος ακέραιος που ικανοποιεί την ταυτοανισότητα :

$$2^{\lambda_i} \pi_i \geq 1 \tag{3.14}$$

(δ) Οι δεκαδικοί αριθμοί ϵ_i , $i = 1, 2, \dots, p$, μετατρέπονται σε δυαδικούς αριθμούς και από τους τελευταίους διατηρούνται μόνο λ_i σημαντικά ψηφία που αποτελούν αντίστοιχα τις κωδικές λέξεις για τα σύμβολα πληροφορίας α_i , $i = 1, 2, \dots, p$.

ΠΑΡΑΔΕΙΓΜΑ : Εστω πηγή πληροφορίας $A = \{ \alpha_1, \alpha_2, \alpha_3, \alpha_4 \}$, $\pi_A = \{ 0.5, 0.3, 0.1, 0.1 \}$. Τα σύμβολα πληροφορίας είναι ήδη διατεταγμένα κατά ελαττούμενη πιθανότητα. Επομένως το βήμα (α) της διαδικασίας κωδικοποίησης έχει πραγματοποιηθεί. Στο βήμα (β) προσδιορίζονται οι αριθμοί $\epsilon_1, \epsilon_2, \epsilon_3, \epsilon_4$:

$$\epsilon_1 = 0 \qquad \qquad \qquad = 0.0 \qquad \qquad \qquad 0.\underline{0}0000\dots$$

$$\epsilon_2 = 0.5 + \epsilon_1 = 0.5 \quad 0.\underline{1}0000\dots$$

$$\epsilon_3 = 0.3 + \epsilon_2 = 0.8 \quad 0.\underline{11}001\dots$$

$$\epsilon_4 = 0.1 + \epsilon_3 = 0.9 \quad 0.\underline{111}00\dots$$

και μάλιστα δίνονται δύπλα σε δυαδική μορφή επειδή αυτό θα είναι απαραίτητο στο βήμα (δ). Το μήκος των κωδικών λέξεων προκύπτει με εφαρμογή της εξ. (3.14) :

$$2^{\lambda_1}(0.5) \geq 1 \Rightarrow \lambda_1 = 1$$

$$2^{\lambda_2}(0.3) \geq 1 \Rightarrow \lambda_2 = 2$$

$$2^{\lambda_3}(0.1) \geq 1 \Rightarrow \lambda_3 = 4$$

$$2^{\lambda_4}(0.1) \geq 1 \Rightarrow \lambda_4 = 4$$

Επομένως το κλειδί του κώδικα είναι :

α_1	\longleftrightarrow	0
α_2	\longleftrightarrow	10
α_3	\longleftrightarrow	1100
α_4	\longleftrightarrow	1110

και οι κωδικές λέξεις προέρχονται από τα υπογραμμισμένα ψηφία της δυαδική μορφής των αριθμών $\epsilon_1, \epsilon_2, \epsilon_3, \epsilon_4$. Το μέσο μήκος των κωδικών λέξεων είναι $\Lambda = 1(0.5) + 2(0.3) + 4(0.1) + 4(0.1) = 1.9$ ψηφία/λέξη και επειδή κάθε δυαδικό ψηφίο αντιστοιχεί σε 1 bit, $\Lambda = 1.9$ bits/λέξη. Η εντροπία της πηγής πληροφορίας είναι $H(A) = -0.5 \log_2(0.5) - 0.3 \log_2(0.3) - 0.1 \log_2(0.1) - 0.1 \log_2(0.1) = 1.685$ bits/σύμβολο και $\Lambda = 1.9$ bits/σύμβολο $> H(A)/\log_2 \sigma = 1.685/\log_2 2 = 1.685$ bits/σύμβολο, όπως απαιτεί η εξ. (3.7).

3.4.2 ΚΩΔΙΚΑΣ SHANNON-FANO

Ο κώδικας διαμορφώνεται σε πέντε βήματα :

(α) Τα σύμβολα πληροφορίας $\alpha_1, \alpha_2, \dots, \alpha_p$ διατάσσονται κατά ελαττούμενη πιθανότητα :

α_1	α_2	\dots	α_p
\updownarrow	\updownarrow		\updownarrow
π_1	$\geq \pi_2$	$\geq \dots$	$\geq \pi_p$

(β) Επιλέγεται συγκεκριμένη διάταξη και για τα κωδικά σύμβολα, έστω η $\gamma_1, \gamma_2, \dots, \gamma_\sigma$, που δεν διαταράσσεται κατά τις διαδικασίες κωδικοποίησης και αποκωδικοποίησης.

(γ) Τα σύμβολα πληροφορίας συγχωνεύονται με γειτονικά σύμβολα ώστε να σχηματισθούν σ ομάδες συμβόλων. Οι πιθανότητες των συμβόλων που συμμετέχουν σε κάθε ομάδα αθροίζονται και το αποτέλεσμα επιδιώκεται να είναι κατά το δυνατό πλησιέστερα στον αριθμό $1/\sigma$. Επομένως οι σ ομάδες συμβόλων εκπροσωπούν ουσιαστικά σ σύνθετα σύμβολα που είναι κατά το δυνατό ισοπίθανα.

(δ) Στα σύμβολα της 1ης ομάδας προσδίνεται σαν πρώτο κωδικό σύμβολο το γ_1 , στα σύμβολα της 2ης ομάδας προσδίνεται σαν πρώτο κωδικό σύμβολο το γ_2 κ.ο.κ.

(ε) Κάθε ομάδα συμβόλων υποδιαιρείται σε σ υπο-ομάδες συμβόλων που είναι κατά το δυνατό ισοπίθανες. Στα σύμβολα των υπο-ομάδων προσδίνεται δεύτερο κωδικό σύμβολο με την προκαθορισμένη διάταξη $\gamma_1, \gamma_2, \dots, \gamma_\sigma$. Οι υποδιαιρέσεις συνεχίζονται μέχρι να προκύψουν υπο-ομάδες με ένα μόνο σύμβολο.

ΠΑΡΑΔΕΙΓΜΑ : Έστω πηγή πληροφορίας $A = \{ \alpha_1, \alpha_2, \alpha_3, \alpha_4, \alpha_5, \alpha_6, \alpha_7, \alpha_8 \}$.
 $\pi_A = \{ 0.25, 0.25, 0.125, 0.125, 0.0625, 0.0625, 0.0625, 0.0625 \}$. Τα σύμβολα πληροφορίας είναι ήδη διατεταγμένα κατά ελαττούμενη πιθανότητα. Επομένως το βήμα (α) της διαδικασίας κωδικοποίησης έχει πραγματοποιηθεί. Στο βήμα (β) επιλέγεται για τα σύμβολα του διαδικού κώδικα Shannon-Fano η διάταξη 0, 1. Η κατασκευή του κώδικα περιγράφεται στον πίνακα 3.4 .

Πίνακας 3.4
 Διαδικός κώδικας Shannon-Fano

Σύμβολα	Πιθανότητες	1ο Βήμα	2ο Βήμα	3ο Βήμα	4ο Βήμα
α_1	0.25	0	00	00	00
α_2	0.25	0	01	01	01
α_3	0.125	1	10	100	100
α_4	0.125	1	10	101	101
α_5	0.0625	1	11	110	1100
α_6	0.0625	1	11	110	1101
α_7	0.0625	1	11	111	1110
α_8	0.0625	1	11	111	1111

Το μέσο μήκος των κωδικών λέξεων είναι $L = 2(0.25) + 2(0.25) + 3(0.125) + 3(0.125) + 4(0.0625) + 4(0.0625) + 4(0.0625) + 4(0.0625) = 2.75$ bits/λέξη. Για την εντροπία της πηγής πληροφορίας προκύπτει $H(A) = 2.75$ bits/σύμβολο και επομένως $L = H(A)/\log_2 \sigma$, δηλαδή ο κώδικας αυτός είναι, σύμφωνα με το πρώτο θεώρημα Shannon, βέλτιστος. Στο επόμενο παράδειγμα η τεχνική Shannon-Fano διαμορφώνει μη βέλτιστο κώδικα.

ΠΑΡΑΔΕΙΓΜΑ : Εστω πηγή πληροφορίας $A = \{ \alpha_1, \alpha_2, \alpha_3, \alpha_4, \alpha_5, \alpha_6, \alpha_7 \}$. $P_A = \{ 0.4, 0.2, 0.12, 0.08, 0.08, 0.08, 0.04 \}$. Τα σύμβολα πληροφορίας είναι ήδη διατεταγμένα κατά ελαττούμενη πιθανότητα. Επομένως το βήμα (α) της διαδικασίας κωδικοποίησης έχει πραγματοποιηθεί. Στο βήμα (β) επιλέγεται για τα σύμβολα του διαδικού κώδικα Shannon-Fano η διάταξη 0, 1. Η κατασκευή του κώδικα περιγράφεται στον πίνακα 3.5 .

Το μέσο μήκος των κωδικών λέξεων είναι $L = 2.52$ bits/λέξη, η εντροπία της πηγής πληροφορίας είναι $H(A) = 2.42$ bits/σύμβολο και επομένως $L > H(A)/\log_2 \sigma$ ($\sigma = 2$), δηλαδή ο κώδικας αυτός, σύμφωνα με το πρώτο θεώρημα Shannon, δεν είναι βέλτιστος. Είναι φανερό ότι ο πρώτος διαμερισμός μπορεί να πραγματοποιηθεί μεταξύ των συμβόλων πληροφορίας α_1, α_2 οπότε προκύπτει εναλλακτικός κώδικας Shannon-Fano, που μάλιστα προκύπτει ότι έχει μικρότερο μέσο μήκος κωδικών

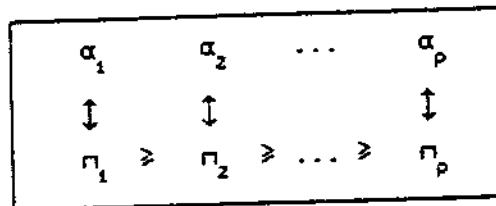
Πίνακας 3.5
 Διαδικός κώδικας Shannon-Fano

Σύμβολα	Πιθανότητες	1ο Βήμα	2ο Βήμα	3ο Βήμα	4ο Βήμα
α_1	0.40	0	00	00	00
α_2	0.20	0	01	01	01
α_3	0.12	1	10	100	100
α_4	0.08	1	10	101	101
α_5	0.08	1	11	110	110
α_6	0.08	1	11	111	1110
α_7	0.04	1	11	111	1111

3.4.3 ΚΩΔΙΚΑΣ HUFFMANN

Ο κώδικας διαμορφώνεται σε πέντε βήματα :

(α) Τα σύμβολα πληροφορίας $\alpha_1, \alpha_2, \dots, \alpha_p$ διατάσσονται κατά ελαττούμενη πιθανότητα :



(β) Επιλέγεται συγκεκριμένη διάταξη και για τα κωδικά σύμβολα, έστω $\gamma_1, \gamma_2, \dots, \gamma_p$, που δεν διαταράσσεται κατά τις διαδικασίες κωδικοποίησης και αποκωδικοποίησης.

(γ) Ομαδοποιούνται τα τελευταία σ σύμβολα πληροφορίας σε ένα σύνθετο σύμβολο με πιθανότητα ίση με το άθροισμα των πιθανοτήτων των μελών της ομάδας. Προκύπτουν

έτσι $p - \sigma + 1$ σύμβολα που επαναδιατάσσονται κατά ελαττούμενη πιθανότητα. Η διαδικασία επαναλαμβάνεται μερικές φορές και σε κάθε επανάληψη το πλήθος συμβόλων μειώνεται κατά $\sigma - 1$. Τελική επιδίωξη είναι να απομείνουν μετά από N επαναλήψεις σ σύμβολα που αντιστοιχίζονται στα κωδικά σύμβολα κατά τη διάταξη του βήματος (β). Αφού σε κάθε επανάληψη μειώνεται το πλήθος των συμβόλων κατά $\sigma - 1$ και μετά από N επαναλήψεις απομείνουν σ σύμβολα, το αρχικό πλήθος συμβόλων πρέπει να είναι $P = \sigma + N(\sigma - 1)$. Αν $p < P$, προστίθενται στο τέλος της διάταξης των συμβόλων πληροφορίας $P - p$ πλασματικά σύμβολα με μηδενική πιθανότητα.

Πίνακας 3.6

Τετραδικός κώδικας Huffman

Σύμβολα	Αρχική Διάταξη		1η Μείωση		2η Μείωση		3η Μείωση	
	Πιθαν.	Λέξη	Πιθαν.	Λέξη	Πιθαν.	Λέξη	Πιθαν.	Λέξη
α_1	0.25	1	0.25	1	0.25	1	0.37	0
α_2	0.15	3	0.15	3	0.23	2	0.25	1
α_3	0.12	00	0.12	00	0.15	3	0.23	2
α_4	0.10	01	0.10	01	0.12	00	0.15	3
α_5	0.08	02	0.08	02	0.10	01		
α_6	0.06	20	0.07	03	0.08	02		
α_7	0.06	21	0.06	20	0.07	03		
α_8	0.06	22	0.06	21				
α_9	0.05	23	0.06	22				
α_{10}	0.04	030	0.05	23				
α_{11}	0.03	031						
α_{12}	0.00	032						
α_{13}	0.00	033						

(δ) Στα σ (σύνθετα) σύμβολα που διαμορφώνονται τελικά προσδίδονται τα κωδικά σύμβολα με τη διάταξη του βήματος (β) σαν πρώτο σύμβολο των αντίστοιχων κωδικών λέξεων που θα διαμορφωθούν σταδιακά.

(ε) Επιστρέφοντας βήμα με βήμα προς την αρχική διάταξη συμβόλων πληροφορίας.

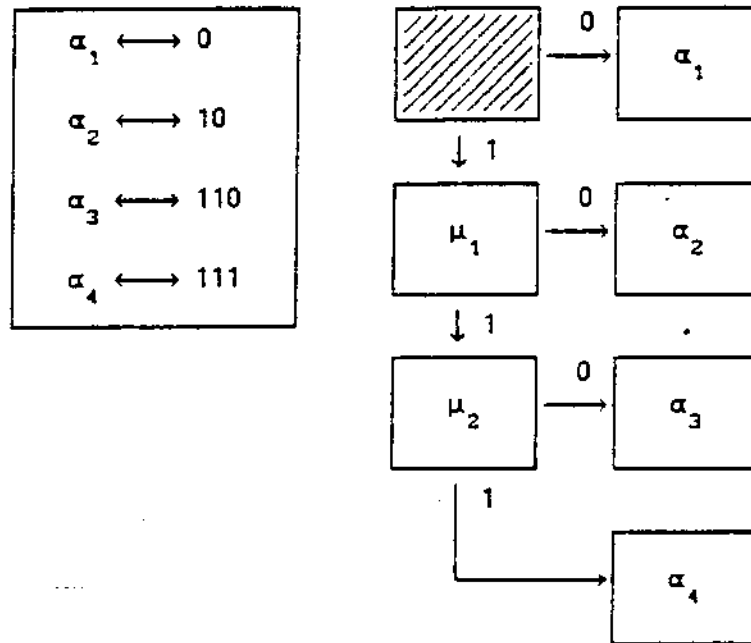
προσδίνονται τα κωδικά σύμβολα με τη διάταξη του βήματος (β) σαν επόμενο σύμβολο των κωδικών λέξεων που αντιστοιχίζονται στα μέλη κάθε σύνθετου συμβόλου. Η διαδικασία αυτή διευκρινίζεται με το παράδειγμα που ακολουθεί.

ΠΑΡΑΔΕΙΓΜΑ : Εστω η πηγή πληροφορίας $A = \{ \alpha_1, \alpha_2, \alpha_3, \alpha_4, \alpha_5, \alpha_6, \alpha_7, \alpha_8, \alpha_9, \alpha_{10}, \alpha_{11} \}$, $P_A = \{ 0.25, 0.15, 0.12, 0.10, 0.08, 0.06, 0.06, 0.06, 0.05, 0.04, 0.03 \}$. Ο τετραδικός κώδικας Huffman χρησιμοποιεί τα σύμβολα 0, 1, 2, 3 που στη συνέχεια θεωρούνται με τη διάταξη αυτή. Ο κώδικας παράγεται με τη διαδικασία μειώσεων που περιγράφεται στον πίνακα 3.6. Με κάθε βήμα το πλήθος συμβόλων μειώνεται κατά 3 και τελικά απομένουν 4 σύμβολα. Επειδή $\rho = 11 \neq 4 + 3N$ για ακέραιο N , προστίθενται στη διάταξη των συμβόλων πληροφορίας 2 πλασματικά σύμβολα με αποτέλεσμα $P = \rho + 2 = 13 = 4 + 3N$ με $N = 3$. Επομένως απαιτούνται 3 βήματα για να μειωθεί το αρχικό πλήθος 13 συμβόλων στο τελικό πλήθος 4 συμβόλων.

3.4.4 ΔΕΝΔΡΟΔΙΑΓΡΑΜΜΑ ΑΠΟΦΑΣΗΣ

Η αποκωδικοποίηση διαφορικών κωδίκων που διαθέτουν την προθεματική ιδιότητα υλοποιείται με το πεπερασμένο αυτόματο ή δένδροδιάγραμμα απόφασης. Η λειτουργία του γίνεται κατανοητή με το παρακάτω απλό παράδειγμα.

ΠΑΡΑΔΕΙΓΜΑ : Εστω δυαδικός κώδικας τεσσάρων λέξεων και το αντίστοιχο δένδροδιάγραμμα απόφασης (σχ. 3.2). Το αυτόματο βρίσκεται αρχικά στην κατάσταση που αντιστοιχεί στο οκταγωνικό τετράγωνο. Με την άφιξη του πρώτου κωδικού ψηφίου, που είναι 0 ή 1, το αυτόματο περνά αντίστοιχα στην τελική κατάσταση α_1 ή στη μεταβατική κατάσταση μ_1 . Από κάθε τελική κατάσταση το αυτόματο περνά αμέσως στην αρχική κατάσταση και αναμένει την άφιξη του επόμενου κωδικού ψηφίου. Αν το αυτόματο βρεθεί στην κατάσταση μ_1 , με την άφιξη του δεύτερου κωδικού ψηφίου, που είναι επίσης 0 ή 1, περνά αντίστοιχα στην τελική κατάσταση α_2 ή στη μεταβατική κατάσταση μ_2 . Από την κατάσταση μ_2 περνά στην τελική κατάσταση α_3 ή στην τελική κατάσταση α_4 με την άφιξη του τρίτου κωδικού ψηφίου, που πρέπει να είναι αντίστοιχα 0 ή 1. Κάθε φορά που το αυτόματο περνά σε κάποια τελική κατάσταση γίνεται αποκωδικοποίηση της αντίστοιχης κωδικής λέξης που έχει συμπληρωθεί. Η αποκωδικοποίηση είναι στιγμιαία επειδή έγινε δεκτό ότι ο κώδικας διαθέτει την προθεματική ιδιότητα.



Σχ. 3.2 Δενδροδιάγραμμα απόφασης.

3.5 ΑΣΚΗΣΕΙΣ

1. Να εξετασθεί η δυνατότητα στιγμιαίας αποκωδικοποίησης κώδικα με λέξεις μήκους 1, 2, ..., v , ... συμβόλων.
2. Να εξετασθεί η δυνατότητα στιγμιαίας αποκωδικοποίησης τετραδικού κώδικα με λέξεις όπως στον παρακάτω πίνακα.

Γνήθος	Μήκος
2	1
3	2
4	3
...	...
$v+1$	v
...	...

3. Στον κώδικα κόμμα το τέλος κάθε κωδικής λέξης σημειώνεται με την εμφάνιση του σημείου στίξης (,). Οι μακρύτερες κωδικές λέξεις δεν έχουν υποχρεωτικά το κόμμα στην τελευταία θέση τους και αναγνωρίζονται απλά από το μεγαλύτερο μήκος τους. Να εξετασθεί η δυνατότητα στιγμιαίας αποκωδικοποίησης του κώδικα κόμμα.

4. Εστω πηγή πληροφορίας με αλφάβητο $A = \{a_1, a_2, \dots, a_p\}$ και κατανομή πιθανοτήτων $\Pi = \{p_1, p_2, \dots, p_p\}$. Η v -οστή επέκταση της, δηλαδή η πηγή πληροφορίας A^v , Π^v , υφίσταται δυαδική κωδικοποίηση και κάθε σύμβολο πληροφορίας $a_i^v = a_{i_1} a_{i_2} \dots a_{i_v} \in A^v$, που έχει πιθανότητα εμφάνισης $p_i^v = p_{i_1} p_{i_2} \dots p_{i_v} \in \Pi^v$, αντιστοιχίζεται σε κωδική λέξη μήκους λ_i^v δυαδικών ψηφίων. Αν ισχύει :

$$-\log_2(p_i^v) \leq \lambda_i^v \leq 1 - \log_2(p_i^v)$$

για $i = 1, 2, \dots, p^v$, να αποδειχθεί ότι το μέσο μήκος των κωδικών λέξεων :

$$\Lambda_v = \sum_{i=1}^{p^v} p_i^v \lambda_i^v$$

ικανοποιεί τη διπλή ταυτοανισότητα :

$$vH(A) \leq \Lambda_v \leq vH(A) + 1.$$

5. Η έξοδος του κωδικοποιητή της προηγούμενης άσκησης παρέχει πληροφορία $-\log_2(p_i^v)/\lambda_i^v$ bits/δυναμικό ψηφίο, $i = 1, 2, \dots, p^v$. Επομένως η μέση πληροφορία ανά δυναμικό ψηφίο είναι :

$$H_v = \sum_{i=1}^{p^v} p_i^v \left(-\frac{\log_2(p_i^v)}{\lambda_i^v} \right)$$

Να αποδειχθεί ότι ισχύει η διπλή ταυτοανισότητα :

$$1 + \frac{1}{v \log_2(p_{\max}^v)} \leq H_v \leq 1$$

όπου $p_{\max}^v = \max \{ p_i^v ; i = 1, 2, \dots, p^v \}$. Τι παρατηρείται στο όριο $v \rightarrow \infty$;

6. Έστω πηγή πληροφορίας με αλφάβητο $A = \{ a_1, a_2, \dots, a_p \}$ και κατανομή πιθανοτήτων $\Pi_A = \{ p_1, p_2, \dots, p_p \}$. Κάθε μήνυμα v συμβόλων $a_i^v = a_{i_1} a_{i_2} \dots a_{i_v}$ είναι ουσιαστικά σύμβολο της πηγής πληροφορίας A^v, Π_A^v , δηλαδή της v -οστής επέκτασης της πηγής πληροφορίας A, Π_A . Το ϵ -τυπικό μήνυμα v συμβόλων a_i^v περιέχει v_i φορές το σύμβολο $a_i \in A, i = 1, 2, \dots, p$, όπου v_i ικανοποιεί τη διπλή ταυτοανισότητα :

$$(1-\epsilon)v_i \leq v_i < (1+\epsilon)v_i$$

με $\epsilon > 0$ και $v_1 + v_2 + \dots + v_p = v$. Να αποδειχθεί ότι η πιθανότητα του ϵ -τυπικού συμβόλου, έστω p_ϵ^v , ικανοποιεί τη διπλή ταυτοανισότητα :

$$2^{-v(1+\epsilon)H(A)} \leq p_\epsilon^v \leq 2^{-v(1-\epsilon)H(A)}$$

όπου $H(A)$ είναι η εντροπία της πηγής πληροφορίας A, Π_A . Αν για την κωδικοποίηση των ϵ -τυπικών συμβόλων χρησιμοποιούνται λ_ϵ^v δυαδικά ψηφία, να αποδειχθεί ότι πρέπει να ισχύει επιπλέον η διπλή ταυτοανισότητα:

$$(1+\epsilon)vH(A) \leq \lambda_\epsilon^v \leq (1+\epsilon)vH(A) + 1.$$

7. Έστω η πηγή πληροφορίας $A = \{ a_1, a_2, a_3, a_4, a_5, a_6, a_7, a_8 \}$. $\Pi_A = \{ 0.22, 0.16, 0.15, 0.13, 0.12, 0.09, 0.08, 0.05 \}$. Να προσδιορισθούν οι δυαδικοί κώδικες Shannon, Shannon-Fano, Huffman και να υπολογισθεί το μέσο μήκος των κωδικών λέξεων για κάθε κώδικα.

8. Να προσδιορισθεί ο δυαδικός κώδικας Shannon-Fano για την τριαδική πηγή πληροφορίας $A = \{ a_1, a_2, a_3 \}$, $\Pi_A = \{ 1/3^k, 1/3^{k+1}, 1 - 1/3^k - 1/3^{k+1} \}$, όπου k είναι θετικός ακέραιος. Να υπολογισθεί το μέσο μήκος των κωδικών λέξεων.

9. Έστω πηγή πληροφορίας $A = \{ a_1, a_2, a_3, a_4, a_5 \}$. $\Pi_A = \{ 0.4, 0.2, 0.2, 0.1, 0.1 \}$. Να προσδιορισθεί ο δυαδικός κώδικας Huffman με τη μικρότερη μεταβλητότητα μήκους των κωδικών λέξεων.

10. Πηγή πληροφορίας με αλφάβητο $\{ a, b \}$ και κατανομή πιθανοτήτων $\{ 1 - 1/2^k, 1/2^k \}$, όπου k θετικός ακέραιος, κωδικοποιείται κατά Shannon και Huffman. Να

σχολιασθεί το μήκος των κωδικών λέξεων. Να υπολογισθεί το μέσο μήκος κωδικών λέξεων για κάθε κώδικα. Τι παρατηρείται στο όριο $k \rightarrow \infty$;

11. Δίνεται παρακάτω ο δυαδικός κώδικας Shannon-Fano για το Αγγλικό αλφάβητο. Να σχεδιασθεί το δένδροδιάγραμμα απόφασης του αποκωδικοποιητή.

A	1111	N	1100
B	101000	O	1110
C	01010	P	110111
D	11010	Q	1101100101
E	100	R	1011
F	01011	S	0110
G	00001	T	001
H	0001	U	01000
I	0111	V	1101101
J	1101100110	W	101001
K	11011000	X	1101100111
L	10101	Y	00000
M	01001	Z	1101100100

Κεφάλαιο Τέσσερα

ΚΩΔΙΚΟΠΟΙΗΣΗ ΣΕ ΠΕΡΙΒΑΛΛΟΝ ΘΟΡΥΒΟΥ

4.1 ΚΡΙΤΗΡΙΑ ΑΠΟΚΩΔΙΚΟΠΟΙΗΣΗΣ

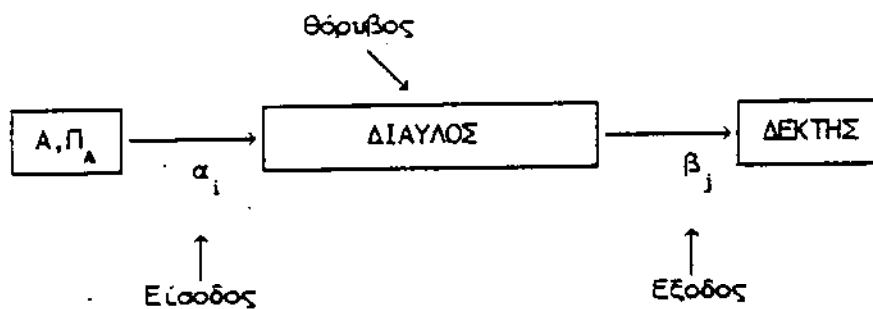
Στο προηγούμενο κεφάλαιο εξετάσθηκε η κωδικοποίηση σε αθόρυβο περιβάλλον που δεν προκαλεί αλλοίωση του μεταδιδόμενου κωδικού μηνύματος. Βελτιστοποίηση του συστήματος επικοινωνίας σε τέτοιο εξιδανικευμένο περιβάλλον είναι σπλά η μεγιστοποίηση του ρυθμού μετάδοσης, δηλαδή της απόδοσης του κώδικα, και με το πρώτο θεώρημα Shannon αποδείχθηκε ότι το μέσο μήκος κωδικών λέξεων μπορεί να προσεγγίσει όσο είναι επιθυμητό το κάτω φράγμα του αν και με κάποιο κόστος.

Η παρουσία θορύβου στο σύστημα επικοινωνίας υποβαθμίζει την αξιοπιστία του προκαλώντας την εμφάνιση σφαλμάτων κατά τη μετάδοση της πληροφορίας. Στην έξοδο του διαύλου πληροφορίας (σχ. 4.1) δημιουργείται επομένως αβεβαιότητα για το σύμβολο εισόδου. Στην αποκωδικοποίηση του λαμβανόμενου μηνύματος εμπλέκεται κάποια πιθανότητα σφάλματος που εξαρτάται γενικά από τις διάφορες παραμέτρους του συστήματος επικοινωνίας. Η βελτιστοποίηση του συστήματος επικοινωνίας σε περιβάλλον θορύβου περιλαμβάνει και την ελαχιστοποίηση της πιθανότητας εσφαλμένης αποκωδικοποίησης.

Με το δεύτερο θεώρημα Shannon (βλ. §4.3) θα διαμορφωθεί το συμπέρασμα ότι είναι δυνατή η βέλτιστη λειτουργία του διαύλου πληροφορίας ακόμη και με την παρουσία

θορύβου. Δηλαδή η πιθανότητα εσφαλμένης αποκωδικοποίησης μπορεί να ελαττωθεί όσο είναι επιθυμητό και ταυτόχρονα ο ρυθμός μετάδοσης της πληροφορίας να προσεγγίζει όσο είναι επιθυμητό τη χωρητικότητα του διαύλου πληροφορίας.

Εστω ότι στην έξοδο του διαύλου πληροφορίας φθάνει το σύμβολο β_j , $j = 1, 2, \dots, \rho$. Η αβεβαιότητα για το σύμβολο εισόδου α_i , $i = 1, 2, \dots, \rho$ καθορίζεται από το δίαυλο πληροφορίας μέσω των υπό συνθήκη πιθανοτήτων $p(\beta_j/\alpha_i)$ αλλά και από την πηγή πληροφορίας μέσω της κατανομής πιθανοτήτων $\Pi_A = \{ p(\alpha_i) / i = 1, 2, \dots, \rho \}$. Η αντιστοίχιση της εξόδου β_j στην είσοδο α_i χαρακτηρίζεται κανόνας απόφασης και εμπλέκει κάποια πιθανότητα σφάλματος η_E που είναι ουσιαστικά η πιθανότητα εσφαλμένης αποκωδικοποίησης για το συγκεκριμένο κανόνα απόφασης. Στη συνέχεια θα εξετασθούν δύο κανόνες απόφασης και θα υπολογισθεί η αντίστοιχη πιθανότητα εσφαλμένης αποκωδικοποίησης.



Σχ. 4.1 Γενικά $\beta_j \neq \alpha_i$ λόγω σφαλμάτων που προκαλεί ο θόρυβος.

Ο κανόνας του τέλει παρατηρητή αντιστοιχίζει στο σύμβολο εξόδου β_j εκείνο το σύμβολο εισόδου α' που ικανοποιεί τη συνθήκη :

$$p(\alpha' / \beta_j) \geq p(\alpha_i / \beta_j) \quad ; \quad i = 1, 2, \dots, \rho \quad (4.1)$$

δηλαδή η υπό συνθήκη πιθανότητα $p(\alpha_i / \beta_j)$ μεγιστοποιείται όταν $\alpha_i = \alpha'$. Η πιθανότητα εσφαλμένης αποκωδικοποίησης κατά τη λήψη του συμβόλου β_j είναι :

$$p(E/\beta_j) = 1 - p(\alpha' / \beta_j) = \sum_{\alpha_i \neq \alpha'} p(\alpha_i / \beta_j) \quad (4.2)$$

και η μέση τιμή της ως προς τα σύμβολα εξόδου είναι η πιθανότητα εσφαλμένης αποκωδικοποίησης η_E που αντιστοιχεί στον κανόνα του τέλει παρατηρητή :

$$\begin{aligned}
 \pi_{\Sigma} &= \sum_{j=1}^{\rho} \pi(E/\beta_j) \pi(\beta_j) = \sum_{j=1}^{\rho} \left[1 - \pi(\alpha' / \beta_j) \right] \pi(\beta_j) = \\
 &= 1 - \sum_{j=1}^{\rho} \pi(\alpha' / \beta_j) \pi(\beta_j) = 1 - \sum_{j=1}^{\rho} \pi(\beta_j / \alpha') \pi(\alpha') \quad (4.3)
 \end{aligned}$$

Αν τα σύμβολα εισόδου είναι ισοπίθανα, $\pi(\alpha') = 1/\rho$ και η πιθανότητα αφάλματος υπολογίζεται από την απλοποιημένη έκφραση :

$$\pi_{\Sigma} = 1 - \frac{1}{\rho} \sum_{j=1}^{\rho} \pi(\beta_j / \alpha') \quad (4.4)$$

Αποδεικνύεται ότι ο κανόνας του τέλει παρατηρητή διαμορφώνει την ελάχιστη πιθανότητα εσφαλμένης αποκωδικοποίησης.

Εναλλακτικά πραγματοποιείται αποκωδικοποίηση με τον κανόνα της μέγιστης πιθανοφάνειας που αντιστοιχίζει στο σύμβολο εξόδου β_j εκείνο το σύμβολο εισόδου α' που ικανοποιεί τη συνθήκη :

$$\pi(\beta_j / \alpha') \geq \pi(\beta_j / \alpha_i) \quad ; \quad i = 1, 2, \dots, \rho \quad (4.5)$$

δηλαδή η υπό συνθήκη πιθανότητα $\pi(\beta_j / \alpha_i)$ μεγιστοποιείται όταν $\alpha_i = \alpha'$. Ο κανόνας της μέγιστης πιθανοφάνειας εφαρμόζεται επειδή είναι απλούστερος του προηγούμενου αλλά και για τον πρακτικό λόγο ότι δεν είναι δυνατός ο υπολογισμός των υπό συνθήκη πιθανοτήτων $\pi(\alpha_i / \beta_j)$ όταν οι πιθανότητες εισόδου $\pi(\alpha_i)$, $i = 1, 2, \dots, \rho$ είναι άγνωστες στο δέκτη. Ο κανόνας της μέγιστης πιθανοφάνειας δεν οδηγεί σε βέλτιστη πιθανότητα αφάλματος. Στην ειδική περίπτωση ισοπίθανων συμβόλων εισόδου προκύπτει :

$$\pi(\beta_j / \alpha_i) = \pi(\alpha_i / \beta_j) \frac{\pi(\beta_j)}{1/\rho} = \rho \pi(\beta_j) \pi(\alpha_i / \beta_j) \quad (4.6)$$

και επομένως :

$$\pi(\beta_j / \alpha') \geq \pi(\beta_j / \alpha_i) \iff$$

$$p(\beta_j) p(\alpha' / \beta_j) \geq p(\beta_j) p(\alpha_i / \beta_j) \iff$$

$$p(\alpha' / \beta_j) \geq p(\alpha_i / \beta_j) \quad (4.7)$$

δηλαδή οι δύο κανόνες χρησιμοποιούν το ίδιο κριτήριο απόφασης. Η πιθανότητα εσφαλμένης αποκωδικοποίησης δίνεται, όπως είναι ήδη γνωστό, από την εξ. (4.4).

ΠΑΡΑΔΕΙΓΜΑ : Εστω διάνυσλος πληροφορίας με μητρώο διανύου :

$$\Pi(B/A) = \begin{bmatrix} 3/4 & 3/16 & 1/16 & 0 \\ 0 & 3/4 & 3/16 & 1/16 \\ 0 & 0 & 3/4 & 1/4 \\ 0 & 0 & 0 & 1 \end{bmatrix}$$

Εφαρμόζοντας τον κανόνα της μέγιστης πιθανοφάνειας προκύπτει το σχήμα αποκωδικοποίησης :

β_j	\iff	α'
β_1	\iff	α_1
β_2	\iff	α_2
β_3	\iff	α_3
β_4	\iff	α_4

και η πιθανότητα σφάλματος για ισοπίθανα σύμβολα εισόδου είναι :

$$p_E = 1 - (1/4) \sum_{j=1}^4 p(\beta_j / \alpha') = 1 - (1/4) (3/4 + 3/4 + 3/4 + 1) = 0.187 \quad \text{ή} \quad 18.7 \%$$

Με την υπόθεση ισοπίθανων συμβόλων εισόδου το μητρώο $\Pi(A/B)$ είναι :

$$\Pi(A/B) = \begin{bmatrix} 1 & 1/5 & 1/16 & 0 \\ 0 & 4/5 & 3/16 & 1/21 \\ 0 & 0 & 3/4 & 4/21 \\ 0 & 0 & 0 & 16/21 \end{bmatrix}$$

και ο κανόνας του τέλειου παρατηρητή οδηγεί στο σχήμα αποκωδικοποίησης :

β_j	\longleftrightarrow	α'
β_1	\longleftrightarrow	α_1
β_2	\longleftrightarrow	α_2
β_3	\longleftrightarrow	α_3
β_4	\longleftrightarrow	α_4

που είναι όμοιο με το αντίστοιχο σχήμα του κανόνα της μέγιστης πιθανοφάνειας. Επομένως οι δύο κανόνες είναι ισοδύναμοι, όπως αναμένεται γενικά για λοσιθιανά σύμβολα εισόδου.

Αν το μητρώο διαπίλου είναι :

$$\Pi(B/A) = \begin{bmatrix} 3/4 & 3/16 & 1/16 & 0 \\ 0 & 1/4 & 3/4 & 0 \\ 0 & 3/4 & 0 & 1/4 \\ 0 & 0 & 1/4 & 3/4 \end{bmatrix}$$

το σχήμα αποκωδικοποίησης γίνεται :

β_j	\longleftrightarrow	α'
β_1	\longleftrightarrow	α_1
β_2	\longleftrightarrow	α_3
β_3	\longleftrightarrow	α_2
β_4	\longleftrightarrow	α_4

και είναι το ίδιο για τους δύο κανόνες απόφασης με την προϋπόθεση λοσιθιανών συμβόλων εισόδου. Η αντίστοιχη πιθανότητα εφαρμογής αποκωδικοποίησης είναι :

$$\pi_{\Sigma} = 1 - (1/4)(3/4 + 3/4 + 3/4 + 3/4) = 1/4 \text{ ή } 25\%$$

4.2 ♦ ΠΑΓΜΑ FANO

Η παρουσία θορύβου στο σύστημα επικοινωνίας προκαλεί στο δέκτη αβεβαιότητα για το σύμβολο εκπομπής που ισοδυναμεί με απώλεια πληροφορίας κατά τη μετάδοση. Η μέση τιμή της απώλειας πληροφορίας λόγω θορύβου είναι η εντροπία θορύβου $H(A/B)$ που ορίστηκε στην §2.1. Η σχέση της πιθανότητας αφάλματος η_{ϵ} με την εντροπία θορύβου $H(A/B)$ του συστήματος επικοινωνίας, που λειτουργεί σε περιβάλλον θορύβου, περιγράφεται με την ταυτοανισότητα :

$$H(A/B) \leq H(\eta_{\epsilon}) + \eta_{\epsilon} \log_e (\rho-1) \quad (4.8)$$

που χαρακτηρίζεται *φράγμα Fano*. Η φυσική σημασία της εξ. (4.8) αποκαλύπτεται με τον παρακάτω συλλογισμό.

Η εντροπία θορύβου $H(A/B)$ είναι ουσιαστικά μία πρόσθετη ποσότητα πληροφορίας που απαιτείται στο δέκτη προκειμένου να αρθεί η αβεβαιότητα για το σύμβολο εκπομπής. Το άνω φράγμα αυτής της πρόσθετης πληροφορίας, που απαιτείται για ορθή αποκωδικοποίηση, δίνεται στο δεξιό μέλος της εξ. (4.8) σαν άθροισμα δύο όρων. Ο πρώτος όρος, $H(\eta_{\epsilon})$, εκπροσωπεί τη μέση πληροφορία που απαιτείται για τη διαδική απόφαση ύπαρξης ή μη αφάλματος κατά τη μετάδοση του συμβόλου πληροφορίας. Ο δεύτερος όρος, $\eta_{\epsilon} \log_e (\rho-1)$, εκπροσωπεί τη μέση πληροφορία που απαιτείται για να καθορισθεί ποιά από τα υπόλοιπα $(\rho-1)$ σύμβολα έχει σταλεί εφόσον έχει διαπιστωθεί αλάμα. Επειδή η χωρητικότητα του διαύλου πληροφορίας συνδέεται με την εντροπία θορύβου, η εξ. (4.8) συνδέει ουσιαστικά την πιθανότητα εσφαλμένης αποκωδικοποίησης η_{ϵ} με τη χωρητικότητα του διαύλου πληροφορίας στο σύστημα επικοινωνίας.

Η απόδειξη της εξ. (4.8) ξεκινά από την εξ. (1.19) :

$$H(A/B) = \sum_{j=1}^{\rho} H(A/\beta_j) p(\beta_j) = - \sum_{i=1}^{\rho} \sum_{j=1}^{\rho} p(\alpha_i/\beta_j) \log_e \left[p(\alpha_i/\beta_j) \right] p(\beta_j) \quad (4.9)$$

Αν θεωρηθεί ότι ορθή αποκωδικοποίηση πραγματοποιείται κατά το σχήμα $\beta_i \leftrightarrow \alpha_i$, $i = 1, 2, \dots, \rho$, τότε είναι δυνατό να διαμορφωθεί η παρακάτω έκφραση για την εντροπία θορύβου :

$$\begin{aligned}
H(A/B) = & - \sum_{j=1}^{\rho} \left[n(\alpha_j/\beta_j) \log_e \left[n(\alpha_j/\beta_j) \right] + \sum_{\substack{i=1 \\ i \neq j}}^{\rho} n(\alpha_i/\beta_j) \log_e \left[n(\alpha_i/\beta_j) \right] \right] n(\beta_j) = \\
& - \sum_{j=1}^{\rho} \left[\left(1 - n(E/\beta_j) \right) \log_e \left[1 - n(E/\beta_j) \right] + n(E/\beta_j) \log_e \left[n(E/\beta_j) \right] \right] + \\
& n(E/\beta_j) \sum_{\substack{i=1 \\ i \neq j}}^{\rho} \left[\frac{n(\alpha_i/\beta_j)}{n(E/\beta_j)} \right] \log_e \left[\frac{n(\alpha_i/\beta_j)}{n(E/\beta_j)} \right] \right] n(\beta_j) \quad (4.10)
\end{aligned}$$

όπου $n(E/\beta_j)$ είναι η πιθανότητα αράματος όταν στο δέκτη λαμβάνεται το σύμβολο β_j :

$$n(E/\beta_j) = 1 - n(\alpha_j/\beta_j) = \sum_{\substack{i=1 \\ i \neq j}}^{\rho} n(\alpha_i/\beta_j) \quad (4.11)$$

Είναι φανερό ότι :

$$\sum_{\substack{i=1 \\ i \neq j}}^{\rho} \left[\frac{n(\alpha_i/\beta_j)}{n(E/\beta_j)} \right] = 1 \quad (4.12)$$

και επομένως :

$$- \sum_{\substack{i=1 \\ i \neq j}}^{\rho} \left[\frac{n(\alpha_i/\beta_j)}{n(E/\beta_j)} \right] \log_e \left[\frac{n(\alpha_i/\beta_j)}{n(E/\beta_j)} \right] \leq \log_e (\rho-1) \quad (4.13)$$

Η εξ. (4.10) παίρνει τη μορφή που ακολουθεί :

$$\begin{aligned}
H(A/B) \leq & \sum_{j=1}^{\rho} \left[H(n(E/\beta_j)) + n(E/\beta_j) \log_e (\rho-1) \right] n(\beta_j) = \\
& H(n(E/B)) + n(E) \log_e (\rho-1) \quad (4.14)
\end{aligned}$$

Αλλά η εξ. (1.22) υποδεικνύει ότι $H(p(E/B)) \leq H(p(E))$ και με την αντικατάσταση $p(E) = p_E$ προκύπτει η εξ. (4.8) που περιγράφει το φράγμα Fano.

Η ισοότητα στην εξ. (4.13) ισχύει στην περίπτωση :

$$p(\alpha_i/\beta_j) = \frac{p(E/\beta_j)}{p-1}, \quad i \neq j \quad (4.15)$$

που υποδεικνύει ότι το μέγιστο της αβεβαιότητας που προκαλεί ο θόρυβος αντιστοιχεί στην περίπτωση που τα $(p-1)$ σχήματα ασφαμένης αποκωδικοποίησης $\beta_j \leftrightarrow \alpha_i, i \neq j$, είναι ισοίθινα.

4.3 ΔΕΥΤΕΡΟ ΘΕΩΡΗΜΑ SHANNON

ΘΕΩΡΗΜΑ : Εστω πηγή πληροφορίας χωρίς μνήμη με αλφάβητο p συμβόλων και εντροπία H , δίαυλος πληροφορίας με χωρητικότητα C και αυθαίρετος αριθμός $\epsilon > 0$. Αν $0 \leq H \leq C$, υπάρχει κώδικας που αντιστοιχίζει τα σύμβολα πληροφορίας σε κωδικές λέξεις n ψηφίων και εξασφαλίζει πιθανότητα ασφαμένης αποκωδικοποίησης $\pi_E \leq \epsilon$. Αν $\alpha_1, \alpha_2, \dots, \alpha_p$ είναι τα σύμβολα εισόδου, $\beta_1, \beta_2, \dots, \beta_p$ είναι τα σύμβολα εξόδου και $\beta_i \leftrightarrow \alpha_i, i = 1, 2, \dots, p$ είναι το σχήμα ορθής αποκωδικοποίησης, η πιθανότητα ορθής αποκωδικοποίησης είναι $p(\alpha_i/\beta_i) = \pi_0 = 1 - \pi_E \geq 1 - \epsilon$. Δηλαδή, η μεν πιθανότητα ασφαμένης αποκωδικοποίησης προσεγγίζει την τιμή 0 η δε πιθανότητα ορθής αποκωδικοποίησης προσεγγίζει την τιμή 1 όσο είναι επιθυμητό. Το πλήθος ψηφίων ανά κωδική λέξη επιλέγεται από τη σχέση $p \geq 2^{nH}$. Αν $0 < C < H$, δεν υπάρχει κώδικας για τη δεδομένη πηγή πληροφορίας που να εξασφαλίζει αυθαίρετα μικρή πιθανότητα σφάλματος.

Το δεύτερο θεώρημα Shannon, που είναι γνωστό και σαν *θεώρημα κωδικοποίησης σε περιβάλλον θορύβου*, υποδεικνύει ότι η χωρητικότητα του διαύλου πληροφορίας είναι η σημαντικότερη παράμετρος του συστήματος επικοινωνίας και εγγυάται την ύπαρξη αυθαίρετα αξιόπιστου κώδικα για μετάδοση πληροφορίας με ρυθμό που προσεγγίζει αυθαίρετα τη χωρητικότητα. Είναι φανερό, όμως, ότι το θεώρημα δεν παρέχει μέθοδο για τον προσδιορισμό του βέλτιστου κώδικα.

Η απόδειξη του δεύτερου θεωρήματος Shannon είναι περίπλοκη και μακρά. Θα δοθεί εδώ μόνο η απόδειξη για την ειδική περίπτωση του δυαδικού συμμετρικού διαύλου πληροφορίας. Κατά την αποδεικτική διαδικασία προκύπτει ότι για ρη κωδικοποιημένης πληροφορίας με ρυθμό που προσεγγίζει τη χωρητικότητα και με πιθανότητα εσφαλμένης αποκωδικοποίησης που προσεγγίζει το μηδέν απαιτούνται μακρές κωδικές λέξεις. Δηλαδή ο βέλτιστος κώδικας είναι συνήθως δύσκολος. Το δεύτερο θεώρημα Shannon δεν λύνει επομένως όλα τα προβλήματα αλλά εγγυάται απλά τη δυνατότητα σχεδίασης αξιόπιστου κώδικα για σύστημα επικοινωνίας που είναι εκτεθειμένο σε θόρυβο.

Εστω ότι ρ σύμβολα πληροφορίας κωδικοποιούνται σε δυαδικές v -άδες. Το πλήθος των δυαδικών v -άδων είναι 2^v και πρέπει προφανώς να υπερβαίνει το πλήθος των συμβόλων πληροφορίας, δηλαδή $2^v \geq \rho$ ή :

$$v \geq \log_2 \rho \quad (4.16)$$

Αν εφαρμοσθεί η τεχνική τυχαίας κωδικοποίησης Shannon, η επιλογή των ρ δυαδικών v -άδων που εκπροσωπούν τα σύμβολα πληροφορίας γίνεται τυχαία και επομένως η πιθανότητα να εκπροσωπή μια δυαδική v -άδα κάποιο σύμβολο πληροφορίας είναι $\rho/2^v$.

Εστω ότι ο δυαδικός συμμετρικός δίαυλος πληροφορίας λειτουργεί με πιθανότητα σφάλματος $q \leq 0.5$ σε κάθε δυαδικό ψηφίο. Η πιθανότητα ορθής μετάδοσης είναι $p = 1 - q$. Κατά τη μετάδοση των κωδικών λέξεων γίνονται κατά μέσο όρο $vq < v/2$ σφάλματα ανά λέξη, δηλαδή κατά μέσο όρο λιγότερα από τα μισά ψηφία αλλοιώνονται σε κάθε κωδική λέξη. Το πλήθος των δυαδικών v -άδων που διαμορφολοούνται από κάποια κωδική λέξη κατά ξ ψηφία είναι $\binom{v}{\xi}$, δηλαδή όσοι και οι συνδυασμοί v πραγμάτων ανά ξ . Επομένως το πλήθος των δυαδικών v -άδων που διαμορφολοούνται από κάποια κωδική λέξη κατά vq ψηφία ή λιγότερα είναι :

$$N = \binom{v}{0} + \binom{v}{1} + \dots + \binom{v}{vq} = \sum_{i=0}^{vq} \binom{v}{i} \quad (4.17)$$

και τόσες δυαδικές v -άδες σχετίζονται στην έξοδο του διαύλου με την υπόψη κωδική λέξη επειδή διαμορφολοούνται από αυτή σε λιγότερα από τα μισά ψηφία. Είναι

εύκολο να αποδειχθεί ότι $\binom{v}{i} < \binom{v}{i+1}$ επειδή $0 \leq i < vq \leq v/2 < (v+1)/2$.
 Δηλαδή οι όροι του αθροίσματος στην εξ.(4.17) αυξάνουν με το δείκτη i και
 επομένως διαμορφώνεται η ανισότητα :

$$N < (vq+1) \binom{v}{vq} = \frac{(vq+1)v!}{(vq)!(v-vq)!} \quad (4.18)$$

Με εφαρμογή της προσέγγισης Stirling $v! \approx \sqrt{2\pi} e^{-v} v^{v+1/2}$ προκύπτει τελικά :

$$N < \frac{(vq+1)q^{-vq}p^{-vp}}{(2\pi vq)^{1/2}} \quad (4.19)$$

Κάθε κωδική λέξη που προσάγεται στην είσοδο του διαδικού συμμετρικού διαύλου
 πληροφορίας μπορεί να σχετισθεί με N διαδικές v -άδες στην έξοδο του. Από αυτές
 μια είναι ίδια με την κωδική λέξη και $N-1$ διαφοροποιούνται σε λιγότερα από τα
 μισά ψηφία. Επομένως η πιθανότητα να είναι μια διαδική v -άδα στην έξοδο του
 διαδικού συμμετρικού διαύλου πληροφορίας ασφαλισμένη μορφή κάποιας κωδικής λέξης
 δίνεται από την ανισότητα :

$$\eta_E = \rho(N-1)/2^v < \frac{\rho(vq+1)2^{-vc}}{(2\pi vq)^{1/2}} \quad (4.20)$$

επειδή $q^{-vq} = 2^{-v \log_2 q}$, $p^{-vp} = 2^{-v \log_2 p}$ και $C = 1 + p \log_2 p + q \log_2 q$ bits/
 σύμβολο είναι η χωρητικότητα του διαδικού συμμετρικού διαύλου πληροφορίας.
 Εφόσον η τεχνική τυχαίας κωδικοποίησης δεν προσφέρει τη δυνατότητα διόρθωσης
 σφαλμάτων, η εξ.(4.20) περιγράφει την πιθανότητα ασφαλισμένης αποκωδικοποίησης και
 στο όριο $v \rightarrow \infty$ προκύπτει :

$$\begin{aligned} \lim_{v \rightarrow \infty} (\eta_E) &= \frac{\rho}{\sqrt{2\pi\rho}} \lim_{v \rightarrow \infty} \left\{ \frac{vq+1}{\sqrt{vq}} 2^{-vc} \right\} = \\ &= \frac{\rho}{\sqrt{2\pi\rho}} \lim_{v \rightarrow \infty} \left\{ \left(\sqrt{vq} + \frac{1}{\sqrt{vq}} \right) \frac{1}{(1+1)^{vc}} \right\} = \end{aligned}$$

$$= \frac{\rho}{\sqrt{2\pi\rho}} \lim_{v \rightarrow \infty} \left\{ \left(\sqrt{v\rho} + \frac{1}{\sqrt{v\rho}} \right) \frac{1}{(1 + vC + \dots)} \right\} <$$

$$< \frac{\rho}{\sqrt{2\pi\rho}} \lim_{v \rightarrow \infty} \left\{ \frac{1}{vC} \left(\sqrt{v\rho} + \frac{1}{\sqrt{v\rho}} \right) \right\} = 0.$$

Το πρώτο μέρος του θεωρήματος έχει επομένως αποδειχθεί.

Ο δίαυλος πληροφορίας διοχετεύει δυαδικά ψηφία και έχει χωρητικότητα C bits/δυαδικό ψηφίο. Η χωρητικότητα του διαύλου ανά v -άδα δυαδικών ψηφίων είναι vC bits/δυαδική v -άδα. Η τεχνική τυχαίας κωδικοποίησης διαμορφώνει αλφάβητο από ρ ισοπίθανες δυαδικές v -άδες και επομένως η εντροπία της πηγής πληροφορίας, όπως αυτή προεκτείνεται στην έξοδο του κωδικοποιητή, είναι $H(A) = \log_2 \rho$ bits/δυαδική v -άδα. Αλλά $H(A) \leq vC$ και επομένως το μέγιστο πλήθος συμβόλων πληροφορίας είναι $\rho_{\max} = 2^{vC}$.

Εστω ότι το πλήθος των συμβόλων πληροφορίας είναι :

$$\rho = \rho_{\max} / v = 2^{vC} / v \quad (4.21)$$

Η εντροπία της πηγής πληροφορίας γίνεται αντίστοιχα $H(A) = \log_2 (2^{vC} / v)$ bits/δυαδική v -άδα ή :

$$H(A) = \frac{\log_2 (2^{vC} / v)}{v} = C - \frac{\log_2 v}{v} \text{ bits/δυαδικό ψηφίο} \quad (4.22)$$

και στο όριο $v \rightarrow \infty$ τείνει στη χωρητικότητα του διαύλου πληροφορίας. Επομένως είναι δυνατή πλήρης εκμετάλλευση της χωρητικότητας αλλά τονίζεται πάλι ότι αυτό έχει προκύψει εδώ μόνο για την ειδική περίπτωση του δυαδικού συμμετρικού διαύλου πληροφορίας.

Αν το πλήθος των συμβόλων πληροφορίας είναι :

$$\rho = 2^{v(C+\epsilon)} \quad (4.23)$$

δηλαδή μεγαλύτερο από το μέγιστο επιτρεπτό αριθμό $\rho_{\max} = 2^{vC}$, η εντροπία της

πηγής πληροφορίας υπερβαίνει τη χωρητικότητα :

$$H(A) = \log_2 \rho = vC + v\epsilon > vC \quad (4.24)$$

Αλλά η διαπληροφορία είναι εξ ορισμού μικρότερη της χωρητικότητας :

$$I(A,B) = H(A) - H(A/B) \leq vC \quad (4.25)$$

Αν συνδυασθούν οι εξ. (4.24), (4.25), διαπιστώνεται ότι :

$$H(A/B) > v\epsilon \quad (4.26)$$

και με εφαρμογή της εξ. (4.8), που περιγράφει το φράγμα Fano, προκύπτει :

$$v\epsilon < H(A/B) \leq H(\pi_\epsilon) + \pi_\epsilon \log_2 (\rho - 1) < 1 + \pi_\epsilon \log_2 \rho = 1 + \pi_\epsilon v(C + \epsilon)$$

Στο όριο $v \rightarrow \infty$:

$$\pi_\epsilon > \frac{\epsilon}{C + \epsilon} \quad (4.27)$$

δηλαδή η πιθανότητα σφάλματος δεν τείνει στο μηδέν. Επομένως επαληθεύεται και το δεύτερο μέρος του θεωρήματος που αφορά στην περίπτωση $H > C$.

4.4 ΑΠΟΚΑΛΥΨΗ ΣΦΑΛΜΑΤΩΝ

Το δεύτερο θεώρημα Shannon μεταθέτει το ενδιαφέρον στη διαμόρφωση τεχνικών αποκάλυψης και διόρθωσης σφαλμάτων που συμβαίνουν κατά τη μετάδοση κωδικών μηνυμάτων στο δίκτυο πληροφορίας.

4.4.1 ΕΛΕΓΧΟΣ ΙΣΟΤΗΤΑΣ

Εστω κώδικας που αντιστοιχίζει τα σύμβολα πληροφορίας σε διαδικές v -άδες με $v-1$

ψηφία πληροφορίας και 1 ψηφίο ελέγχου. Η τιμή του ψηφίου ελέγχου μπορεί να καθορισθεί με το κριτήριο άρτιας / περιττής ισοτήτας, δηλαδή το ψηφίο ελέγχου παίρνει τιμή 0 ή 1 ώστε το συνολικό πλήθος μονάδων στη δυαδική v -άδα να είναι άρτιο / περιττό, αντίστοιχα.

ΠΑΡΑΔΕΙΓΜΑ : Στη δυαδική 7-άδα 0101110 προσαρμόζεται όγδοο ψηφίο ελέγχου. Αν εφαρμοσθεί το κριτήριο άρτιας ισοτήτας, το ψηφίο ελέγχου πρέπει να είναι 0 ώστε στη δυαδική 8-άδα 01011100 να υπάρχει άρτιο πλήθος μονάδων. Με το κριτήριο περιττής ισοτήτας διαμορφώνεται η δυαδική 8-άδα 01011101 που περιέχει περιττό πλήθος μονάδων.

Με το κριτήριο απλής ισοτήτας είναι δυνατό να αποκαλυφθούν απλά σφάλματα. Είναι φανερό ότι η δυαδική 8-άδα 01011100 που διαμορφώθηκε με το κριτήριο άρτιας ισοτήτας στο παραπάνω παράδειγμα μπορεί να μετατραπεί με διπλό σφάλμα στη δυαδική 8-άδα 01101100 που ικανοποιεί επίσης το κριτήριο άρτιας ισοτήτας παρόλο που τα δυαδικά ψηφία στην τρίτη και τέταρτη θέση έχουν αλλοιωθεί. Επομένως με ένα ψηφίο ελέγχου δεν είναι δυνατό να αποκαλυφθούν διπλά σφάλματα. Αν συμβεί και τρίτο σφάλμα, το κριτήριο απλής ισοτήτας ενεργοποιείται αλλά δεν είναι δυνατό να αποκαλυφθεί ο ακριβής αριθμός σφαλμάτων. Γενικά το κριτήριο απλής ισοτήτας ενεργοποιείται μόνο για περιττό πλήθος σφαλμάτων και δεν καθορίζει ούτε τον ακριβή αριθμό σφαλμάτων ούτε τη θέση των αλλοιωμένων ψηφίων.

Είναι φανερό ότι προσθέτοντας ψηφία ελέγχου αυξάνει η πιθανότητα αλλοίωσης της κωδικής λέξης κατά τη μετάδοση. Αν $p, q = 1 - p$ είναι αντίστοιχα η πιθανότητα ορθής / εσφαλμένης μετάδοσης κάθε δυαδικού ψηφίου, το πλήθος σφαλμάτων κατά τη μετάδοση δυαδική v -άδας περιγράφεται με διακριτή τυχαία μεταβλητή που ακολουθεί διωνυμική κατανομή. Η πιθανότητα να αλλοιωθούν ξ δυαδικά ψηφία κατά τη μετάδοση της δυαδικής v -άδας δίνεται από την παρακάτω έκφραση :

$$P(\xi/v) = \binom{v}{\xi} p^{v-\xi} q^{\xi} \quad ; \quad \xi = 0, 1, \dots, v \quad (4.28)$$

όπου $\binom{v}{\xi} = v!/\xi!(v-\xi)!$ είναι οι συνδυασμοί v πραγμάτων ανά ξ . Με εφαρμογή της εξ. (4.28) προκύπτει η πιθανότητα απλού σφάλματος στη δυαδική 7-άδα $P(1/7) = \binom{7}{1} p^6 q$. Με προσθήκη ενός ψηφίου ελέγχου προκύπτει δυαδική 8-άδα και η πιθανότητα να συμβεί απλό σφάλμα σε κάποιο από τα επτά ψηφία πληροφορίας και επιπλέον σφάλμα στο μοναδικό ψηφίο ελέγχου, είναι μικρότερη από

$P(2/8) = \binom{8}{2} p^2 q^6$. Αν $q = 0.01$, η σχετική αύξηση της πιθανότητας εσφαλμένης μετάδοσης της κωδικής λέξης είναι $P(2/8)/P(1/7) = 0.04$ ή 4%. Αλλά στη δυαδική 8-άδα υπάρχει η ελκυστική δυνατότητα αποκάλυψης απλού σφάλματος ή περιττού πλήθους σφαλμάτων και η αύξηση της πιθανότητας σφάλματος κατά 4% εκπροσωπεί σχετικά ασήμαντο τίμημα.

Είναι φανερό ότι με περισσότερα ψηφία ελέγχου θα υπάρχει δυνατότητα αποκάλυψης πολλαπλών σφαλμάτων. Αν δεν υπάρχουν ψηφία ελέγχου, η μόνη δυνατότητα για τη βελτίωση της αξιοπιστίας της επικοινωνίας είναι να επαναληφθεί η εκπομπή του μηνύματος. Η τακτική αυτή, εκτός από χρονοβόρα, σε πολλές εφαρμογές δεν είναι καν εφικτή.

4.4.2 ΔΙΔΙΑΣΤΑΤΟΣ ΕΛΕΓΧΟΣ ΙΣΟΤΗΤΑΣ ΣΕ ΟΡΘΟΓΩΝΙΚΟ ΚΩΔΙΚΑ

Ο Σ-διάυλος (βλ. §2.3.6) εμφανίζει στην έξοδο του ιδιαίτερο σύμβολο κάθε φορά που γίνεται σφάλμα μετάδοσης. Στην τυπική λειτουργία $\beta_1, \beta_2 \in \{0, 1\}$ και $\beta_2 = \beta_1$. Επομένως εσφαλμένη μετάδοση του μηνύματος 011100101 θα μπορούσε να είναι 01 100101 που δείχνει απλό σφάλμα στο τρίτο ψηφίο. Διόρθωση του σφάλματος είναι δυνατή μόνον αν στο τέλος του μηνύματος προστεθεί ψηφίο ελέγχου και εφαρμοσθεί το κριτήριο απλής, έστω άρτιας, ισοτήτας. Για το συγκεκριμένο παράδειγμα είναι :

0111001011 η είσοδος
 01 1001011 έξοδος με απλό σφάλμα και
 0111001011 η διορθωμένη έξοδος

επειδή το πλήθος των μονάδων πρέπει να είναι άρτιο. Γενικά, αν n δυαδικά ψηφία μεταφέρουν πληροφορία και προστεθεί ένα ψηφίο ελέγχου, προκύπτει *περίσσεια* $(n+1)/n = 1 + 1/n$. Ο *ρυθμός πληροφορίας* ορίζεται σαν ποσοστό των ψηφίων πληροφορίας στο σύνολο των δυαδικών ψηφίων της κωδικής λέξης και είναι το αντίστροφο μέγεθος της *περίσσειας*. Στο συγκεκριμένο παράδειγμα ο ρυθμός πληροφορίας είναι $n/(n+1) \approx 1 - 1/n$ με την προϋπόθεση $n \gg 1$.

Ο έλεγχος ισοτήτας μπορεί να επεκταθεί σε δύο διαστάσεις οπότε δημιουργείται η

δυνατότητα διόρθωσης διπλών σφαλμάτων. Η τεχνική αυτή, που είναι γνωστή σαν *ορθογωνική κωδικοποίηση*, προσαρμόζεται στη λειτουργία του Σ -διαίλου. Η διαδικασία κατασκευής του ορθογωνικού κώδικα περιγράφεται με τα παρακάτω βήματα που συνοδεύονται και με συγκεκριμένο παράδειγμα.

(i) Χρησιμοποιούνται μ κωδικές λέξεις ν δυαδικών ψηφίων που διατάσσονται η μια κάτω από την άλλη. Διαμορφώνεται έτσι ένα ορθογωνικό πλέγμα $\mu \nu$ δυαδικών ψηφίων.

Κωδική λέξη		Πλέγμα δυαδικών ψηφίων
		ν
1	μ	1 0 1 1 0 1
2		0 1 0 0 0 1
3		1 0 0 1 1 0
4		0 1 1 1 0 0
5		0 0 1 1 1 0

(ii) Σε κάθε σειρά και στήλη του πλέγματος προστίθεται ψηφίο ελέγχου. Το επεκτεταμένο πλέγμα περιέχει επομένως $(\mu+1)(\nu+1)$ δυαδικά ψηφία.

Κωδική λέξη		Επεκτεταμένο πλέγμα δυαδικών ψηφίων
		$\nu+1$
1	$\mu+1$	1 0 1 1 0 1 0
2		0 1 0 0 0 1 0
3		1 0 0 1 1 0 1
4		0 1 1 1 0 0 1
5		0 0 1 1 1 0 1
		0 0 1 0 0 0 1

Εξοδος Σ - διαίλου

1	$\mu+1$	1 0 1 1 0 0
2		0 1 0 0 0 0
3		1 0 0 1 1 0 1
4		0 1 1 0 0 1
5		0 0 1 1 1 0 1
		0 0 1 0 0 0 1

(iii) Στην έξοδο του Σ -διατύλου εμφανίζονται κενά στις θέσεις των αραλμάτων.

(iv) Εφαρμόζοντας έλεγχο ισότητας κατά τις δύο διαστάσεις του πλέγματος είναι δυνατό να διορθωθούν μέχρι και διπλά αράματα σε κάθε κωδική λέξη. Η διαδικασία διόρθωσης εκκινεί από τη σειρά / στήλη που εμφανίζει απλό αράμα. Στο συγκεκριμένο παράδειγμα διορθώνεται αρχικά το απλό αράμα στην πρώτη σειρά, μετά το αράμα που απομένει στην έκτη στήλη κ.λπ.

Αν $p, q = 1 - p$ είναι οι πιθανότητες ορθής και εσφαλμένης μετάδοσης, αντίστοιχα, οποιουδήποτε δυαδικού ψηφίου, σε κάθε κωδική λέξη $v+1$ ψηφίων συμβαίνουν κατά μέσο όρο $(v+1)q$ αράματα και στο πλέγμα που συγκροτείται από $\mu+1$ κωδικές λέξεις στην έξοδο του Σ -διατύλου θα υπάρχουν κατά μέσο όρο $(\mu+1)(v+1)q$ κενά. Εφόσον κάθε σειρά του πλέγματος περιέχει ένα ψηφίο ελέγχου, είναι δυνατό να διορθωθούν απλά αράματα. Επομένως σε κάθε σειρά απομένουν μετά τον έλεγχο ισότητας κατά μέσο όρο $(v+1)q - (v+1)p^v q \approx v(v+1)q^2 < (v+1)^2 q^2$ αράματα. Αν a_1 είναι η πιθανότητα αράματος σε κάθε δυαδικό ψηφίο μετά το έλεγχο ισότητας που διορθώνει απλά αράματα σε κάθε σειρά, το μέσο πλήθος κενών σε κάθε σειρά είναι $(v+1)a_1 < (v+1)^2 q^2$, δηλαδή :

$$a_1 < (v+1)q^2 \quad (4.29)$$

Η ύπαρξη ενός ψηφίου ελέγχου σε κάθε σειρά έχει σαν αποτέλεσμα να απομένουν κατά μέσο όρο $(\mu+1)(v+1)a_1 < (\mu+1)(v+1)^2 q^2$ κενά στο πλέγμα.

Επεκτείνοντας τον παραπάνω συλλογισμό, διαπιστώνεται ότι η ύπαρξη ενός ψηφίου ελέγχου σε κάθε στήλη έχει σαν αποτέλεσμα να διορθώνονται απλά αράματα σε κάθε στήλη, δηλαδή να απομένουν σε κάθε στήλη κατά μέσο όρο $(\mu+1)a_1 - (\mu+1)(1-a_1)^\mu a_1 \approx \mu(\mu+1)a_1^2 < (\mu+1)^2 a_1^2$ κενά. Αν a_2 είναι η πιθανότητα αράματος σε κάθε δυαδικό ψηφίο μετά τον έλεγχο ισότητας που διορθώνει απλά αράματα σε κάθε στήλη, το μέσο πλήθος αραμάτων σε κάθε στήλη είναι $(\mu+1)a_2 < (\mu+1)^2 a_1^2$, δηλαδή :

$$a_2 < (\mu+1)a_1^2 < (\mu+1)(v+1)^2 q^4 \quad (4.30)$$

Στο πλέγμα απομένουν τελικά κατά μέσο όρο $(v+1)(\mu+1)a_2 < (\mu+1)^2(v+1)^3 q^4$ κενά.

Αν $q = 0.01$ και $\mu = v = 9$, η παραπάνω ανάλυση δείχνει ότι η πιθανότητα αράματος

σε κάθε δυαδικό ψηφίο του πλέγματος είναι :

- $q = 0.01$ χωρίς έλεγχο ισοτιμίας
- $q_1 < 0.001$ με έλεγχο ισοτιμίας σε κάθε σειρά
- $q_2 < 0.00001$ με έλεγχο ισοτιμίας σε κάθε σειρά και στήλη

Επομένως με διδύναστο έλεγχο ισοτιμίας βελτιώνεται η πιθανότητα αράλματος σε κάθε δυαδικό ψηφίο τουλάχιστο 1000 φορές. Το τμήμα είναι ελάττωση του ρυθμού πληροφορίας κατά $1 - \mu/(μ+1)(ν+1)$, δηλαδή για το συγκεκριμένο παράδειγμα κατά 0.19 ή περίπου 20 % .

4.5 ΔΙΟΡΘΩΣΗ ΣΦΑΛΜΑΤΩΝ

Η απλούστερη τεχνική διόρθωσης σφαλμάτων στηρίζεται στην αρχή της ελάχιστης απόστασης μεταξύ της εσφαλμένης δυαδικής ν-άδας και της αντίστοιχης κωδικής λέξης.

ΟΡΙΣΜΟΣ : Απόσταση Hamming μεταξύ των δυαδικών ν-άδων $\alpha = (\alpha_1, \alpha_2, \dots, \alpha_\nu)$ και $\beta = (\beta_1, \beta_2, \dots, \beta_\nu)$ είναι το μέγεθος $D(\alpha, \beta) = (\alpha_1 \otimes \beta_1) + (\alpha_2 \otimes \beta_2) + \dots + (\alpha_\nu \otimes \beta_\nu)$, όπου \otimes είναι το σύμβολο της δυαδικής πρόσθεσης ($0 \otimes 0 = 1 \otimes 1 = 0$, $0 \otimes 1 = 1 \otimes 0 = 1$).

Οι ιδιότητες της απόστασης Hamming είναι :

- $D(\alpha, \beta) = 0$ αν $\alpha = \beta$
- $D(\alpha, \beta) = D(\beta, \alpha) > 0$ αν $\alpha \neq \beta$
- $D(\alpha, \beta) + D(\beta, \gamma) \geq D(\alpha, \gamma)$

όπου α, β, γ είναι δυαδικές ν-άδες. Είναι φανερό ότι η απόσταση Hamming υποδηλώνει το πλήθος των δυαδικών ψηφίων που διαποροποιούνται στις δυαδικές ν-άδες. Αν $D(\alpha, \beta) = 0$, οι δυαδικές ν-άδες είναι ίδιες.

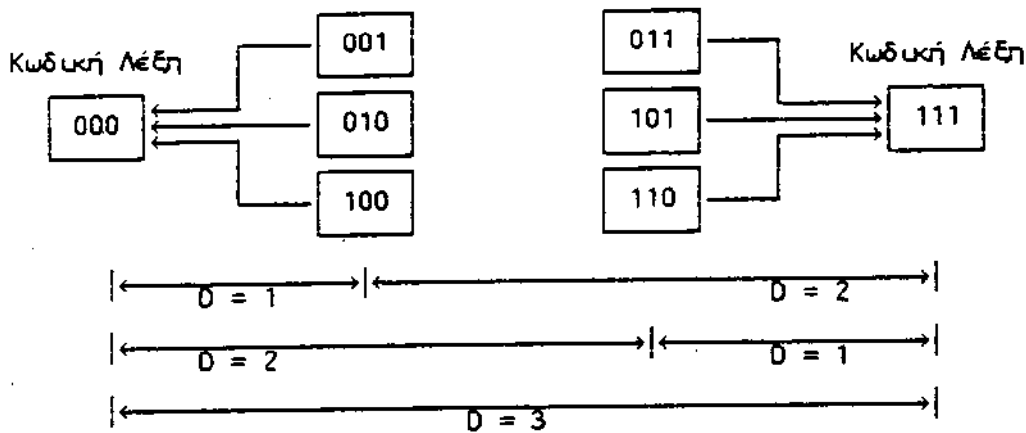
ΠΑΡΑΔΕΙΓΜΑ : Η απόσταση Hamming μεταξύ δυαδικών τριάδων είναι από 0 έως 3 όπως διαπιστώνεται από τον πίνακα 4.1.

Πίνακας 4.1

Απόσταση Hamming δυαδικών τριάδων

α	β	D(α,β)
000	000	0
111	111	0
110	111	1
110	101	2
010	101	3

Εστω ότι κατασκευάζεται δυαδικός κώδικας με ελάχιστη απόσταση Hamming μεταξύ κωδικών λέξεων $D_{\min} = 3$. Αν γίνει δεκτό ότι κατά τη μετάδοση συμβαίνουν μόνο σιλά σφάλματα, τότε κάθε δυαδική ν-άδα που δεν είναι κωδική λέξη αναγνωρίζεται σαν εσφαλμένη μορφή εκείνης της κωδικής λέξης από την οποία απέχει απόσταση Hamming $D = 1$. Ο κώδικας επιτρέπει τη διόρθωση σιλών σφαλμάτων χωρίς να αναγνωρίζεται το αλλοιωμένο ψηφίο. Στην περίπτωση δυαδικών τριάδων υπάρχουν μόνο δύο κωδικές λέξεις με απόσταση Hamming $D_{\min} = 3$. Η διαδικασία διόρθωσης σιλών σφαλμάτων σε δυαδικές τριάδες περιγράφεται στο διάγραμμα που ακολουθεί (σχ. 4.2).



Σχ. 4.2 Διόρθωση δυαδικών τριάδων με σιλό σφάλμα.

Με επέκταση του παραπάνω συλλογισμού διαπιστώνεται εύκολα ότι είναι δυνατό να διορθώνονται ο εσφαλμένα ψηφία σε κωδικές λέξεις με ελάχιστη απόσταση Hamming :

$$D_{\min} \geq 2s + 1 \tag{4.31}$$

Το πλήθος των δυαδικών ν-άδων που είναι δυνατό να χρησιμοποιηθούν σαν κωδικές

λέξεις με αμοιβαία απόσταση όπως απαιτεί η εξ. (4.31) προσδιορίζεται με τον εξής απλό συλλογισμό. Υπάρχουν συνολικά 2^v δυαδικές v -άδες. Το πλήθος των δυαδικών v -άδων που διαφοροποιούνται από κάποια δυαδική v -άδα αναφοράς σε σ ψηφία ή λιγότερα είναι $N = \binom{v}{0} + \binom{v}{1} + \dots + \binom{v}{\sigma}$. Αν λοιπόν χρησιμοποιηθούν ρ δυαδικές v -άδες σαν κωδικές λέξεις και σε κάθε μία από αυτές αντιστοιχούν N δυαδικές v -άδες με απόσταση Hamming από την κωδική λέξη $0 \leq \sigma$, πρέπει $\rho N \leq 2^v$:

$$\rho \leq \frac{2^v}{\sum_{i=0}^{\sigma} \binom{v}{i}} \quad (4.32)$$

Η εξ. (4.32) περιγράφει την αναγκαία αλλά όχι και κανή συνθήκη για τη δυνατότητα διόρθωσης σ αλλοιωμένων ψηφίων σε κωδικές λέξεις v ψηφίων που αντιστοιχούν σε ρ σύμβολα πληροφορίας. Αν $v = 4$ και $\sigma = 1$, η εξ. (4.32) καθορίζει $\rho \leq 3.2$. Είναι όμως εύκολο να διαπιστωθεί ότι υπάρχουν μόνο δύο δυαδικές τετράδες με ελάχιστη απόσταση Hamming $D_{\min} = 3$, που απαιτείται για διόρθωση απλών σφαλμάτων.

4.6 ΚΩΔΙΚΑΣ HAMMING

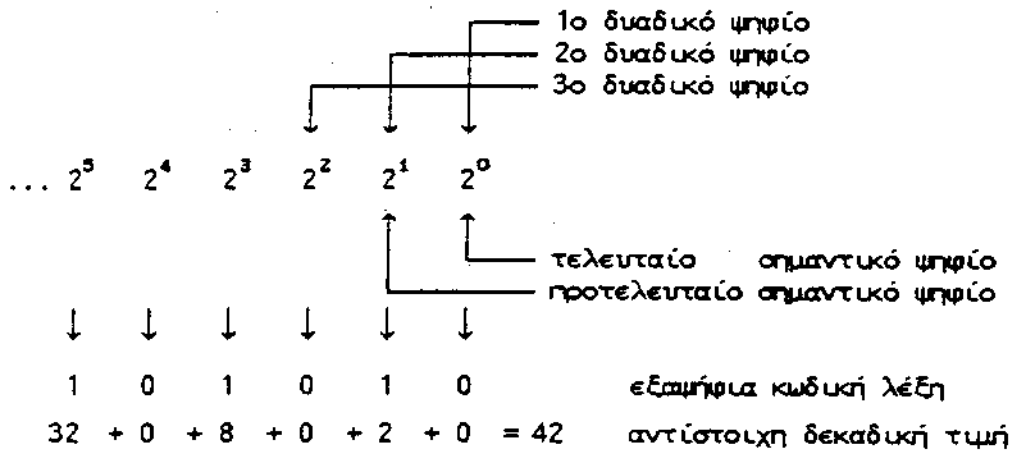
Η τεχνική κωδικοποίησης Hamming επιτρέπει την αναγνώριση της θέσης των αλλοιωμένων ψηφίων. Για την κατανόηση της τεχνικής δίνονται στο σχ. 4.3 οι απαραίτητες έννοιες.

Οι κωδικές Hamming με μ ψηφία πληροφορίας και v -μ ψηφία ελέγχου ανά κωδική λέξη, δομούνται σε τέσσερα βήματα :

(i) Μέσω των ψηφίων ελέγχου συγκροτείται το σύνδρομο, δηλαδή ένας αριθμός ελέγχου με v -μ δυαδικά ψηφία. Η δεκαδική τιμή του συνδρόμου αντιστοιχεί στη θέση του αλλοιωμένου ψηφίου. Επομένως το σύνδρομο πρέπει να παίρνει τόσες τιμές όσες είναι απαραίτητο για να περιληφθούν τα ενδεχόμενα (α) απλό σφάλμα σε οποιοδήποτε από τα μ ψηφία πληροφορίας, (β) απλό σφάλμα σε οποιοδήποτε από τα v -μ ψηφία ελέγχου και (γ) κανένα σφάλμα μετάδοσης, δηλαδή :

$$2^{v-\mu} \geq \mu + (v-\mu) + 1 = v + 1 \quad (4.33)$$

(ii) Οι v θέσεις δυαδικών ψηφίων σε κάθε κωδική λέξη αριθμούνται από 1 μέχρι v ξεκινώντας από το τελευταίο σημαντικό ψηφίο (σχ. 4.3). Τα $v-\mu$ ψηφία ελέγχου συμβολίζονται $E_0, E_1, \dots, E_{v-\mu-1}$ και τοποθετούνται στις θέσεις με τακτικό αριθμό $2^0 = 1, 2^1 = 2, \dots, 2^{v-\mu-1}$, αντίστοιχα. Τα ψηφία πληροφορίας, που συμβολίζονται $\Pi_0, \Pi_1, \dots, \Pi_{\mu-1}$ τοποθετούνται στις ενδιάμεσες κενές θέσεις, δηλαδή στην 3η, 5η, 6η, 7η, 9η, ... Στις ανώτερες θέσεις τοποθετούνται τα περισσότερο σημαντικά ψηφία.



α	...	10	9	8	7	6	5	4	3	2	1
β	...	1010	1001	1000	0111	0110	0101	0100	0011	0010	0001
γ	...	Π_5	Π_4	E_3	Π_3	Π_2	Π_1	E_2	Π_0	E_1	E_0

- α : τακτικός αριθμός θέσης (δεκαδική μορφή)
- β : τακτικός αριθμός θέσης (δυαδική μορφή)
- γ : ψηφία πληροφορίας $\Pi_i, i = 0, 1, 2, \dots, \mu-1$
- ψηφία ελέγχου $E_i, i = 0, 1, 2, \dots, v-\mu-1$

Σχ. 4.3 Δομή κωδικών λέξεων

(iii) Αν εφαρμοσθεί άρτια ισοότητα, τα ψηφία ελέγχου παίρνουν τέτοιες τιμές ώστε το πλήθος των μονάδων στις θέσεις που το καθένα ελέγχει να είναι άρτιο. Στον πίνακα 4.2 δίνονται οι θέσεις για τις οποίες είναι υπεύθυνο κάθε ψηφίο ελέγχου. Παρατηρείται ότι το ψηφίο ελέγχου $E_i, i = 0, 1, 2, \dots, v-\mu-1$, ελέγχει όλες τις

θέσεις με δυαδικό τακτικό αριθμό που έχει μονάδα στην 2^i -οστή θέση του. Μερικές από τις εξαιρέσεις ελέγχου δίνονται παρακάτω :

$$\begin{aligned}
 E_0 \circ \Pi_0 \circ \Pi_1 \circ \Pi_3 \circ \Pi_4 \circ \dots &= Z_0 \\
 E_1 \circ \Pi_0 \circ \Pi_2 \circ \Pi_3 \circ \Pi_5 \circ \dots &= Z_1 \\
 E_2 \circ \Pi_1 \circ \Pi_2 \circ \Pi_3 \circ \Pi_7 \circ \dots &= Z_2
 \end{aligned}
 \tag{4.34}$$

και εφόσον ικανοποιούνται τα κριτήρια άρτιας λούπτητας (ορθή μετάδοση) πρέπει $Z_0 = Z_1 = Z_2 = 0$.

Πίνακας 4.2
Ελεγχόμενες θέσεις από ψηφία ελέγχου E_0, E_1, E_2

Τακτικός Αριθμός Θέσης		Ψηφίο Ελέγχου		
Δεκαδική Μορφή	Δυαδική Μορφή	E_0	E_1	E_2
1	0001	X		
2	0010		X	
3	0011	X	X	
4	0100			X
5	0101	X		X
6	0110		X	X
7	0111	X	X	X
8	1000			
9	1001	X		
10	1010		X	
11	1011	X	X	
12	1100			X
13	1101	X		X
14	1110		X	X
15	1111	X	X	X

(iv) Με τα ψηφία Z_0, Z_1, Z_2, \dots διαμορφώνεται ο αριθμός ελέγχου $\Sigma = \dots Z_2 Z_1 Z_0$. (σύνδρομο) και η δεκαδική τιμή του δείχνει τη θέση του αλλοιωμένου ψηφίου. Αν

$\Sigma = 0$, δεν έχει γίνει σφάλμα κατά τη μετάδοση της κωδικής λέξης.

ΠΑΡΑΔΕΙΓΜΑ : Εστω 16 σύμβολα πληροφορίας που εκπροσωπούνται από τις 16 δυαδικές τετράδες. Η εξ. (4.33) υποδεικνύει ότι απαιτούνται 3 ψηφία ελέγχου για την κατασκευή του κώδικα Hamming. Επομένως οι κωδικές λέξεις θα είναι δυαδικές 7-άδες. Είναι γνωστό ότι υπάρχουν $2^7 = 128$ δυαδικές 7-άδες και από αυτές θα χρησιμοποιηθούν μόνο 16 για να εκπροσωπούν τα σύμβολα πληροφορίας. Τα ψηφία ελέγχου E_0, E_1, E_2 θα τοποθετηθούν στην 1η, 2η, 4η θέση, αντίστοιχα, ενώ τα ψηφία πληροφορίας $\Pi_0, \Pi_1, \Pi_2, \Pi_3$ θα τοποθετηθούν στην 3η, 5η, 6η, 7η θέση, αντίστοιχα. Επομένως η κωδική λέξη έχει τη μορφή $\Pi_3 \Pi_2 \Pi_1 E_2 \Pi_0 E_1 E_0$. Τα ψηφία ελέγχου προσδιορίζονται από τις εξ. (4.34) με $Z_0 = Z_1 = Z_2 = 0$. Εστω λοιπόν η λέξη πληροφορίας $\Pi_3 \Pi_2 \Pi_1 \Pi_0 = 0010$. Τα ψηφία ελέγχου ικανοποιούν τις εξισώσεις :

$$\begin{aligned} E_0 &= \Pi_0 \oplus \Pi_1 \oplus \Pi_3 = 0 \oplus 1 \oplus 0 = 1 \\ E_1 &= \Pi_0 \oplus \Pi_2 \oplus \Pi_3 = 0 \oplus 0 \oplus 0 = 0 \\ E_2 &= \Pi_1 \oplus \Pi_2 \oplus \Pi_3 = 1 \oplus 0 \oplus 0 = 1 \end{aligned} \quad (4.35)$$

και επομένως η κωδική λέξη είναι 0011001. Αν στην έξοδο του διαπίλου φθάσει η δυαδική 7-άδα 0111001, οι εξ. (4.34) υποδεικνύουν ότι :

$$\begin{aligned} Z_0 &= E_0 \oplus \Pi_0 \oplus \Pi_1 \oplus \Pi_3 = 1 \oplus 0 \oplus 1 \oplus 0 = 0 \\ Z_1 &= E_1 \oplus \Pi_0 \oplus \Pi_2 \oplus \Pi_3 = 0 \oplus 0 \oplus 1 \oplus 0 = 1 \\ Z_2 &= E_2 \oplus \Pi_1 \oplus \Pi_2 \oplus \Pi_3 = 1 \oplus 1 \oplus 1 \oplus 0 = 1 \end{aligned} \quad (4.36)$$

και επομένως το σύνδρομο είναι $\Sigma = 110$ ή $\Sigma = 6$ που δείχνει ότι έγινε σφάλμα στην 6η θέση. Επομένως η αρχή δυαδική 7-άδα είναι 0011001.

4.7 ΑΣΚΗΣΕΙΣ

1. Δίνεται το παρακάτω μητρώο διαύλου :

$$P(B/A) = \begin{bmatrix} 0.5 & 0.3 & 0.2 \\ 0.2 & 0.3 & 0.5 \\ 0.3 & 0.3 & 0.4 \end{bmatrix}$$

Αν τα σύμβολα εισόδου είναι ισοπίθανα, να καθορισθεί το σχήμα αποκωδικοποίησης που αντιστοιχεί στο κριτήριο του τέλειου παρατηρητή και στο κριτήριο της μέγιστης πιθανοφάνειας. Να υπολογισθεί η πιθανότητα εσφαλμένης αποκωδικοποίησης σε κάθε περίπτωση.

2. Η πιθανότητα ξ αραλμάτων κατά τη μετάδοση δυαδικών v -άδων περιγράφεται με τη δωνυμική κατανομή :

$$P(\xi/v) = \binom{v}{\xi} p^{v-\xi} (1-p)^\xi ; \xi = 0, 1, \dots, v$$

όπου p είναι η πιθανότητα ορθής μετάδοσης οποιουδήποτε δυαδικού ψηφίου. Να υπολογισθεί το μέσο πλήθος αραλμάτων κατά τη μετάδοση των δυαδικών v -άδων.

3. Δυαδικός συμμετρικός δίσυλος πληροφορίας χρησιμοποιείται για τη μετάδοση χαρακτήρων ASCII, δηλαδή δυαδικών 8-άδων. Αν η πηγή πληροφορίας στην είσοδο παράγει μόνο τα κεφαλαία γράμματα του Αγγλικού αλφαβήτου και η πιθανότητα αραλματος κατά τη μετάδοση οποιουδήποτε δυαδικού ψηφίου είναι 2%, να εκτιμηθεί η πιθανότητα εσφαλμένης μετάδοσης κάθε συμβόλου πληροφορίας.

4. Να υπολογισθεί το μέγιστο δυνατό πλήθος κωδικών λέξεων σε κώδικα διόρθωσης απλού αραλματος με λέξεις μήκους πέντε δυαδικών ψηφίων.

5. Το παρακάτω πλέγμα δυαδικών ψηφίων εμφανίζεται στην έξοδο Σ -διαύλου πληροφορίας που τροφοδοτείται από ορθογωνικό κωδικοποιητή. Να διορθωθούν τα αράματα και να γίνει αποκωδικοποίηση με την υπόθεση ότι για την κατασκευή των κωδικών λέξεων χρησιμοποιήθηκε κώδικας Hamming.

1	1		1	1	1	1	1
1	0		1		0	1	1
0	1	1	1		0	1	1
0		0	0	1	1		1
1	1	1	1	0	1		0
1	1	1		0	0	1	0
	1	0	0	0	1	1	0
1		1	0	0	0	1	

6. Να σχεδιασθεί κώδικας Hamming με 5-ψηφίες λέξεις και δυνατότητα διόρθωσης απλών σφαλμάτων. Αν η πιθανότητα σφάλματος κατά τη μετάδοση οποιουδήποτε δυαδικού ψηφίου είναι 1%, να υπολογισθεί η πιθανότητα εσφαλμένης αποκωδικοποίησης

7. Τα μηνύματα 1111111, 1001111, 011100010111110 έχουν κωδικοποιηθεί κατά Hamming. Να διορθωθούν τυχόντα σφάλματα και να αποκωδικοποιηθούν.

8. Να σχεδιασθεί κώδικας Hamming με δύο ψηφία ελέγχου. Να σχολιασθεί η μορφή των κωδικοποιημένων μηνυμάτων.

9. Το κωδικό μήνυμα 111010100000001101101010100 κατασκευάστηκε με κώδικα Hamming. Ο παρακάτω πίνακας, που είναι το κλειδί του αρχικού δυαδικού κώδικα, υποδεικνύει ότι κάθε κωδική λέξη περιέχει 5 δυαδικά ψηφία. Να αποκαλυφθεί το μήνυμα πληροφορίας αφού διορθωθούν σφάλματα.

A	00000	I	01111	Q	10011	Y	11100
B	10000	J	11111	R	00011	Z	01100
C	01000	K	00111	S	11011	\$	10100
D	00100	L	01011	T	10111	&	11000
E	00010	M	01101	U	10001	#	11110
F	00001	N	01110	V	10010	%	11101
G	01010	O	00101	W	11001	=	10110
H	00110	P	01001	X	10101	"	11010

Κεφάλαιο Πέντε

ΑΛΓΕΒΡΙΚΗ

ΚΩΔΙΚΟΠΟΙΗΣΗ

5.1 ΕΙΣΑΓΩΓΗ

Η ανάπτυξη κωδίκων που προσφέρουν τη δυνατότητα διόρθωσης πολλαπλών σφαλμάτων εμπλέκει σύνθετες μαθηματικές τεχνικές από την άλγεβρα των πεπερασμένων πεδίων (Galois) και τη θεωρία πρώτων πολυωνύμων. Στοιχεία για τα δύο αυτά μαθηματικά θέματα παρουσιάζονται σε παραρτήματα στο τέλος του κεφαλαίου. Είναι προφανές ότι όσα αναφέρονται εκεί αποτελούν την ελάχιστη βάση για τη μελέτη της δομής των αλγεβρικών κωδίκων.

Η αλγεβρική κωδικοποίηση αναπτύσσεται με εξαιρετική ταχύτητα και ήδη έχει διογκωθεί τόσο ώστε το κεφάλαιο αυτό να δίνει μόνο την ελάχιστη εικόνα της περιοχής.

5.2 ΚΩΔΙΚΕΣ ΟΜΑΔΑΣ

Είναι δομικοί κώδικες. Αν χρησιμοποιείται το δυαδικό αλφάβητο $\Delta_2 = \{0, 1\}$ και το μήκος των κωδικών λέξεων είναι n , τότε από το σύνολο των 2^n δυαδικών n -άδων

επιλέγονται 2^μ ($\mu \leq \nu$) κωδικές λέξεις. Σε κάθε κωδική λέξη υπάρχουν μ ψηφία πληροφορίας και $\nu - \mu$ ψηφία ελέγχου. Ο κώδικας λειτουργεί με περίσσεια ν/μ και ρυθμό πληροφορίας (απόδοση) μ/ν .

Το κωδικό αλφάβητο Δ_1 , εφοδιασμένο με τις πράξεις της άλγεβρας Boolean :

$$\begin{array}{ll}
 0 \oplus 1 = 1 & 0 \cdot 1 = 0 \\
 1 \oplus 0 = 1 & 1 \cdot 0 = 0 \\
 1 \oplus 1 = 0 & 1 \cdot 1 = 1 \\
 0 \oplus 0 = 0 & 0 \cdot 0 = 0
 \end{array} \tag{5.1}$$

ικανοποιεί όλες τις προϋποθέσεις του ορισμού ενός πεδίου (βλ. §5.II). Το απλούστατο αυτό πεδίο είναι γνωστό σαν πεδίο Galois και συμβολίζεται $GF(2)$.

Το σύνολο Δ_ν των δυαδικών ν -άδων αποτελεί αβελιανή ομάδα ως προς τη δυαδική πρόσθεση \oplus επειδή ικανοποιεί τις προϋποθέσεις που αναφέρονται στην §5.I. Αυτό είναι εύκολο να ελεγχθεί στην απλή περίπτωση δυαδικών τριάδων $\Delta_3 = \{ 000, 001, 010, 100, 011, 101, 110, 111 \}$:

(i) Αν $\alpha, \beta \in \Delta_3$, τότε $\alpha \oplus \beta (= \beta \oplus \alpha) \in \Delta_3$ (π.χ., για $\alpha = 010$ και $\beta = 100$, $\alpha \oplus \beta = 110 = \beta \oplus \alpha \in \Delta_3$).

(ii) Αν $\alpha, \beta, \gamma \in \Delta_3$, τότε $(\alpha \oplus \beta) \oplus \gamma = \alpha \oplus (\beta \oplus \gamma)$ (π.χ., για $\alpha = 111$, $\beta = 110$ και $\gamma = 101$, $(\alpha \oplus \beta) \oplus \gamma = 100 = \alpha \oplus (\beta \oplus \gamma)$).

(iii) Το σύνολο Δ_3 διαθέτει ουδέτερο στοιχείο. Αυτό είναι η ν -άδα που περιέχει μόνο μηδενικά (π.χ., $001 \oplus 000 = 000 \oplus 001 = 001$).

(iv) Κάθε ν -άδα ταυτίζεται με την αντίστροφη (αντίθετη) της (π.χ., $011 \oplus 011 = 000$).

Είναι προφανές ότι το σύνολο Δ_3 είναι κλειστό ως προς το βαθμωτό πολλαπλασιασμό με στοιχεία του δυαδικού συνόλου Δ_1 . Δηλαδή, αν $\alpha \in \Delta_3$ και $k \in \Delta_1$, τότε $k \cdot \alpha \in \Delta_3$ (π.χ., από το στοιχείο $101 \in \Delta_3$ προκύπτουν τα στοιχεία $101 = 1 \cdot 101$ και

$000 = 0 \cdot 101$ που ανήκουν στο σύνολο Δ_3) .

Οι δυαδικές n -άδες είναι δυνατό να θεωρηθούν σαν διανύσματα n -τάξεως. Κατ' επέκταση των παραπάνω το σύνολο Δ_n είναι κλειστό ως προς τη δυαδική πρόσθεση \oplus και το βαθμωτό πολλαπλασιασμό με στοιχεία του συνόλου Δ_1 . Κατά συνέπεια τα διανύσματα n -τάξεως ορίζουν διανυσματικό χώρο, έστω V_n , επί του πεδίου $GF(2)$ και ισχύουν όλες οι ιδιότητες που αναφέρονται στην §5.III για διανυσματικούς χώρους. Οι ιδιότητες αυτές επαναλαμβάνονται εδώ προσαρμοσμένες στην ορολογία των δομικών κωδίκων :

(i) Κάθε γραμμικός συνδυασμός κωδικών λέξεων είναι κωδική λέξη.

(ii) Οι κωδικές λέξεις X_1, X_2, \dots, X_μ είναι γραμμικά ανεξάρτητες αν υπάρχουν μ δυαδικά ψηφία k_1, k_2, \dots, k_μ , που δεν είναι όλα μηδέν, ώστε $k_1 \cdot X_1 \oplus k_2 \cdot X_2 \oplus \dots \oplus k_\mu \cdot X_\mu = 0$.

(iii) Είναι προφανές ότι υπάρχουν λιγότερες από 2^ν γραμμικά ανεξάρτητες κωδικές λέξεις μήκους ν δυαδικών ψηφίων. Η διάσταση του κώδικα, δηλαδή το μέγιστο πλήθος των γραμμικά ανεξάρτητων κωδικών λέξεων, είναι ν . Αυτό διαπιστώνεται θεωρώντας τις παρακάτω ν κωδικές λέξεις μήκους ν δυαδικών ψηφίων :

$$\begin{array}{c}
 \nu \\
 \left[\begin{array}{cccccccc}
 1 & 0 & 0 & 0 & 0 & \dots & 0 & 0 \\
 0 & 1 & 0 & 0 & 0 & \dots & 0 & 0 \\
 0 & 0 & 1 & 0 & 0 & \dots & 0 & 0 \\
 0 & 0 & 0 & 1 & 0 & \dots & 0 & 0 \\
 0 & 0 & 0 & 0 & 1 & \dots & 0 & 0 \\
 \dots & \dots & \dots & \dots & \dots & \dots & \dots & \dots \\
 0 & 0 & 0 & 0 & 0 & \dots & 1 & 0 \\
 0 & 0 & 0 & 0 & 0 & \dots & 0 & 1
 \end{array} \right.
 \end{array}$$

που αντιστοιχούν στα μοναδιαία διανύσματα κατά τους άξονες ν -διάστατου Ευκλείδειου χώρου.

(iv) Αν κάθε κωδική λέξη προκύπτει σαν γραμμικός συνδυασμός των ανεξάρτητων κωδικών λέξεων X_1, X_2, \dots, X_μ , τότε οι τελευταίες αποτελούν βάση του κώδικα. Αν

$X_\lambda = (k_{\lambda 1}, k_{\lambda 2}, \dots, k_{\lambda v})$, $\lambda = 1, 2, \dots, \mu$, το $\mu \times v$ μητρώο

$$K = \begin{bmatrix} k_{11} & k_{12} & \dots & k_{1v} \\ k_{21} & k_{22} & \dots & k_{2v} \\ k_{31} & k_{32} & \dots & k_{3v} \\ \dots & \dots & \dots & \dots \\ k_{\mu 1} & k_{\mu 2} & \dots & k_{\mu v} \end{bmatrix} \quad (5.2)$$

ονομάζεται γεννήτρια του κώδικα. Κάθε κωδική λέξη είναι γραμμικός συνδυασμός σειρών του μητρώου K . Εφόσον οι τελευταίες είναι διανύσματα v -τάξεως, διαμορφώνεται ο παρακάτω συνοπτικός ορισμός.

ΟΡΙΣΜΟΣ : Κώδικας ομάδας ή δυαδικός γραμμικός κώδικας είναι ο διανυσματικός χώρος επί του πεδίου $GF(2)$ που διατρέχουν οι σειρές κάποιας γεννήτριας $\mu \times v$ ($\mu \leq v$), με v και μ το πλήθος δυαδικών ψηφίων σε κάθε κωδική λέξη και τη διάσταση του κώδικα, αντίστοιχα. Αν $\mu = v$, τότε ο κώδικας είναι ουσιαστικά ο διανυσματικός χώρος V_v , ενώ στην περίπτωση $\mu < v$ ο κώδικας είναι κάποιος υπο-χώρος του V_v , που μπορεί να συμβολίζεται με V_v^μ ώστε να υποδεικνύεται με τον άνω δείκτη και η διάσταση του. Εύκολα διαπιστώνεται ότι ο κώδικας V_v^μ περιλαμβάνει 2^μ κωδικές λέξεις.

ΠΑΡΑΔΕΙΓΜΑ : Ο δυαδικός γραμμικός κώδικας V_3 με κωδικές λέξεις $\Delta_3 = \{000, 001, 010, 100, 011, 101, 110, 111\}$ διαμορφώνεται από τη γεννήτρια :

$$K = \begin{bmatrix} 1 & 0 & 0 \\ 0 & 1 & 0 \\ 0 & 0 & 1 \end{bmatrix} \quad (5.3)$$

Είναι φανερό ότι οι σειρές του μητρώου K είναι γραμμικά ανεξάρτητα διανύσματα 3ης-τάξεως και ακόμη ότι κάθε κωδική λέξη είναι κάποιος γραμμικός συνδυασμός των σειρών της γεννήτριας (π.χ. $110 = 1 \cdot 100 \oplus 1 \cdot 010 \oplus 0 \cdot 001$).

Προκειμένου να υπάρχει δυνατότητα διόρθωσης σφαλμάτων, απλών ή πολλαπλών, σε κάθε κωδική λέξη υπάρχουν εκτός από ψηφία πληροφορίας και ψηφία ελέγχου. Εστω ότι στις λέξεις του κώδικα V_v^μ υπάρχουν μ ψηφία πληροφορίας και $v-\mu$ ψηφία

ελέγχου. Με απλές πράξεις επί των σειρών ή/και αναδιατάξεις στηλών η γεννήτρια του κώδικα είναι δυνατό να γραφεί με την παρακάτω συστηματική μορφή :

$$K = [I_\mu | P] = \left[\begin{array}{cccc|cccc} 1 & 0 & 0 & \dots & 0 & p_{11} & p_{12} & \dots & p_{1,v-\mu} \\ 0 & 1 & 0 & \dots & 0 & p_{21} & p_{22} & \dots & p_{2,v-\mu} \\ 0 & 0 & 1 & \dots & 0 & p_{31} & p_{32} & \dots & p_{3,v-\mu} \\ \dots & \dots & \dots & \dots & \dots & \dots & \dots & \dots & \dots \\ 0 & 0 & 0 & \dots & 1 & p_{\mu 1} & p_{\mu 2} & \dots & p_{\mu,v-\mu} \end{array} \right] \quad (5.4)$$

όπου I_μ είναι $\mu \times \mu$ μοναδιαίο μητρώο και P είναι $\mu \times (v-\mu)$ μητρώο. Αν η κωδική λέξη γραφεί με τη μορφή $X = [\Pi | E]$ όπου $\Pi = [\pi_1 \pi_2 \pi_3 \dots \pi_\mu]$ και $E = [\epsilon_1 \epsilon_2 \epsilon_3 \dots \epsilon_{v-\mu}]$ περιέχουν αντίστοιχα τα ψηφία πληροφορίας και τα ψηφία ελέγχου, είναι φανερό ότι $X = \Pi K$ ή $[\Pi | E] = \Pi [I_\mu | P]$ και τελικά $E = \Pi P$:

$$[\epsilon_1 \epsilon_2 \epsilon_3 \dots \epsilon_{v-\mu}] = [\pi_1 \pi_2 \pi_3 \dots \pi_\mu] \left[\begin{array}{cccc} p_{11} & p_{12} & \dots & p_{1,v-\mu} \\ p_{21} & p_{22} & \dots & p_{2,v-\mu} \\ p_{31} & p_{32} & \dots & p_{3,v-\mu} \\ \dots & \dots & \dots & \dots \\ p_{\mu 1} & p_{\mu 2} & \dots & p_{\mu,v-\mu} \end{array} \right] \quad (5.5)$$

δηλαδή τα ψηφία ελέγχου προσδιορίζονται πολλαπλασιάζοντας τη σειρά των ψηφίων πληροφορίας Π με στήλες του μητρώου P . Ο κώδικας που διαμορφώνεται με τον τρόπο αυτό χαρακτηρίζεται *συστηματικός κώδικας ομάδας* επειδή η γεννήτρια του είχε συστηματική μορφή. Αλλά η τελευταία προκύπτει από γεννήτρια με μη συστηματική μορφή μετά από στοιχειώδεις πράξεις επί των σειρών ή/και αναδιατάξεις των στηλών. Εφόσον οι δύο μορφές είναι ισοδύναμες και οι αντίστοιχοι κώδικες θα είναι ισοδύναμοι, δηλαδή οι κωδικές λέξεις έχουν τα ίδια ψηφία αλλά ενδεχομένως σε διαφορετικές θέσεις. Είναι φανερό λοιπόν ότι κάθε κώδικας ομάδας είναι ισοδύναμος με συστηματικό κώδικα ομάδας.

Σύμφωνα με όσα αναφέρονται στην §5.III, το σύνολο των δυαδικών v -άδων που είναι ορθογώνιες προς τις σειρές της γεννήτριας αποτελεί επίσης υπο-χώρο του V_v που χαρακτηρίζεται σαν μηδενικός χώρος του V_v^H , συμβολίζεται με ${}^0V_v^H$ και έχει διάσταση $v-\mu$. Επομένως ${}^0V_v^H (= V_v^{v-\mu})$ είναι επίσης κάποιος κώδικας ομάδας που

περιλαμβάνει $2^{v-\mu}$ κωδικές λέξεις. Αντιστρέφοντας τα παραπάνω, το σύνολο των δυαδικών v -άδων που είναι ορθογώνιες προς τις σειρές της γεννήτριας του κώδικα $V_v^{-\mu}$ αποτελεί τον κώδικα ${}^0V_v^{-\mu} = V_v^{v-\mu} = V_v^\mu$. Ο κώδικας $V_v^{-\mu}$ χαρακτηρίζεται *διαδικός* του κώδικα V_v^μ και αντίστροφα.

ΠΑΡΑΔΕΙΓΜΑ : Εστω ο κώδικας ομάδας $V_3^2 = \{ 000\ 110\ 101\ 011 \}$. Εύκολα διαπιστώνεται ότι η γεννήτρια του κώδικα είναι το 2×3 μητρώο :

$$K = \begin{bmatrix} 1 & 1 & 0 \\ 0 & 1 & 1 \end{bmatrix} \quad (5.6)$$

και επομένως η διάσταση του κώδικα είναι 2, όπως ήδη δηλώθηκε με τον άνω δείκτη στο συμβολισμό V_3^2 . Το σύνολο $\{ 000\ 111 \}$ των δυαδικών τριάδων που είναι ορθογώνιες προς τις σειρές του μητρώου K αποτελεί, σύμφωνα με όσα προαναφέρθηκαν, τον κώδικα ομάδας V_3^1 με διάσταση 1. Η γεννήτρια του τελευταίου είναι το μητρώο $[1\ 1\ 1]$ και είναι προφανές ότι ο κώδικας V_3^2 περιλαμβάνει όλες τις κωδικές λέξεις που είναι ορθογώνιες προς τη μοναδική σειρά του μητρώου $[1\ 1\ 1]$ (π.χ. $110 \cdot 111 = 1 \cdot 1 \oplus 1 \cdot 1 \oplus 0 \cdot 1 = 0$).

Αν X είναι λέξη του κώδικα V_v^μ και H είναι η γεννήτρια του κώδικα $V_v^{-\mu}$, που είναι $(v-\mu) \times v$ μητρώο, τότε η ορθογωνικότητα μεταξύ X και οποιασδήποτε σειράς του μητρώου H περιγράφεται με τη σχέση $X \cdot H^T = 0$, όπου H^T είναι το ανάστροφο του H , δηλαδή $v \times (v-\mu)$ μητρώο. Έχει ήδη αποδειχθεί ότι $X = PK$ και επομένως $PK \cdot H^T = 0$ για κάθε κωδική λέξη, οπότε πρέπει $K \cdot H^T = 0$. Αλλά $K = [I_\mu \mid P]$ και εύκολα διαπιστώνεται ότι $H = [-P^T \mid I_{v-\mu}]$. Το αρνητικό πρόσημο μπορεί να αγνοηθεί αφού η δυαδική αφαίρεση ισοδυναμεί με δυαδική πρόσθεση. Το μητρώο H χαρακτηρίζεται *μητρώο ελέγχου ισότητας* επειδή, όπως διαπιστώνεται από τα παραδείγματα που ακολουθούν, καθορίζει τις εξαιώσεις με τις οποίες προσδιορίζονται τα ψηφία ελέγχου και πραγματοποιούνται οι έλεγχοι για αποκάλυψη σφαλμάτων.

ΠΑΡΑΔΕΙΓΜΑ : Εστω συστηματικός κώδικας ομάδας V_7^4 με γεννήτρια :

$$K = [I_4 \mid P] = \left[\begin{array}{cccc|ccc} 1 & 0 & 0 & 0 & 1 & 0 & 1 \\ 0 & 1 & 0 & 0 & 1 & 1 & 1 \\ 0 & 0 & 1 & 0 & 1 & 1 & 0 \\ 0 & 0 & 0 & 1 & 0 & 1 & 1 \end{array} \right] \quad (5.7)$$

Η τυπική κωδική λέξη έχει τη δομή $X = [\Pi \mid \Xi] = [\pi_1 \pi_2 \pi_3 \pi_4 \epsilon_1 \epsilon_2 \epsilon_3]$. Τα ψηφία ελέγχου προκύπτουν από τις εξισώσεις :

$$\begin{aligned} \epsilon_1 &= \pi_1 \oplus \pi_2 \oplus \pi_3 \\ \epsilon_2 &= \pi_2 \oplus \pi_3 \oplus \pi_4 \\ \epsilon_3 &= \pi_1 \oplus \pi_2 \oplus \pi_4 \end{aligned} \quad (5.8)$$

που διαμοιρώνονται πολλαπλασιάζοντας τη σειρά $[\pi_1 \pi_2 \pi_3 \pi_4]$ με στήλες του μητρώου P.

ΠΑΡΑΔΕΙΓΜΑ : θεωρείται εδώ ο δυαδικός του κώδικα ομάδας του προηγούμενου παραδείγματος, δηλαδή ο κώδικας ομάδας V_7^3 με γεννήτρια :

$$H = [P^T \mid I_3] = \left[\begin{array}{cccc|ccc} 1 & 1 & 1 & 0 & 1 & 0 & 0 \\ 0 & 1 & 1 & 1 & 0 & 1 & 0 \\ 1 & 1 & 0 & 1 & 0 & 0 & 1 \end{array} \right] \quad (5.9)$$

Αν X είναι λέξη του κώδικα V_7^4 , πρέπει $X \cdot H^T = 0$ και επομένως προκύπτουν οι παρακάτω εξισώσεις για τα ψηφία ελέγχου :

$$\begin{aligned} \pi_1 \oplus \pi_2 \oplus \pi_3 \oplus \epsilon_1 &= 0 \\ \pi_2 \oplus \pi_3 \oplus \pi_4 \oplus \epsilon_2 &= 0 \\ \pi_1 \oplus \pi_2 \oplus \pi_4 \oplus \epsilon_3 &= 0 \end{aligned} \quad (5.10)$$

που είναι ισοδύναμες με τις εξ. (5.8) του προηγούμενου παραδείγματος.

Για τη διόρθωση σφαλμάτων σε κωδικές ομάδες χρησιμοποιείται το σίνδρομο του σφάλματος, δηλαδή ένας αριθμός που εξαρτάται από το σφάλμα και όχι από την κωδική λέξη στην οποία αυτό συνέβη. Εστω X κάποια λέξη του κώδικα ομάδας V_n^m . Αν κατά τη μετάδοση συμβεί απλό σφάλμα, τότε στο δέκτη του συστήματος επικοινωνίας λαμβάνεται η δυαδική ν-άδα $X \oplus \Lambda$, όπου Λ είναι δυαδική ν-άδα με 1 στη θέση του σφάλματος και 0 σε όλες τις άλλες θέσεις. Είναι φανερό ότι :

$$(X \otimes \Lambda) \cdot H^T = \Lambda \cdot H^T \neq 0 \quad (5.11)$$

Τα στοιχεία της σειράς $\Lambda \cdot H^T = [k_1 \ k_2 \ \dots \ k_{v-\mu}]$ ορίζουν το σύνδρομο $\Sigma = k_1 \ k_2 \ \dots \ k_{v-\mu}$ που υποδεικνύει τη θέση όπου συνέβη σφάλμα. Κάθε μοναδιαίο ψηφίο στο σύνδρομο αντιστοιχεί σε έλεγχο ισότητας που αποτυγχάνει. Αν εξετασθούν οι ελεγχόμενες θέσεις για κάθε αποτυχημένο έλεγχο ισότητας εντοπίζεται το ψηφίο που έχει αλλοιωθεί κατά τη μετάδοση.

ΠΑΡΑΔΕΙΓΜΑ : Εστω ο κώδικας του προηγούμενου παραδείγματος. Αν στην έξοδο του διαύλου πληροφορίας ληφθεί η κωδική λέξη 1010111, διαμορφώνεται το σύνδρομο $\Sigma = 100$ από την εξίσωση :

$$[1 \ 0 \ 0] = [1 \ 0 \ 1 \ 0 \ 1 \ 1 \ 1] \cdot \left[\begin{array}{cccc|ccc} 1 & 1 & 1 & 0 & 1 & 0 & 0 \\ 0 & 1 & 1 & 1 & 0 & 1 & 0 \\ 1 & 1 & 0 & 1 & 0 & 0 & 1 \end{array} \right]^T \quad (5.12)$$

Το σύνδρομο υποδεικνύει ότι απέτυχε ο πρώτος έλεγχος ισότητας. Η πρώτη από τις εξ. (5.10) δείχνει ότι το σφάλμα μπορεί να έχει γίνει σε κάποια από τις θέσεις $\pi_1, \pi_2, \pi_3, \epsilon_1$. Αλλά από τις υπόλοιπες εξ. (5.10) διαπιστώνεται ότι τα ψηφία π_1, π_2, π_3 είναι αωστά, οπότε εντοπίζεται το σφάλμα στη θέση του ψηφίου ϵ_1 . Επομένως η ορθή κωδική λέξη είναι 1010011.

Εύκολα διαπιστώνεται ότι το σύνδρομο Σ έχει ίδια διάταξη ψηφίων με κάποια στήλη του μητρώου ελέγχου ισότητας H . Οι στήλες του μητρώου H είναι επομένως όλες οι δυνατές μορφές συνδρόμου απλού σφάλματος. Αν δεν υπάρχει σφάλμα, δηλαδή $\Lambda = [0 \ 0 \ \dots \ 0]$, τότε $\Sigma = 00 \dots 0$. Το σύνδρομο απλού σφάλματος έχει συνολικά $v+1$ τιμές, δηλαδή v τιμές για την αποκάλυψη σφάλματος σε κάποια από τα v ψηφία της κωδικής λέξης και μία ακόμη (το μηδέν) για την περίπτωση να έχει μεταδοθεί η κωδική λέξη χωρίς αλλοίωση.

Το γινόμενο $X \cdot H^T$, με $X \in V_v^u$, αποτελεί ουσιαστικά κάποιο γραμμικό συνδυασμό σειρών του μητρώου ελέγχου ισότητας H . Δεδομένου ότι $X \cdot H^T = 0$ για κάθε κωδική λέξη X , οι σειρές του μητρώου H είναι γραμμικά εξαρτημένες. Αν D_{\min} είναι το ελάχιστο βάρος Hamming των κωδικών λέξεων, δηλαδή το ελάχιστο πλήθος μη μηδενικών ψηφίων σε κάθε λέξη, τότε D_{\min} σειρές του μητρώου H είναι γραμμικά

εξαρτημένες ή, ισοδύναμα, δεν υπάρχουν περισσότερες από $D_{\min} - 1$ γραμμικά ανεξάρτητες σειρές. Η δομή του μητρώου $H = [P^T \mid I_{v-\mu}]$ υποδεικνύει ότι η τάξη σειρών του, δηλαδή το πλήθος των γραμμικά ανεξάρτητων σειρών του, είναι το πολύ $v-\mu$. Επομένως πρέπει $v-\mu \geq D_{\min} - 1$, ή :

$$D_{\min} \leq v - \mu + 1 \quad (5.13)$$

δηλαδή το ελάχιστο βάρος Hamming των λέξεων του κώδικα V_v^μ είναι φραγμένο από πάνω. Αν προστεθεί ένα επιπλέον ψηφίο ελέγχου σε κάθε λέξη του κώδικα, τότε προκύπτει ο επεκτεταμένος κώδικας V_{v+1}^μ . Η ελάχιστη απόσταση Hamming μεταξύ των κωδικών λέξεων γίνεται $D_{\min} + 1$ αν το πρόσθετο ψηφίο ελέγχου προκύπτει με άρτιο έλεγχο ισοτιμίας. Το μητρώο ελέγχου ισοτιμίας του επεκτεταμένου κώδικα έχει τη μορφή :

$$H_e = \left[\begin{array}{cccc|c} & & & & 0 \\ & & & & \vdots \\ & & H & & 0 \\ \hline 1 & 1 & \dots & 1 & 1 \end{array} \right] \quad (5.14)$$

και η τελευταία σειρά αφορά σε έλεγχο ισοτιμίας επί όλων των ψηφίων της διαδικτής $(v+1)$ -άδας που χρησιμοποιείται σαν κωδική λέξη.

Πίνακας 5.1

Κανονική διάταξη διαδικτών v -άδων

	X_1	X_2	X_3	X_4	...
Λ_1	$X_1 \otimes \Lambda_1$	$X_2 \otimes \Lambda_1$	$X_3 \otimes \Lambda_1$	$X_4 \otimes \Lambda_1$...
Λ_2	$X_1 \otimes \Lambda_2$	$X_2 \otimes \Lambda_2$	$X_3 \otimes \Lambda_2$	$X_4 \otimes \Lambda_2$...
Λ_3	$X_1 \otimes \Lambda_3$	$X_2 \otimes \Lambda_3$	$X_3 \otimes \Lambda_3$	$X_4 \otimes \Lambda_3$...
Λ_4	$X_1 \otimes \Lambda_4$	$X_2 \otimes \Lambda_4$	$X_3 \otimes \Lambda_4$	$X_4 \otimes \Lambda_4$...
...

Η διόρθωση σφαλμάτων σε κωδική ομάδα V_v^μ μπορεί να πραγματοποιηθεί και με τη βοήθεια της κανονικής διάταξης των διαδικτών v -άδων (βλ. πίνακα 5.1) που κατασκευάζεται με τα εής βήματα. Στην πρώτη σειρά τοποθετούνται όλες οι κωδικές λέξεις. Στη συνέχεια επιλέγεται κάποια διαδικτή v -άδα, έστω Λ_1 , που δεν έχει

χρησιμοποιηθεί μέχρι τότε και διαμοιράζονται τα στοιχεία της δεύτερης σειράς προσθέτοντας σε κάθε κωδική λέξη τη δυαδική ν-άδα Λ_1 . Για την τρίτη σειρά επιλέγεται κάποια δυαδική ν-άδα, έστω Λ_2 , που δεν έχει χρησιμοποιηθεί μέχρι τότε και διαμοιράζονται τα στοιχεία της σειράς προσθέτοντας στις κωδικές λέξεις τη δυαδική ν-άδα Λ_2 . Η διαδικασία αυτή συνεχίζεται μέχρι να εμφανισθούν στην κανονική διάταξη όλες οι δυαδικές ν-άδες. Η κανονική διάταξη αναγνωρίζεται σαν το μητρώο παρασυνόλων που ορίσθηκε στην § 5.1. Οι σειρές της κανονικής διάταξης αντιστοιχούν στα παρασύνολα με οδηγούς τα στοιχεία $\Lambda_1, \Lambda_2, \dots$

Είναι φανερό ότι προσθέτοντας τους οδηγούς $\Lambda_1, \Lambda_2, \dots$ στην κωδική λέξη, έστω X_1 , προκύπτουν αλλοιωμένες (εσφαλμένες) μορφές της και μάλιστα οι θέσεις που καταλαμβάνονται από 1 σε κάθε οδηγό είναι οι θέσεις όπου γίνονται τα αφάλματα. Επομένως κάθε στήλη της κανονικής διάταξης περιέχει στην κορυφή μια κωδική λέξη και από κάτω τις εσφαλμένες μορφές της. Αν οι οδηγοί επιλέγονται έτσι ώστε να έχουν το ελάχιστο βάρος Hamming, τότε σε κάθε στήλη της κανονικής διάταξης εμφανίζονται οι πιθανότερες αλλοιωμένες μορφές της κωδικής λέξης που βρίσκεται στην κορυφή της. Το σχήμα αποκωδικοποίησης είναι απλό. Η λαμβανόμενη δυαδική ν-άδα αναγνωρίζεται μέσα στην κανονική διάταξη και, εφόσον δεν βρίσκεται στην πρώτη σειρά, θεωρείται ότι προέρχεται από την κωδική λέξη που βρίσκεται στην κορυφή της ίδιας στήλης.

Πίνακας 5.2
Κανονική διάταξη δυαδικών 5-άδων

	X_1	X_2	X_3	X_4
00000	00000	01111	10011	11100
10000	10000	11111	00011	01100
01000	01000	00111	11011	10100
00100	00100	01011	10111	11000
00010	00010	01101	10001	11110
00001	00001	01110	10010	11101
01010	01010	00101	11001	10110
00110	00110	01001	10101	11010

ΠΑΡΑΔΕΙΓΜΑ : Έστω κώδικας που χρησιμοποιεί τις δυαδικές 5-άδες 00000, 01111, 10011, 11100. Υπάρχουν 32 δυαδικές 5-άδες και η κανονική διάταξη (βλ. πίνακα 5.2) θα έχει 8 σειρές με οδηγούς τις δυαδικές 5-άδες 10000, 01000,

00100, 00010, 00001 που αντιστοιχούν σε απλό σφάλμα και τις δυαδικές 5-άδες 01010, 00110 που αντιστοιχούν σε διπλά σφάλματα. Είναι φανερό ότι υπάρχουν περισσότερες από 2 δυνατότητες διπλού σφάλματος και επομένως υπάρχει κάποια ελευθερία στην επιλογή των δύο τελευταίων οδηγιών της κανονικής διάταξης. Κριτήριο για την επιλογή τους θα μπορούσε να είναι ότι αντιστοιχούν στις πιθανότερες περιπτώσεις διπλού σφάλματος. Με βάση την παραπάνω κανονική διάταξη, αν ληφθεί η δυαδική 5-άδα 01101, που βρίσκεται στην τρίτη στήλη, αναγνωρίζεται σαν αλλοιωμένη μορφή της κωδικής λέξης 01111. Εύκολα διαπιστώνεται ότι η απόσταση Hamming μεταξύ της εσφαλμένης 5-άδας 01101 και κάποιας κωδικής λέξης γίνεται ελάχιστη για την κωδική λέξη 01111.

Η πιθανότητα ορθής αποκωδικοποίησης με χρήση της κανονικής διάταξης δίνεται, στην περίπτωση δυαδικού συμμετρικού διαύλου πληροφορίας από την έκφραση :

$$p_0 = \gamma_0 p^v + \gamma_1 (1-p) p^{v-1} + \gamma_2 (1-p)^2 p^{v-2} + \dots \quad (5.15)$$

όπου $\gamma_0, \gamma_1, \gamma_2, \dots$ είναι το πλήθος οδηγιών με βάρος Hamming 0, 1, 2, ..., αντίστοιχα, και p είναι η πιθανότητα ορθής μετάδοσης κάθε δυαδικού ψηφίου. Για τον κώδικα του προηγούμενου παραδείγματος $\gamma_0 = 1, \gamma_1 = 5, \gamma_2 = 2$ και αν $p = 0.9$, προκύπτει πιθανότητα ορθής αποκωδικοποίησης $p_0 = 0.9332$. Επομένως η πιθανότητα εσφαλμένης αποκωδικοποίησης είναι $p_e = 1 - p_0 = 0.0669$.

5.2.1 ΚΩΔΙΚΕΣ HAMMING

Οι δυαδικοί κώδικες Hamming είναι κώδικες ομάδας της μορφής $v = 2^x - 1, \mu = 2^x - k - 1$ όπου k θετικός ακέραιος. Αν $k = 3$, τότε προκύπτει ο κώδικας V_7^4 . Επειδή τα ψηφία ελέγχου είναι τοποθετημένα σε κατάλληλες θέσεις (βλ. §4.6), η δεκαδική τιμή του συνδρόμου υποδεικνύει τη θέση του σφάλματος.

5.2.2 ΚΩΔΙΚΕΣ HADAMARD

Προκύπτουν επιλέγοντας σαν κωδικές λέξεις τις σειρές ενός μητρώου Hadamard. Το τελευταίο είναι $v \times v$ δυαδικό μητρώο με την ιδιότητα κάθε σειρά του να διαιρεί

από οποιαδήποτε άλλη σειρά σε $v/2$ θέσεις. Μία σειρά του μητρώου Hadamard περιέχει μόνο μηδενικά ενώ όλες οι άλλες περιέχουν $v/2$ μηδενικά και $v/2$ μονάδες. Το απλούστερο μητρώο Hadamard είναι :

$$M_2 = \begin{bmatrix} 0 & 0 \\ 0 & 1 \end{bmatrix} \quad (5.16)$$

και τα συνθετώτερα μέλη της οικογένειας προκύπτουν με την αναδρομική σχέση :

$$M_{2v} = \begin{bmatrix} M_v & M_v \\ M_v & \bar{M}_v \end{bmatrix} \quad (5.17)$$

όπου \bar{M}_v είναι το συμπληρωματικό του M_v που προκύπτει εναλλάσσοντας 0 και 1. Σαν παράδειγμα δίνονται τα μητρώα M_4, \bar{M}_4 :

$$M_4 = \begin{bmatrix} 0 & 0 & 0 & 0 \\ 0 & 1 & 0 & 1 \\ 0 & 0 & 1 & 1 \\ 0 & 1 & 1 & 0 \end{bmatrix}, \quad \bar{M}_4 = \begin{bmatrix} 1 & 1 & 1 & 1 \\ 1 & 0 & 1 & 0 \\ 1 & 1 & 0 & 0 \\ 1 & 0 & 0 & 1 \end{bmatrix} \quad (5.18)$$

Οι σειρές των μητρώων M_4, \bar{M}_4 συνιστούν κώδικα ομάδας με $v = 4, \mu = 3$ και $D_{\min} = 2$. Γενικά οι κώδικες Hadamard έχουν παραμέτρους της μορφής $v = 2^k, \mu = k + 1, D_{\min} = 2^{k-1}$ όπου k θετικός ακέραιος.

5.2.3 ΚΩΔΙΚΑΣ GOLAY

Είναι ο κώδικας ομάδας V_{24}^{12} με $D_{\min} = 7$.

5.3 ΚΥΚΛΙΚΟΙ ΚΩΔΙΚΕΣ

Είναι κώδικες ομάδας εφοδιασμένοι με την κυκλική ιδιότητα : αν η δυαδική v -άδα

$$k_1 \quad k_2 \quad k_3 \quad \dots \quad k_v$$

είναι κωδική λέξη, τότε και οι δυαδικές v -άδες που προκύπτουν με κυκλική μετάθεση των κωδικών ψηφίων

$$k_v \quad k_1 \quad k_2 \quad \dots \quad k_{v-1}$$

$$k_{v-1} \quad k_v \quad k_1 \quad \dots \quad k_{v-2}$$

.....

$$k_2 \quad k_3 \quad k_4 \quad \dots \quad k_1$$

είναι κωδικές λέξεις. Η ενδιαφέρουσα δομή των κυκλικών κωδικών προσφέρεται για εφαρμογές σε σύγχρονα συστήματα επικοινωνιών.

Η σχεδίαση κυκλικών κωδικών στηρίζεται στη θεωρία πρώτων πολυωνύμων. Ενώ στους κωδικές ομάδας θεωρήθηκε ότι κάθε δυαδική v -άδα που χρησιμοποιείται σαν κωδική λέξη αντιστοιχεί σε διάνυσμα v -τάξεως, οι λέξεις κυκλικού κώδικα αντιστοιχίζονται σε $(v-1)$ -βαθμού πολυώνυμα, που έχουν v όρους. Αυτό πραγματοποιείται εύκολα θεωρώντας ότι τα κωδικά ψηφία είναι συντελεστές των δυνάμεων της (αυθαίρετης) ανεξάρτητης μεταβλητής x . Η τυπική κωδική λέξη $X = k_1 k_2 \dots k_v$ αντιστοιχεί στο πολυώνυμο :

$$X(x) = k_1 x^{v-1} + k_2 x^{v-2} + \dots + k_{v-1} x + k_v \quad (5.19)$$

Όπως αποδεικνύεται στην §5.V, το σύνολο P_v των $(v-1)$ -βαθμού, δυαδικών πολυωνύμων και η δυαδική πρόσθεση \oplus αποτελούν ομάδα. Η υπο-ομάδα των $(v-1)$ -βαθμού, δυαδικών πολυωνύμων που προκύπτουν με κυκλική μετάθεση των συντελεστών του πολυωνύμου $X(x)$ διαμορφώνεται με τη διαδικασία της παρακάτω εξίσωσης :

$$x^i X(x) = (x^v + 1)F(x) \oplus X_i(x) \quad (5.20)$$

Είναι προφανές ότι $X_i(x)$ είναι $(v-1)$ -βαθμού, δυαδικό πολυώνυμο αφού προκύπτει σαν υπόλοιπο της διαίρεσης $x^i X(x)/(x^v + 1)$. Αν $i = 0$, η εξ. (5.20) δίνει το αρχικό πολυώνυμο :

$$X_0(x) = X(x) = \kappa_1 x^{v-1} + \kappa_2 x^{v-2} + \dots + \kappa_{v-1} x + \kappa_v \quad (5.21)$$

ενώ για $i = 1$ προκύπτει το πολυώνυμο (βλ. §5.IV) :

$$X_1(x) \equiv xX(x) \pmod{(x^v + 1)} = \kappa_2 x^{v-1} + \kappa_3 x^{v-2} + \dots + \kappa_v x + \kappa_1 \quad (5.22)$$

Είναι φανερό ότι οι συντελεστές του πολυωνύμου $X_1(x)$ προκύπτουν από εκείνους του πολυωνύμου $X(x)$ με κυκλική μετάθεση κατά μία θέση. Εύκολα γενικεύεται αυτή η παρατήρηση : το πολυώνυμο $X_i(x) \equiv x^i X(x) \pmod{(x^v + 1)}$ προκύπτει από το πολυώνυμο $X_0(x) = X(x)$ με κυκλική μετάθεση των συντελεστών του κατά i θέσεις. Επομένως τα πολυώνυμα $X_i(x)$, $i = 0, 1, 2, \dots, v-1$, αντιστοιχίζονται σε λέξεις κυκλικού κώδικα με v δυαδικά ψηφία ανά λέξη.

Στη συνέχεια εισάγεται η συνήθης για κώδικα ομάδας υπόθεση ότι σε κάθε δυαδική v -άδα που χρησιμοποιείται σαν κωδική λέξη υπάρχουν μ ψηφία πληροφορίας και $v-\mu$ ψηφία ελέγχου. Δηλαδή η κωδική λέξη $X = \kappa_1 \kappa_2 \dots \kappa_v$ προέρχεται από τη λέξη πληροφορίας $\Pi = \pi_1 \pi_2 \dots \pi_\mu$, $\mu \leq v$, και αντιστοιχεί στο $(v-1)$ -βάθμιο, δυαδικό πολυώνυμο $X(x) = \Pi(x)K(x)$, όπου ο παράγων $\Pi(x) = \pi_1 x^{\mu-1} + \pi_2 x^{\mu-2} + \dots + \pi_{\mu-1} x + \pi_\mu$ χρησιμοποιεί σαν συντελεστές των δυνάμεων της μεταβλητής x τα ψηφία πληροφορίας. Ο παράγων $K(x)$ είναι $(v-\mu)$ -βάθμιο, δυαδικό πολυώνυμο και πρέπει να επιλεγεί έτσι ώστε να ικανοποιείται η κυκλική ιδιότητα που περιγράφεται με την εξ. (5.20) :

$$x^i \Pi(x)K(x) = (x^v + 1)F(x) \oplus X_i(x) \quad (5.23)$$

Αλλά $X_i(x) = \Pi_i(x)K(x)$ και επομένως το πολυώνυμο $K(x)$ είναι διαιρέτης του $(x^v + 1)F(x)$. Επιλέγεται λοιπόν το πολυώνυμο $K(x)$ σαν διαιρέτης του πολυωνύμου $x^v + 1$ και μάλιστα σαν ένας από τους $(v-\mu)$ -βάθμιο διαιρέτες. Κάθε επιλογή οδηγεί σε κυκλικό κώδικα και το πολυώνυμο $K(x)$ ονομάζεται, όπως είναι φυσικό, γεννήτρια του κυκλικού κώδικα.

ΠΑΡΑΔΕΙΓΜΑ : Εστω κυκλικός κώδικας με $v = 7$ και $\mu = 4$. Εύκολα διαπιστώνεται ότι $x^7 + 1 = (x + 1)(x^3 + x^2 + 1)(x^3 + x + 1)$ και επομένως διατίθενται σαν γεννήτριες τα πολυώνυμα $x^3 + x^2 + 1$ και $x^3 + x + 1$. Εστω $K(x) = x^3 + x^2 + 1$. Οι κωδικές λέξεις προκύπτουν πολλαπλασιάζοντας το πολυώνυμο $\Pi(x) = \pi_1 x^3 + \pi_2 x^2 + \pi_3 x + \pi_4$ με τη γεννήτρια $K(x)$. Οι κωδικές λέξεις που διαμοιρώνονται με τον τρόπο

αυτό δίνονται στον πίνακα 5.3 .

Πίνακας 5.3

Κυκλικός κώδικας V_7^4 με γεννήτρια $K(x) = x^3 + x^2 + 1$

Λέξη πληροφορίας	Κωδική Λέξη	Λέξη πληροφορίας	Κωδική Λέξη
1 0000	0000000	9 1000	1101000
2 0001	0001101	10 1001	1100101
3 0010	0011010	11 1010	1110010
4 0011	0010111	12 1011	1111111
5 0100	0110100	13 1100	1011100
6 0101	0111001	14 1101	1010001
7 0110	0101110	15 1110	1000110
8 0111	0100011	16 1111	1001011

Είναι φανερό ότι ο κυκλικός κώδικας χρησιμοποιεί τα μ ψηφία πληροφορίας για να προσδιορίσει τα v κωδικά ψηφία. Τα ψηφία πληροφορίας δεν εμφανίζονται όμως στην κωδική λέξη και η δομή της τελευταίας δεν επιτρέπει τη διακρίση μεταξύ ψηφίων πληροφορίας και ψηφίων ελέγχου. Αυτή η αδυναμία θεραπεύεται εισάγοντας τους **συστηματικούς κυκλικούς κώδικες** με την παρακάτω μέθοδο κωδικοποίησης.

Εστω η λέξη πληροφορίας $\Pi = \pi_1 \pi_2 \dots \pi_\mu$, $\mu \leq v$, που κατά τα γνωστά αντιστοιχεί στο πολυώνιο $\Pi(x) = \pi_1 x^{\mu-1} + \pi_2 x^{\mu-2} + \dots + \pi_{\mu-1} x + \pi_\mu$. Το πολυώνιο $x^{v-\mu} \Pi(x) = \pi_1 x^{v-1} + \pi_2 x^{v-2} + \dots + \pi_{\mu-1} x^{v-\mu+1} + \pi_\mu x^{v-\mu}$, διαιρούμενο με τη γεννήτρια $K(x)$, δίνει ηλίκο $F(x)$ και υπόλοιπο $E(x) = \epsilon_1 x^{v-\mu-1} + \epsilon_2 x^{v-\mu-2} + \dots + \epsilon_{v-\mu-1} x + \epsilon_{v-\mu}$ δηλαδή :

$$x^{v-\mu} \Pi(x) = F(x)K(x) \oplus E(x) \quad (5.24)$$

Επειδή η δυαδική πρόσθεση ισοδυναμεί με δυαδική αφαίρεση, η εξ. (5.24) γράφεται ως εξής :

$$x^{v-\mu} \Pi(x) \oplus E(x) = F(x)K(x) \quad (5.25)$$

και επομένως το πολυώνιο $x^{v-\mu} \Pi(x) \oplus E(x) = \pi_1 x^{v-1} + \pi_2 x^{v-2} + \dots + \pi_{\mu-1} x^{v-\mu+1} + \pi_\mu x^{v-\mu} + \epsilon_1 x^{v-\mu-1} + \epsilon_2 x^{v-\mu-2} + \dots + \epsilon_{v-\mu-1} x + \epsilon_{v-\mu}$ είναι πολλαπλάσιο της

γεννήτριας $K(x)$. Κατά συνέπεια οι συντελεστές του διαμορφώνουν λέξη του κυκλικού κώδικα και μάλιστα αυτή έχει τη μορφή $\pi_1\pi_2 \dots \pi_\mu \epsilon_1\epsilon_2 \dots \epsilon_{v-\mu}$, δηλαδή οι πρώτες μ θέσεις καταλαμβάνονται από τα ψηφία πληροφορίας και οι επόμενες $v-\mu$ θέσεις από τα ψηφία ελέγχου.

ΠΑΡΑΔΕΙΓΜΑ : Εστω η λέξη πληροφορίας 0011 του προηγούμενου παραδείγματος ($v = 7$, $\mu = 4$). Είναι φανερό ότι $\Pi(x) = \pi_1x^3 + \pi_2x^2 + \pi_3x + \pi_4 = x + 1$ και επομένως $x^{v-\mu}\Pi(x) = x^4 + x^3$. Σαν γεννήτρια του κυκλικού κώδικα θεωρήθηκε το πολυώνυμο $K(x) = x^3 + x^2 + 1$. Η διαίρεση $x^{v-\mu}\Pi(x)/K(x)$ δίνει πηλίκο $F(x) = x$ και υπόλοιπο $E(x) = x$. Επειδή $E(x) = \epsilon_1x^2 + \epsilon_2x + \epsilon_3$, προκύπτει $\epsilon_1 = 0$, $\epsilon_2 = 1$, $\epsilon_3 = 0$ και επομένως η κωδική λέξη είναι 0011010. Παρατηρείται αμέσως ότι τα πρώτα τέσσερα ψηφία συνιστούν τη λέξη πληροφορίας 0011. Στο προηγούμενο παράδειγμα η ίδια λέξη πληροφορίας είχε κωδικοποιηθεί σαν 0010111 και δεν ήταν δυνατό να αναγνωρισθούν ψηφία πληροφορίας και ψηφία ελέγχου.

Η αποκωδικοποίηση κυκλικών κώδικων είναι σχετικά απλή υπόθεση. Εστω ότι εκπέμπεται η δυαδική v -άδα X και λαμβάνεται η δυαδική v -άδα Y . Αυτές αντιστοιχούν στα πολυώνυμα $X(x)$ και $Y(x) = X(x) \oplus \Lambda(x) = \Pi(x)K(x) \oplus \Lambda(x)$, όπου $\Lambda(x)$ είναι το πολυώνυμο που εκπροσωπεί τυχόντα σφάλματα. Αν $Y(x) \equiv 0 \pmod{K(x)}$, δηλαδή $Y(x)$ είναι πολλαπλάσιο της γεννήτριας $K(x)$, η δυαδική v -άδα Y αναγνωρίζεται σαν κωδική λέξη παρόλο που μπορεί $\Lambda(x) \neq 0$. Γενικά όμως $Y(x) \equiv \Lambda(x) \pmod{K(x)}$, δηλαδή το πολυώνυμο $\Lambda(x)$ προκύπτει σαν υπόλοιπο της διαίρεσης $Y(x)/K(x)$. Στην περίπτωση απλού σφάλματος στη θέση i είναι φανερό ότι $\Lambda(x) = x^i$. Επειδή η εξίσωση $Y(x) = X(x) + \Lambda(x)$ ισοδυναμεί με την $Y(x) \oplus \Lambda(x) = X(x)$, αρκεί να προστεθούν τα πολυώνυμα $Y(x)$, $\Lambda(x)$ για να προσδιορισθεί η κωδική λέξη που είχε σταλεί.

5.3.1 ΚΥΚΛΙΚΟΙ ΚΩΔΙΚΕΣ HAMMING

Είναι κυκλικοί κώδικες με $v = 2^k - 1$, $v - \mu = k$ όπου k θετικός ακέραιος που εκπροσωπεί το πλήθος των ψηφίων ελέγχου.

5.3.2 ΚΥΚΛΙΚΟΣ ΚΩΔΙΚΑΣ GOLAY

Ο κώδικας Golay είχε εισαχθεί στην §5.2.3 σαν κώδικας ομάδας με $v = 23$, $\mu = 12$ και $D_{\text{min}} = 7$. Ο κυκλικός κώδικας Golay διατηρεί αυτά τα χαρακτηριστικά και προκύπτει από τη γεννήτρια $K(x) = x^{11} + x^9 + x^7 + x^5 + x^3 + x + 1$.

5.3.3 ΚΥΚΛΙΚΟΙ ΚΩΔΙΚΕΣ BCH

Οι κυκλικοί κώδικες BCH (Bose-Chaudhuri-Hocquenghem) έχουν χαρακτηριστικά $v = 2^r - 1$, $v - \mu \leq \lambda k$, $D_{\text{min}} = 2\lambda + 1$, όπου λ, k θετικοί ακέραιοι. Η γεννήτρια τέτοιων κωδύκων είναι κάποιος από τους παράγοντες του πολυωνύμου $x^{2^r - 1} + 1$, που συνήθως προσφέρονται σε πίνακες.

5.4 ΥΛΟΠΟΙΗΣΗ ΚΥΚΛΙΚΩΝ ΚΩΔΙΚΩΝ

Κάθε κυκλικός κώδικας V_v^μ γεννιάται από παράγοντα του πολυωνύμου $x^v + 1$. Η γεννήτρια του κυκλικού κώδικα είναι $(v - \mu)$ -βαθμού, ενικό, δυαδικό πολυώνυμο (βλ. §5.V) και μάλιστα πρώτο πολυώνυμο, δηλαδή πολυώνυμο που διαίρεείται μόνο από το ίδιο και φυσικά το τετριμμένο πολυώνυμο 1. Η τελευταία απαίτηση επιβάλλεται με σκοπό να αποκτήσει ο κώδικας την αναγκαία δομή για ευχερή υλοποίηση της διάταξης κωδικοποίησης/αποκωδικοποίησης. Στον πίνακα 5.4 δίνονται όλα τα πολυώνυμα μέχρι και 3ου-βαθμού, παρατίθενται οι παράγοντες τους και αναγνωρίζονται τα πρώτα πολυώνυμα που προσφέρονται για γεννήτριες κυκλικών κωδύκων.

Αν $K(x)$ είναι η γεννήτρια του κυκλικού κώδικα V_v^μ , οι κωδικές λέξεις εκπροσωπούνται από $(v - 1)$ -βαθμού, modulo- $K(x)$, δυαδικά πολυώνυμα. Όπως αποδεικνύεται στην §5.V το σύνολο P_v των $(v - 1)$ -βαθμού, δυαδικών πολυωνύμων, ειροδισμένο με τη δυαδική πρόσθεση \oplus , αποτελεί την ομάδα $\{P_v, \oplus\}$. Ο κυκλικός κώδικας V_v^μ , δηλαδή το σύνολο των $(v - 1)$ -βαθμού, modulo- $K(x)$, δυαδικών κωδικών πολυωνύμων, έχει τις παρακάτω ιδιότητες:

(i) Αν $X(x), \Psi(x) \in V_v^\mu$, τότε και $X(x) \otimes \Psi(x) \in V_v^\mu$, δηλαδή, (V_v^μ, \otimes) είναι υπο-ομάδα της (P_v, \otimes) . Υπενθυμίζεται ότι κάθε κυκλικός κώδικας είναι κώδικας ομάδας.

(ii) Αν $X(x) \in V_v^\mu$, τότε και $X_i(x) \equiv x^i X(x) \pmod{(x^v + 1)} \in V_v^\mu$, $i = 0, 1, \dots, v-1$.

Το σύνολο V_v^μ χαρακτηρίζεται σαν *κυκλική υπο-ομάδα* της ομάδας (P_v, \otimes) . Κατ' επέκταση της ιδιότητας (ii), αν $k \in \Delta_1$ και $X(x) \in V_v^\mu$, τότε και $kx^i \otimes X(x) \in V_v^\mu$, όπου με το σύμβολο \otimes εκπροσωπείται η πράξη του modulo-2 & modulo- $(x^v + 1)$ πολλαπλασιασμού (βλ. §5.V), δηλαδή τα πολυώνυμα $kx^i, X(x)$ πολλαπλασιάζονται με το συνήθη τρόπο modulo-2 και το γινόμενο ελαττώνεται σε $(v-1)$ -βαθμού, διαδικό πολυώνυμο χρησιμοποιώντας την εξίσωση $x^v = 1$. Με συνδυασμό των ιδιοτήτων (i) και (ii) διαπιστώνεται ότι, αν $X(x) \in V_v^\mu$ και $\Psi(x) \in P_v$, δηλαδή $\Psi(x) = k_1 x^{v-1} + k_2 x^{v-2} + \dots + k_{v-1} x + k_v$ με $k_1, k_2, \dots, k_v \in \Delta_1$, τότε και $X(x) \otimes \Psi(x) \in V_v^\mu$.

Πίνακας 5.4

Διαδικά πολυώνυμα μέχρι και 3ου-βαθμού

Βαθμός	Πολυώνυμο	Παράγοντες	Πρώτο Πολυώνυμο
0	1	1	1
1	x	1, x	x
1	x + 1	1, x + 1	x + 1
2	x ²	1, x, x ²	
2	x ² + 1	1, x + 1, x ² + 1	
2	x ² + x	1, x, x + 1, x ² + x	
2	x ² + x + 1	1, x ² + x + 1	x ² + x + 1
3	x ³	1, x, x ² , x ³	
3	x ³ + 1	1, x + 1, x ² + x + 1, x ³ + 1	
3	x ³ + x	1, x, x + 1, x ² + 1, x ³ + x	
3	x ³ + x + 1	1, x ³ + x + 1	x ³ + x + 1
3	x ³ + x ²	1, x, x ² , x + 1, x ³ + x ²	
3	x ³ + x ² + 1	1, x ³ + x ² + 1	x ³ + x ² + 1
3	x ³ + x ² + x	1, x, x ² + x + 1, x ³ + x ² + x	
3	x ³ + x ² + x + 1	1, x + 1, x ² + 1, x ³ + x ² + x + 1	

ΟΡΙΣΜΟΣ : Ιδανικό I του συνόλου P_v είναι κάθε υποσύνολο του με τις ιδιότητες :
 (i) $\{ I, \oplus \}$ είναι υπο-ομάδα της $\{ P_v, \oplus \}$ και (ii) αν $X(x) \in I$ και $A(x) \in P_v$,
 τότε και $X(x) \oplus A(x) \in I$.

Το σύνολο των κωδικών πολυωνύμων V_v^M με τις μέχρι τώρα ιδιότητες αποτελεί, κατά τον παραπάνω ορισμό, ιδανικό του συνόλου των $(v-1)$ -βαθμού, δυαδικών πολυωνύμων P_v . Δηλαδή κάθε κυκλική υπο-ομάδα του συνόλου P_v αποτελεί ιδανικό του.

ΛΗΜΜΑ : Αν $X(x), \Psi(x) \in I$, όπου I είναι κάποιο ιδανικό του P_v , τότε ο Μέγιστος Κοινός Διαιρέτης (ΜΚΔ) τους, έστω $Z(x)$, γράφεται με τη μορφή $Z(x) = A(x) \oplus X(x) \oplus B(x) \oplus \Psi(x)$ και επομένως $Z(x) \in I$.

ΛΗΜΜΑ : Κάθε πολυώνυμο που ανήκει στο ιδανικό I του συνόλου P_v είναι πολλαπλάσιο του μοναδικού πολυωνύμου ελάχιστου βαθμού του I . Το πολυώνυμο αυτό ονομάζεται **γεννήτρια** του ιδανικού I .

Εστω $K(x)$ η γεννήτρια του ιδανικού I . Αν $X(x) \in I$, τότε ο ΜΚΔ των $K(x)$ και $X(x)$, έστω $\Psi(x)$, ανήκει στο ιδανικό I σύμφωνα με το πρώτο λήμμα. Αν $K(x)$ δεν διαιρεί ακριβώς το πολυώνυμο $X(x)$, τότε ο ΜΚΔ τους θα είναι πολυώνυμο βαθμού κατώτερου εκείνου του $K(x)$. Αλλά αυτό δεν συμβιβάζεται με την υπόθεση ότι $K(x)$ είναι το ελάχιστου βαθμού πολυώνυμο του ιδανικού I . Επομένως το (αυθαίρετο) πολυώνυμο $X(x)$ του I είναι πολλαπλάσιο του $K(x)$. Αν δύο πολυώνυμα $K_1(x), K_2(x)$ είναι ελάχιστου βαθμού μέλη του ιδανικού I , τότε καθένα είναι πολλαπλάσιο του άλλου και επομένως ταυτίζονται. Δηλαδή υπάρχει μόνο μία γεννήτρια για το ιδανικό I .

ΛΗΜΜΑ : Εστω ιδανικό I του συνόλου P_v . Η γεννήτρια του $K(x)$ είναι παράγοντας του πολυωνύμου $x^v + 1$.

Σύμφωνα με το πρώτο λήμμα, ο ΜΚΔ των πολυωνύμων $K(x)$ και $x^v + 1$, έστω $\Lambda(x)$, γράφεται με τη μορφή $\Lambda(x) = A(x) \oplus K(x) \oplus B(x) \oplus (x^v + 1) = A(x) \oplus K(x) \equiv A(x)K(x) \pmod{x^v + 1}$ και $\Lambda(x) \in I$. Έχει ήδη γίνει δεκτό ότι το πολυώνυμο $\Lambda(x)$ διαιρεί ακριβώς τη γεννήτρια $K(x)$ του ιδανικού I . Αλλά, σύμφωνα με το δεύτερο λήμμα, η γεννήτρια $K(x)$ του ιδανικού I διαιρεί ακριβώς το πολυώνυμο $\Lambda(x)$ αφού $\Lambda(x) \in I$. Επομένως $\Lambda(x) = K(x)$ και μάλιστα $K(x)$ διαιρεί ακριβώς το πολυώνυμο $x^v + 1$.

ΘΕΩΡΗΜΑ : Κάθε κυκλικός κώδικας V_v^M αποτελεί ιδανικό του συνόλου P_v με

γεννήτρια κάποιο από τους $(n-1)$ -βαθμού διαιρέτες του πολυωνύμου $x^n + 1$.

Η παραγοντοποίηση του πολυωνύμου $x^n + 1$ ισοδυναμεί με τον προσδιορισμό των ριζών της εξίσωσης $x^n + 1 = 0$ ή, στο πλαίσιο της modulo-2 αριθμητικής, της εξίσωσης :

$$x^n - 1 = 0 \quad (5.26)$$

Είναι γνωστό ότι η εξ. (5.26) επιλύεται για $x_\lambda = \exp(2\pi j\lambda/n)$, $\lambda = 0, 1, \dots, n-1$. Μερικές από τις n -τάξεις ρίζες της μονάδας διαθέτουν την ελκυστική ιδιότητα να παράγουν με ύψωση σε δύναμη όλες τις υπόλοιπες ρίζες. Τέτοιες ρίζες, που ονομάζονται πρωταρχικές, συνδέονται, όπως θα φανεί παρακάτω, με τη δυνατότητα διόρθωσης σφαλμάτων σε κυκλικούς κώδικες. Είναι φανερό ότι η ρίζα $x_1 = \exp(2\pi j/n)$ είναι πρωταρχική αφού $x_1^\lambda = (\exp(2\pi j/n))^\lambda = \exp(2\pi j\lambda/n) = x_\lambda$, $\lambda = 0, 1, \dots, n-1$. Αλλά και κάθε ρίζα $x_\lambda = \exp(2\pi j\lambda/n)$ με λ πρώτο ακέραιο σε σχέση με n είναι πρωταρχική n -τάξεως ρίζα της μονάδας. Αυτό αποδεικνύεται με τον συλλογισμό που ακολουθεί. Αφού όλες οι n -τάξεως ρίζες της μονάδας προκύπτουν από την $x_\lambda = \exp(2\pi j\lambda/n)$ με ύψωση σε δύναμη, πρέπει :

$$\left[\exp(2\pi j\lambda/n) \right]^{\mu_1} \neq \left[\exp(2\pi j\lambda/n) \right]^{\mu_2} \quad \text{για } \mu_1 \neq \mu_2 \quad (5.27)$$

όπου $\mu_1, \mu_2 = 0, 1, \dots, n-1$. Η εξ. (5.27) γράφεται με την ισοδύναμη μορφή :

$$\exp(2\pi j\lambda(\mu_1 - \mu_2)/n) \neq 1 \quad \text{για } \mu_1 \neq \mu_2 \quad (5.28)$$

και ισχύει αν $\lambda(\mu_1 - \mu_2)/n$ δεν είναι ακέραιος. Εφόσον $\lambda < n$ και $|\mu_1 - \mu_2| < n$, αρκεί λ και n να μην έχουν κοινούς διαιρέτες. Επομένως πρωταρχική, n -τάξεως ρίζα της μονάδας προκύπτει για λ πρώτο ακέραιο σε σχέση με n .

ΛΗΜΜΑ : Κάθε λ -βαθμού, πρώτο (μη παραγοντοποίηση), ενικό, δυαδικό πολυώνυμο $K(x)$ παράγει πολυωνυμικό πεδίο $F_\lambda(x)$ που εκπροσωπεί το πεδίο Galois $GF(2^\lambda)$. Το σύνολο $F_\lambda(x)$ αποτελείται από $(\lambda-1)$ -βαθμού, δυαδικά πολυώνυμα, είναι κλειστό ως προς τη δυαδική πρόσθεση \oplus και το modulo-2 & modulo- $K(x)$ πολλαπλασιασμό \odot . Είναι προφανές ότι το σύνολο $F_\lambda(x)$ διαθέτει $2^\lambda - 1$ μη μηδενικά στοιχεία. Όλα τα μη μηδενικά στοιχεία του $F_\lambda(x)$ είναι ρίζες της εξίσωσης

$$x^{2^\lambda - 1} - 1 = 0 \quad (5.29)$$

και αντίστροφα. Κατά συνέπεια μερικά στοιχεία του συνόλου $F_3(x)$, που χαρακτηρίζονται πρωταρχικά, παράγουν με ύψωση σε δύναμη όλα τα υπόλοιπα.

Πίνακας 5.5

Στοιχεία $F_3(x)$

2ου-βαθμού Πολυώνυμο	Διαδικές 3-άδες
0	000
1	001
x	010
x + 1	011
x ²	100
x ² + 1	101
x ² + x	110
x ² + x + 1	111

ΠΑΡΑΔΕΙΓΜΑ : Από τον πίνακα 5.4 επιλέγεται το 3ου-βαθμού, πρώτο, ενικό, δυαδικό πολυώνυμο $K(x) = x^3 + x + 1$. Το πεδίο $(F_3(x), \oplus, \otimes)$ περιέχει όλα τα 2ου-βαθμού, δυαδικά πολυώνυμα (βλ. πίνακα 5.5) και είναι κλειστό ως προς τις πράξεις \oplus, \otimes . Η τελευταία ισοδυναμεί με το συνήθη πολλαπλασιασμό με μόνη διαφορά ότι το γινόμενο ελαττώνεται σε 2ου-βαθμού πολυώνυμο χρησιμοποιώντας την εξίσωση $K(x) = 0$, δηλαδή για το παράδειγμα την εξίσωση $x^3 = x + 1$.

Είναι εύκολο να αποδειχθεί ότι όλα τα μη μηδενικά στοιχεία του συνόλου $F_3(x)$ είναι 7ης-τάξεως ρίζες της μονάδας, δηλαδή ρίζες του πολυωνύμου $x^7 + 1$. Ενδεικτικά ελέγχεται το πολυώνυμο $x + 1$:

$$(x + 1)^7 + 1 = (x + 1)^2 \otimes (x + 1)^2 \otimes (x + 1)^2 \otimes (x + 1) + 1 =$$

$$(x^2 + 1) \otimes (x^2 + 1) \otimes (x^2 + 1) \otimes (x + 1) + 1 = (x^4 + 1) \otimes (x^3 + x^2 + x + 1) + 1 =$$

$$(x^2 + x + 1) \otimes x^2 + 1 = x^4 + x^3 + x^2 + 1 = x^2 + x + x + 1 + x^2 + 1 = 0 \quad (5.30)$$

Επιπλέον μπορεί να αποδειχθεί ότι κάθε μη μηδενικό στοιχείο του συνόλου $F_3(x)$

είναι πρωταρχικό. Ενδεικτικά ελέγχεται το στοιχείο x που πρέπει με ύψωση σε δύναμη να παράγει όλα τα στοιχεία του συνόλου $F_3(x)$:

$$x^0 = 1$$

$$x^1 = x$$

$$x^2 = x^2$$

$$x^3 = x + 1$$

$$x^4 = x^2 + x$$

$$x^5 = x^2 \oplus (x + 1) = x^2 + x^2 = x^2 + x + 1$$

$$x^6 = (x + 1) \oplus (x + 1) = x^2 + 1$$

ΘΕΩΡΗΜΑ : Εστω κυκλικός κώδικας V_v^μ με γεννήτρια $K(x)$ κάποιο $(v-\mu)$ -βαθμού, πρώτο, ενικό, διαδικό πολυώνυμο. Αν $v + 1 = 2^{v-\mu}$, η γεννήτρια $K(x)$ παράγει το πολυωνυμικό πεδίο $F_{v-\mu}(x)$ με στοιχεία όλα τα $(v-\mu-1)$ -βαθμού, διαδικά πολυώνυμα $E(x) = \epsilon_1 x^{v-\mu-1} + \epsilon_2 x^{v-\mu-2} + \dots + \epsilon_{v-\mu-1} x + \epsilon_{v-\mu}$ και υπάρχει η δυνατότητα αποκάλυψης απλού αράλματος.

Η γεννήτρια είναι παράγωγο του πολυωνύμου $x^{2^{v-\mu}-1} + 1 = x^v + 1$. Τα στοιχεία του πολυωνυμικού πεδίου $F_{v-\mu}(x)$ είναι $(v-\mu)$ -τάξεως ρίζες της μονάδας και μάλιστα το στοιχείο x είναι πρωταρχική ρίζα. Επομένως κάθε στοιχείο $E(x)$ αντιστοιχεί σε κάποια μορφή του συνδρόμου απλού αράλματος $\Lambda(x) = x^i$, $i = 0, 1, 2, \dots, v-1$. Το στοιχείο $E(x) = 0$ αντιστοιχεί στο σύνδρομο $\Lambda(x) = 0$ που υποδεικνύει ότι δεν έγινε αράμμα κατά τη μετάδοση της κωδικής λέξης. Τα κωδικά πολυώνυμα παράγονται με τη διαδικασία της εξ. (5.25) και ο κώδικας είναι προφανώς κυκλικός κώδικας Hamming.

ΘΕΩΡΗΜΑ : Αν $K_1(x), K_2(x)$ είναι γεννήτριες των ιδανικών I_1, I_2 του συνόλου P_v και $K_1(x)K_2(x) = x^v + 1$, τότε $X_1(x) \oplus X_2(x) = 0$ για $X_1(x) \in I_1, X_2(x) \in I_2$.

Αν $X_1(x) \in I_1, X_2(x) \in I_2$, τότε $X_1(x) = A(x)K_1(x), X_2(x) = B(x)K_2(x)$ και

επομένως $X_1(x)X_2(x) = A(x)B(x)(x^v + 1)$, δηλαδή $X_1(x)X_2(x) \equiv 0 \pmod{(x^v + 1)}$. Η ισοδύναμη $X_1(x) \otimes X_2(x) = 0$.

Αν $X_1(x) = \kappa_0 + \kappa_1 x + \dots + \kappa_{v-1} x^{v-1}$ και $X_2(x) = \lambda_0 + \lambda_1 x + \dots + \lambda_{v-1} x^{v-1}$ με $\kappa_i, \lambda_i \in \Delta_1$, $i = 0, 1, \dots, v-1$, τότε ο συντελεστής του όρου x^i στο γινόμενο $X_1(x) \otimes X_2(x)$ δίνεται από το άθροισμα :

$$\sum_{j=0}^{v-1} \kappa_j \lambda_{i-j} = 0 \quad (5.31)$$

με την παραδοχή $\lambda_{v+i} = \lambda_i$. Η εξ. (5.31) πρέπει να ισχύει για $i = 0, 1, \dots, v-1$ αν $X_1(x) \in I_1$ και $X_2(x) \in I_2$.

ΘΕΩΡΗΜΑ : Αν $K_1(x), K_2(x)$ είναι γεννήτριες των ιδανικών I_1, I_2 του συνόλου P_v και $K_1(x)K_2(x) = x^v + 1$, τότε η εξίσωση $X(x) \otimes K_{1,2}(x) = 0$ με $X(x) \in P_v$ εξισώνει ότι $X(x) \in I_{2,1}$, αντίστοιχα.

Αν $X(x) \in P_v$ και $X(x) \otimes K_2(x) = 0$, τότε $X(x)K_2(x) = A(x)(x^v + 1)$ και επομένως $X(x) = A(x)(x^v + 1)/K_2(x) = A(x)K_1(x)$, δηλαδή $X(x) \in I_1$.

Στη συνέχεια εφαρμόζονται τα θεωρήματα αυτά στην περίπτωση κυκλικού κώδικα V_v^μ . Η γεννήτρια του κώδικα είναι $(v-\mu)$ -βαθμού, πρώτο, ενικό, δυαδικό πολυώνυμο, έστω $K_1(x)$. Ο κυκλικός κώδικας V_v^μ είναι ιδανικό, έστω I_1 , του συνόλου P_v . Η γεννήτρια του κώδικα είναι και γεννήτρια του ιδανικού. Αν I_2 είναι ιδανικό του συνόλου P_v με γεννήτρια $K_2(x) = (x^v + 1)/K_1(x)$, τότε $K_2(x)$ είναι μ -βαθμού, ενικό, δυαδικό πολυώνυμο, δηλαδή $K_2(x) = \kappa_0 + \kappa_1 x + \dots + \kappa_{\mu-1} x^{\mu-1} + \kappa_\mu x^\mu$ και $\kappa_0 = \kappa_\mu = 1$ (γιατί ;). Το (αυθαίρετο) πολυώνυμο $X(x) = \lambda_0 + \lambda_1 x + \dots + \lambda_{v-1} x^{v-1}$ του συνόλου P_v είναι κωδικό πολυώνυμο, δηλαδή εκπροσωπεί λέξη του κυκλικού κώδικα V_v^μ , αν ανήκει στο ιδανικό I_1 και προϋπόθεση γι' αυτό είναι να ισχύει η εξίσωση $X(x) \otimes K_2(x) = 0$ ή, με εφαρμογή της εξ. (5.31) :

$$\sum_{j=0}^{\mu} \kappa_j \lambda_{i-j} = 0 \quad (5.32)$$

Η εξ. (5.32) αναγνωρίζεται σαν αναδρομική σχέση :

$$\lambda_i = \kappa_1 \lambda_{i-1} \oplus \kappa_2 \lambda_{i-2} \oplus \dots \oplus \kappa_\mu \lambda_{i-\mu} \quad (5.33)$$

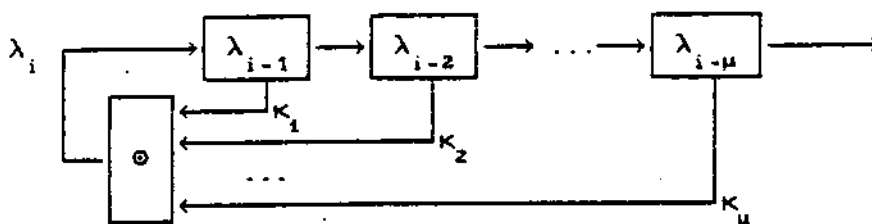
με την οποία προσδιορίζεται το ψηφίο λ_i όταν δίνονται μ προηγούμενα ψηφία $\lambda_{i-1}, \lambda_{i-2}, \dots, \lambda_{i-\mu}$. Εξυπνοείται ότι ο κωδικοποιητής εμφανίζει διαδοχικά τα διαδικα ψηφία της κωδικής λέξης στην έξοδο του και επομένως ο δεύκτης συνδέεται με τη χρονική στιγμή παραγωγής του διαδικού ψηφίου λ_i . Είναι φανερό ότι η αναδρομική σχέση της εξ. (5.33) αντιστοιχεί στο πολυώνυμο $K_2(x)$. Συγκεκριμένα τα ψηφία $\lambda_i, \lambda_{i-1}, \lambda_{i-2}, \dots, \lambda_{i-\mu}$ αντιστοιχίζονται στους όρους του πολυωνύμου $K_2(x)$ κατά το σχήμα :

$$K_2(x) = \kappa_0 + \kappa_1 x + \kappa_2 x^2 + \dots + \kappa_{\mu-1} x^{\mu-1} + \kappa_\mu x^\mu$$

$$\uparrow \quad \uparrow \quad \uparrow \quad \uparrow \quad \uparrow \quad \uparrow$$

$$0 = \kappa_0 \lambda_i \oplus \kappa_1 \lambda_{i-1} \oplus \kappa_2 \lambda_{i-2} \oplus \dots \oplus \kappa_{\mu-1} \lambda_{i-\mu+1} \oplus \kappa_\mu \lambda_{i-\mu} \quad (5.34)$$

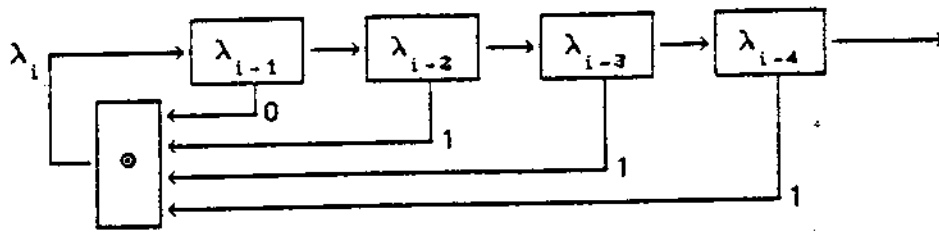
και η εξ. (5.34) αναγνωρίζεται σαν ισοδύναμη της εξ. (5.33) επειδή $\kappa_0 = 1$. Είναι φανερό ότι πολλαπλασιασμός επί x στο πολυώνυμο $K_2(x)$ αντιστοιχεί σε μετάθεση κατά μία θέση στην εξ. (5.34). Η αναδρομική σχέση της εξ. (5.34), δηλαδή ο μηχανισμός παραγωγής των κωδικών λέξεων, υλοποιείται με καταχωρητή μ -θέσεων (σχ.5.1). Τα ψηφία πληροφορίας $\pi_1 \pi_2 \dots \pi_\mu$ τοποθετούνται στις μ θέσεις του καταχωρητή. Οι κλάδοι ανάδρασης προσάγουν τα διαδικα ψηφία των μ θέσεων του καταχωρητή στην είσοδο του αθροιστή, δηλαδή το διαδικό ψηφίο $\lambda_i = \kappa_1 \lambda_{i-1} \oplus \kappa_2 \lambda_{i-2} \oplus \dots \oplus \kappa_\mu \lambda_{i-\mu}$ προσάγεται στην είσοδο του καταχωρητή και καταλαμβάνει την πρώτη θέση εκτοπίζοντας το διαδικό ψηφίο στην τελευταία θέση. Με ν επαναλήψεις της διαδικασίας παράγονται στην έξοδο του καταχωρητή μ ψηφία πληροφορίας ακολουθούμενα από $\nu-\mu$ ψηφία ελέγχου σε αντίστροφη διάταξη αφού πρώτα παράγονται τα λιγότερο σημαντικά ψηφία της κωδικής λέξης.



Σχ. 5.1 Καταχωρητής μ -θέσεων

ΠΑΡΑΔΕΙΓΜΑ : Εστω ο κυκλικός κώδικας V_7^4 με γεννήτρια $K(x) = x^3 + x^2 + 1$. Το πολυώνυμο $(x^7 + 1)/K(x) = x^4 + x^3 + x^2 + 1$ αντιστοιχεί στην αναδρομική σχέση

$\lambda_i = \lambda_{i-2} \oplus \lambda_{i-3} \oplus \lambda_{i-4}$ που υλοποιείται με τον παρακάτω καταχωρητή 4-θέσεων (σχ. 5.2).



Σχ. 5.2 Καταχωρητής 4-θέσεων για το πολυώνυμο $x^4 + x^3 + x^2 + 1$

Εστω η λέξη πληροφορίας 0011. Αν τοποθετηθούν τα ψηφία 0,0,1,1 στις τέσσερις θέσεις του καταχωρητή, τότε $\lambda_{i-1} = 0$, $\lambda_{i-2} = 0$, $\lambda_{i-3} = 1$, $\lambda_{i-4} = 1$ και επομένως $\lambda_i = 0 \oplus 1 \oplus 1 = 0$. Κατά τον πρώτο κύκλο ανάδρασης προσάγεται στην πρώτη θέση του καταχωρητή το ψηφίο 0 και εκτοπίζεται από την τέταρτη θέση το ψηφίο 1. Αν πραγματοποιηθούν 7 κύκλοι ανάδρασης, τότε το περιεχόμενο των τεσσάρων θέσεων και η έξοδος του καταχωρητή δίνονται στον πίνακα 5.6 .

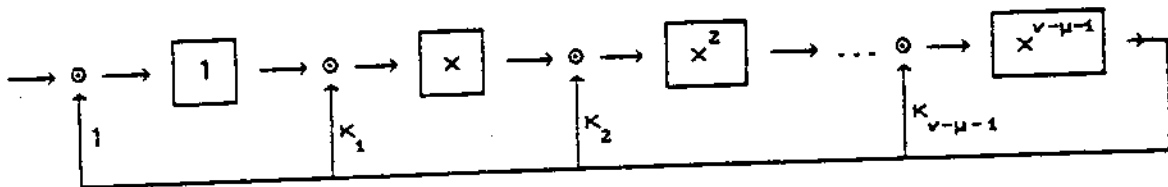
Πίνακας 5.6

Περιεχόμενο και έξοδος του καταχωρητή

θέση 1	θέση 2	θέση 3	θέση 4	Έξοδος	π_1	π_2	π_3	π_4	ϵ_1	ϵ_2	ϵ_3
0	0	1	1								
0	0	0	1	$1 = \pi_4$							
1	0	0	0	$1 = \pi_3$							
0	1	0	0	$0 = \pi_2$							
1	0	1	0	$0 = \pi_1$							
1	1	0	1	$0 = \epsilon_3$							
0	1	1	0	$1 = \epsilon_2$							
0	0	1	1	$0 = \epsilon_1$							

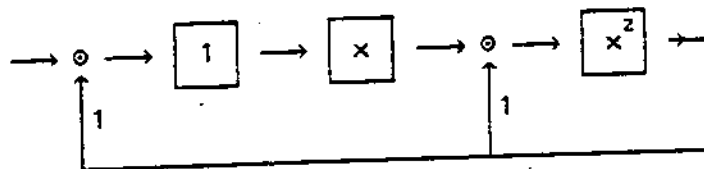
Ο καταχωρητής μ -θέσεων αντιστοιχεί στο πολυώνυμο $K_2(x) = (x^\nu + 1)/K_1(x)$ και διαθέτει μία θέση για κάθε ψηφίο πληροφορίας. Ο κυκλικός κώδικας V_ν^μ υλοποιείται και με τον καταχωρητή $(\nu-\mu)$ -θέσεων (σχ. 5.3) που αντιστοιχεί στη γεννήτρια $K_1(x) = \kappa_0 + \kappa_1 x + \dots + \kappa_{\nu-\mu} x^{\nu-\mu}$ με $\kappa_0 = \kappa_{\nu-\mu} = 1$ και διαθέτει μία θέση για κάθε ψηφίο ελέγχου. Ο κλάδος ανάδρασης υλοποιεί την εξίσωση $K_1(x) = 0$, δηλαδή την

εξίσωση $x^{v-\mu} = 1 + k_1x + \dots + k_{v-\mu-1}x^{v-\mu-1}$. Αν στην είσοδο του καταχωρητή προσαχθεί η διαδική ν-άδα που εκπροσωπείται από το πολυώνυμο $x^{v-\mu}\Pi(x)$, μετά από ν βήματα (και μ αναδράσεις) ο καταχωρητής (ν-μ)-θέσεων περιέχει τα διαδικά ψηφία ελέγχου $e_1, e_2, \dots, e_{v-\mu}$. Επομένως τροφοδοτώντας το πολυώνυμο $x^{v-\mu}\Pi(x)$ στον καταχωρητή (ν-μ)-θέσεων, που αντιστοιχεί στη γεννήτρια $K_1(x)$, υπολογίζεται το υπόλοιπο της διαίρεσης $x^{v-\mu}\Pi(x)/K_1(x)$. Η κωδική λέξη διαμορφώνεται προσθέτοντας τα ψηφία ελέγχου $e_1e_2\dots e_{v-\mu}$ στο τέλος της λέξης πληροφορίας $\pi_1\pi_2\dots\pi_\mu$.



Σχ. 5.3 Καταχωρητής (ν-μ)-θέσεων

ΠΑΡΑΔΕΙΓΜΑ : Εστω ο κυκλικός κώδικας V_7^4 με γεννήτρια $K(x) = x^3 + x^2 + 1$. Ο αντίστοιχος καταχωρητής 3-θέσεων (σχ. 5.4) υποδέχεται στην είσοδο του τη διαδική 4-άδα των ψηφίων πληροφορίας $\pi_4\pi_3\pi_2\pi_1$, με πρώτο από δεξιά το σημαντικότερο ψηφίο, και μετά από 7 βήματα (και 3 αναδράσεις) διαμορφώνονται στο εσωτερικό του τα ψηφία ελέγχου $e_3e_2e_1$. Το περιεχόμενο των τριών θέσεων του καταχωρητή σε κάθε βήμα της διαδικασίας δίνεται στον πίνακα 5.7. Στην είσοδο προσάγεται η λέξη πληροφορίας 0011 που αντιστρέφεται και επεκτείνεται στη διαδική 7-άδα 0001100.



Σχ. 5.4 Καταχωρητής 3-θέσεων

Θέση	6	5	4	3	2	1	0
Ψηφίο	0	1	1	1	0	1	0

Σχ. 5.5 Το σύνδρομο υποδεικνύει σφάλμα στην 5η θέση.

Πίνακας 5.7
 Διαδικασία κωδικοποίησης

Είσοδος	Θέση 1	Θέση 2	Θέση 3
0001100			
000110	0		
00011	0	0	
0001	1	0	0
000	1	1	0
00	0	1	1
0	1	0	0
	0 ↑ ϵ_3	1 ↑ ϵ_2	0 ↑ ϵ_1

Πίνακας 5.8
 Διαδικασία αποκωδικοποίησης

Είσοδος	Θέση 1	Θέση 2	Θέση 3
0101110			
010111	0		
01011	1	0	
0101	1	1	0
010	1	1	1
01	1	1	0
0	1	1	1
	1 ↑ ϵ_3	1 ↑ ϵ_2	0 ↑ ϵ_1

Επομένως η κωδική λέξη είναι 0011010. Κατά την αποκωδικοποίηση χρησιμοποιείται και πάλι ο καταχωρητής 3-θέσεων. Η λαμβανόμενη δυαδική 7-άδα προσάγεται στην είσοδο του καταχωρητή και μετά από 7 βήματα διαμορφώνεται στο εσωτερικό του καταχωρητή το σύνδρομο σφάλματος. Αν λοιπόν ληφθεί η δυαδική 7-άδα 0111010, οι θέσεις του καταχωρητή αποκτούν το περιεχόμενο του πίνακα 5.8 και τελικά διαμορφώνεται το σύνδρομο $\Lambda(x) = x + 1 = x^5$ που υποδεικνύει ότι έγινε σφάλμα

στην 5η θέση (σχ. 5.5).

Επομένως η ορθή δυαδική 7-άδα είναι, μετά την αντιστροφή, 0011010. Τα ψηφία ελέγχου δεν χρειάζονται πλέον και η λέξη πληροφορίας είναι η δυαδική 4-άδα 0011.

5.5 ΣΥΝΕΛΙΚΤΙΚΟΙ ΚΩΔΙΚΕΣ

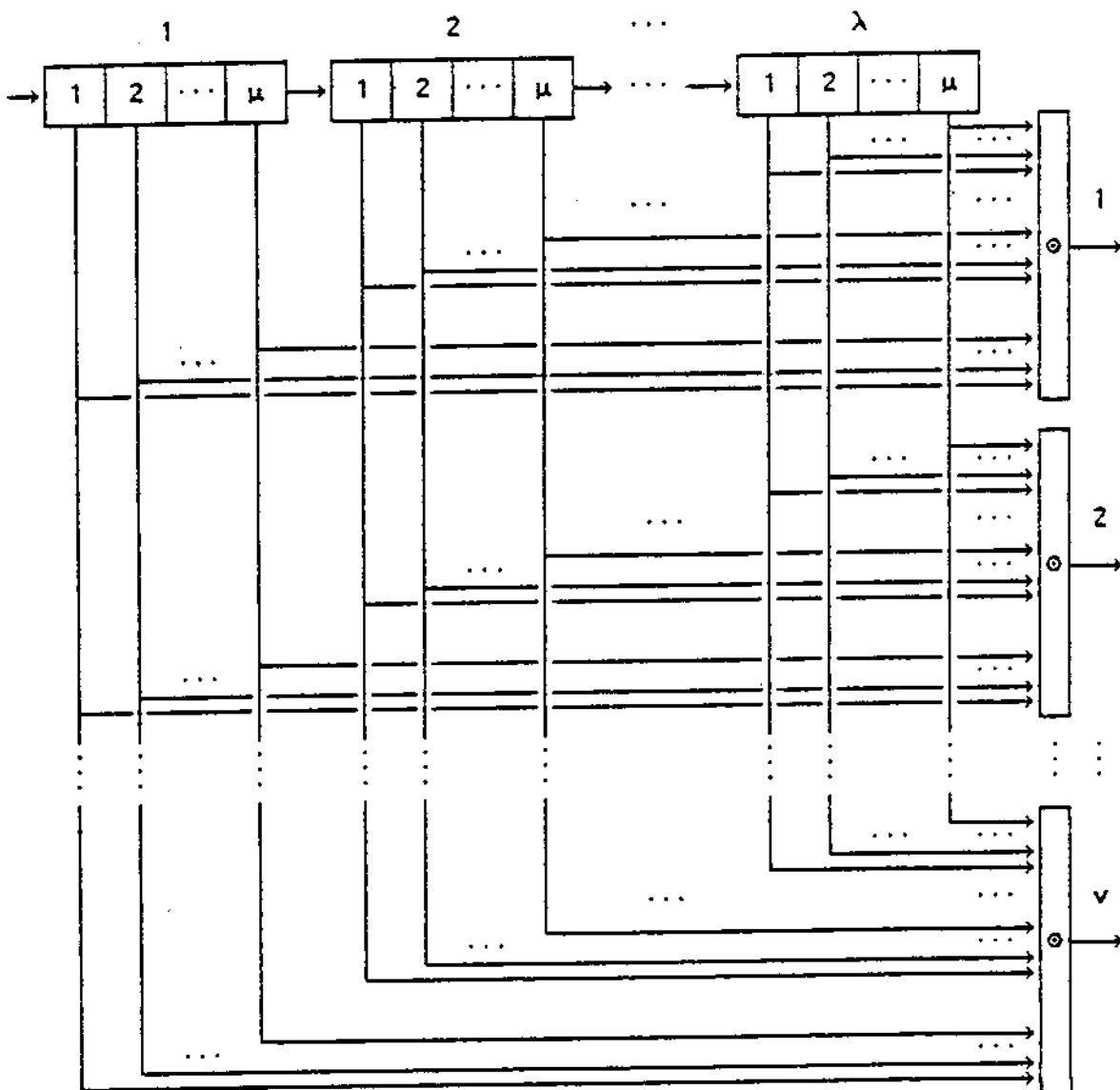
Η χρήση καταχωρητών στη σχεδίαση κωδίκων εξελίχθηκε ταχύτερα από την αντίστοιχη αλγεβρική θεωρία και απέκτησε ιδιαίτερη δυναμική με αποτέλεσμα την εμφάνιση συνθετώτερων τεχνικών κωδικοποίησης. Οι *συνελικτικοί κώδικες* εκμεταλεύονται τις ελκυστικές ιδιότητες των καταχωρητών και χρησιμοποιούνται εξίσου με τους δομικούς κώδικες παρόλο που στερούνται αντίστοιχης θεωρητικής θεμελίωσης.

Η συνελικτική κωδικοποίηση διαμορφώνεται σημαντικά από τη δομική κωδικοποίηση. Η κωδική λέξη που αντιστοιχίζεται σε σύμβολο ή λέξη πληροφορίας διαμορφώνεται από το περιεχόμενο των θέσεων του καταχωρητή, δηλαδή από προηγούμενο τμήμα του μηνύματος πληροφορίας. Επομένως δεν υπάρχει συγκεκριμένο κλειδί και κάθε σύμβολο ή λέξη πληροφορίας, ανάλογα με τη θέση στο μήνυμα πληροφορίας, είναι δυνατό να εκπροσωπείται από διαφορετική κωδική λέξη.

Ο συνελικτικός κώδικας υλοποιείται με πολλαπλό γραμμικό καταχωρητή (σχ. 5.6). Στη συνήθη περίπτωση δυαδικής κωδικοποίησης κάθε κωδική λέξη έχει μ ψηφία πληροφορίας και ν - μ ψηφία ελέγχου. Ο καταχωρητής έχει γενικά λ τμήματα (bytes) μ θέσεων (bits/byte), δηλαδή συνολικά $\lambda\mu$ θέσεις (bits), και ν αθροιστές με λογικούς απολήξεις. Η παράμετρος λ ονομάζεται *περιοριστικό μέγεθος* του κώδικα. Ο καταχωρητής τροφοδοτείται με δυαδικές μ -άδες, που αντιστοιχούν σε σύμβολα ή λέξεις πληροφορίας σύμφωνα με κάποιο κλειδί, και εκτοπίζει ένα δυαδικό ψηφίο από κάθε απόληξη, δηλαδή συνολικά ν δυαδικά ψηφία που συνθέτουν την κωδική λέξη προς μετάδοση. Ο λόγος μ/ν είναι ο *ρυθμός λειτουργίας* του συνελικτικού κώδικα.

Ο συνελικτικός κώδικας εκπροσωπείται είτε από το διάγραμμα του καταχωρητή, που δείχνει τη ροή δυαδικών ψηφίων από τις $\lambda\mu$ θέσεις καταχώρησης στους ν αθροιστές, είτε από τη *γεννήτρια* $K = \{k_{ij}\}$, που είναι $\lambda \times \nu$ μήτρω με στοιχεία $k_{ij} = 1$ ή 0 αν το περιεχόμενο της θέσης καταχώρησης i χρησιμοποιείται ή όχι, αντίστοιχα.

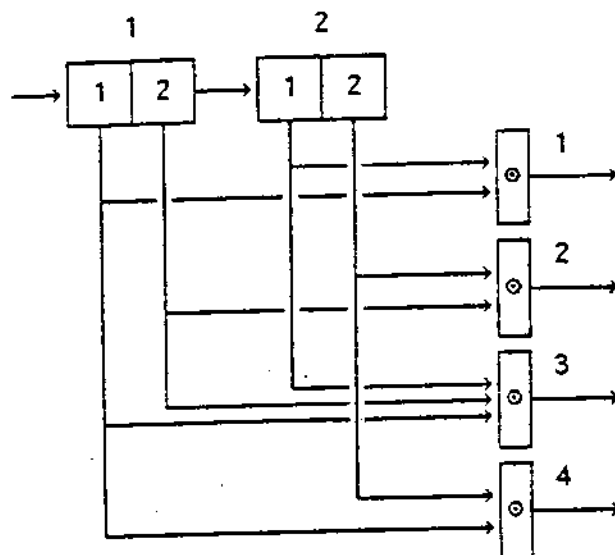
στην είσοδο του αθροιστή j .



Σχ. 5.6 Συνελκτικός κωδικοποιητής.

ΠΑΡΑΔΕΙΓΜΑ : Εστω συνελκτικός κώδικας με καταχωρητή όπως στο σχήμα 5.7. Είναι φανερό ότι $\mu = 2$ bits/byte, $\lambda = 2$ bytes και $v = 4$ bits . Το περιοριστικό μέγεθος του κώδικα είναι $\lambda = 2$ bytes και ο ρυθμός λειτουργίας $\mu/v = 1/2$. Η γεννήτρια του συνελκτικού κώδικα είναι το μητρώο :

$$K = \begin{bmatrix} 1 & 0 & 1 & 1 \\ 0 & 1 & 1 & 0 \\ 1 & 0 & 1 & 0 \\ 0 & 1 & 0 & 1 \end{bmatrix} \quad (5.35)$$



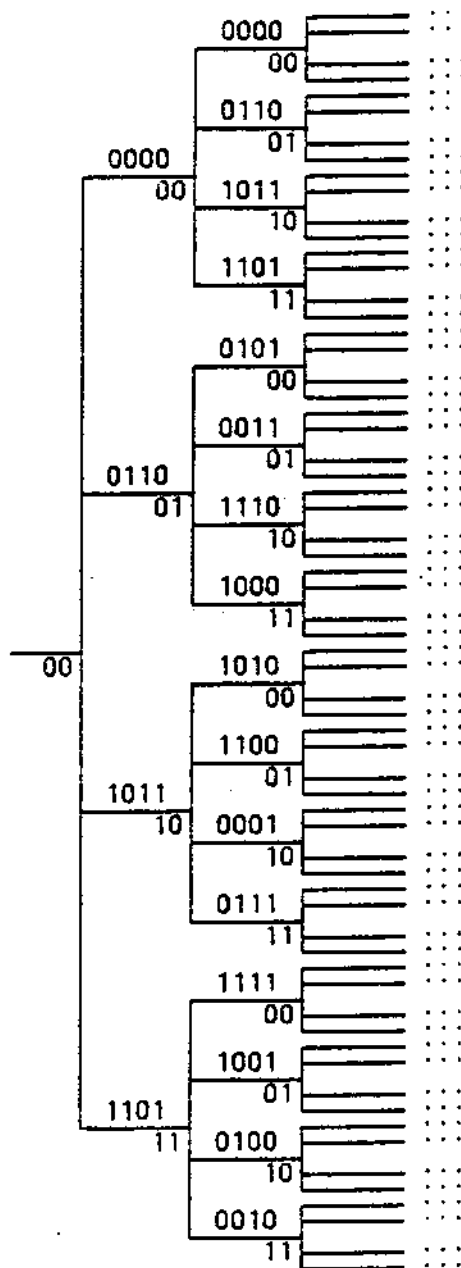
Σχ. 5.7 Συνελκτικός κώδικας με ρυθμό λειτουργίας 1/2 .

Στην είσοδο του καταχωρητή προσάγονται οι δυαδικές 2-άδες 00, 01, 10, 11, που αντιστοιχούν σε τετραδικό αλφάβητο πληροφορίας. Στην έξοδο του καταχωρητή διαμορφώνονται δυαδικές 4-άδες.

Η λειτουργία του συνελκτικού κωδικοποιητή περιγράφεται εναλλακτικά με δένδροδιάγραμμα, διάγραμμα trellis ή διάγραμμα καταστάσεων. Στη συνέχεια περιγράφονται τα τρία διαγράμματα, που είναι προφανώς ισοδύναμα, σε συνδυασμό με το παραπάνω παράδειγμα.

Το δένδροδιάγραμμα έχει τη μορφή κλάδων μεταξύ κόμβων. Κάθε κόμβος αντιστοιχεί στο περιεχόμενο του πρώτου τμήματος του καταχωρητή. Αρχικά όλα τα τμήματα του καταχωρητή περιέχουν μηδενικά. Είναι φανερό ότι με κάθε εισαγωγή δυαδικής μ-άδας στον κωδικοποιητή το περιεχόμενο του πρώτου τμήματος του καταχωρητή μεταβάλλεται, τα επόμενα τμήματα του καταχωρητή αποκτούν το περιεχόμενο του αμέσως προηγούμενου τμήματος και ο κωδικοποιητής εμφανίζει στην έξοδο κάποια δυαδική ν-άδα. Επομένως κάθε κλάδος του δένδροδιαγράμματος φέεται από τον κόμβο που αντιστοιχεί στο αρχικό περιεχόμενο του καταχωρητή, καταλήγει στον κόμβο που αντιστοιχεί στο νέο περιεχόμενο του καταχωρητή και φέρει σαν ιδιαίτερο χαρακτηριστικό (φύλλωμα) την αντίστοιχη δυαδική ν-άδα εξόδου.

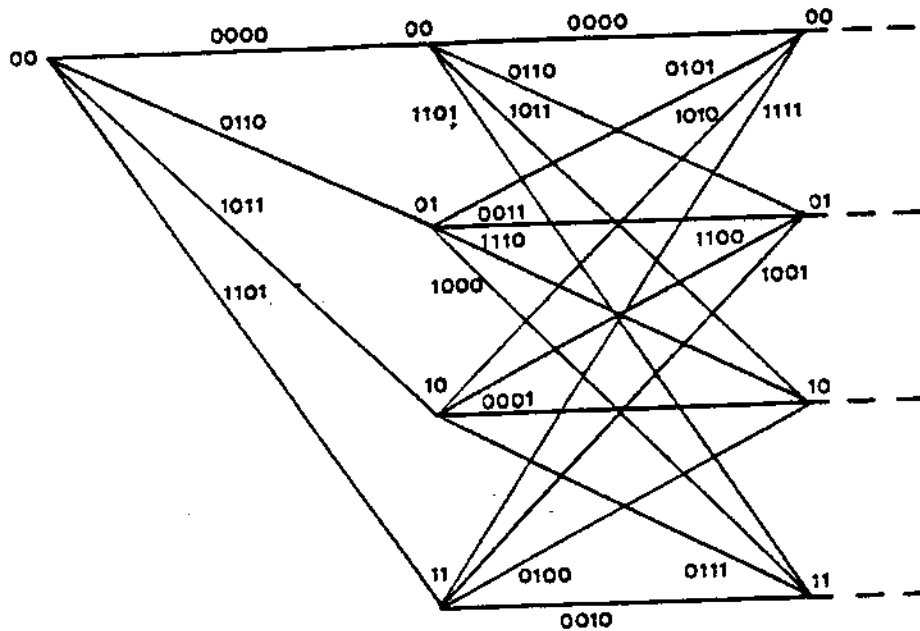
Το δένδροδιάγραμμα για τον κωδικοποιητή του παραδείγματος (σχ. 5.8) έχει κλάδους που φέρουν από πάνω τη δυαδική 4-άδα εξόδου και κάτω δεξιά την αντίστοιχη



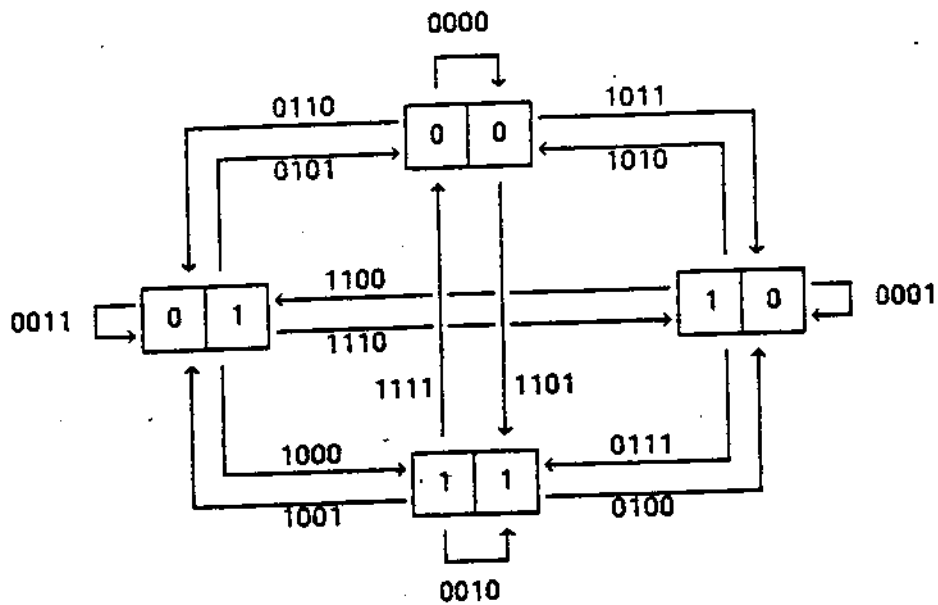
Σχ. 5.8 Δενδροδιάγραμμα του συνελκτικού κωδικοποιητή $\mu = 2$, $\lambda = 2$, $\nu = 4$.

διαδική 2-άδα εισόδου που καταλαμβάνει τις θέσεις του πρώτου τμήματος του καταχωρητή. Αρχικά υπάρχει μόνον ο κόμβος 00. Στη δεύτερη γενεά προκύπτουν οι κόμβοι 00, 01, 10, 11 και στην τρίτη γενεά προκύπτουν τέσσερεις κόμβοι 00, τέσσερεις κόμβοι 01, τέσσερεις κόμβοι 10 και τέσσερεις κόμβοι 11. Σε κάθε νέα γενεά τετραπλασιάζεται το πλήθος των κλάδων και των κόμβων. Αν συγχωνευθούν οι όμοιοι κόμβοι σε κάθε γενεά, προκύπτει το διάγραμμα trellis (σχ. 5.9). Το διάγραμμα καταστάσεων (σχ. 5.10) περιγράφει τις μεταβολές του περιεχομένου του πρώτου τμήματος του καταχωρητή. Υπάρχουν προφανώς τέσσερεις καταστάσεις, που

αντιστοιχούν σε περιεχόμενο 00, 01, 10, 11. Μετάβαση από κατάσταση σε κατάσταση συνοδεύεται με εμφάνιση διαδικής, 4-άδας στην έξοδο του κωδικοποιητή, που δηλώνεται δίπλα στον αντίστοιχο κλάδο.



Σχ. 5.9 Διάγραμμα trellis του σιμελικτικού κωδικοποιητή $\mu = 2$, $\lambda = 2$, $\nu = 4$.



Σχ. 5.10 Διάγραμμα καταστάσεων του σιμελικτικού κωδικοποιητή $\mu = 2$, $\lambda = 2$, $\nu = 4$.

5.6 ΑΣΚΗΣΕΙΣ

1. Κατάσκοπος μετέδωσε το κωδικό μήνυμα 00110011000101100100110101011011. Αν είναι γνωστό ότι χρησιμοποιήσε συστηματικό κώδικα ομάδας V_8^5 με μητρώο ελέγχου ισοτιμίας :

$$H = \begin{bmatrix} 1 & 0 & 1 & 1 & 0 & 1 & 0 & 0 \\ 1 & 1 & 0 & 1 & 0 & 0 & 1 & 0 \\ 1 & 1 & 1 & 0 & 0 & 0 & 0 & 1 \end{bmatrix}$$

να αναγνωρισθούν οι κωδικές λέξεις, να διορθωθούν τυχόντα σφάλματα και να αποκαλυφθεί το μήνυμα πληροφορίας. Να χρησιμοποιηθεί στο τελευταίο βήμα ο παρακάτω πίνακας.

A	00000	I	01111	Q	10011	Y	11100
B	10000	J	11111	R	00011	Z	01100
C	01000	K	00111	S	11011	\$	10100
D	00100	L	01011	T	10111	&	11000
E	00010	M	01101	U	10001	#	11110
F	00001	N	01110	V	10010	%	11101
G	01010	O	00101	W	11001	=	10110
H	00110	P	01001	X	10101	"	11010

2. Απακρυπτογράφος λαμβάνει το μήνυμα πληροφορίας 11101. Αν είναι γνωστό ότι χρησιμοποιήθηκε συστηματικός κώδικας ομάδας V_5^2 με γεννήτρια :

$$K = \begin{bmatrix} 1 & 0 & 1 & 0 & 1 \\ 0 & 1 & 1 & 1 & 0 \end{bmatrix}$$

να ελεγχθεί η ορθότητα του μηνύματος και να αποκαλυφθεί το μήνυμα πληροφορίας.

3. Δίνεται η γεννήτρια συστηματικού κώδικα ομάδας V_7^4 :

$$K = \begin{bmatrix} 1 & 0 & 0 & 0 & 1 & 0 & 1 \\ 0 & 1 & 0 & 0 & 1 & 1 & 1 \\ 0 & 0 & 1 & 0 & 1 & 1 & 0 \\ 0 & 0 & 0 & 1 & 0 & 1 & 1 \end{bmatrix}$$

Να κωδικοποιηθεί το μήνυμα πληροφορίας 1110. Να αποκωδικοποιηθούν τα κωδικά μηνύματα 1010011 και 0110101 αφού διορθωθούν τυχόντα σφάλματα.

4. Δίνεται η γεννήτρια συστηματικού κώδικα ομάδας V_6^3 :

$$K = \begin{bmatrix} 1 & 0 & 0 & 1 & 1 & 0 \\ 0 & 1 & 0 & 1 & 0 & 1 \\ 0 & 0 & 1 & 0 & 1 & 1 \end{bmatrix}$$

Να προσδιορισθούν όλες οι κωδικές λέξεις. Να υπολογισθεί η πιθανότητα εφαρμογής αποκωδικοποίησης με την προϋπόθεση ότι η μετάδοση πραγματοποιείται σε διαδίκτο συμμετρικό δίαυλο πληροφορίας με πιθανότητα σφάλματος σε κάθε διαδίκτο ψηφίο 1%.

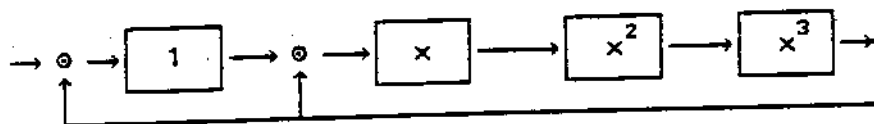
5. Να διαμορφωθούν όλες οι λέξεις κυκλικού κώδικα ομάδας V_7^4 με γεννήτρια $K(x) = x^3 + x + 1$.

6. Να σχεδιασθούν οι καταχωρητές τριών και τεσσάρων θέσεων που υλοποιούν τον κωδικοποιητή της προηγούμενης άσκησης.

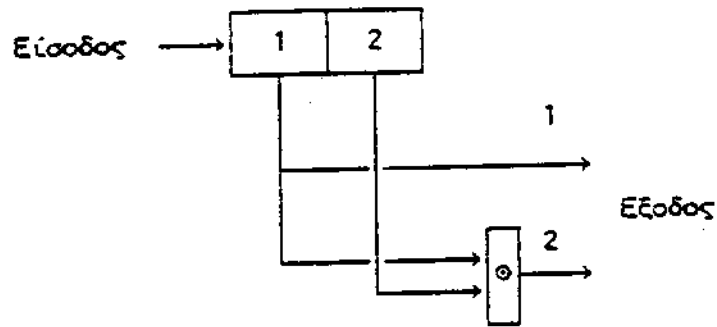
7. Να αποδειχθεί ότι το διαδίκτο πολυώνυμο $x^4 + x + 1$ είναι πρώτο πολυώνυμο.

8. Εστω κυκλικός κώδικας ομάδας V_{12}^8 με γεννήτρια $K(x) = x^4 + x + 1$. Να κωδικοποιηθεί το μήνυμα πληροφορίας 10100111. Να αποκωδικοποιηθεί το κωδικό μήνυμα 001111100111.

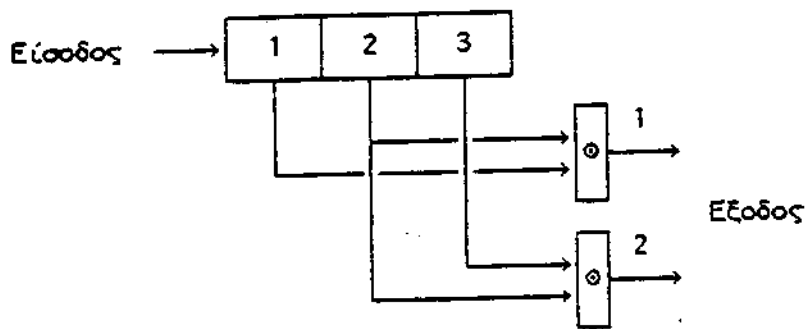
9. Να κωδικοποιηθεί το μήνυμα πληροφορίας 10100111 με τον παρακάτω καταχωρητή τεσσάρων θέσεων που υλοποιεί τον κωδικοποιητή της προηγούμενης άσκησης.



10. Να σχεδιασθεί το δένδροδιάγραμμα, το διάγραμμα trellis και το διάγραμμα καταστάσεων του συνελκτικού κώδικα 1/2 που υλοποιείται από τον παρακάτω καταχωρητή.



11. Να σχεδιασθεί το δενδροδιάγραμμα, το διάγραμμα trellis και το διάγραμμα καταστάσεων του συνελκτικού κώδικα 1/2 που υλοποιείται από τον παρακάτω καταχωρητή.



5.1 ΟΜΑΔΕΣ

ΟΡΙΣΜΟΣ : Ομάδα $G = \{ A, \# \}$ ορίζουν κάθε μη κενό σύνολο A και νόμος εσωτερικής σύνθεσης (πράξη) $\#$ που υπόκεινται στις παρακάτω αρχές :

(i) Το σύνολο είναι κλειστό ως προς την πράξη. Δηλαδή, αν $a, b \in A$, τότε και $a\#b \in A$.

(ii) Η πράξη είναι προσηταιριστική. Δηλαδή, αν $a, b, \gamma \in A$, τότε $a\#(b\#\gamma) = (a\#b)\#\gamma$.

(iii) Το σύνολο διαθέτει ουδέτερο στοιχείο για τη συγκεκριμένη πράξη. Αν o είναι το ουδέτερο στοιχείο, τότε $a\#o = o\#a = a \quad \forall a \in A$.

(iv) Για κάθε στοιχείο του συνόλου υπάρχει και το αντίστροφο του ως προς τη

συγκεκριμένη πράξη. Δηλαδή, αν $\tilde{\alpha} \in A$ είναι το αντίστροφο του $\alpha \in A$, τότε $\alpha \# \tilde{\alpha} = 0 = \tilde{\alpha} \# \alpha$.

Αν επιπλέον η πράξη είναι αντιμεταθετική, δηλαδή $\alpha \# \beta = \beta \# \alpha \quad \forall \alpha, \beta \in A$, η αντιμεταθετική ομάδα χαρακτηρίζεται *αβελιανή*. Η ομάδα χαρακτηρίζεται *πεπερασμένη*, αν το σύνολο A έχει πεπερασμένο πλήθος στοιχείων. Το πλήθος των στοιχείων του A είναι η *τάξη* της ομάδας.

ΠΑΡΑΔΕΙΓΜΑ : Το σύνολο των πραγματικών αριθμών R και η πρόσθεση $+$ ορίζουν αβελιανή ομάδα με ουδέτερο στοιχείο το 0 . Αντίστροφος κάθε πραγματικού αριθμού α είναι ο πραγματικός αριθμός $-\alpha$, που για τη συγκεκριμένη πράξη χαρακτηρίζεται *αντίθετος*.

ΟΡΙΣΜΟΣ : Αν $G = \{ A, \# \}$ είναι ομάδα και A' είναι μη κενό υποσύνολο του A με στοιχεία που ικανοποιούν τις αρχές (i)-(iv), τότε $G' = \{ A', \# \}$ είναι *υπο-ομάδα* της G . Είναι φανερό ότι το ουδέτερο στοιχείο περιέχεται σε κάθε υπο-ομάδα.

ΠΑΡΑΔΕΙΓΜΑ : Το σύνολο των ακεραίων αριθμών Z και η πρόσθεση $+$ ορίζουν ομάδα, έστω G . Το υπο-σύνολο του Z που περιέχει τα πολλαπλάσια του 3 , δηλαδή τους ακεραίους $\dots -6, -3, 0, 3, 6, \dots$, και η πρόσθεση $+$ ορίζουν υπο-ομάδα της G .

ΟΡΙΣΜΟΣ : Εστω πεπερασμένη ομάδα G με μ στοιχεία και υπο-ομάδα της G' με στοιχεία $\gamma_1, \gamma_2, \dots, \gamma_\nu$. Είναι φανερό ότι ένα από αυτά, έστω το γ_1 , είναι το ουδέτερο στοιχείο. Τα στοιχεία της ομάδας G διατάσσονται σε μ σειρές ν στοιχείων διαμορφώνοντας έτσι το $\mu \times \nu$ μητρώο παρασυνόλων :

$$\left[\begin{array}{cccc} & \gamma_1 & \gamma_2 & \dots & \gamma_\nu \\ \delta_1 & = \gamma_1 \# \delta_1 & \gamma_2 \# \delta_1 & \dots & \gamma_\nu \# \delta_1 \\ \delta_2 & = \gamma_1 \# \delta_2 & \gamma_2 \# \delta_2 & \dots & \gamma_\nu \# \delta_2 \\ \dots & \dots & \dots & \dots & \dots \\ \delta_{\mu-1} & = \gamma_1 \# \delta_{\mu-1} & \gamma_2 \# \delta_{\mu-1} & \dots & \gamma_\nu \# \delta_{\mu-1} \end{array} \right]$$

όπου δ_i είναι στοιχείο της ομάδας που δεν έχει χρησιμοποιηθεί στις προηγούμενες i σειρές. Κάθε σειρά του μητρώου ονομάζεται *δεξιό παρασύνολο* της υπο-ομάδας G' και τα στοιχεία $\delta_1, \delta_2, \dots, \delta_{\mu-1}$ που χρησιμοποιούνται στην πρώτη θέση κάθε σειράς ονομάζονται *α οδηγοί παρασυνόλων*. Εξυπνοεείται ότι είναι δυνατό να διαμοριωθούν και αριστερά παρασύνολα με στοιχεία της μορφής $\delta_i \# \gamma_k$. Τα αντίστοιχα μητρώα ταυτίζονται αν η πράξη $\#$ είναι αντιμεταθετική.

ΘΕΩΡΗΜΑ : Κάθε στοιχείο της ομάδας G εμφανίζεται σε ένα μόνο παρασύνολο.

Εστω ότι το στοιχείο $\alpha \in A$ της ομάδας $G = \{ A, \# \}$ ανήκει στα παρασύνολα με οδηγούς δ_i, δ_k . Χωρίς περιορισμό της γενικότητας μπορεί να γίνει δεκτό ότι $i > k$. Προφανώς $\alpha = \gamma_m \# \delta_i = \gamma_n \# \delta_k$ και επομένως $\delta_i = (\tilde{\gamma}_m \# \gamma_n) \# \delta_k = \gamma_1 \# \delta_k$. Η τελευταία σχέση δείχνει ότι ο οδηγός του $i+1$ παρασυνόλου έχει χρησιμοποιηθεί στο $k+1$ παρασύνολο που, σύμφωνα με την υπόθεση, προηγείται. Αυτό όμως δεν συμβιβάζεται με τη διαδικασία κατασκευής του μητρώου παρασυνόλων. Άρα η αρχική υπόθεση οδηγεί σε άτοπο και το θεώρημα έχει αποδειχθεί.

ΘΕΩΡΗΜΑ : Δύο στοιχεία α, β ομάδας G ανήκουν στο ίδιο παρασύνολο αν και μόνον αν το στοιχείο $\alpha \# \beta$ ανήκει στην υπο-ομάδα G' .

Αν α, β ανήκουν στο παρασύνολο με οδηγό το στοιχείο δ_i , τότε $\alpha = \gamma_m \# \delta_i$ και $\beta = \gamma_n \# \delta_i$. Επομένως $\alpha \# \beta = (\tilde{\gamma}_m \# \delta_i) \# (\gamma_n \# \delta_i) = \tilde{\gamma}_m \# \gamma_n = \gamma_1$, δηλαδή είναι στοιχείο της υπο-ομάδας G' και το ευθύ μέρος του θεωρήματος έχει αποδειχθεί. Εύκολα προκύπτει και το αντίστροφο.

5.11 ΠΕΔΙΑ

ΟΡΙΣΜΟΣ : Πεδίο $F = \{ A, \#, @ \}$ ορίζουν μη κενό σύνολο A και νόμοι εσωτερικής σύνθεσης (πράξεις) $\#, @$ που υπόκεινται στις παρακάτω αρχές :

(i) Το σύνολο είναι κλειστό ως προς τις πράξεις. Δηλαδή, αν $\alpha, \beta \in A$, τότε $\alpha \# \beta \in A$ και $\alpha @ \beta \in A$.

(ii) Οι πράξεις είναι αντιμεταθετικές και προσεταιριστικές. Δηλαδή, αν

$\alpha, \beta, \gamma \in A$, τότε $\alpha \# \beta = \beta \# \alpha$, $\alpha \oplus \beta = \beta \oplus \alpha$, $(\alpha \# \beta) \# \gamma = \alpha \# (\beta \# \gamma)$ και $(\alpha \oplus \beta) \oplus \gamma = \alpha \oplus (\beta \oplus \gamma)$.

(iii) Για κάθε πράξη υπάρχει ουδέτερο στοιχείο. Αν o και π είναι το ουδέτερο στοιχείο για την πράξη $\#$ και \oplus , αντίστοιχα, τότε $\alpha \# o = o \# \alpha = \alpha$ και $\alpha \oplus \pi = \pi \oplus \alpha = \alpha$, $\forall \alpha \in A$.

(iv) Το σύνολο περιέχει το αντίστροφο κάθε στοιχείου ως προς τις δύο πράξεις. Αν $\bar{\alpha}$ και $\hat{\alpha}$ είναι το αντίστροφο του $\alpha \in A$ ως προς $\#$ και \oplus , αντίστοιχα, τότε $\alpha \# \bar{\alpha} = \bar{\alpha} \# \alpha = o$ και $\alpha \oplus \hat{\alpha} = \hat{\alpha} \oplus \alpha = \pi$.

(v) Ισχύει η επιμεριστική ιδιότητα $\alpha \oplus (\beta \# \gamma) = (\alpha \oplus \beta) \# (\alpha \oplus \gamma)$ όπου $\alpha, \beta, \gamma \in A$.

ΠΟΡΙΣΜΑ : Αν $F = (A, \#, \oplus)$ είναι πεδίο, τότε $(A, \#)$ και (A, \oplus) είναι αβελιανές ομάδες.

ΠΑΡΑΔΕΙΓΜΑ : Το σύνολο των πραγματικών αριθμών R , η πρόσθεση $+$ και ο πολλαπλασιασμός \cdot ορίζουν πεδίο. Ουδέτερο στοιχείο για την πρόσθεση είναι το μηδέν και για τον πολλαπλασιασμό η μονάδα. Αντίστροφος του πραγματικού αριθμού, έστω 4 , είναι για την πρόσθεση ο πραγματικός αριθμός -4 ενώ για τον πολλαπλασιασμό είναι ο πραγματικός αριθμός 0.25 . Προφανώς ισχύουν η αντιμεταθετική, προσεταιριστική και επιμεριστική ιδιότητα.

5. III ΔΙΑΝΥΣΜΑΤΙΚΟΙ ΧΩΡΟΙ

ΟΡΙΣΜΟΣ : Διάγραμμα n -τάξεως επί του πεδίου $F = (A, \#, \oplus)$ είναι κάθε διάταξη n στοιχείων του συνόλου A . Δηλαδή, αν $x_1, x_2, \dots, x_n \in A$, τότε $X = (x_1, x_2, \dots, x_n)$ είναι ένα διάγραμμα n -τάξεως επί του πεδίου F .

ΟΡΙΣΜΟΣ : Διανυσματικός χώρος V_n επί του πεδίου F είναι κάθε σύνολο διανυσμάτων n -τάξεως $X = (x_1, x_2, \dots, x_n)$ επί του πεδίου F που υπόκεινται στις αρχές :

(i) $(V_n, \#)$ αποτελεί αβελιανή ομάδα. Η πράξη $\#$ μεταξύ δύο διανυσμάτων $X, \Psi \in V_n$ παράγει το διάγραμμα $X \# \Psi \in V_n$, όπου $X \# \Psi = (x_1 \# \psi_1, x_2 \# \psi_2, \dots, x_n \# \psi_n)$ και προφανώς $X \# \Psi = \Psi \# X$, $(X \# \Psi) \# Z = X \# (\Psi \# Z)$ με $Z \in V_n$. Ουδέτερο στοιχείο είναι το διάγραμμα n -τάξεως $0 = (o, o, \dots, o)$, όπου o είναι το ουδέτερο στοιχείο της

αβελιανής ομάδας $\{A, \# \}$. Αντίστροφο του διανύσματος $X = (x_1, x_2, \dots, x_n)$ είναι το διάνυσμα $\tilde{X} = (\tilde{x}_1, \tilde{x}_2, \dots, \tilde{x}_n)$ όπου \tilde{x}_i είναι το αντίστροφο του στοιχείου x_i της αβελιανής ομάδας $\{A, \# \}$.

(ii) Η πράξη \otimes μεταξύ διανύσματος $X = (x_1, x_2, \dots, x_n) \in V_n$ και στοιχείου $k \in A$, που χαρακτηρίζεται σαν βαθμωτό γινόμενο, παράγει διάνυσμα $k \otimes X = (k \otimes x_1, k \otimes x_2, \dots, k \otimes x_n) \in V_n$. Το βαθμωτό γινόμενο έχει την αντιμεταθετική, προσεταιριστική και επιμεριστική ιδιότητα, δηλαδή αν $X, \Psi \in V_n$ και $k, \lambda \in A$, τότε $k \otimes X = X \otimes k$, $k \otimes (\lambda \otimes X) = (k \otimes \lambda) \otimes X$ και $k \otimes (X \# \Psi) = (k \otimes X) \# (k \otimes \Psi)$. Αν π είναι το ουδέτερο στοιχείο της αβελιανής ομάδας $\{A, \otimes\}$, τότε $\pi \otimes X = X \otimes \pi = X \quad \forall X \in V_n$. Ακόμη αν \hat{k} είναι το αντίστροφο του στοιχείου k της αβελιανής ομάδας $\{A, \otimes\}$, τότε $k \otimes (\hat{k} \otimes X) = (\hat{k} \otimes k) \otimes X = X \in V_n$.

(iii) Η πράξη \otimes μεταξύ διανυσμάτων, που χαρακτηρίζεται σαν εσωτερικό γινόμενο, παράγει στοιχείο του συνόλου A , δηλαδή αν $X, \Psi \in V_n$, τότε $X \otimes \Psi = (x_1 \otimes \psi_1) \# (x_2 \otimes \psi_2) \# \dots \# (x_n \otimes \psi_n) \in A$. Αν $X \otimes \Psi = o$, τα διανύσματα X, Ψ είναι ορθογώνια.

ΠΑΡΑΔΕΙΓΜΑ : Διάνυσμα 3ης-τάξεως επί του πεδίου $(R, +, \cdot)$ αποτελεί οποιαδήποτε διάταξη τριών πραγματικών αριθμών, έστω $\eta = (5, 4, 0.5)$. Το σύνολο όλων των διανυσμάτων 3ης-τάξεως αποτελεί 3-διάστατο διανυσματικό χώρο επί του πεδίου $(R, +, \cdot)$. Το εσωτερικό γινόμενο έχει τη μορφή $X \cdot \Psi = x_1 \psi_1 + x_2 \psi_2 + x_3 \psi_3$, όπου $X = (x_1, x_2, x_3)$ και $\Psi = (\psi_1, \psi_2, \psi_3)$ είναι διανύσματα 3ης-τάξεως με στοιχεία πραγματικούς αριθμούς. Αν $X = (1, 4, 7)$, $\Psi = (3, 2, 1)$, τότε $X \cdot \Psi = 18$. Τα διανύσματα 3ης-τάξεως $X = (1, 4, 7)$, $\Psi = (-2, 4, -2)$ είναι ορθογώνια αφού $X \cdot \Psi = 0$. Είναι φανερό ότι ο διανυσματικός χώρος V_3 αντιστοιχεί στον τριδιάστατο Ευκλείδειο χώρο. Οι τριάδες πραγματικών αριθμών που ορίζουν ένα στοιχείο του διανυσματικού χώρου αντιστοιχούν στις Καρτεσιανές συντεταγμένες (x, y, z) σημείου του τριδιάστατου Ευκλείδειου χώρου.

ΟΡΙΣΜΟΣ : Αν V_n είναι n -διάστατος διανυσματικός χώρος επί του πεδίου $\{A, \#, \otimes\}$ και V'_n είναι μη κενό υποσύνολο του V_n με στοιχεία που ικανοποιούν τις αρχές (i)-(iii), τότε το σύνολο των διανυσμάτων n -τάξεως V'_n αποτελεί διανυσματικό υπο-χώρο του V_n επί του πεδίου $\{A, \#, \otimes\}$.

ΠΑΡΑΔΕΙΓΜΑ : Τα διανύσματα 3ης-τάξεως $(\alpha, \beta, 0)$ με $\alpha, \beta \in R$ ανήκουν σε διανυσματικό υπο-χώρο του V_3 , έστω V'_3 . Από γεωμετρική άποψη τα διανύσματα του υπο-χώρου αντιστοιχούν σε σημεία επί του επιπέδου $z = 0$, δηλαδή ενώ ο

διανυσματικός χώρος V_3 αντιστοιχεί στον τριδιάστατο Ευκλείδειο χώρο, ο διανυσματικός υπο-χώρος V_3 αντιστοιχεί σε διδιάστατο επίπεδο.

Είναι ήδη φανερό ότι η έννοια της διάστασης είναι διαφορετική στη γραμμική άλγεβρα και στη γεωμετρία. Η διάκριση αυτή έγινε σιωπηλά δεκτή χρησιμοποιώντας τον όρο *διάνυσμα n -τάξεως* αντί του όρου *n -διάστατο διάνυσμα*. Στο παράδειγμα γίνεται σαφές ότι ένα διάνυσμα 3ης-τάξεως που ανήκει στο διανυσματικό υπο-χώρο V_3 αντιστοιχεί σε διδιάστατο και όχι τριδιάστατο διάνυσμα του Ευκλείδειου χώρου. Προκειμένου να ορισθεί η έννοια της διάστασης διανυσματικού χώρου είναι απαραίτητο να περιγραφεί η γραμμική εξάρτηση - ανεξαρτησία διανυσμάτων n -τάξεως. Σε ό,τι ακολουθεί θεωρούνται διανυσματικοί χώροι επί του πεδίου $\{R, +, \cdot\}$.

ΟΡΙΣΜΟΣ : Γραμμικός συνδυασμός μ διανυσμάτων n -τάξεως X_1, X_2, \dots, X_μ είναι το διάνυσμα n -τάξεως $X = \kappa_1 X_1 + \kappa_2 X_2 + \dots + \kappa_\mu X_\mu$, όπου $\kappa_1, \kappa_2, \dots, \kappa_\mu \in R$. Τα διανύσματα X_1, X_2, \dots, X_μ θεωρούνται γραμμικά ανεξάρτητα αν η σχέση $\kappa_1 X_1 + \kappa_2 X_2 + \dots + \kappa_\mu X_\mu = 0$ ισχύει μόνο ειφόσον $\kappa_1 = \kappa_2 = \dots = \kappa_\mu = 0$. Αντίθετα, αν υπάρχουν πραγματικοί αριθμοί $\kappa_1, \kappa_2, \dots, \kappa_\mu$, που δεν είναι όλοι μηδέν, τέτοιοι ώστε $\kappa_1 X_1 + \kappa_2 X_2 + \dots + \kappa_\mu X_\mu = 0$, τότε τα διανύσματα X_1, X_2, \dots, X_μ θεωρούνται γραμμικά εξαρτημένα και επομένως οποιοδήποτε από αυτά είναι δυνατό να γραφεί σαν γραμμικός συνδυασμός των υπολοίπων.

ΘΕΩΡΗΜΑ : Το σύνολο των γραμμικών συνδυασμών δοθέντων διανυσμάτων X_1, X_2, \dots, X_μ αποτελεί διανυσματικό χώρο.

Είναι εύκολο να αποδειχθεί ότι οι γραμμικοί συνδυασμοί των διανυσμάτων X_1, X_2, \dots, X_μ ικανοποιούν τις αρχές (i)-(iii) του ορισμού διανυσματικού χώρου.

ΟΡΙΣΜΟΣ : Ο διανυσματικός χώρος που περιέχει όλους τους γραμμικούς συνδυασμούς των διανυσμάτων X_1, X_2, \dots, X_μ ορίζεται σαν *διανυσματικός χώρος που διατρέχουν τα διανύσματα X_1, X_2, \dots, X_μ* . Τα διανύσματα X_1, X_2, \dots, X_μ αποτελούν τη *γεννήτρια* του εν λόγω διανυσματικού χώρου.

ΟΡΙΣΜΟΣ : *Βάση* διανυσματικού χώρου είναι κάθε γεννήτρια του που συνίσταται από γραμμικά ανεξάρτητα διανύσματα.

ΠΑΡΑΔΕΙΓΜΑ : Τα διανύσματα 3ης-τάξεως $E_1 = (1, 0, 0)$, $E_2 = (0, 1, 0)$, $E_3 = (0, 0, 1)$ διατρέχουν το διανυσματικό χώρο V_3 . Το διάνυσμα $X = (4, 3, 7)$

γράφεται $X = 4E_1 + 3E_2 + 7E_3$ και ανάλογη έκφραση είναι δυνατό να γραφεί για κάθε διάνυσμα του V . Είναι επιπλέον προφανές ότι τα διανύσματα E_1, E_2, E_3 είναι γραμμικά ανεξάρτητα και επομένως αποτελούν βάση του διανυσματικού χώρου V_3 .

ΘΕΩΡΗΜΑ : Στο διανυσματικό χώρο που διατρέχουν τα διανύσματα X_1, X_2, \dots, X_μ υπάρχουν $\lambda \leq \mu$ γραμμικά ανεξάρτητα διανύσματα.

ΟΡΙΣΜΟΣ : Διάσταση διανυσματικού χώρου είναι το μέγιστο πλήθος των γραμμικά ανεξάρτητων διανυσμάτων που περιέχει. Η διάσταση, έστω μ , του διανυσματικού χώρου V_μ μπορεί να συμπεριληφθεί στο συμβολισμό του σαν άνω δείκτης, οπότε διαμορφώνεται το σύμβολο V_μ^μ .

ΘΕΩΡΗΜΑ : Αν δύο σύνολα γραμμικά ανεξάρτητων διανυσμάτων διατρέχουν τον ίδιο διανυσματικό χώρο, τότε τα σύνολα αυτά περιέχουν ισάριθμα διανύσματα.

ΘΕΩΡΗΜΑ : Ο διανυσματικός χώρος V_n^v που συνίσταται από όλα τα διανύσματα v -τάξεως έχει διάσταση v .

Αυτό διαπιστώνεται θεωρώντας τα καταστατικά διανύσματα v -τάξεως

$$E_1 = (1, 0, 0, \dots, 0)$$

$$E_2 = (0, 1, 0, \dots, 0)$$

.....

$$E_v = (0, 0, 0, \dots, 1)$$

Κάθε διάνυσμα v -τάξεως, έστω $X = (x_1, x_2, \dots, x_v)$, γράφεται με τη μορφή $X = x_1 E_1 + x_2 E_2 + \dots + x_v E_v$, δηλαδή σαν γραμμικός συνδυασμός των καταστατικών διανυσμάτων. Επομένως το σύνολο V_n^v όλων των διανυσμάτων v -τάξεως είναι ο διανυσματικός χώρος που διατρέχουν τα καταστατικά διανύσματα v -τάξεως E_1, E_2, \dots, E_v και, αφού αυτά είναι γραμμικά ανεξάρτητα, ο διανυσματικός χώρος V_n^v έχει διάσταση v .

ΠΟΡΙΣΜΑ : Κάθε διανυσματικός χώρος V_n^μ με $\mu \leq v$ είναι διανυσματικός υπο-χώρος του V_n^v .

ΟΡΙΣΜΟΣ : Έστω διανυσματικός υπο-χώρος V_ν^μ , $\mu \leq \nu$, του V_ν^ν . Μηδενικός υπο-χώρος του V_ν^μ είναι ο διανυσματικός υπο-χώρος ${}^0V_\nu^\mu$ που συνίσταται από όλα τα διανύσματα ν -τάξεως που είναι ορθογώνια προς τα διανύσματα ν -τάξεως του V_ν^μ . Δηλαδή, αν $X \cdot \Psi = 0 \quad \forall \Psi \in V_\nu^\mu$, τότε $X \in {}^0V_\nu^\mu$.

ΠΑΡΑΔΕΙΓΜΑ : Τα διανύσματα 3ης-τάξεως $(\alpha, \beta, 0)$ με $\alpha, \beta \in \mathbb{R}$ ανήκουν στο διανυσματικό υπο-χώρο V_3^2 . Τα διανύσματα 3ης-τάξεως $(0, 0, \gamma)$ με $\gamma \in \mathbb{R}$ είναι ορθογώνια προς τα διανύσματα 3ης-τάξεως του υπο-χώρου V_3^2 , επειδή $(\alpha, \beta, 0) \cdot (0, 0, \gamma) = 0$. Επομένως τα διανύσματα 3ης-τάξεως $(0, 0, \gamma)$ ανήκουν στο μηδενικό υπο-χώρο ${}^0V_3^2$ του V_3^2 .

ΘΕΩΡΗΜΑ : Η διάσταση του υπο-χώρου ${}^0V_\nu^\mu$ είναι $\nu - \mu$, δηλαδή ${}^0V_\nu^\mu = V_\nu^{\nu-\mu}$.

ΠΟΡΙΣΜΑ : ${}^0V_\nu^{\nu-\mu} = V_\nu^{\nu-(\nu-\mu)} = V_\nu^\mu$.

5. IV MODULO - P ΑΡΙΘΜΗΤΙΚΗ

Το υπόλοιπο της διαίρεσης a/p , όπου a, p θετικοί ακέραιοι, είναι κάποιος από τους ακεραίους $0, 1, \dots, p-1$. Η modulo- p αριθμητική αντικαθιστά κάθε ακέραιο a με το υπόλοιπο της διαίρεσης a/p . Δηλαδή, αν $a = p\eta + \upsilon$, όπου η, υ ακέραιοι, τότε :

$$a \equiv \upsilon \pmod{p} \quad (1)$$

ΠΑΡΑΔΕΙΓΜΑ : Έστω $p = 2$. Το υπόλοιπο της διαίρεσης οποιουδήποτε ακεραίου a διά 2 μπορεί να είναι 0 ή 1. Επειδή $37 = 2 \cdot 18 + 1$, κατά την εξ.(1) ισχύει $37 \equiv 1 \pmod{2}$.

Οι πράξεις μεταξύ ακεραίων στη modulo- p αριθμητική μπορούν να γίνονται όπως και στη συνηθισμένη αριθμητική. Τα αποτελέσματα όμως πρέπει να μετατρέπονται στους ακεραίους $0, 1, \dots, p-1$ υπολογίζοντας το υπόλοιπο της διαίρεσης a/p .

ΠΑΡΑΔΕΙΓΜΑ : Έστω $p = 3$, $\alpha = 5$ και $\beta = 7$. Οι πράξεις της πρόσθεσης και του πολλαπλασιασμού στη modulo- p αριθμητική δίνουν για τους ακεραίους α, β :

$$\alpha + \beta = 5 + 7 = 12 \equiv 0 \pmod{3}$$

$$\alpha\beta = 5 \cdot 7 = 35 \equiv 2 \pmod{3}$$

Στα ίδια αποτελέσματα καταλήγουν και οι πράξεις μεταξύ u_α και u_β , όπου $\alpha \equiv u_\alpha \pmod{\rho}$ και $\beta \equiv u_\beta \pmod{\rho}$:

$$\alpha = 5 \equiv 2 \pmod{3} = u_\alpha$$

$$\beta = 7 \equiv 1 \pmod{3} = u_\beta$$

$$\alpha + \beta \equiv u_\alpha + u_\beta \pmod{3} = 2 + 1 = 3 \equiv 0 \pmod{3}$$

$$\alpha\beta \equiv u_\alpha u_\beta \pmod{3} = 2 \cdot 1 = 2 \equiv 2 \pmod{3}$$

Όπως παρατηρείται στο τελευταίο παράδειγμα, αν και $\alpha, \beta > 0$, είναι δυνατό $\alpha + \beta \equiv 0 \pmod{\rho}$. Το ίδιο μπορεί να συμβεί και με την πράξη του πολλαπλασιασμού. Δηλαδή είναι δυνατό $\alpha\beta \equiv 0 \pmod{\rho}$ παρόλο που $\alpha > 0$ και $\beta > 0$ (π.χ., $5 \cdot 12 = 60 \equiv 0 \pmod{10}$). Αν ρ είναι πρώτος ακέραιος, δηλαδή ακέραιος που διαιρείται ακριβώς μόνο από τους ακεραίους 1 και ρ , τότε $\alpha\beta \equiv 0 \pmod{\rho}$ μόνο αν $\alpha = 0$ ή $\beta = 0$.

5. V MODULO - Κ(Χ) ΑΛΓΕΒΡΑ

ΟΡΙΣΜΟΣ : Διαδικό πολυώνυμο είναι κάθε πολυώνυμο με διαδικούς συντελεστές.

ΟΡΙΣΜΟΣ : Ενικό διαδικό πολυώνυμο n -βαθμού είναι κάθε διαδικό πολυώνυμο με συντελεστή 1 για τον όρο x^n .

ΠΑΡΑΔΕΙΓΜΑ : Το πολυώνυμο $X(x) = x^3 + x + 1 = 1x^3 + 0x^2 + 1x + 1$ είναι 3ου-βαθμού, ενικό, διαδικό πολυώνυμο.

ΘΕΩΡΗΜΑ : Το σύνολο των n -βαθμού, διαδικών πολυωνύμων, έστω P_n , και η διαδική

πρόσθεση \otimes αποτελούν ομάδα.

Η ισχύς του θεωρήματος θα ελεγχθεί με τη βοήθεια των πολυωνύμων $X(x) = x^3 + x + 1$, $\Psi(x) = x^2 + x$ και $Z(x) = x$, που είναι δυνατό να θεωρηθούν σαν 3ου-βαθμού, δυαδικά πολυώνυμα :

$$X(x) = 1x^3 + 0x^2 + 1x + 1 = x^3 + x + 1$$

$$\Psi(x) = 0x^3 + 1x^2 + 1x + 0 = x^2 + x$$

$$Z(x) = 0x^3 + 0x^2 + 1x + 0 = x$$

Η προσαρμογή στις αρχές (i)-(iv) της §5.I διαπιστώνεται ως εξής :

(i) Η πρόσθεση 3ου-βαθμού, δυαδικών πολυωνύμων $X(x) \otimes \Psi(x) = 1x^3 + 1x^2 + 0x + 1 = x^3 + x^2 + 1$ καταλήγει σε 3ου-βαθμού, δυαδικό πολυώνυμο.

(ii) Η δυαδική πρόσθεση είναι προσεταιριστική : $(X(x) \otimes \Psi(x)) \otimes Z(x) = X(x) \otimes (\Psi(x) \otimes Z(x)) = 1x^3 + 1x^2 + 1x + 1 = x^3 + x^2 + x + 1$.

(iii) Ουδέτερο στοιχείο είναι το 3ου-βαθμού, δυαδικό, πολυώνυμο $O(x) = 0x^3 + 0x^2 + 0x + 0 = 0$ αφού $X(x) \otimes O(x) = O(x) \otimes X(x) = X(x)$.

(iv) Το αντίστροφο (αντίθετο) κάθε 3ου-βαθμού, δυαδικού πολυωνύμου είναι το ίδιο πολυώνυμο αφού $X(x) \otimes X(x) = O(x)$.

Ο πολλαπλασιασμός μεταξύ δυαδικών πολυωνύμων είναι συνήθης πολλαπλασιασμός τόσο ως προς τους όρους της ανεξάρτητης μεταβλητής x όσο και ως προς τους συντελεστές, δηλαδή $(k_i x^i)(k_j x^j) = (k_i k_j) x^{i+j}$. Οι συντελεστές ομόβαθμων όρων αθροίζονται δυαδικά, δηλαδή $1x^4 + 1x^4 = (1 \oplus 1)x^4 = 0$. Το γινόμενο δύο δυαδικών πολυωνύμων είναι επίσης δυαδικό πολυώνυμο βαθμού ίσου με το άθροισμα των βαθμών των παραγόντων. Επειδή συχνά είναι απαραίτητο ο βαθμός του γινομένου δύο πολυωνύμων να μην υπερβαίνει κάποιο άνω φράγμα, εισάγεται η πράξη του modulo-2 & modulo- $K(x)$ πολλαπλασιασμού \otimes όπου $K(x)$ είναι το modulo πολυώνυμο. Αν $K(x)$ είναι ρ -βαθμού, ενικό, δυαδικό πολυώνυμο, δηλαδή $K(x) = x^\rho + k_1 x^{\rho-1} + k_2 x^{\rho-2} + \dots + k_{\rho-1} x + k_\rho$, τότε κατά το πρότυπο της modulo- ρ αριθμητικής (βλ. §5.IV), κάθε πολυώνυμο $X(x)$ αντικαθίσταται από το υπόλοιπο της διαίρεσης

$X(x)/K(x)$. Δηλαδή, αν $X(x) = \Pi(x)K(x) \oplus Y(x)$, τότε :

$$X(x) \equiv Y(x) \quad [\text{mod}K(x)] \quad (1)$$

και είναι προφανές ότι ο βαθμός του $Y(x)$ είναι κάποιος ακέραιος από το διάστημα $[0, p-1]$.

ΠΑΡΑΔΕΙΓΜΑ : Εστω $K(x) = x^3 + x + 1$ και $X(x) = x^5 + x^2$. Η διαίρεση $X(x)/K(x)$ περιγράφεται αναλυτικά παρακάτω :

$$\begin{array}{r} x^5 + + x^2 \\ \underline{x^5 + x^3 + x^2} \\ x^3 \\ \underline{x^3 + + 1} \\ x + 1 \end{array}$$

$$\begin{array}{r} x^3 + x + 1 \\ \underline{x^2 + 1} \end{array}$$

και επομένως $x^5 + x^2 = (x^2 + 1)(x^3 + x + 1) \oplus (x + 1)$, δηλαδή κατά την εξ. (1) :

$$x^5 + x^2 \equiv x + 1 \quad [\text{mod}(x^3 + x + 1)] \quad (2)$$

Η πράξη \oplus μεταξύ δύο πολυωνύμων $X(x)$, $\Psi(x)$ είναι αρχικά $\text{mod}10-2$ πολλαπλασιασμός μεταξύ των $Y_x(x)$ και $Y_\psi(x)$, δηλαδή των υπολοίπων των διαιρέσεων $X(x)/K(x)$ και $\Psi(x)/K(x)$, αντίστοιχα. Στη συνέχεια και το γινόμενο $Y_x(x)Y_\psi(x)$ αντικαθίσταται από το υπόλοιπο της διαίρεσης με το $\text{mod}10$ πολυώνυμο.

ΠΑΡΑΔΕΙΓΜΑ : Εστω $K(x) = x^3 + x + 1$, $X(x) = x^5 + x^2$ και $\Psi(x) = x + 1$. Εύκολα διαπιστώνεται ότι $Y_x(x) = x + 1$ και $Y_\psi(x) = x + 1$. Επομένως $Y_x(x)Y_\psi(x) = x^2 + 1$ και τελικά $X(x) \oplus \Psi(x) = Y_x(x)Y_\psi(x) \quad [\text{mod}K(x)] = x^2 + 1$. Στο ίδιο αποτέλεσμα οδηγεί και $\text{mod}10-2$ πολλαπλασιασμός των $X(x)$, $\Psi(x)$ αρκεί το γινόμενο να αντικατασταθεί με το υπόλοιπο της διαίρεσης με $K(x)$. Πράγματι, $X(x)\Psi(x) = x^6 + x^5 + x^3 + x^2 \equiv x^2 + 1 \quad [\text{mod}K(x)]$.

Αν το $\text{mod}10$ πολυώνυμο $K(x)$ είναι μη παραγοντοποιήσιμο, δηλαδή πρώτο πολυώνυμο, τότε η εξίσωση $X(x) \oplus \Psi(x) = 0$ συνεπάγεται ότι $X(x) = 0$ ή/και $\Psi(x) = 0$. Στην αντίθετη περίπτωση είναι δυνατό $X(x) \oplus \Psi(x) = 0$ παρόλο που $X(x) \neq 0$ και $\Psi(x) \neq 0$.

ΠΑΡΑΔΕΙΓΜΑ : Εστω $K(x) = x^3 + x$, $X(x) = x$ και $\Psi(x) = x^2 + 1$. Είναι προφανές ότι

$$X(x) \otimes \Psi(x) = x \otimes (x^2 + 1) = x^3 + x \equiv 0 \pmod{K(x)} \text{ παρόλο που } X(x) \neq 0 \text{ και } \Psi(x) \neq 0.$$

ΘΕΩΡΗΜΑ : Αν κάθε πολυώνυμο αντικατασταθεί από το υπόλοιπο της διαίρεσης με κάποιο ρ -βαθμού, πρώτο, modulus πολυώνυμο, τότε όλα τα πολυώνυμα θα έχουν βαθμό μικρότερο από ρ . Το σύνολο αυτών των πολυωνύμων, έστω P_ρ , εφοδιασμένο με τις πράξεις \oplus και \otimes , αποτελεί το πολυωνυμικό πεδίο $F_\rho(x) = (P_\rho, \oplus, \otimes)$.

Σύμφωνα με όσα προαναφέρθηκαν, το σύνολο P_ρ είναι κλειστό ως προς τις πράξεις \oplus και \otimes . Είναι προφανές ότι και οι δύο πράξεις είναι αντιμεταθετικές και προσεταιριστικές. Επιπλέον ισχύει προφανώς και η επιμεριστική ιδιότητα. Το ουδέτερο στοιχείο των πράξεων \oplus, \otimes είναι, αντίστοιχα, το τετριμμένο πολυώνυμο 0, 1. Το αντίστροφο του πολυωνύμου $X(x)$ ως προς την πράξη \oplus είναι το ίδιο πολυώνυμο αφού $X(x) \oplus X(x) = 0$. Εξάλλου το αντίστροφο του πολυωνύμου $X(x)$ ως προς την πράξη \otimes είναι το πολυώνυμο $\hat{X}(x) = 1/X(x)$ που υπολογίζεται εφαρμόζοντας την εξίσωση $K(x) = 0$. Εφόσον το modulus πολυώνυμο είναι μη παραγοντοποιήσιμο, η τυπική μορφή του $K(x) = x^\rho + k_1 x^{\rho-1} + k_2 x^{\rho-2} + \dots + k_{\rho-1} x + k_\rho$ υποδεικνύει ότι $k_\rho = 1$. Επομένως η εξίσωση $K(x) = 0$ ισοδυναμεί με την εξίσωση $1 = x^\rho + k_1 x^{\rho-1} + k_2 x^{\rho-2} + \dots + k_{\rho-1} x$ και $\hat{X}(x) = 1/X(x) = (x^\rho + k_1 x^{\rho-1} + k_2 x^{\rho-2} + \dots + k_{\rho-1} x) / X(x)$.

ΠΑΡΑΔΕΙΓΜΑ : Έστω $K(x) = x^3 + x + 1$, $X(x) = x + 1$. Η εξίσωση $K(x) = 0$ ισοδυναμεί με την εξίσωση $1 = x^3 + x$. Επομένως $\hat{X}(x) = 1/X(x) = (x^3 + x)/(x + 1) = x^2 + x$.

BIBΛΙΟΓΡΑΦΙΑ

1. Abramson N., *Information Theory and Coding*, McGraw-Hill, New York, 1963.
2. Bell D.A., *Information Theory and its Engineering Applications*, Pitman, London, 1968.
3. Berlecamp E.R. (Ed.), *Key Papers in the Development of Coding Theory*, IEEE Press, New York, 1974.
4. Davenport W.B. Jr., *Probability and Random Processes*, McGraw-Hill, New York, 1970.
5. Fano R.M., *Transmission of Information*, MIT Press, Cambridge, Massachusetts, 1961.
6. Feinstein A., *Foundations of Information Theory*, McGraw-Hill, New York, 1958.
7. Gallager R.G., *Information Theory and Reliable Communication*, John Wiley, New York, 1968.
8. Gatlin L.L., *Information Theory and the Living System*, Columbia Univ. Press, New York, 1972.
9. Gray R.M., *Source Coding Theory*, Kluwer Academic Publishers, Boston, 1990.
10. Guisau S., *Information Theory with Applications*, McGraw-Hill, New York, 1977.
11. Hamming R.W., *Coding and Information Theory*, Prentice-Hall, Englewood Cliffs, New Jersey, 1980.
12. Hartley R.V.L., Transmission of Information, *Bell Systems Tech. Jour.* 7, 535-563, 1928.
13. Huffman D.A., A Method for the Construction of Minimum Redundancy Codes, *Proc. IRE* 40, 1098-1101, 1952.

14. Ingels F.M., *Information and Coding Theory*, Intext, Scranton, Pennsylvania, 1971.
15. Jelinek F., *Probabilistic Information Theory*, McGraw-Hill, New York, 1958.
16. Khinchin A.I., *Mathematical Foundations of Information Theory*, Dover, New York, 1957.
17. Lin S., *An Introduction to Error-Correcting Codes*, Prentice-Hall, Englewood Cliffs, New Jersey, 1970.
18. McEliece R.J., *The Theory of Information and Coding*, Addison-Wesley, Reading, Massachusetts, 1977.
19. McWilliams J. and Sloane N.J.A., *The Theory of Error-Correcting Codes*, North-Holland, Amsterdam, 1977.
20. Muroga S., On the Capacity of a Discrete Channel, *Jour. Phys. Soc. of Japan* 8, 484-494, 1953.
21. Nyquist H., Certain Factors Affecting Telegraph Speed, *Bell Systems Tech. Jour.* 3, 324, 1924.
22. Papoulis A., *Probability, Random Variables and Stochastic Processes*, McGraw-Hill, New York, 1965.
23. Peterson W.W. and Weldon E.J. Jr., *Error-Correcting Codes*, MIT Press, Cambridge, Massachusetts, 1972.
24. Proakis J., *Digital Communications*, McGraw-Hill, New York, 1983.
25. Rausbeck A., *Information Theory*, MIT Press, Cambridge, Massachusetts, 1963.
26. Reza F., *An Introduction to Information Theory*, McGraw-Hill, New York, 1961.
27. Shannon C.E., A Mathematical Theory of Communication, *Bell Systems Tech. Jour.* 27, 379-423, 1948.
28. Shannon C.E., A Mathematical Theory of Communication, *Bell Systems Tech. Jour.* 27, 379-423, 1948.

Jour. 27, 623-656, 1948.

29. Stepien D. (Ed.), *Key Papers in the Development of Information Theory*, IEEE Press, New York, 1974.

30. Viterbi A.J. and Omura J.K., *Principles of Digital Communication and Coding*, McGraw-Hill, New York, 1979.

31. Wiener N., *Cybernetics*, John Wiley, New York, 1948.

32. Wozencraft J.M. and Jacobs I.M., *Principles of Communication Engineering*, John Wiley, New York, 1965.

33. Wyner A.D., Fundamental Limits in Information Theory, *Proc. IEEE* 69(2), 239-251, 1981.

ΕΥΡΕΤΗΡΙΟ

A

- Αλγεβρα Boole, 146
- Αλυσίδα διαύλων πληροφορίας, 76
- Αλυσίδα Markov, 32
 - στάσιμη, 32
- Αλφάβητο
 - διαδικό, 98, 145
 - πηγής πληροφορίας, 10
 - κώδικα, 11, 96
- Αναλογική ροή πληροφορίας, 81
- Αξιοπιστία, 96
- Απόδοση κώδικα, 95, 146
- Απακρυπτογράφηση, 96
- Απακωδικοποίηση, 160
- Απόλυτη θερμοκρασία, 84
- Απόσταση Hamming, 137
- Αριθμός Kullback-Leibler, 15
- Αυτοπληροφορία, 12

B

- Βαθμός συστήματος Markov, 29
- Βάρος Hamming, 152, 153
- Βάση διανυσματικού χώρου, 184
 - κώδικα, 147

Γ

- Γεγονός, 49
 - απλό, 49
 - παρατηρητό, 49
 - σύνθετο, 49
- Γεννήτρια
 - διανυσματικού χώρου, 184
 - ιδανικού, 163
 - κυκλικού κώδικα, 158
 - κώδικα, 148
 - συνελκτικού κώδικα, 172
 - συστηματική, 149
- Γραμμική ανεξαρτησία, 147, 184

Δ

- Δαίμονας Maxwell, 17
- Δειγματοληψία, 82
- Δέκτης, 8
- Δενδροδιάγραμμα, 174
 - απόφασης, 115
- Διάγραμμα διαύλου, 62
 - καταστάσεων, 30, 174
 - trellis, 174

Διάνυσμα

- καταστατικό, 185
- v-τάξεως, 59, 147, 182
- Διανυσματικός
 - υποχώρος, 186
 - χώρος, 58, 147, 182
- Διαπληροφορία, 66, 132
- Διάσταση διανυσματικού χώρου, 185
 - κώδικα, 147
- Διάυλος πληροφορίας, 8, 11, 61, 121, 131
 - γενικευμένος διαδικός, 74
 - διαδικός συμμετρικός, 71, 79, 129, 155
 - Z, 86
 - ιδανικός, 69
 - καθοριστικός, 68
 - μ-αδικός συμμετρικός, 88
 - αμοιόμορφος, 70
 - ορθογωνικός, 88
 - Σ, 72, 134
 - τηλεπικοινωνιακός, 83
 - χωρίς απώλειες, 68
- Διορθωτής, 89
- Διαδικοί κώδικες, 150

Ε

- Ελεγχος ισότητας, 133
 - διδιάστατος, 134
- Εντροπία, 13, 62, 128
 - αμοιβαία, 66
 - αναλογικής πηγής πληροφορίας, 39, 40
 - απλού βήματος, 36
 - διαύλου, 65
 - εισόδου, 62, 64
 - επέκτασης πηγής πληροφορίας, 25
 - εξόδου, 62, 65
 - θορύβου, 64, 126
 - αμιλούμενης γλώσσας, 16
 - οριακή, 37
 - απλού βήματος, 37
 - πολλαπλού βήματος, 37
 - πολλαπλού βήματος, 36
 - στη θερμοδυναμική, 16
 - στη στατιστική μηχανική, 18
 - συνδετική, 20, 63
 - συστήματος, 63
 - σχετική, 15
 - υπό συνθήκη, 22, 64
- Ενωση συνόλων, 48
- Εξισορροπητής, 89
- Επικοινωνία, 10
- Εύρος ζώνης, 83, 91

Θ

θερμοκρασία θορύβου, 84

θεώρημα

δελγματολημίας, 91

Kraft, 104

Shannon 1°, 107

Shannon 2°, 121, 128

θόρυβος, 11, 64, 67, 121

λευκός, 81

Ι

Ισκιωβιανή μετασχηματισμού, 41, 58

Ιδανικό σύνολο, 163

Ισχύς θορύβου, 82

σήματος, 82

Κ

Κανόνες

απόφασης, 122

μέγιστης πιθανοφάνειας, 123

τέλειου παρατηρητή, 122

Κανονική διάταξη, 153

Καταναλωτής πληροφάνειας, 8, 11

Κατανομή πιθανότητας, 13, 50, 54

γεωμετρική, 54

διδιάστατη, 57

διαδική, 54

διωνυμική, 54

ομοιόμορφη, 54

οριακή, 33

περιθωριακή, 52, 55

Poisson, 54

συνδετική, 52, 55

υπό συνθήκη, 52, 55

Κατανομή πυκνότητας πιθανότητας, 50

Cauchy, 51

διδιάστατη κανονική, 80

εκθετική, 51

κανονική, 44, 51

Laplace, 51

Maxwell, 51

ομοιόμορφη, 41, 51

περιθωριακή, 52

Rayleigh, 51

συνδετική, 52

υπό συνθήκη, 53

Κατάσταση συστήματος Markov

απορροητική, 32

επανερχόμενη, 32

μεταβατική, 32

περιοδική, 32

Καταχωρητής, 168, 172

Κεντρικό οριακό θεώρημα, 54

Κλάση, 47

Κλειδί κώδικα, 11

Κριτήριο

άρτιας ισοτήτας, 133, 141

περιττής ισοτήτας, 133

Κρυπτόγραμμα αντικατάστασης, 96

Κυκλική ιδιότητα, 156

υπομάδα, 162

Κώδικας, 11, 96

ASCII, 98, 99

βέλτιστος, 103, 106

Golay, 156

διαφορικός, 100, 108

δομικός, 108, 145

διαδικός, 104, 108

διαδικός γραμμικός, 148

επεκταμένος, 153

εικρινής, 101

Hadamard, 155

Hamming, 139, 155

Huffman, 113

κόμμα, 117

κυκλικός, 100, 156

BCH, 161

Golay, 161

Hamming, 160, 166

μονοσήμαντος, 101

Morse, 99, 100

ομάδας, 100, 145, 148

ορθογωνικός, 134

Shannon, 108

Shannon-Fano, 111

στιγματεια αποκωδικοποιήσιμος,

102, 104

συνελικτικός, 101, 172

οπισθηματικός κυκλικός, 159

ομάδας, 149

Κωδικοποίηση, 10, 96

αλγεβρική, 145

δομική, 100, 172

διαδική, 97

ορθογωνική, 135

συνελικτική, 100, 172

τυχαία, 129

Κωδικοποιητής, 8

συνελικτικός, 173

Λ

Λέξη κωδική, 11

πληροφάνειας, 8, 10

Μ

Μαθηματική προσδοκία, 53

Μεϊκτής, 87

Μέση τιμή τυχαίας μεταβλητής, 53, 55

Μέσο μήκος κωδικών λέξεων, 103